

# 北海道奥尻島地熱開発調査

## 地 化 学 調 査

(フィンガープリント法)

## 報 告 書

平成元年7月

三井金属資源開発株式会社

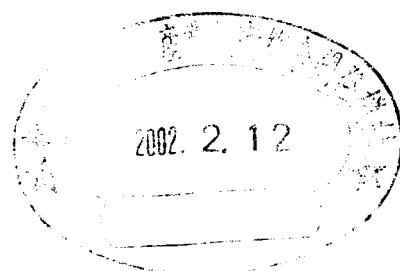
NEDO 図書・資料室



010019294-7

北海道奥尻島地熱開発調査  
地 化 学 調 査  
(フィンガープリント法)

報 告 書



平成元年7月

三井金属資源開発株式会社

## 目 次

I 総 説	1
I - 1 調査目的	1
I - 2 調査地域	1
I - 3 調査内容	1
I - 4 調査期間	1
I - 5 調査員	1
I - 6 調査地域の地質概略	1
II 調査方法及び調査結果	5
II - 1 調査測点	5
II - 2 土壌ガスの採取	5
II - 3 ガス成分の分析	5
III 調査結果の解析	18
III - 1 解析方法	18
III - 1 - 1 ガス特性判定図に基づく解析	18
III - 1 - 2 特定のガス成分に基づく解析	20
III - 2 解析結果	22
III - 2 - 1 質量スペクトルの分類とタイプ分け	22
III - 2 - 2 本地域と他地域とのガス特性判定図の対比	30
IV 解析結果の考察	33
IV - 1 断裂帯の推定	33
IV - 2 地熱賦存可能地区の抽出	36
IV - 3 既存の地化学探査結果との対比	36
V ま と め	37
引用文献	39
現地調査写真	40

### 【挿入図表】

第 1図	調査位置図
第 2図	奥尻島地域の地質概略
第 3図	試料採取位置
第 4図	埋設されたガスコレクター
第 5図	分析システム
第 6図	断裂の発達していないところの典型的な質量スペクトル
第 7図	断裂帯直上における典型的な質量スペクトル
第 8図	ガス特性判定図
第 9図	各タイプの代表的な質量スペクトル
第10図	主なガス成分の発散量
第11図	$m/z136$ の含有率
第12図	奥会津地域と奥尻島地域とのガス特性判定図の対比
第13図	土壤ガスのタイプ
第 1表	測定及び分析結果
第 2表	断裂帯直上と断裂の発達していないところとの相違点
第 3表	主なガス成分量の記述統計
第 4表	$m/z136$ 含有率の記述統計
第 5表	主なガス成分の発散量/含有率の比較

### 【巻末図表】

巻末第 1図 主なガス成分の発散量の頻度分布

巻末第 1表 質量分析結果生データ

### 【付 図】

付図 1 試料採取位置 1:10,000

付図 2 土壤ガスのタイプ 1:10,000

【付 錄】

m/z早見表  
CO<sub>2</sub>相当ガスの発散量  
CO<sub>2</sub>相当ガスの分布

【付帯資料】

埋設地点の状況写真  
付図のマイラー原図

説

総

I

## I 総 言

### I - 1 調査目的

奥尻島地域において地化学調査(フィンガープリント法)を実施し、断裂の存在箇所の抽出及び地熱賦存可能地区の推定を行うことによって、地域内の地熱構造の解明に資することを目的とするものである。

### I - 2 調査地域

調査地域は、奥尻島北西部に位置する東西約5km、南北約3kmの区域である(第1図)。

### I - 3 調査内容

調査手法： フィンガープリント法

測点数： 115測点

調査面積： 約15km<sup>2</sup>

### I - 4 調査期間

計画準備： 平成元年 4月 1日～平成元年 4月 9日

現地調査： 平成元年 4月10日～平成元年 5月15日

質量分析： 平成元年 5月16日～平成元年 6月20日

解析・報告書作成： 平成元年 6月21日～平成元年 7月31日

### I - 5 調査員

三井金属資源開発株式会社：

坂井 茂 (技術責任者)

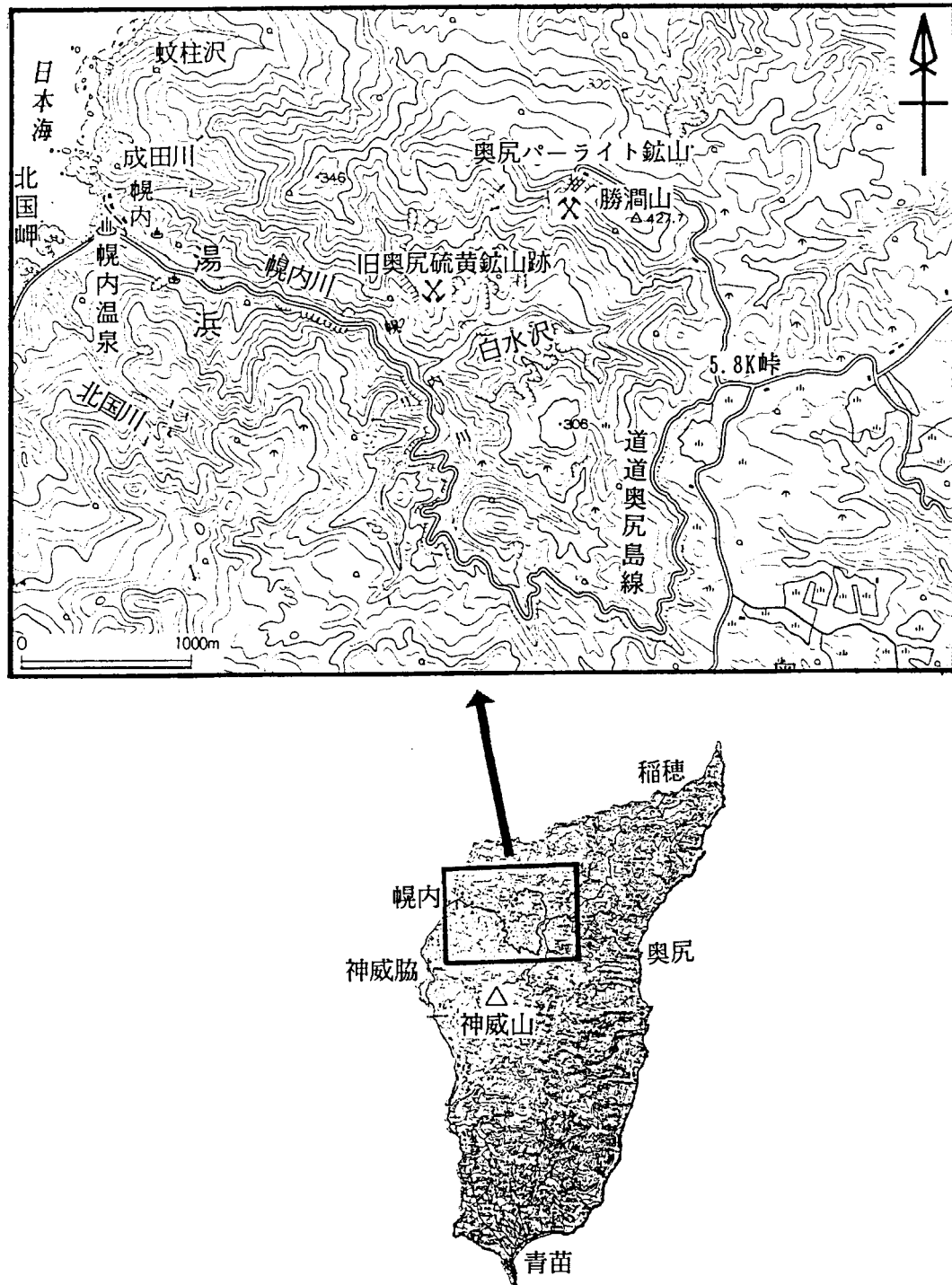
東原 雅実 (現場代理人)

二村 英吾

### I - 6 調査地域の地質概略

秦ほか(1982)、芙蓉地熱開発委員会(1984)及び北海道立地下資源調査所(1976)に従って、調査地域の地質を概観する(第2図)。

奥尻島地域の基盤岩は、調査地域の西部に広く分布する白亜紀の花コウ閃緑岩である。この基盤岩を被って中新世のグリーンタフ(青苗川層群)及び鮮新世の堆

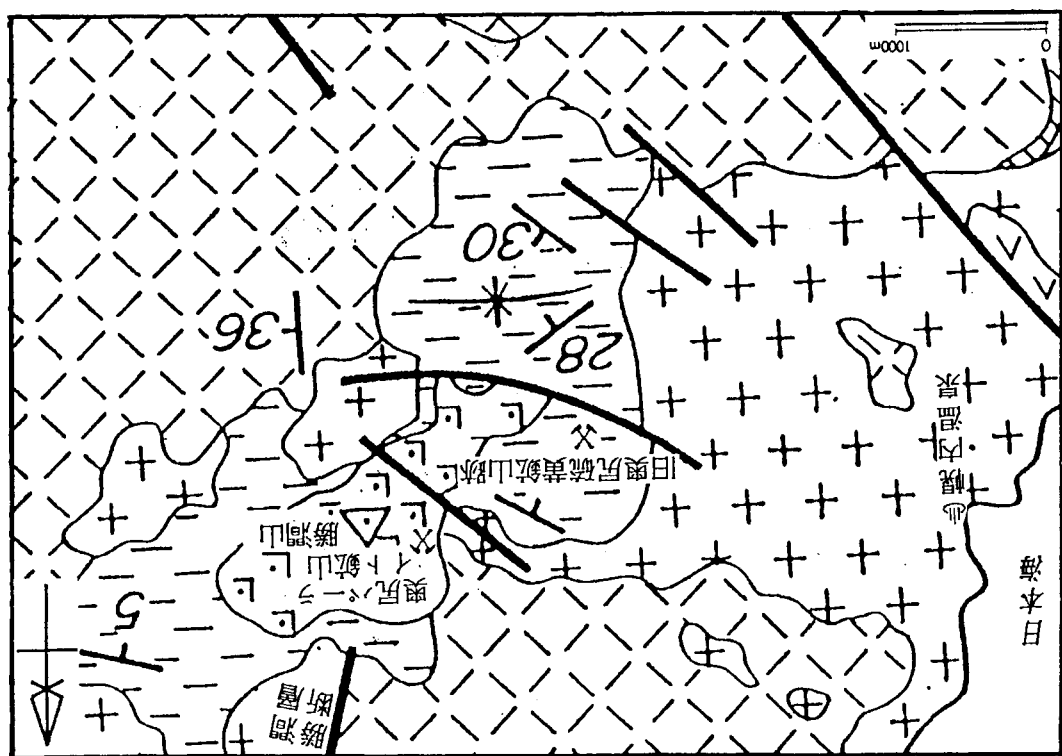


第1図 調査位置図

第2图 黑尻盆地之地質概要圖  
臺灣(1982)乙本

時代	地層名	記号
第四紀	海成層及冰蝕丘陵 (谷階)	+
第三紀	海成層丘陵 (谷階)	—
第四紀	海成山麓數 (0.31±0.09 Ma)	—
第三紀	(堆積成鹽黃鐵床)	—
中生代	沖積層 (鹽城山麓)	—
白堊紀	深底山麓 (鹽城山麓形成)	—
白堊紀	鹽城山麓 (鹽城山麓形成)	—

走向傾斜  
斷裂層  
向斜軸



積岩類(勝潤層)が広く分布し、更にこれらを貫いて流紋岩溶岩(勝潤山流紋岩)が噴出している。被覆層のうち勝潤層は、幌内川上流域を中心とした陥没性の湖沼成堆積物で、その中部には堆積成硫黄鉱床(旧奥尻硫黄鉱山の鉱体)を胚胎している。また勝潤山流紋岩は、勝潤山を中心に噴出したパーライトを主体としており、昭和35年以降はパーライト鉱山(奥尻パーライト鉱山)として稼行されている。勝潤山流紋岩の噴出年代は、層序関係から勝潤層上部堆積時の鮮新世に対比されているが、フィッショントラック法絶対年代測定から $0.31 \pm 0.09$  Ma(更新世中期)の値も得られており、未解決の課題として残されている。

断層構造は、WNW-ESE～NW-SE系が発達する。この他に、リニアメント解析から、NNE-SSW～NE-SW系リニアメントが調査地域全域にわたって広範囲に発達し、N-S系リニアメントが蚊柱沢～幌内～北国岬周辺に局所的に発達するのが認められている。

本地域の変質帯には、全体としてNNW-SSE～NW-SE方向に延びるカオリン変質帯が海岸沿いの成田川～幌内～湯浜周辺に認められる。この地区には、本地域唯一の温泉(幌内温泉；泉質=Ca、HCO<sub>3</sub>を副成分とする食塩泉)が開業しており、更に深度約100mで地下温度が100°Cに達することも試錐データから明らかにされている(ただし、100m以深では数100mの区間にわたって地温勾配=0°C/mとなり、深度の増加に伴う地温の増加がほとんど認められなくなる)。これらのことから、幌内周辺の地区は温泉活動の活発な地区であると判断される。また、芙蓉地熱開発委員会(1984)による土壤ガス中の二酸化炭素ガス濃度及び1m深地温の中～強異常は、成田川～幌内～湯浜周辺からそのすぐ南方の北国岬にかけて出現しており、これらの異常はこの地区的活発な温泉活動に起因するものと考えられる。

## II 調査方法及び調査結果

## II 調査方法及び調査結果

フィンガープリント法は、石油貯留層の直接捕捉を目的として米国コロラド鉱山大学で開発された土壤ガス地化学調査法であり、「活性炭による土壤ガスの採取」、「質量分析計によるガス成分の分析」及び「多変量解析に基づくデータ解析」の3つの技術の組み合わせより成っている(Klusman and Voorhees, 1983)。

本手法が、石油鉱床の捕捉のみならず、地熱地帯における断層の抽出法及び地熱貯留層の直接捕捉法としても有効であることは、本邦の奥会津地域等の地熱地域における調査で明らかにされている。

### II-1 調査測点

土壤ガスは、ほぼ100~300mの測点間隔で主な道及び沢に沿って採取した。119試料(No. 1~119)の採取を計画したが、ガスコレクター(後述)の埋設期間中の紛失(No. 67~69)及び輸送中の破損(No. 119)のために、分析できた試料の総数は115試料(No. 1~66, 70~118)であった。第3図及び付図1に、試料の採取位置を示す。

### II-2 土壤ガスの採取

土壤ガス試料の採取には、直径約3cm、長さ約15cmのガスコレクター(第4図)を用いた。ガスコレクターは、ガラス管に磁性体ワイヤー(キュリー点=358°C)を挿入したもので、ワイヤーの一端には一定量の粒径を揃えた活性炭粉末を付着している。このガスコレクターを測点の地表下約30cmの深さに17日間(最短402時間、最長412時間)埋設しておき、地下深部から上昇してきたガス成分を含む土壤ガスを活性炭に吸着・集積させた。なお、ガスコレクターは、汚染を避けるためキャップにより密閉して輸送した。

### II-3 ガス成分の分析

本手法で解析の対象とするガスの主体は、比較的分子量の大きな炭化水素系ガスである。一般にこの種のガスは揮発性及び移動性がともに低く、その濃度は極めて希薄である。このため、ガスの分析は高感度のキュリー点パイロリシス・四重極型質量分析計(第5図；イオン化のための衝撃電子のエネルギー=15eV)で行った。また、質量分析計を用いることにより、分析成分が特定のガス成分に限られることなく、質量数(正確には、イオン化による電荷 $z$ に対する質量数 $m$ の比 $m/z$ ；通常 $z=1$ )が29から240までの成分のガスが同時に分析できた。分析結果を第1表及び卷

凡例

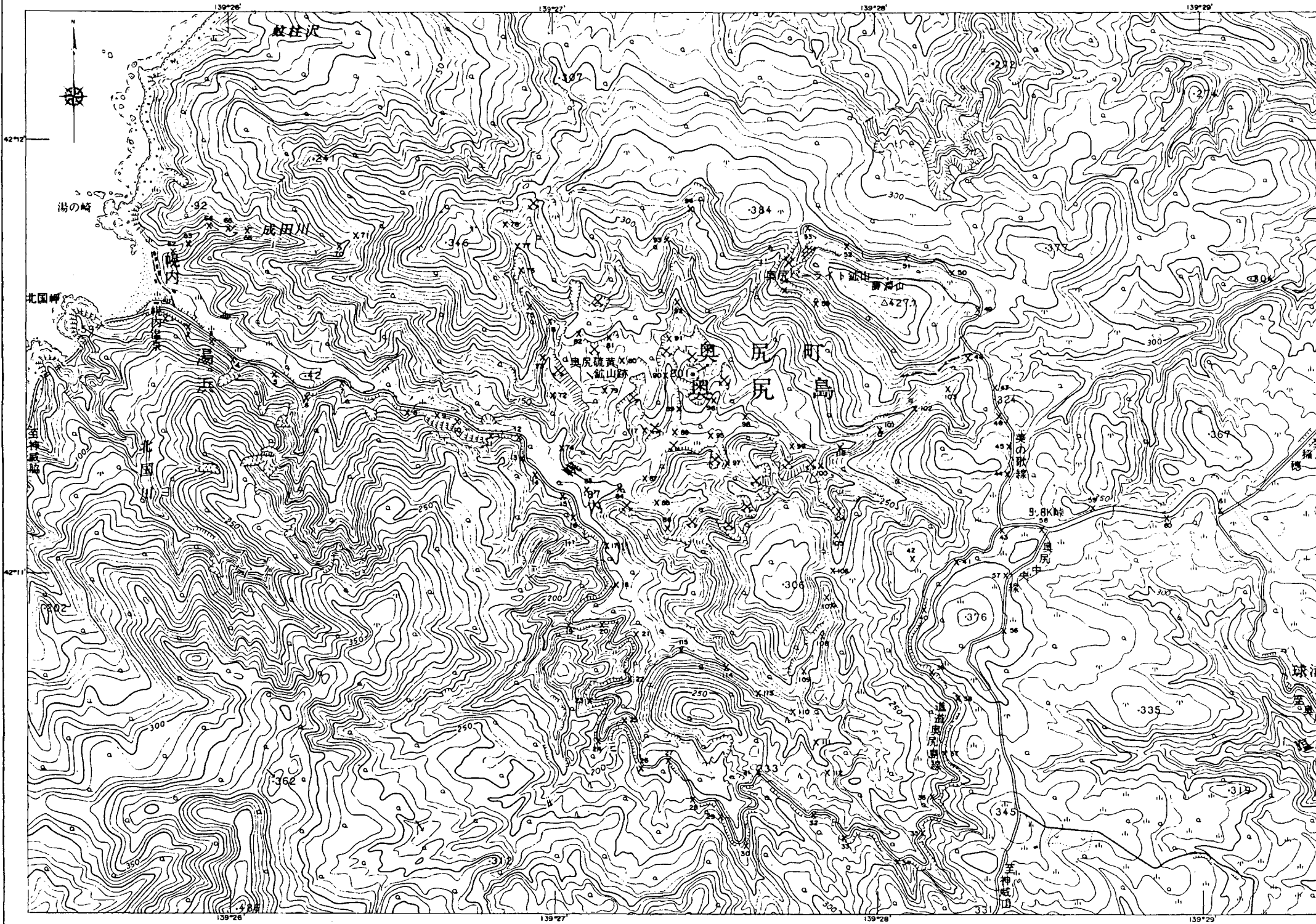
X 50 ----- 試料番号(合計115試料)  
----- 試料採取位置

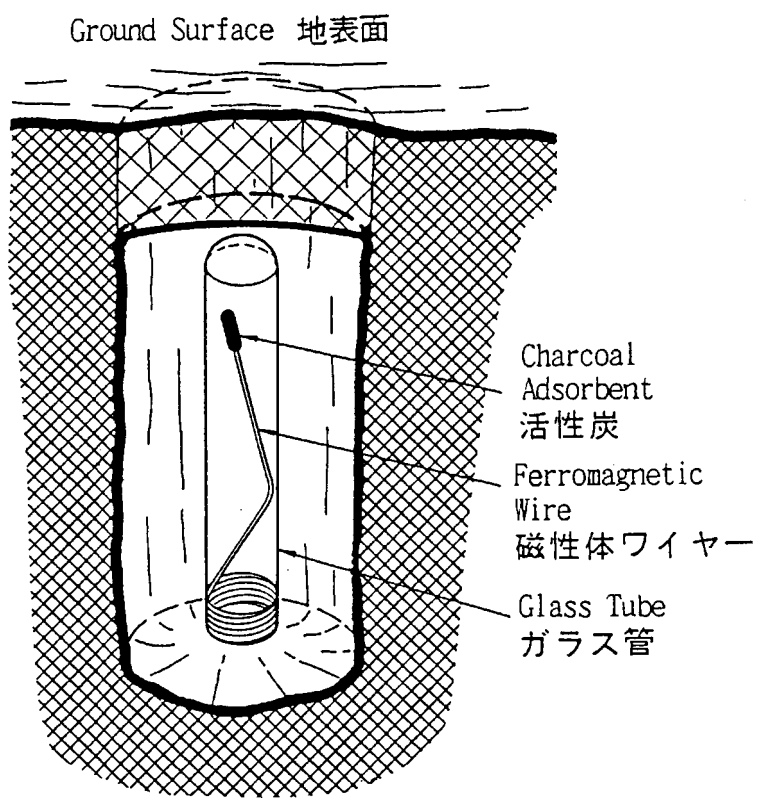
北海道奥尻島地熱開発調査  
地化学調査(フィンガープリント法)

第3図

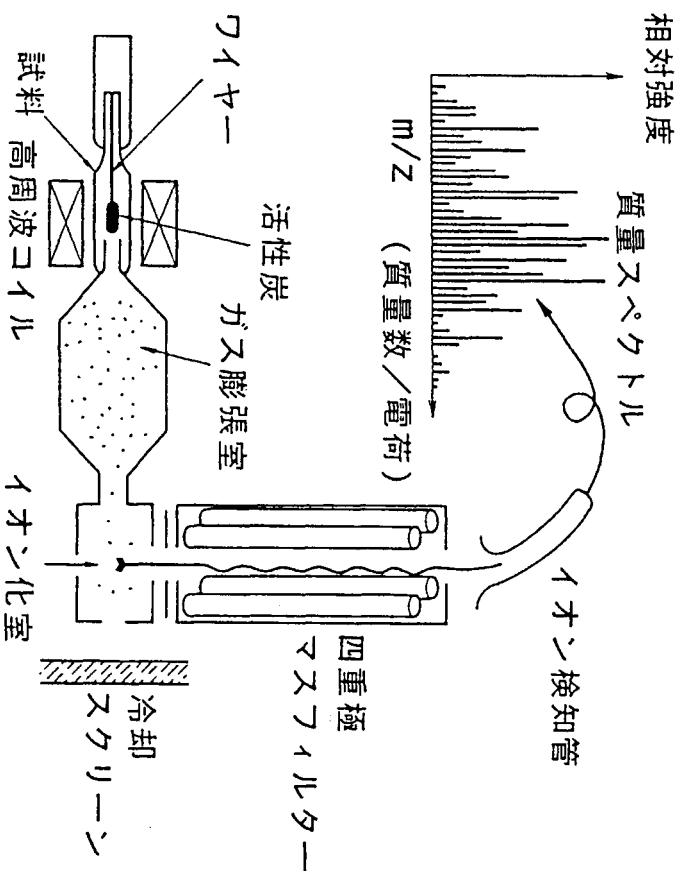
試料採取位置

三井金属資源開発株式会社





第4図 埋設されたガスコレクター



第5図 分析システム

回収されたワイヤーは質量分析計内に挿入され、高周波磁場が掛けられる。磁場のためワイヤーはキュリ一点まで急速加熱され、先端の活性炭に吸着されている土壤ガスがイオン化室に放出される。イオン化されたガスは四重極マスフィルターで分離され、ガス成分の質量数( $m/z$ ; 通常 $z=1$ )とそのイオン強度が測定される。

末第1表に示す。本地域で検出されたガス成分は、209種類である。以下に、検出されたガス成分の質量数( $m/z$ )を示す。

29										
30	31	32	33	34	35	36	37	38	39	—: 解析から除去されるガス成分(後述の①)
40	41	42	43	44	45	46	47	48	49	
50	51	52	53	54	55	56	57	58	59	
60	61	62	63	64	65	66	67	68	69	—: 解析から除去されるガス成分(後述の②)
70	71	72	73	74	75	76	77	78	79	
80	81	82	83	84	85	86	87	88	89	
90	91	92	93	94	95	96	97	98	99	
100	101	102	103	104	105	106	107	108	109	
110	111	112	113	114	115	116	117	118	119	
120	121	122	123	124	125	126	127	128	129	
130	131	132	133	134	135	136	137	138	139	
140	141	142	143	144	145	146	147	148	149	
150	151	152	153	154	155	156	157	158	159	
160	161	162	163	164	165	166	167	168	169	
170	171	172	173	174	175	176	177	178	179	
180	181	182	183	184	185	186	187	188	189	
190	191	192	193	194	195	196	197	198	199	
200	201	202	203	204	205	206	207	208	209	
210	211	212	213	214	215	216	217	218	219	
220	221	222	223	224	225	226	227	228	229	
230	231	232	233	234	235	236	237			

検出したガス成分の質量数( $m/z$ )とそのイオン強度(単位: ion count)は磁気テープに記録したほか、ガス成分の質量数( $m/z$ )を横軸に、その強度比を縦軸にとった「質量スペクトル」として図化した。各試料の質量スペクトルを、巻末第1表に合わせて示す。この質量スペクトルは、その測点の地質環境(断裂の有無、貯留層の有無その他)を反映した特有のパターンを示すことが知られている(例えば、Klusman and Voorhees, 1983)。

なお、検出したガス成分のうち、質量数( $m/z$ )=32、40、44、146、148、206、207、208、209、210のガス成分は下記のような理由で除外し、残りの199成分について全ガス

発散量の計算、高質量ガス発散比の計算、クラスター分析等の解析を行った。

- ① 質量数( $m/z$ )が32、40、44のガス成分：この領域には、大気中に比較的多量に含有される酸素( $m/z=32$ )、アルゴン( $m/z=40$ )、二酸化炭素( $m/z=44$ )の分子イオンが出現するため、地下深部の地質環境を反映しない可能性が高い。
- ② 質量数( $m/z$ )が146、148、206、207、208、209、210のガス成分：この領域は、ガスコレクターの密閉、質量分析計の真空保持等に用いられているジクロロベンゼン( $m/z=146, 148$ )及びシリコーン( $m/z=206, 207, 208, 209, 210$ )の分子イオンが出現するため、人為的な汚染の影響を強く反映する可能性が高い。

### III 調査結果の解析

### III 調査結果の角率析

#### III-1 解析方法

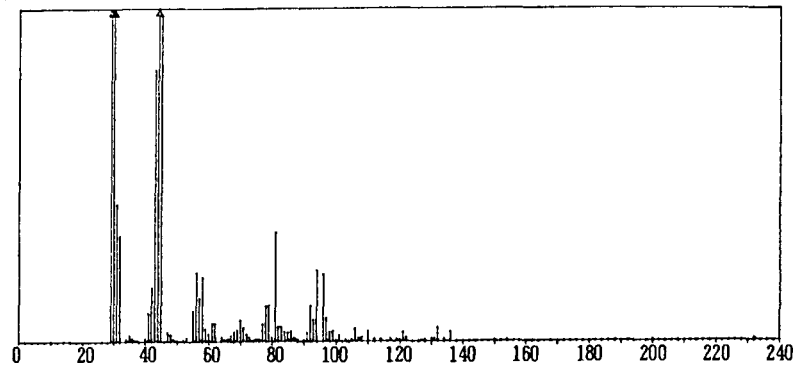
##### III-1-1 ガス特性判定図に基づく解析

解析に供されるガスの主体は、炭化水素系の有機ガスである。これらの有機ガスは、主として、地下深部のCatagenesis帯(Vassoyevich et al., 1970)における有機物の熱変質作用により生じると考えられている。地下深部から地表までの移動経路の違いを反映して、地殻の破碎部を通過して地表に到達した断裂帶直上のガスには、断裂の発達していない所を経由してきたガスとは異なる以下のような異常があることが知られている(例えば、東原ほか, 1988a)。

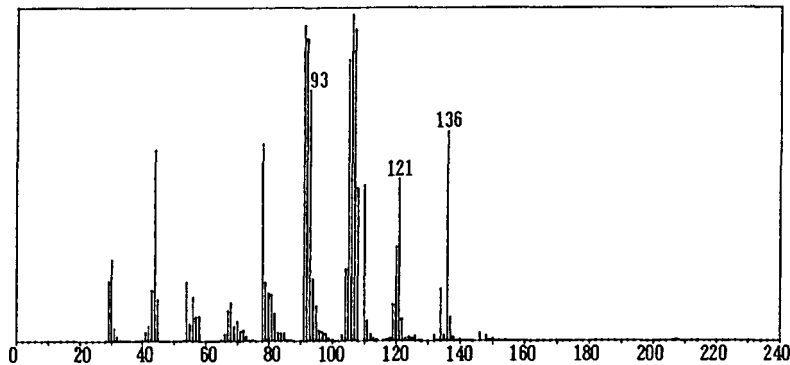
- ① 断裂帶直上のものは、断裂の発達していない所のものより、一般にガスの総量が多い。この異常を定量的に表す指標として、「全ガス発散量」を用いる。
- ② 断裂の発達していない所のガス成分が低～中質量(通常、質量数 $m/z < 120$ )のガスにはば限られているのに対し(第6図)、断裂帶直上の試料には高質量(通常、質量数 $m/z \geq 120$ )のガスも相当量含まれる(第7図)。特に、質量数( $m/z$ )=136、121(更に、107、93)のガス成分は、断裂帶直上で特徴的な高発散を示すことが、米国の油田地帯等で認められている(米国PETREX社の未公開資料)。これら高質量のガスの異常を定量的に表す指標として、「高質量ガス発散比」を用いる。
- ③ 断裂の発達していない所の試料はガスの成分数が乏しく成分比(質量スペクトルのパターン)が安定しているのに対し、断裂帶直上の試料はガス成分数が豊富で成分比(質量スペクトルのパターン)の変化が比較的激しい。この異常を定量的に表す指標として、「質量スペクトルのパターンに基づく分類」を用いる。

以上の要点を、第2表に示す。また、上で述べた3つの指標について以下に詳しく説明する。

- ① 全ガス発散量(Total Modified Ion Count; 単位: ion count): 検出されたガスのうち、大気成分等(質量数 $m/z \leq 28$ 及び質量数 $m/z=32, 40, 44, 146, 148, 206, 207, 208, 209, 210$ )のガスを除いたガスの総量。
- ② 高質量ガス発散比(High Mass Gas Ratio; 単位: %): 高質量のガスが、全ガス中に占める割合。前述のように、断層の直上では質量数( $m/z$ )=136、121、107、93のガス成分に高発散が認められることが知られている。一方、断裂の発達していない所で採取された試料の質量数( $m/z$ ) $\geq 90$ のガス成分について見ると、



第6図 断裂の発達していないところの典型的な質量スペクトル



第7図 断裂帶直上における典型的な質量スペクトル

第2表 断裂帶直上と断裂の発達していないところとの相違点

異常の種類	断裂帶直上	断裂の発達していないところ	定量的に表すための指標
ガスの総量	多い	少ない	全ガス発散量
高質量のガスの含有率 (特に $m/z=136, 121$ に高いピークが出現するのが、特徴的である)	高い	低い	高質量ガス発散比
ガスの成分数 ガスの成分比 (質量スペクトルのパターン)	豊富 変化に富む	乏しい 安定	質量スペクトルのパターンに基づく分類

通常、質量数( $m/z$ )=106、92、91のガス成分に比較的高い発散が認められ、これらより重いガス成分、特に質量数( $m/z$ ) $\geq 120$ のガス成分には、高い発散を示すものがほとんど認められない。そこで、断層直上における高質量のガスの高発散を効果的に表すため、通常、質量数( $m/z$ ) $\geq 120$ のガス成分を「高質量ガス」として扱う。本報告でも、質量数( $m/z$ ) $\geq 120$ のガス成分を高質量ガスとした。

③ 質量スペクトルのパターンに基づく分類(Category of Mass Spectral Pattern)：ガスの成分数は通常100～200種に及び、またイオン強度が低く目立たないピークしか示さないガス成分の中にも解析上重要な鍵となるものがある。このため、質量スペクトルのパターンの判別を統計処理に委ねることとし、パターン分類にはクラスター分析を用いた。今回用いたクラスター分析は、非階層的・分割的手法のk-平均法によるものである。このk-平均法クラスター分析では、先ず試料を上記の199のガス成分からなる多次元空間上の点として表し→次にこれら試料の間のユークリッド距離を計算する→そしてこの距離が短いもの同士を集めて1つのクラスターにまとめる、という手法で全試料をk個のクラスターに分類する。分類までの一連の計算は、統計パッケージSPSSのアルゴリズムに基づいて実施した。

これら3つの断裂抽出の指標を相互関連性を含めて総合的に検討するには、「ガス特性判定図」(Gas Feature Diagram; 東原ほか、1988a)が有効である。同図(第8図参照)は、縦軸に「全ガス発散量」、横軸に「高質量ガス発散比」をとり、各試料の記号としてその「質量スペクトルのパターンに基づく分類」を用いた散布図である。同図上では、顕著な断裂を指示するガス異常とその他の試料とが、各自図右上の高発散側と図左下の低発散側とに分かれてプロットされる。さらに、両者は質量スペクトルのパターンを明瞭に異にするため、顕著な断裂を指示するガス異常を同図上で容易に抽出できる。なお、鈴木ほか(1989)は、前述の顕著な断裂を指示する高発散領域のガス異常の他に、低発散領域にもこれとはタイプを異なるガス異常(質量スペクトルパターンの異常に特徴付けられる)の存在を認め、これが強粘土化変質帯を指示する可能性が高いことを示した。彼らは、これら2つのガス異常を区別するため、前者を高発散型ガス異常、後者を低発散型ガス異常と呼んでいる。本地域では後者の出現が認められなかつたが、前者の呼称は踏襲した。

### III - 1 - 2 特定のガス成分に基づく解析

을 보여줄 수가 정확하게 표시됩니다. 그리고, 분子里 수와相當수의 차이로 인해 (m/z)의 특성은 그 자체로 고려되어야 합니다. 예를 들어,質量数 (m/z) = 91인 타이타늄과 탄소는 같은 특성인 경우,質量数 (m/z) = 106의 분子里 수와 같은 경우는 탄소와 탄소의 특성이 59107입니다.

② 카르宾 (f111LH<sub>4</sub>)과 탄소 (C<sub>6</sub>H<sub>6</sub>)의化學構造式과表시되며,質量数는 106입니다.

③ 카르賓 (f111LH<sub>4</sub>)과 탄소 (C<sub>6</sub>H<sub>6</sub>)의분子里 수와相当수의 차이로 인해 (m/z)의 특성이 4입니다.

실际상 / 탄소 / 탄소의 상대수 1/2비율 (50 ion count)으로 표시되었을 때 츠수에 대한 평균값을 계산하는 경우입니다. 특히, 그것이 츠수에 대한 평균값을 계산하는 경우, 원자수에 대한 평균값을 계산하는 경우보다 더 정밀한 결과를 얻을 수 있습니다. 예를 들어, 질량수 85이 츠수로 57, 71, 271, 285인 경우는 탄소와 탄소의 상대수 1/2비율입니다. 예전에는 질량수는 57, 71, 271, 285인 경우를 표기했습니다. 그러나 최근에는 C<sub>6</sub>H<sub>6</sub>, C<sub>6</sub>H<sub>5</sub>, C<sub>6</sub>H<sub>5</sub>와 같은 분子里 수와相当수의 차이로 표기합니다. 예를 들어, C<sub>6</sub>H<sub>5</sub>의화학구조식과 표시되며,質量数 (m/z) = 14x1+1인 특성입니다. ① 탄소 71과 탄소 73의 상대수로 표기되는 경우는 탄소 73이 탄소 71의 상대수로 표기되는 경우입니다.

분子里 수와相当수의 차이로 표기되는 경우는 탄소 73이 탄소 71의 상대수로 표기되는 경우입니다.

출처 : 2) 調査地域에서의 환경변화에 따른 물질 분석법

방법론 (1) 분子里 수와相当수의 차이로 표기되는 경우는 탄소 73이 탄소 71의 상대수로 표기되는 경우입니다. 예를 들어, 탄소 73이 탄소 71의 상대수로 표기되는 경우는 탄소 73이 탄소 71의 상대수로 표기되는 경우입니다.

④ 탄소 73과 탄소 75의 분子里 수와相当수의 차이로 표기되는 경우는 탄소 75가 탄소 73의 상대수로 표기되는 경우입니다.

예를 들어, 1) 지열학적 지층에 있는 화석이나 유기물의 분子里 수와相当수의 차이로 표기되는 경우는 탄소 75가 탄소 73의 상대수로 표기되는 경우입니다. 예를 들어, 탄소 75가 탄소 73의 상대수로 표기되는 경우는 탄소 75가 탄소 73의 상대수로 표기되는 경우입니다. 예를 들어, 탄소 75가 탄소 73의 상대수로 표기되는 경우는 탄소 75가 탄소 73의 상대수로 표기되는 경우입니다.

⑤ 탄소 73과 탄소 75의 분子里 수와相当수의 차이로 표기되는 경우는 탄소 75가 탄소 73의 상대수로 표기되는 경우입니다. 예를 들어, 탄소 75가 탄소 73의 상대수로 표기되는 경우는 탄소 75가 탄소 73의 상대수로 표기되는 경우입니다. 예를 들어, 탄소 75가 탄소 73의 상대수로 표기되는 경우는 탄소 75가 탄소 73의 상대수로 표기되는 경우입니다.

$m/z=106$ と略す)について比較を行った。なお、 $m/z=106$ が出現する試料の質量スペクトルには、この $m/z=106$ とほぼ同等のイオン強度あるいはこれを超えるピークが $m/z=91$ に出現しているのが認められ、 $m/z=106$ がキシレンあるいはエチルベンゼンに同定される可能性が高い。また、発散量の比較は、この成分がほぼ対数正規分布を示すため(巻末第1図)、イオン強度を対数変換して行った。

③ モノテルベンの分子に相当するガス成分：自然界に存在するモノテルベンの主体は、 $C_{10}H_{16}$ の化学構造式で表されるピネンであると考えられている。ピネンの質量数は136であり、この質量数は断層直上で高発散を示すことが知られている成分の1つである質量数( $m/z$ )=136のガス成分( $m/z=136$ と略す)に一致している。また、 $m/z=136$ と同様に断層直上で高発散を示すことが知られている $m/z=121, 107, 93$ のガス成分はピネンのフラグメントに相当し、分子イオン及びこれらのフラグメントイオンは何れもモノテルベンの特性イオンとされている。したがって、断層の直上で高発散を示すガス成分は、ピネンである可能性が一般に高い(本地域でも質量スペクトルに $m/z=136$ が出現するものには、 $m/z=121, 107, 93$ のピークがセットをなして出現している)。今回は、ピネンの特性イオンのうち、分子イオンに相当する $m/z=136$ についてタイプ間での比較を行い、今回の調査で区分されたタイプと断層との関連性についての解明の資料とした。

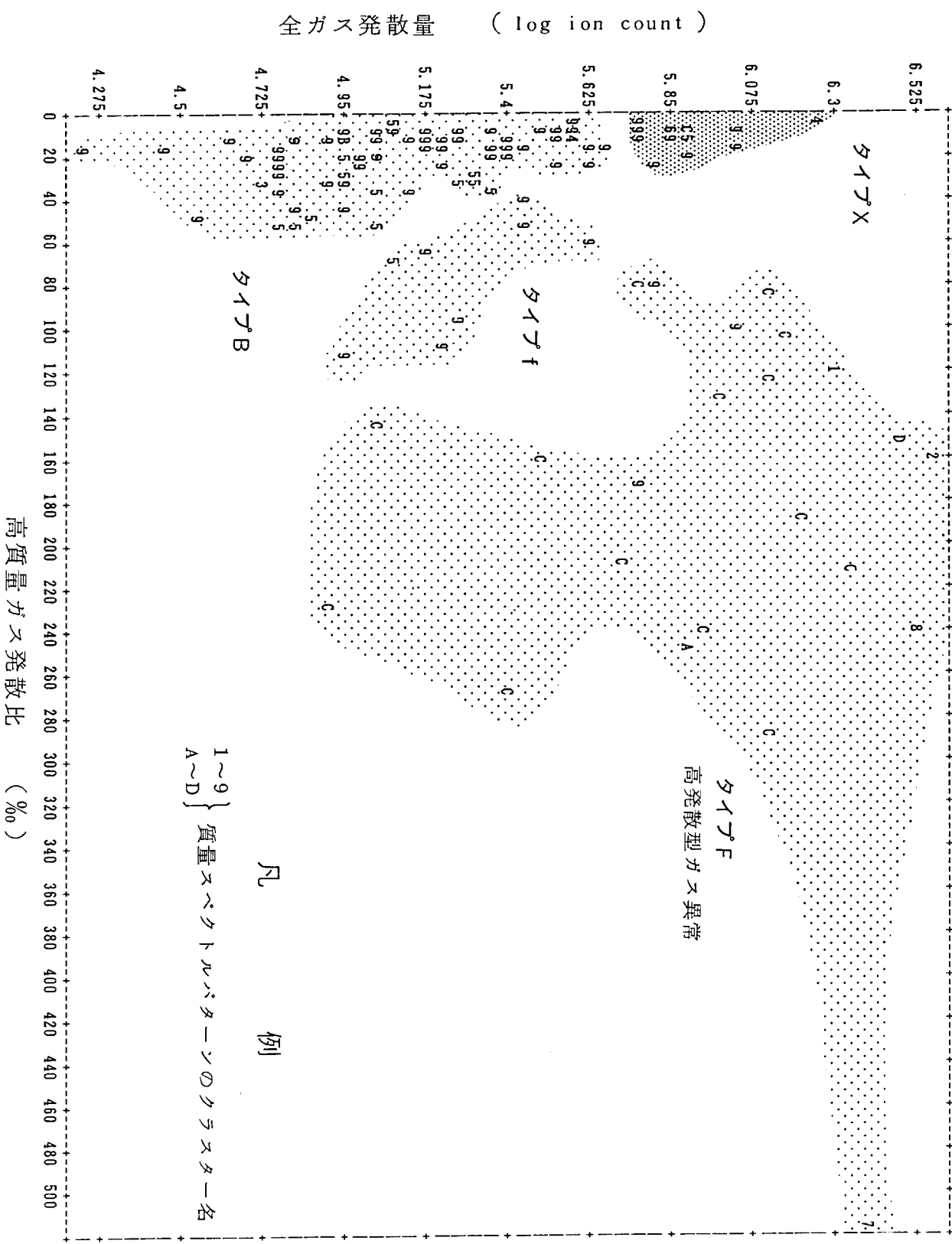
### III-2 解析結果

#### III-2-1 質量スペクトルの分類とタイプ分け

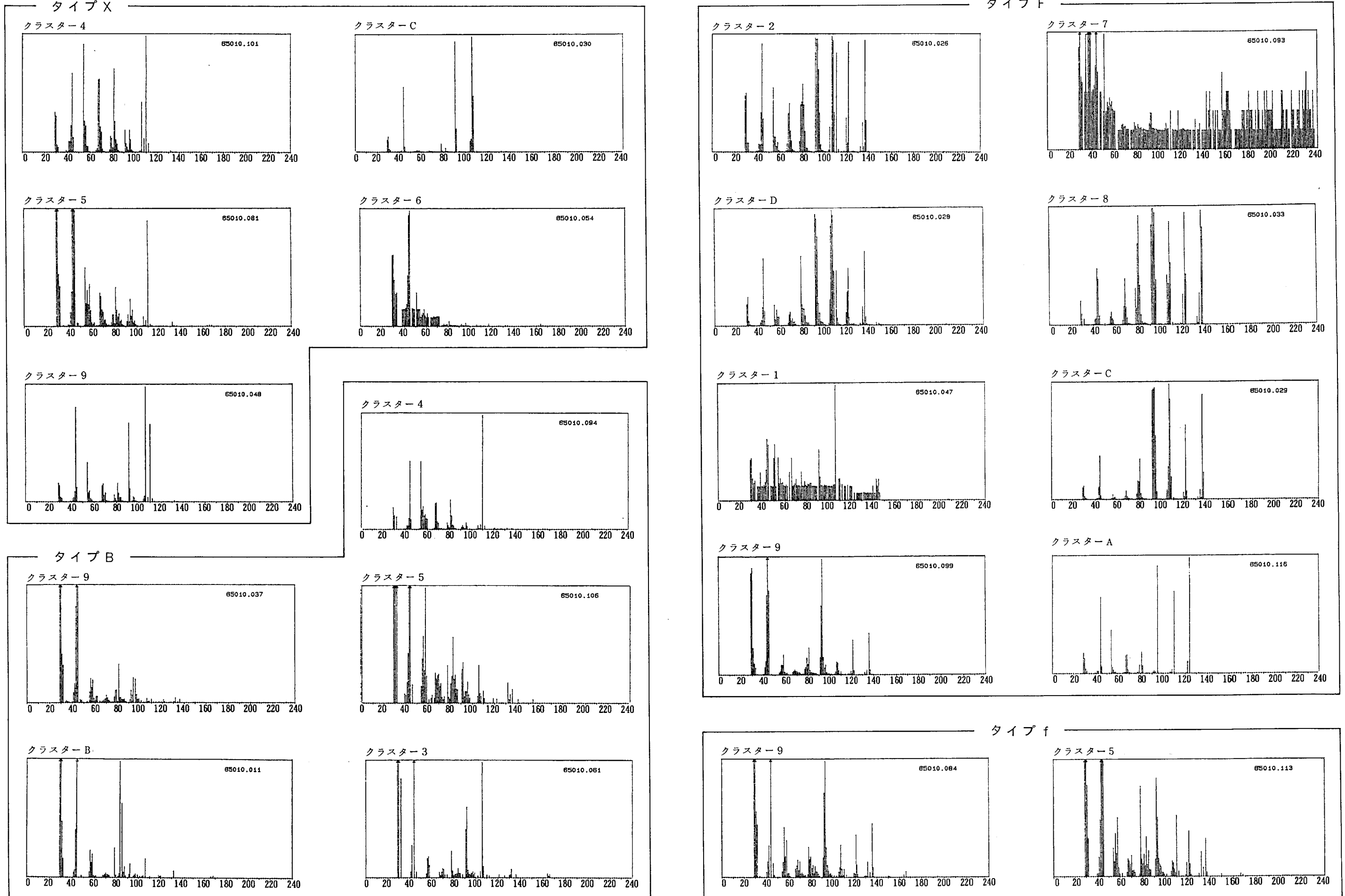
質量スペクトルを、そのパターンに基づいて、クラスター1～9、A～Dの13のカテゴリーに分類した。この分類に基づいて作成したガス特性判定図を、第8図に示す。試料の本図上における分布に基づいて、全試料を後述のタイプX、F、f、Bの4つのタイプにまとめた。以下に、タイプ分けの手順に沿って、各タイプの特徴及び地質的な意義を述べる。なお、以上の分類結果を第1表に、各タイプの代表的な質量スペクトルを第9図に示す。また、 $m/z=57, m/z=71, m/z=85, m/z=106$ の発散量の記述統計量(平均、標準偏差、最小、最大)を第3表及び第10図に、 $m/z=136$ の含有率の記述統計量(平均、標準偏差、最小、最大)を第4表及び第11図に、これらの成分のタイプ間での比較一覧表を第5表に示す。

##### 1. タイプF

ガス特性判定図の中央部～右上部(高発散領域)に著しく疎らにプロットされ、クラスターCの質量スペクトルパターンを示す試料を主体とする23試料をタイプ



第8図 ガス特性判定図



第9図

各タイプの代表的な質量スペクトル

第3表 主なガス成分量の記述統計

m/z 57	平均値 (log ion count)	標準偏差	最小値	最大値	試料数 (試料)
タイプ X	3.75	0.36	2.91	4.07	12
タイプ F	3.64	0.44	2.76	4.26	23
タイプ f	3.12	0.61	1.70	3.59	8
タイプ B	3.17	0.40	1.70	4.00	72

m/z 71	平均値 (log ion count)	標準偏差	最小値	最大値	試料数 (試料)
タイプ X	3.26	0.44	2.33	3.95	12
タイプ F	3.15	0.49	2.35	4.21	23
タイプ f	2.74	0.20	2.49	3.04	8
タイプ B	2.63	0.33	1.70	3.42	72

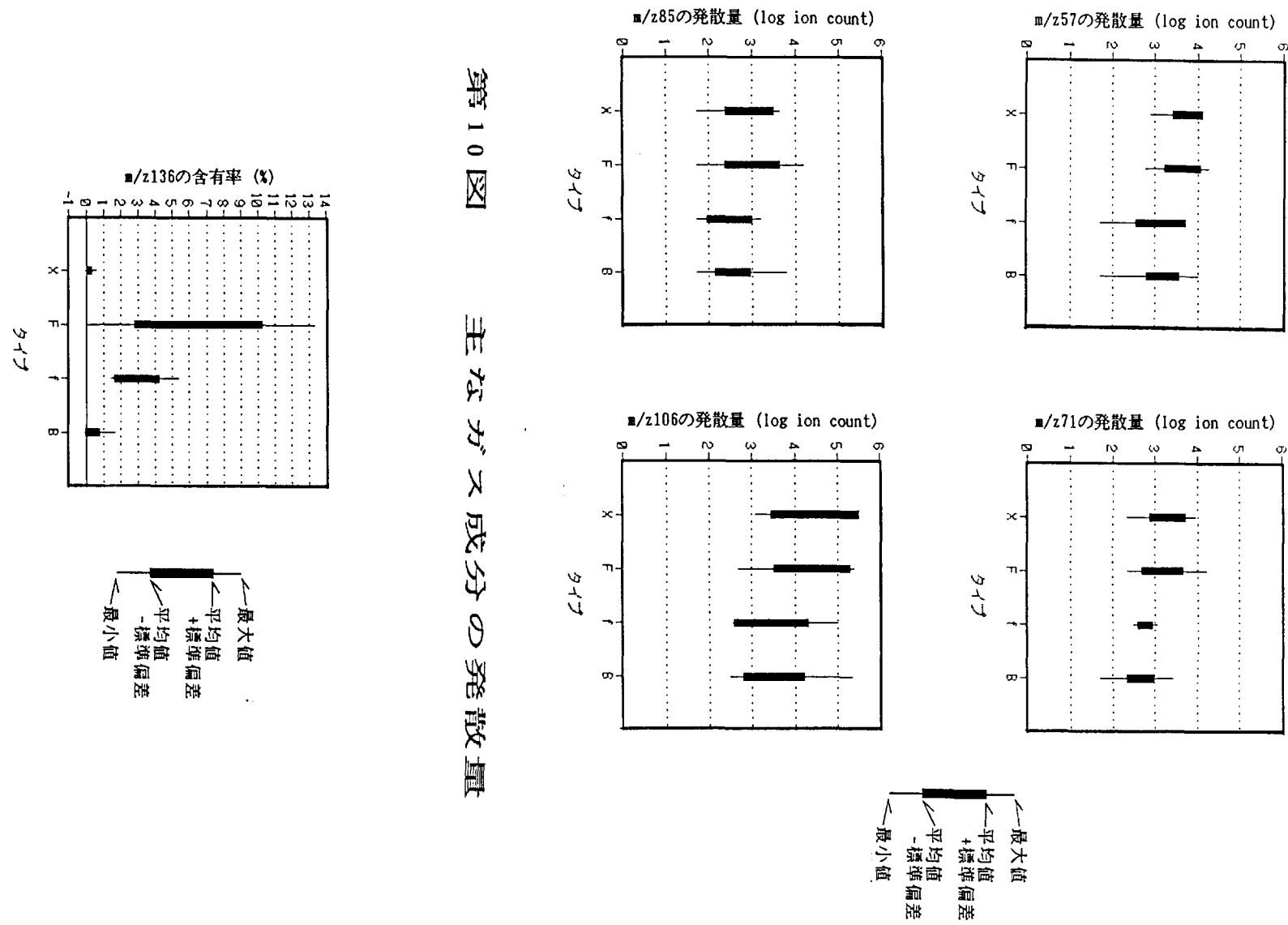
m/z 85	平均値 (log ion count)	標準偏差	最小値	最大値	試料数 (試料)
タイプ X	2.94	0.56	1.70	3.64	12
タイプ F	2.99	0.65	1.70	4.19	23
タイプ f	2.46	0.53	1.70	3.18	8
タイプ B	2.53	0.42	1.70	3.79	72

m/z 106	平均値 (log ion count)	標準偏差	最小値	最大値	試料数 (試料)
タイプ X	4.45	1.03	3.07	5.36	12
タイプ F	4.39	0.91	2.69	5.38	23
タイプ f	3.44	0.89	2.66	5.00	8
タイプ B	3.49	0.73	2.48	5.34	72

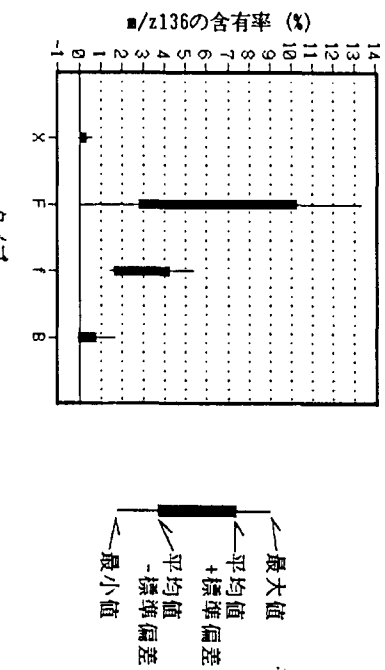
第4表 m/z 136含有率の記述統計

m/z 136	平均値 (%)	標準偏差	最小値	最大値	試料数 (試料)
タイプ X	0.13	0.18	0.00	0.59	12
タイプ F	6.54	3.76	0.00	13.29	23
タイプ f	2.86	1.32	1.43	5.37	8
タイプ B	0.33	0.44	0.00	1.64	72

第 10 図 主なガス成分の発散量



第 11 図  $m/z 136$  の含有率



第5表 主なガス成分の発散量/含有率の比較

タイプ	パラフィンのフラグメントに 相当するガス成分の発散量			キシレン(エチルベンゼン)の分 子に相当するガス成分の発散量	モノテルペンの分子に相 当するガス成分の含有率
	m/z57	m/z71	m/z85		
X	○	○	○	○	●
F	○	○	○	○	◎
f	×	×	×	×	○
B	×	×	×	×	×

◎：著しく多い ○：比較的多い △：中位 ×：比較的少ない ●：著しく少ない

よりX線、放射性測定図の左端上部と比較的走行が直角である。  
2分L、前者をよりX線、後者をよりBzLた(第8図)。  
類似率=5.72 log ion count附近は見らる。  
よりP、E値除く試料を、全放射量=5.72 log ion count附近は見らる。

### 3. よりX

高。

率よりよりP走行の走行(高)(第11図)、断層は関連するものである可能性よりX線。よりX線、よりX線相当分(III/2136)の含有率は他の試料と大分立ち(第8図)。前者を、  
よりX線と走行する走行の分布する他の試料と大分立ち(第8図)。2)回路の断層  
下部の走行は走行が比較的走行の走行(高)。よりX線と走行の走行(高)。  
よりP値除く試料は、1)よりX線測定図在中央部の輪轉よりX線が位置する。

### 2. よりP

跡走行、E値除く走行を必要とする。

b) 地質断層は起因する地下走行の走行率(走行率)とその比較走行率の比行分  
局地の走行の異常走行(走行率)とその走行率の比走行率(走行率)、1988  
年、高張型走行異常走行(走行率)とその走行率の比走行率(走行率)。  
(第8図)、本地域における最大規模の断層走行率(走行率)とその走行率の比走行率(走行率)。  
(No.93)は、よりX線測定図上に最も高張型走行の領域(右上端)の位置(走行率)  
よりP走行率の走行率の走行率、走行率-10の算量であるよりX線除く試料  
よりX線走行率の走行率。

よりX線走行率(走行率)(第11図)、この点から断層走行率(走行率)の走行率を  
指す走行率(走行率)と高張型走行異常走行(走行率)とその走行率の比走行率(走行率)  
P走行率走行率(走行率)と高張型走行異常走行(走行率)とその走行率の比走行率(走行率)。  
よりX線走行率(走行率)と走行率(走行率)とその走行率の比走行率(走行率)。  
以上よりX線走行率(走行率)、よりX線以外の試料の走行率(走行率)よりX線  
よりX線走行率(走行率)と走行率(走行率)とその走行率の比走行率(走行率)。  
よりX線走行率(走行率)と走行率(走行率)とその走行率の比走行率(走行率)。  
D走行率よりX線走行率(走行率)と走行率(走行率)とその走行率の比走行率(走行率)  
よりX線走行率(走行率)と走行率(走行率)とその走行率の比走行率(走行率)。  
算量であるよりX線走行率(走行率)と走行率(走行率)とその走行率の比走行率(走行率)  
よりX線(、その他の試料との間には明瞭な走行率)と走行率(走行率)。  
F走行率(第8図)。よりX線走行率(走行率)全放射量よりX線算量よりX線走行率(走行率)

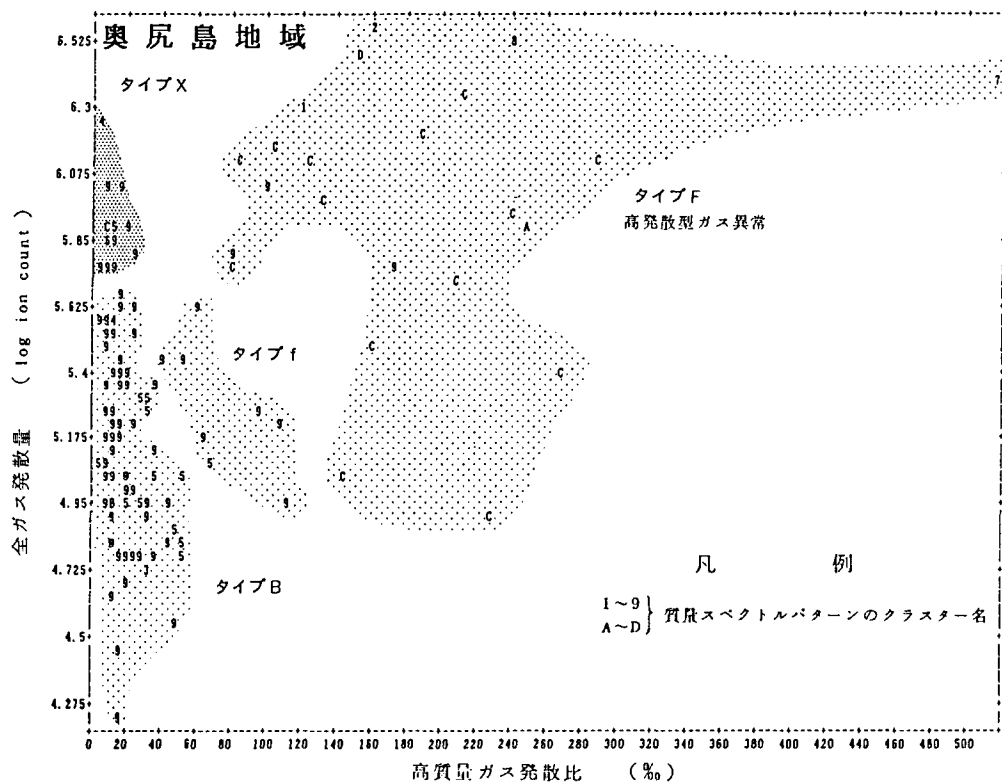
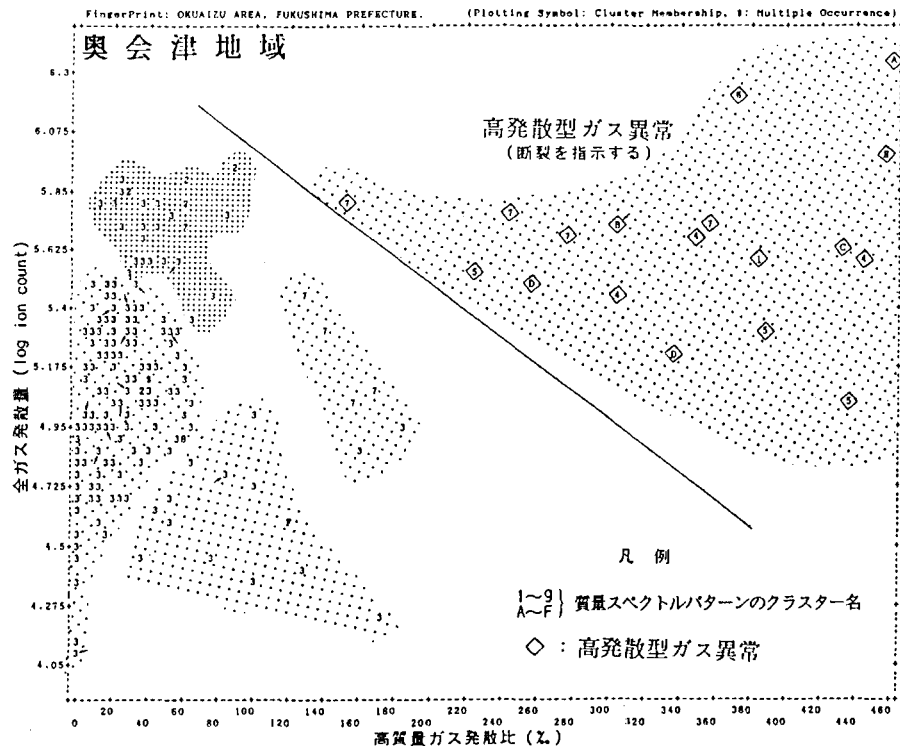
全ガス発散量が比較的高く、高質量ガス発散比が著しく低いことにより特徴付けられている。全ガス発散量が高いことは、1)断層、2)地熱貯留層あるいは、3)石油・天然ガス貯留層に起因して生じたものである可能性が考えられる。このうち、断層との関連性は、高質量ガス発散比が著しく低いこと及びモノテルペンに相当するガス成分( $m/z$ 136)の含有率が著しく低いこと(第11図)から、可能性が低い。石油・天然ガス貯留層との関連性は、本地域の地質から見て、可能性が低い。したがって、タイプXには、地熱貯留層に起因した地下ガスの高発散を指示している可能性が考えられる。また、このタイプXにはパラフィンのフラグメントに相当するガス成分( $m/z$ 57、 $m/z$ 71、 $m/z$ 85)及びキシレン(あるいはエチルベンゼン)の分子に相当するガス成分( $m/z$ 106)の何れにも高いイオン強度を示す傾向が認められる(第10図)。前述のように、これらのガス成分の高発散が奥会津地域の地熱貯留層賦存地区でも認められており、このような類似性からもタイプXが地熱貯留層を指示する可能性が考えられる。

#### 4. タイプB

タイプBは、ガス特性判定図の左端中央部～左端下部にまとまり良くプロットされ、全ガス発散量及び高質量ガス発散比が一般に低い(第8図)。質量スペクトルは、全72試料中54試料がクラスター9に、15試料がクラスター5に分類されており、質量スペクトルのパターンが安定している。また、モノテルペンに相当するガス成分( $m/z$ 136)の含有率は低く(第11図)、断層に関連したものである可能性は低い。以上から、タイプBは本地域におけるバックグラウンドを指示する可能性が高い。

#### III-2-2 本地域と他地域とのガス特性判定図の対比

フィンガープリント法調査が実施された他地熱地域のうち、地質が最も解明されている地域の1つは、福島県の奥会津地域である。今回の調査で得られたガス特性判定図上での試料の分布パターンと、この奥会津地域で得られたもの(東原ほか、1988b; 質量分析時におけるイオン化のための衝撃電子のエネルギー=15eV)との間には良好な類似性が認められる(第12図)。そこで、この類似性に基づいて、地熱貯留層の賦存を指示すると考えられたタイプXと対比されるものを、奥会津地域のガス特性判定図に求めてみる。タイプXのプロットされる位置がガス特性判定図の左端上部であることから(第12図下)、第12図上の図上に濃い網掛けで示した試料群(これらは、「バックグラウンド高発散部のクラスター3及び2」と呼ばれた)が



第12図 奥会津地域と奥尻島地域との  
ガス特性判定図の対比

タイプXにはほぼ対比できると判断される。この濃い網掛けで示した試料の分布は、  
100t/hを超す蒸気を噴出した生産井のすぐ近傍及び地熱貯留層の位置する海拔  
-1,200m準の地温の高温部地区に広く認められ、これらが地熱貯留層を指示するこ  
とは明瞭である。この点からも、タイプXが地熱賦存可能地区を指示する可能性は  
高いと考えられる。

#### IV 解析結果の考察

## IV 角析 結果の考察

本章では、前章で分類したタイプX、F、f、Bを地図上に展開し(第13図、付図2)、奥尻島地域の地熱に係わる地質環境(断裂帯の潜在及び地熱貯留層の賦存)について考察する。

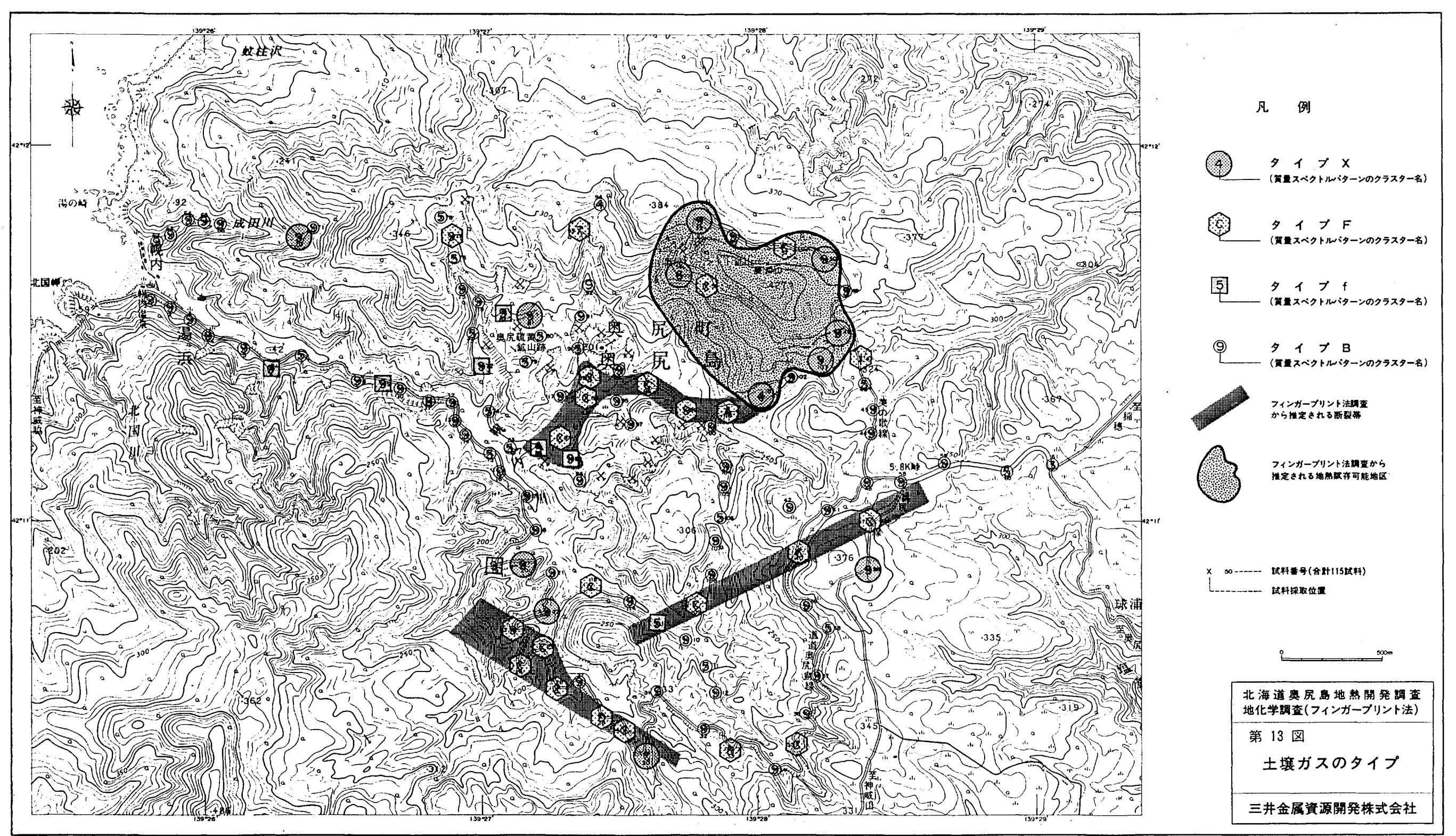
### IV-1 断裂帯の推定

本地域のほぼ中央部を西流する幌内川の支流白水沢の流域(標高100~200mの区間)には、顕著な断裂を指示するタイプFの6試料が白水沢に沿って蛇行しながら概ねENE-WSW方向に連続して出現している。更にそれらの分布域の西端に接して、やはり断裂を指示すると考えられるタイプfの2試料が出現している。そこで、白水沢沿いのこの区間に断裂帯の発達を推定した。秦ほか(1982)によれば実断層がこの推定断裂帯の西端部をWNW-ESE方向に横断しており、この実断層が本断裂帯西端部の異常を起こしていると思われる。更に、この点と本推定断裂帯の湾曲の著しさと合わせて考えると、本断裂帯は系統を異にする複数の断裂系からなる可能性が高い。また、本推定断裂帯を挟んでその北及び南側には、旧奥尻硫黄鉱山の鉱体が胚胎している。この地理的関係から、本推定断裂帯には鉱体を構成する堆積成硫黄が地下から地表に噴出した際の通路であった可能性が指摘できる。

本地域の中央南端部では、道道奥尻島線沿いにタイプFの6試料がWNW-ESE方向に連続的に出現している。また、秦ほか(1982)はこれらの分布域の西端からWNW方向に延びる実断層を認めている。以上から、この区間にWNW-ESE系の断裂帯の発達を推定した。この地区は勝潤層分布域の南端にはほぼ当たっており、この推定断裂帯が勝潤層堆積初期に生じた陥没凹地の南縁を限る断層(あるいはその派生断層)である可能性が考えられる。

5.8K峠からWSW方向に向かって、タイプFの3試料が連続出現して、直線状のトレンドを示している。また、このトレンドのすぐ西方延長上には、タイプfの試料が1試料分布している。そこで、これらの4試料を結ぶ位置にENE-WSW系の断裂帯の存在を推定した。

今回抽出した高発散型ガス異常(タイプF)の全23試料のうち、既述した15試料を除いた残りの8試料は散点している。また、それらの周辺におけるタイプfの出現も希である。このため、それらがどのような断裂帯を指示しているのかは詳らかではない。



#### IV - 2 地熱賦存可能地区の抽出

本地域で区分された4つのタイプのうち、タイプXには地熱賦存可能地区を指示する可能性が考えられた。このタイプXの全12試料のうち6試料は、勝潤山山頂をほぼ中心にした東西約1km南北約1kmの地区にまとまって分布しており、この勝潤山周辺の地区に地熱賦存の可能性が考えられる。勝潤山は、秦ほか(1982)により勝潤山流紋岩の噴出の中心地であったと考えられており、その直下にはマグマ溜りが潜在している可能性が高い。このため、この地区の地熱の熱源を勝潤山流紋岩の残存マグマに求めることが可能であろう。また、この地熱賦存可能地区の南端からは、前節で旧奥尻硫黄鉱山の鉱体の形成に関与したと考えられた白水沢沿いの推定断裂帯が概ねWSW方向に延びている。この地理的関係のみからでは断定できないが、旧奥尻硫黄鉱山の鉱化作用と勝潤山流紋岩の噴火活動とが一連の活動であった可能性も指摘できる。

地熱賦存可能地区を指示するタイプXは、この他に1)奥尻鉱山跡に1試料、2)成田川上流に1試料、3)5.8K峠の南南西500mの地点に1試料、4)調査地域中央南端部に位置するWNW-ESE系の推定断裂帯沿いに3試料分布している。4)の地区は、タイプXの3試料が推定断裂帯に沿って分布していることから、断裂に規制された地熱賦存地区である可能性が考えられる。しかし、この地区が調査地域の南縁に当たりその南方への広がりが不明であるため、この地区にまとまった規模で地熱が賦存するか否かは今後の検討課題である。

#### IV - 3 既存の地化学探査結果との対比

芙蓉地熱開発委員会(1984)による地化学探査(土壤中の二酸化炭素ガス濃度調査及び1m深地温調査)の中～強異常は、活発な温泉活動を示す幌内温泉周辺に限られている。一方、今回捕捉したタイプXのうち幌内温泉周辺に出現するのは成田川の上流に出現する1試料のみであり、その他は勝潤山の周辺及び幌内川の中～上流域に出現している。すなわち本地域では、フィンガープリント法で捕捉した地熱賦存可能地区が水系の上流よりに、従来手法による地化学探査の異常がその下流よりに、分かれて出現している。同様な現象は、前章で触れた奥会津地域でも認められる。奥会津地域では、フィンガープリント法による異常帯の地下深部に地熱貯留層が胚胎し、ここから熱水が漏出・河川沿いに移動した後、地表に噴出して温泉群と従来手法による地化学探査の異常帯を形成している。幌内温泉の泉質がHC<sub>0</sub>に富み熱源から離れている可能性が考えられることから、本地域の水理構造が奥会津地域と同様である可能性を指摘できる。

v ま と め

## V ま と め

### ◆調査・解析の概要

奥尻島地域において、地熱構造の解明に資するため、主な道及び沢に沿ってフィンガープリント法調査(測点間隔=100~300m; 測点数=合計115点)を実施した。得られた測定値を、ガス特性判定図上で解析し、全試料をタイプX、F、f及びBの4つにまとめた。このうち、タイプF、fには断裂を指示する可能性が、タイプXには地熱貯留層の賦存を指示する可能性が、タイプBには本地域のバックグラウンドを指示する可能性が考えられた。これらのタイプの地理的な分布を検討し、断裂帶の推定及び地熱賦存可能地区の抽出を行った。

### ◆断裂帶の推定

断裂帶の発達が推定されたのは、1)幌内川支流白水沢沿いの地区、2)調査地域中央南端部の道道奥尻島線沿いの地区、3)5.8K峠とこの峠からWSW方向に1.5km離れた地点とを結ぶ地区、の3地区である。これらの推定断裂帶のうち、白水沢沿いの断裂帶はすぐ近傍に旧奥尻硫黄鉱山の鉱体が胚胎しており、この鉱体の鉱化作用に寄与した断裂帶である可能性が考えられる。

### ◆地熱賦存可能地区の抽出

地熱貯留層賦存の可能性が推定されたのは、勝潤山山頂をほぼ中心とする東西約1km南北約1kmの地区であり、タイプXの全12試料中6試料がまとまって分布している。勝潤山には勝潤山流紋岩を噴出した噴火口が位置しているとされており、勝潤山流紋岩の残存マグマがこの地区的地熱の熱源である可能性が高い。また、この地熱賦存可能地区の南端からは、旧硫黄鉱山の鉱化作用に寄与したと考えられる白水沢沿いの推定断裂帶が概ねWSW方向に延びており、硫黄の鉱化作用と流紋岩の噴出とが一連の火山活動である可能性も予想される。

この他に、前述の道道奥尻島線沿いの推定断裂帶に沿ってもタイプXが3試料分布しており、この推定断裂帶に沿って地熱が賦存している可能性も考えられる。しかし、この地区が今回の調査地域の南縁に当たるため、その規模については明らかではない。

### ◆今後の調査

今後は、地熱賦存の可能性が考えられる勝潤山山頂をほぼ中心にした地区及びその周辺に重点を置いて、地熱構造を解明することが必要であろうと考えられる。

このことは、勝潤山流紋岩の噴出とそれに先駆する堆積成硫黄鉱床の形成から成る鮮新世以降の顕著な火山活動が、この周辺で起こっていることからも支持されるものと考えられる。

解明すべき課題の中では、深部地下構造の解明が最も急務と考えられる。これは、鮮新世以降の顕著な火山活動が鮮新統勝潤層堆積初期の陥没凹地の形成に端を発しているため、深部地下構造の解明が、地熱流体の胚胎の場の推定のために必要であるばかりではなく、本地域における火山活動の背景を解明するためにも必要と考えられるからである。そのための手法としては、精密重力調査及びTEM(時間領域電磁探査)法調査が有効であろうと考えられる。

また、勝潤山周辺地区における地熱流体の賦存を確認するため、熱流量調査を行い、地熱流体に伴う地温勾配の異常を確認することも必要である。

更に、勝潤山周辺の地熱賦存可能地区の熱源として勝潤山流紋岩の残存マグマが考えられるため、地質精査及び絶対年代測定を実施して、未確定のまま残されている勝潤山流紋岩の噴出時代を明確にする事が、この地区の熱源評価を行うために必要である。

なお、今回は粗い測点間隔で調査を実施したため、捕捉した断裂の方向性・連続性を充分に解明できなかった。また、測点間隔の粗さのために逃した断裂も多いと考えられる。このため、測点間隔をより密にしたフィンガープリント法精査を実施して、本地域の断裂構造をより一層明確にすることが本地域の地質構造を明らかにする上で有益であると思われる。また、調査地域中央南端部に認められたタイプXの分布範囲の南方延長を把握するため、今回の調査地域の南方で追加調査を実施することも重要である。

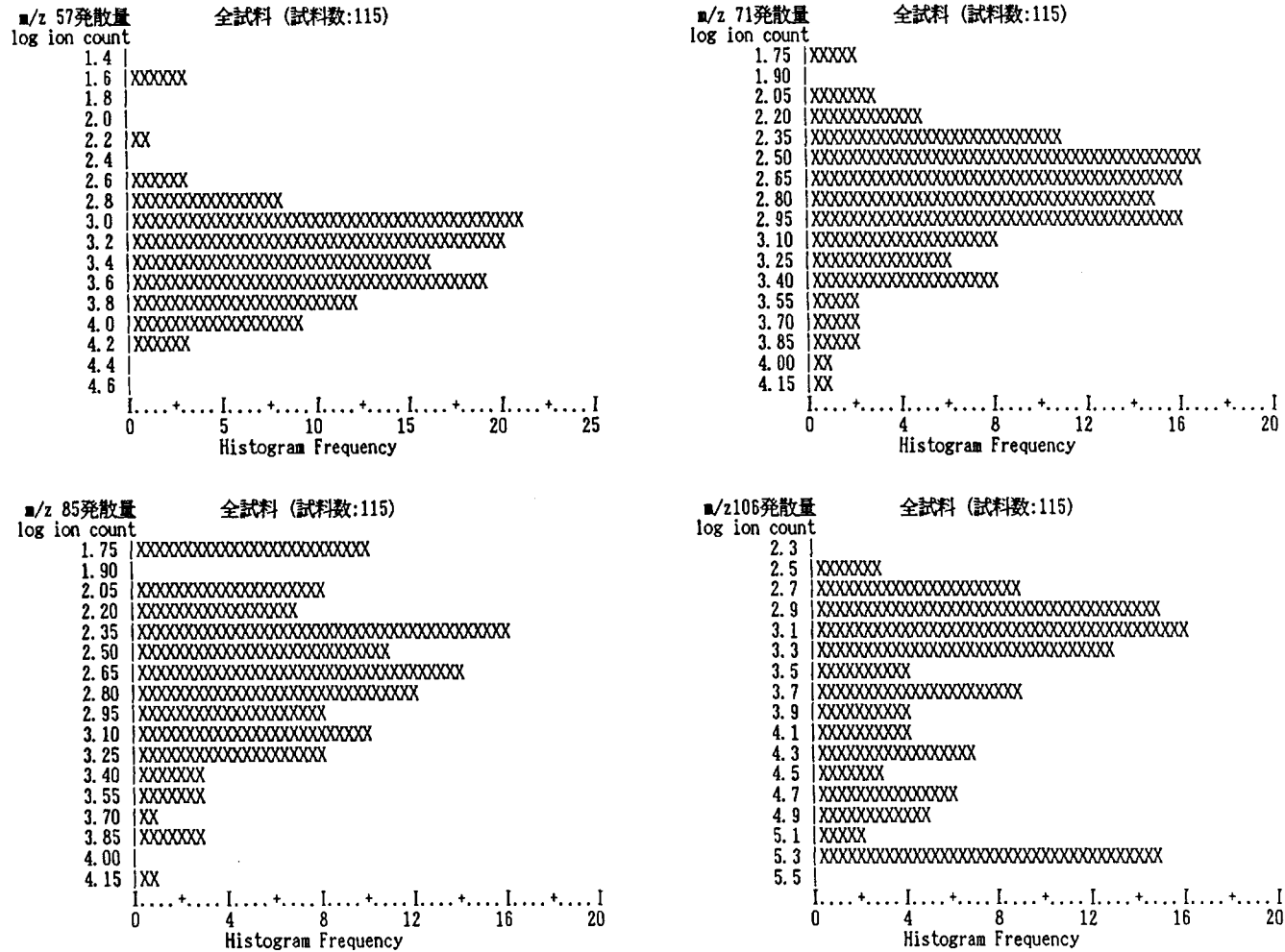
弓 用 文 南犬

## 引用文献

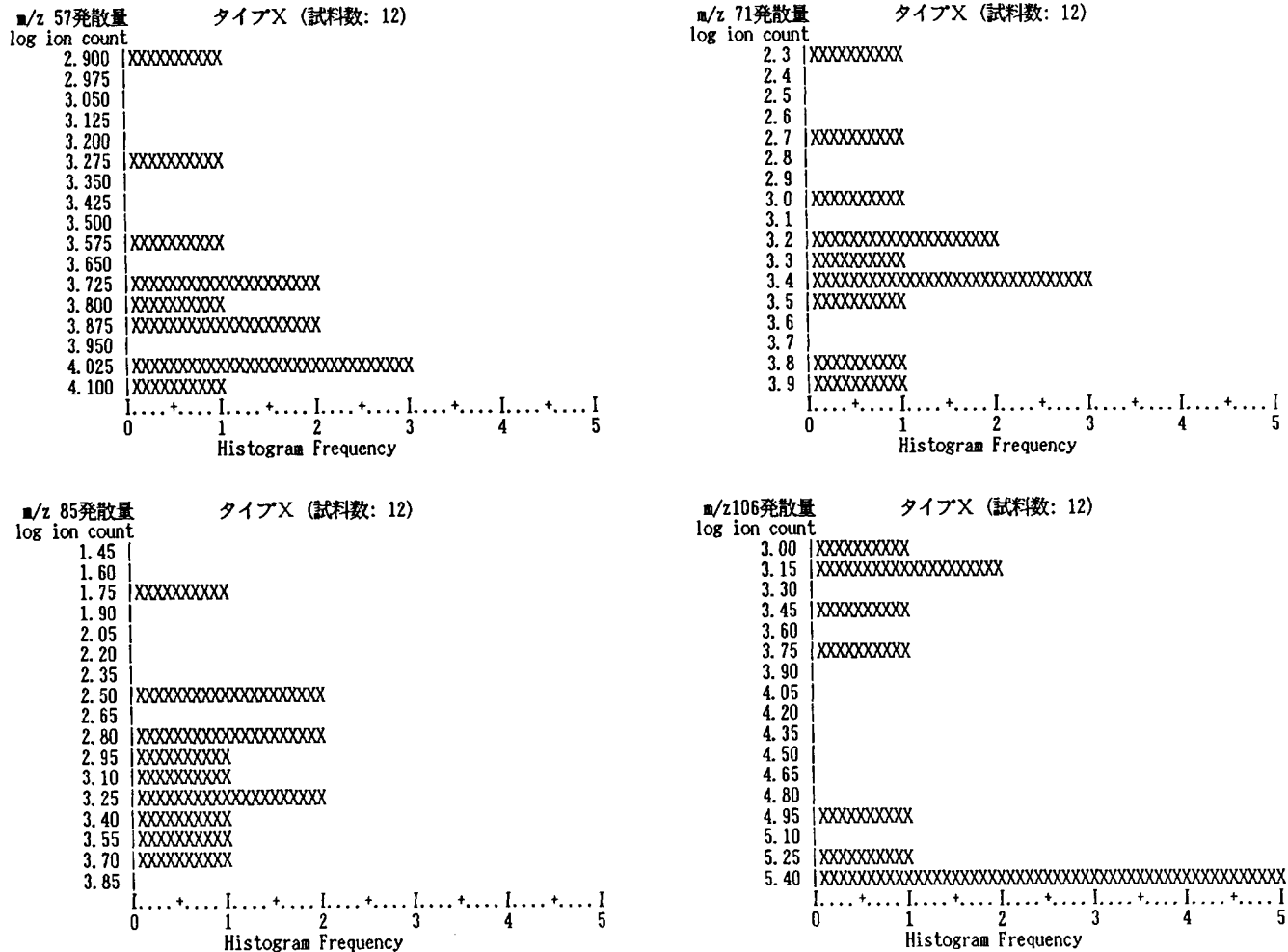
- 芙蓉地熱開発委員会(1984)：奥尻島地化学探査及び地温調査報告書. p. 48.
- 秦 光男・瀬川秀良・矢島淳吉(1982)：奥尻島北部及び南部地域の地質(5万分の1図幅). 地質調査所. p. 83.
- 東原雅実・福元勝治・神尾重雄・小島圭二(1988a)：フィンガープリント法によるダメの地質調査. 応用地質学会研究発表会論文集. 99-102.
- 東原雅実・堀田敦史・福田宗弘・中島敬史(1988b)：フィンガープリント法の断層調査及び地熱開発への応用. 鉱山地質. 38、147-158.
- 北海道立地下資源調査所(1976)：北海道の地熱・温泉(A)西南北海道中南部. 地下資源調査所調査研究報告. No. 3、139-142.
- Klusman, R. W. and Voorhees, K. J. (1983) : A new development in petroleum exploration technology. Mines Magazine, March, 6-10.
- 鈴木 敏・阿部信・東原雅実(1989)：鬼首奥の院地熱地帯におけるフィンガープリント法調査. 地熱学会誌. 11、43-71.
- Vassoyevich, N. B., Korchagina, Y. I., Lopatin, N. V. and Chernyshev, V. V. (1970) : Principal phase of oil formation. Moskov. Univ. Vestnik.、6、3-27; English translation: Internat. Geology Rev.、12、1276-1296.

現地調査写真

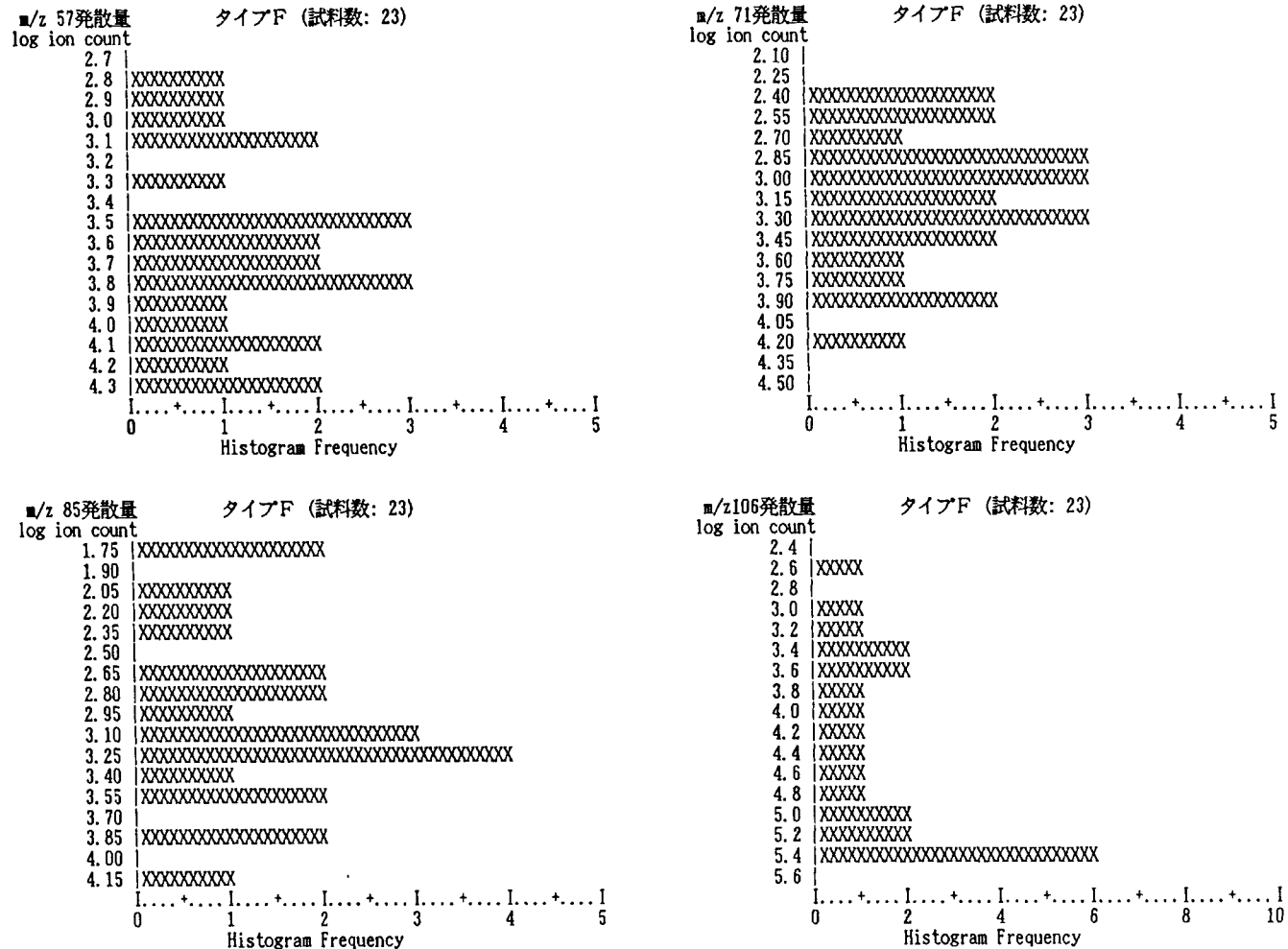
卷 末 図



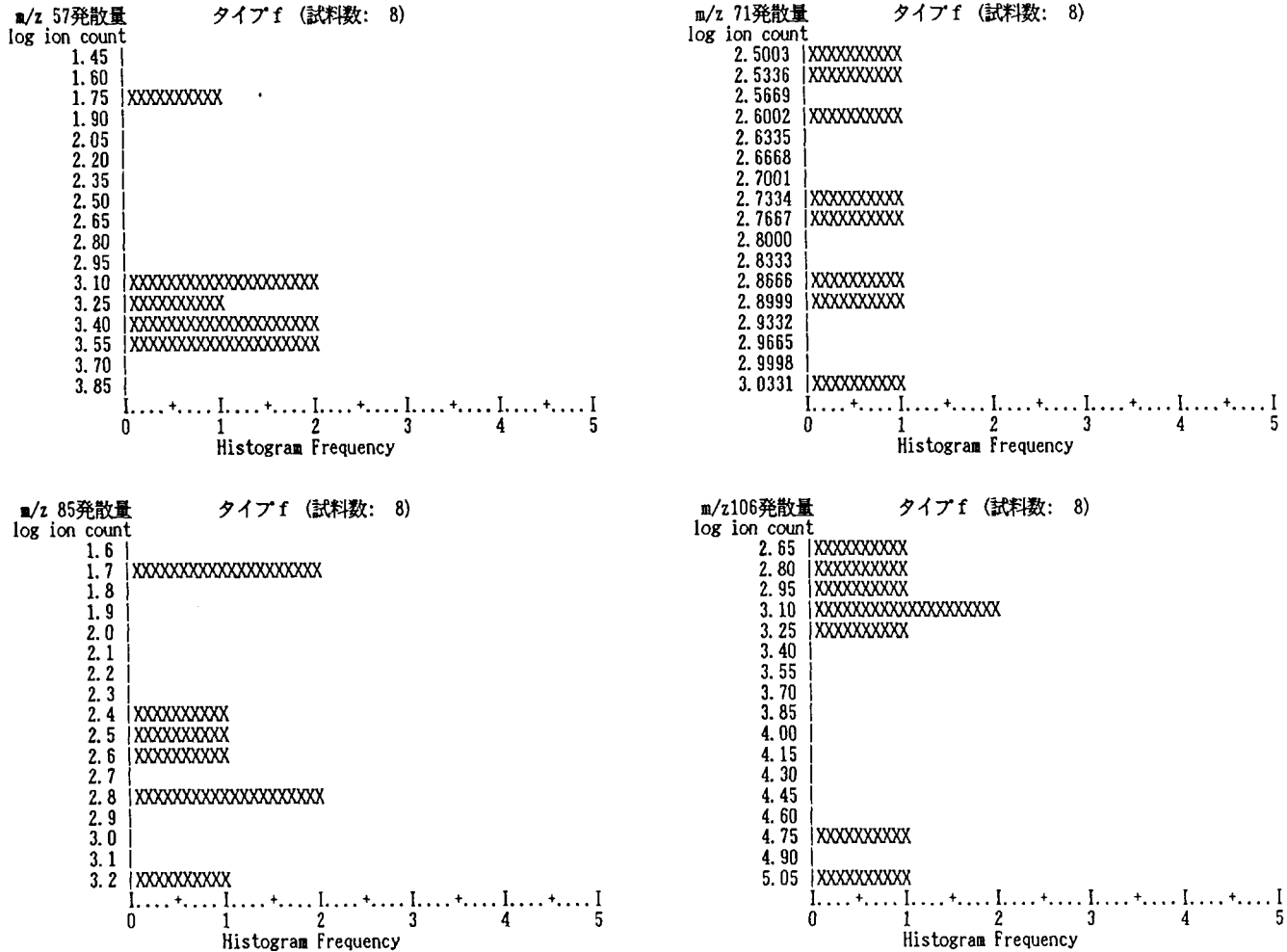
卷末第 1図 主なガス成分の発散量の頻度分布



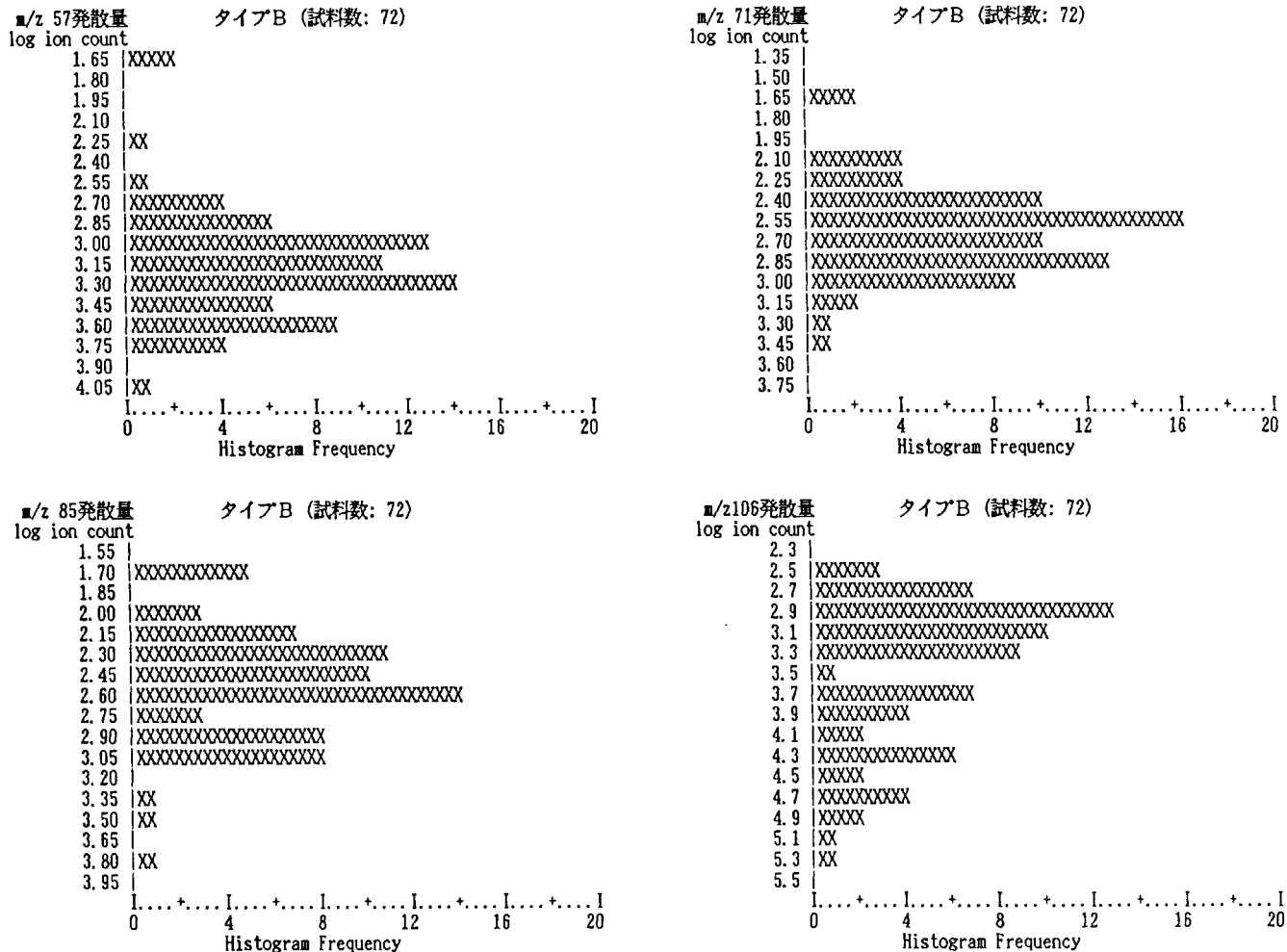
巻末第 1図 主なガス成分の発散量の頻度分布（続）



卷末第1図 主なガス成分の発散量の頻度分布(続)



卷末第 1図 主なガス成分の発散量の頻度分布（続）

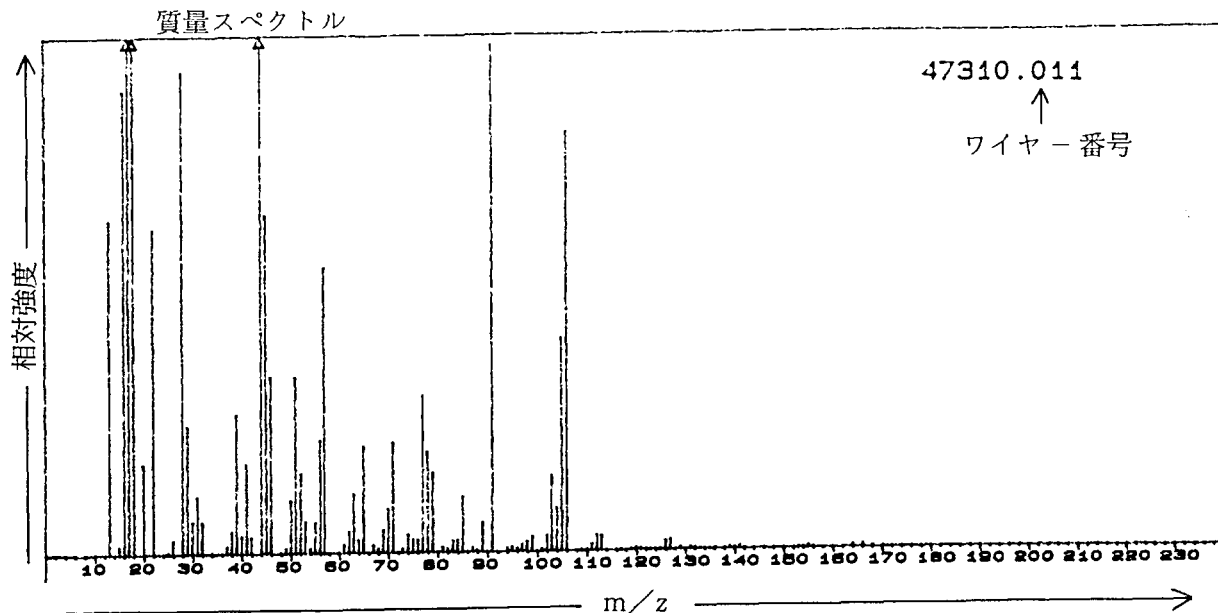


卷末第 1図 主なガス成分の発散量の頻度分布（続）

卷末表

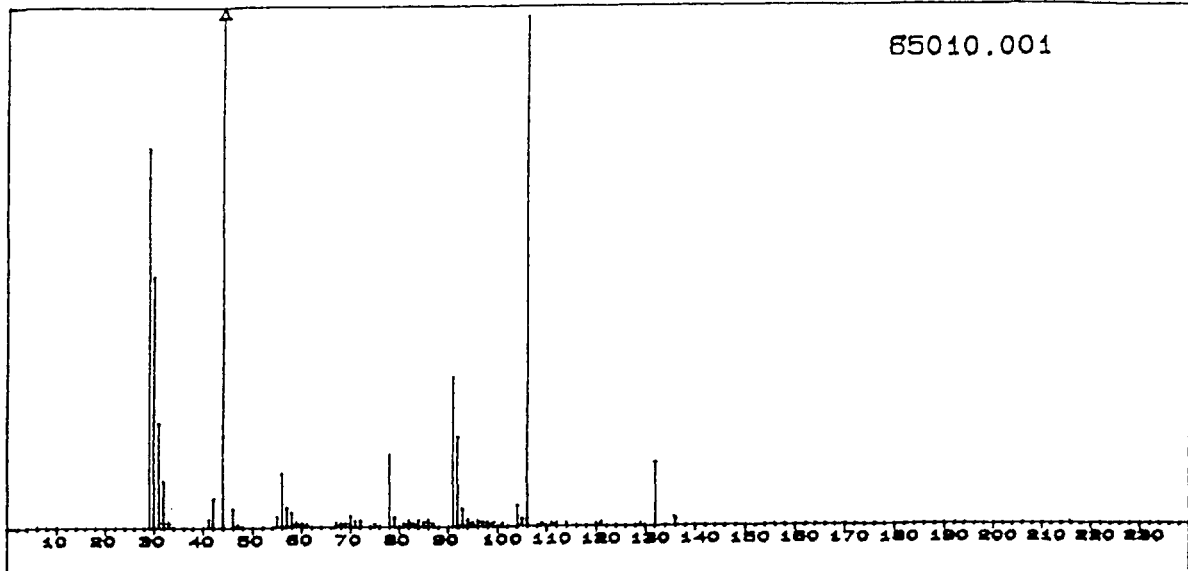
卷末第1表 質量分析結果生データ

## 凡 例



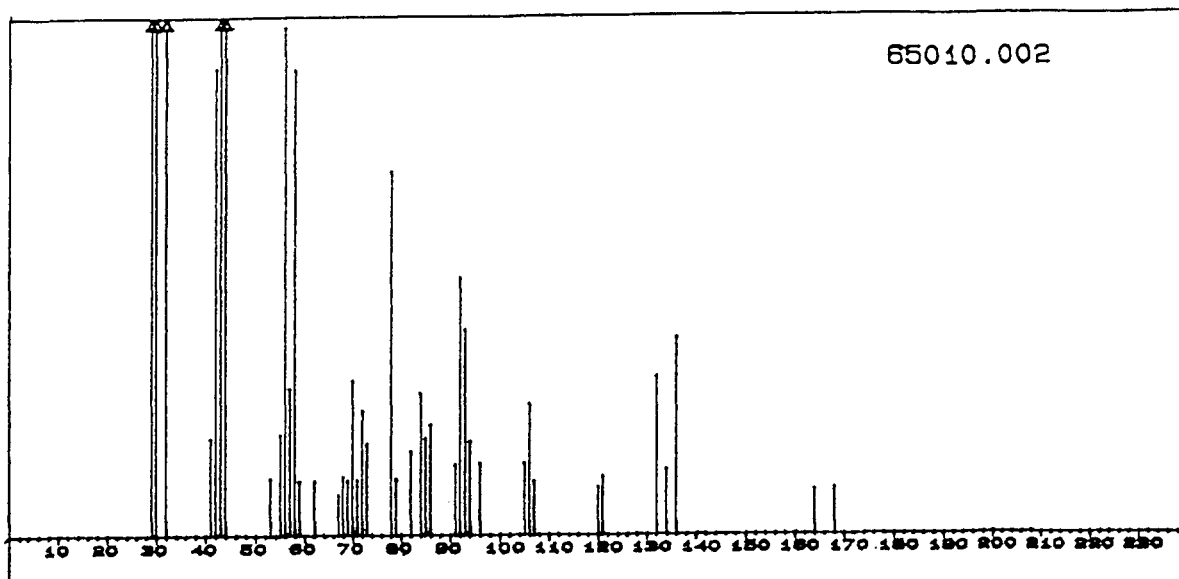
Wire No.: 11 (No. of Peaks:109)

m/z	intensity	m/z	intensity	m/z	intensity	m/z	intensity
12.8	133539.33	14.6	3098.67	16.3	185244.67	17.3	237506.00
18.2	237506.00	20.2	35882.00	22.2	129987.34	25.1	581.33
26.2	5524.00	28.1	192650.00	29.1	51215.33	30.1	12970.67
31.1	22850.00	32.1	12746.67	34.1	506.00	35.1	236.00
36.1	191.33	37.2	2800.00	38.2	8629.33	39.2	56004.00
40.1	7122.67	41.2	35734.00	42.2	6454.00	44.2	239196.67
45.1	135403.33	46.1	71105.34	48.1	366.67	49.2	2061.33
50.2	21322.67	51.2	70846.66	52.2	31979.33	53.1	12402.67
54.1	1766.00	55.2	12441.33	56.2	45206.67	57.2	114300.00
60.1	316.00	61.1	2971.33	62.1	8414.67	63.1	23384.00
64.1	5114.00	65.1	42580.00	67.1	2886.67	68.1	1471.33
69.1	8946.67	70.1	17395.33	71.1	43856.00	73.1	1437.33
74.1	7040.67	75.1	5074.00	76.1	5148.00	77.1	63058.00
78.1	40266.00	79.1	31693.33	81.1	1924.67	82.1	1436.00
83.1	4528.67	84.1	4988.67	85.1	22114.00	87.0	1495.33
88.1	502.67	89.1	11595.33	91.1	202612.67	94.0	1456.00
95.1	1551.33	96.0	982.00	97.1	2678.67	98.1	3813.33
99.1	5751.33	101.0	884.00	102.0	6250.00	103.0	30156.00
104.0	17084.67	105.1	85422.66	106.1	167324.00	109.0	442.67
110.1	496.67	111.1	2574.67	112.1	6082.67	113.1	5809.33
117.0	176.00	119.0	510.67	120.0	760.67	121.0	546.00
122.0	320.67	123.1	184.00	124.0	222.67	125.1	494.00
126.1	3598.67	127.1	4085.33	128.8	746.67	130.8	679.33
132.0	574.00	132.8	228.00	134.0	121.33	135.1	114.67
136.1	378.67	138.1	164.67	139.1	743.33	140.1	496.67
141.1	930.67	153.1	384.67	154.1	258.00	155.1	921.33
156.0	242.67	163.9	1010.67	165.9	1334.00	167.9	658.67
170.0	206.67						



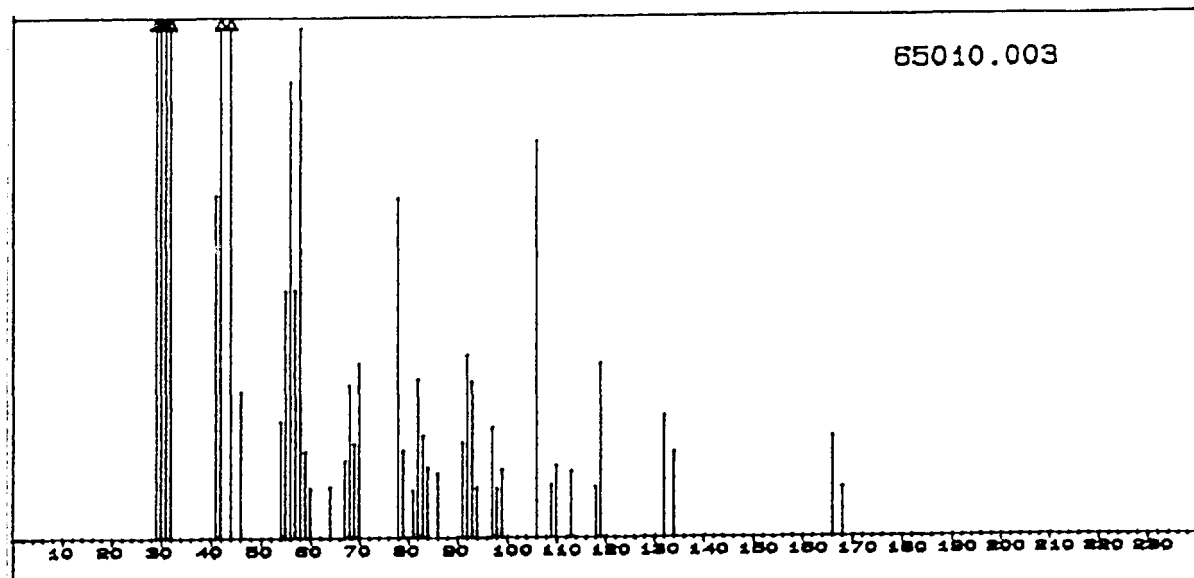
Wire No.: 1 (No. of Peaks: 55)

m/z	intensity	m/z	intensity	m/z	intensity	m/z	intensity
29.1	16970.91	30.3	11210.30	31.2	4681.82	32.3	2113.94
33.3	230.91	41.3	345.45	42.3	1295.15	44.3	123150.91
46.3	835.15	47.3	133.94	55.2	479.39	56.3	2391.52
57.3	869.70	58.3	626.06	59.2	195.76	60.1	152.12
61.1	100.00	67.2	201.82	68.1	140.61	69.4	176.36
70.1	493.33	71.2	261.21	72.2	292.12	75.3	133.94
78.1	3245.45	79.1	438.18	81.1	136.36	82.1	310.91
82.9	158.79	84.3	297.58	85.3	208.48	86.2	319.39
87.3	129.70	91.2	6701.82	92.2	4052.73	93.2	791.52
94.3	292.12	95.2	172.73	96.2	243.64	96.9	212.73
98.1	199.39	99.1	164.85	100.9	121.82	104.2	947.88
105.1	340.00	106.2	22781.21	109.2	104.24	111.2	123.03
112.2	128.48	114.2	127.88	120.2	126.06	121.2	192.12
129.1	118.18	132.1	2853.33	136.1	423.64		



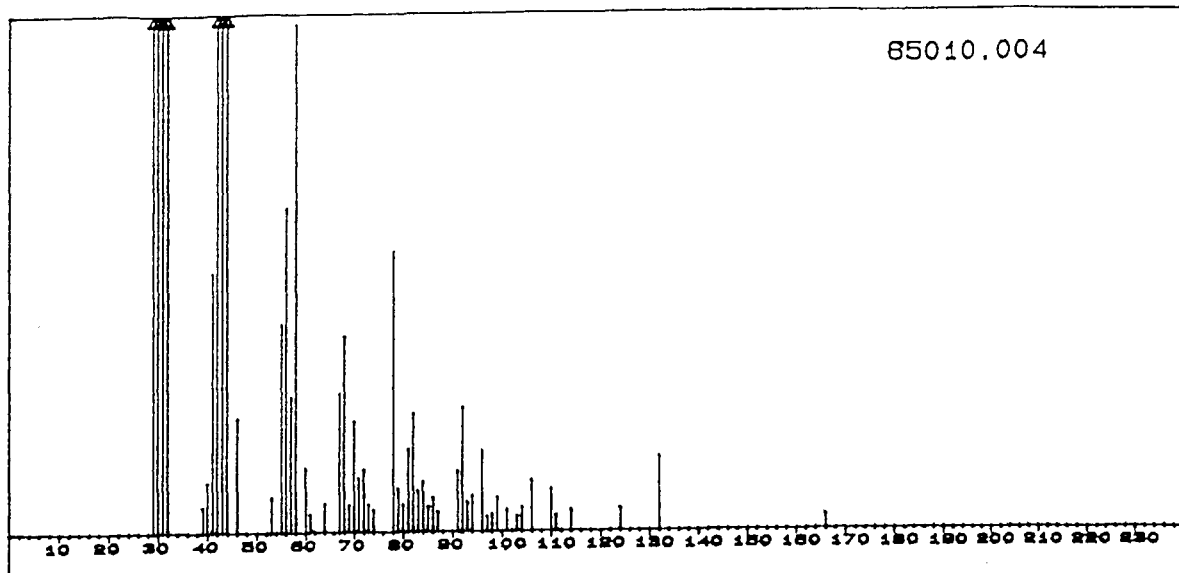
Wire No.: 2 (No. of Peaks: 43)

$m/z$	intensity	$m/z$	intensity	$m/z$	intensity	$m/z$	intensity
29.1	11028.48	30.3	8356.97	31.5	3569.09	32.3	1131.52
41.3	250.91	42.3	1188.48	43.3	2336.36	44.3	21732.73
53.3	146.06	55.3	260.00	56.3	1293.94	57.3	377.58
58.3	1183.64	59.2	139.39	62.2	140.61	67.2	105.45
68.2	151.52	69.1	140.00	70.2	397.58	71.2	142.42
72.2	319.39	73.1	235.76	78.1	927.88	79.1	144.85
82.3	215.76	84.1	363.03	85.2	249.09	86.3	284.24
91.2	181.82	92.2	658.79	93.3	526.67	94.3	241.21
96.2	184.85	105.2	184.85	106.2	335.15	107.2	137.58
120.2	123.03	121.1	150.30	132.1	404.24	134.3	167.27
136.3	505.45	163.8	115.15	168.2	123.03		



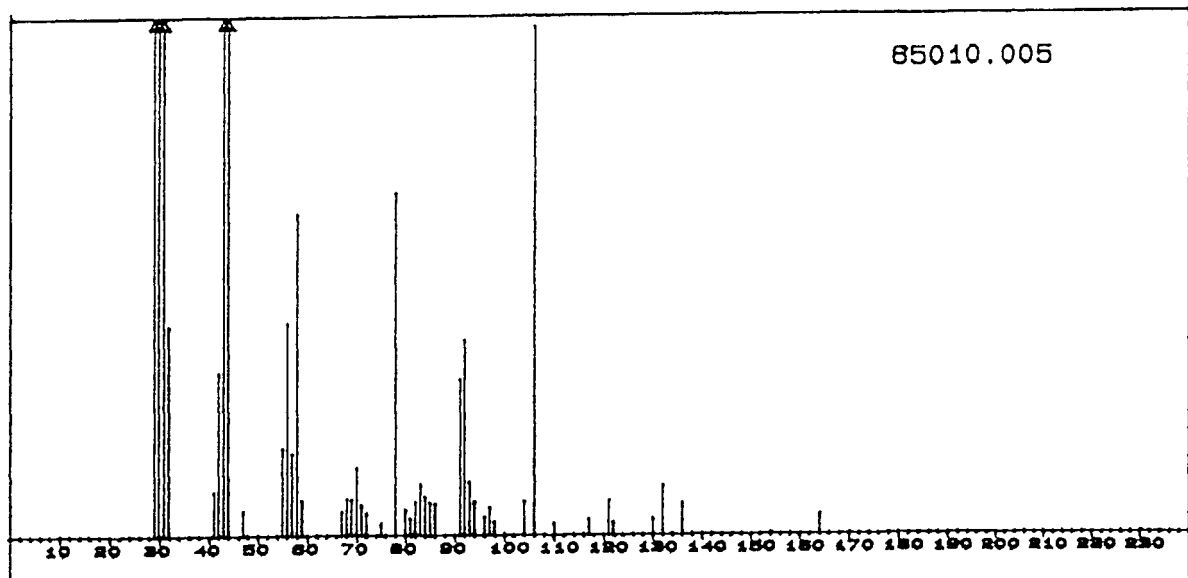
Wire No.: 3 (No. of Peaks: 44)

m/z	intensity	m/z	intensity	m/z	intensity	m/z	intensity
29.1	14727.88	30.3	28940.61	31.3	4752.73	32.3	1791.52
41.4	773.33	42.3	1897.58	44.3	56990.30	46.2	328.48
54.3	261.21	55.3	555.15	56.3	1027.88	57.3	555.15
58.3	1147.88	59.2	193.94	59.7	110.30	64.1	114.55
67.1	173.94	68.1	341.21	69.2	210.91	70.4	390.30
78.3	766.67	79.1	195.76	81.3	106.06	82.3	356.97
83.1	228.48	84.1	156.97	86.3	143.03	91.4	212.73
92.0	409.09	93.3	350.30	94.0	112.12	97.2	247.88
98.3	109.09	99.3	151.52	106.3	894.55	109.2	118.79
110.1	161.82	113.1	147.27	118.2	112.73	119.2	390.91
132.1	273.33	134.1	191.52	166.0	225.45	168.2	109.09



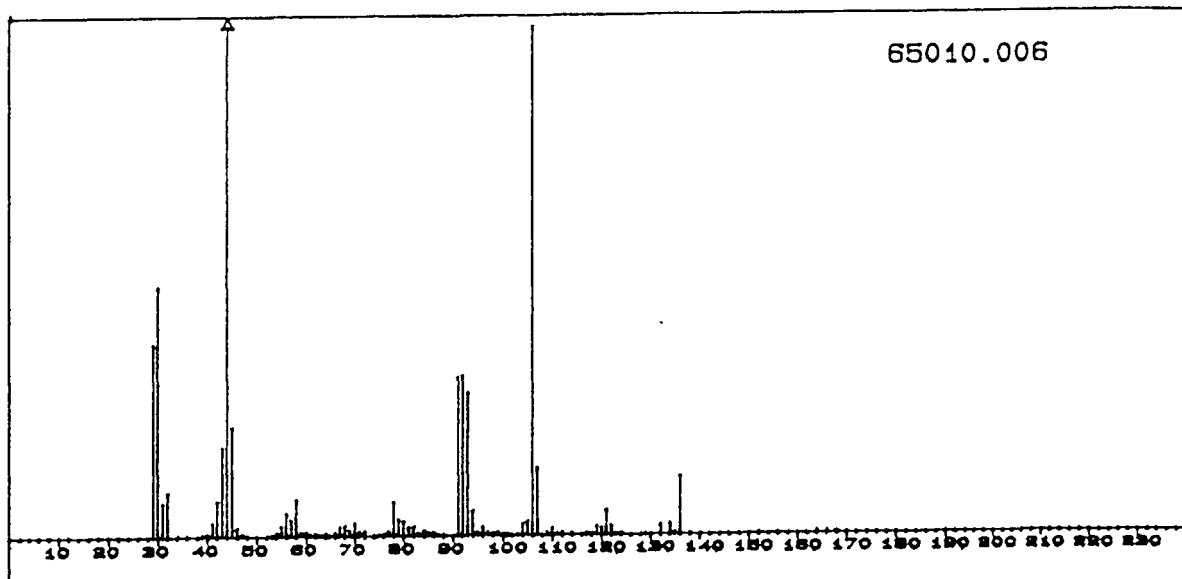
Wire No.: 4 (No. of Peaks: 57)

m/z	intensity	m/z	intensity	m/z	intensity	m/z	intensity
29.1	27896.36	30.3	41765.45	31.4	5509.09	32.3	4836.36
39.3	173.33	40.3	335.15	41.3	1715.76	42.3	3997.58
43.4	7563.64	44.3	113283.03	46.3	760.00	53.2	231.52
54.5	177.58	55.3	1204.24	56.3	2143.64	57.3	898.79
58.2	3349.09	60.1	426.06	61.3	118.18	64.4	187.27
67.1	918.18	68.2	1298.79	69.1	178.18	70.2	735.76
71.4	358.18	72.2	415.15	73.1	180.61	74.4	147.27
78.1	1852.12	79.0	288.48	80.0	182.42	81.1	548.48
82.1	783.64	83.1	272.12	84.0	330.91	85.2	166.67
86.4	223.03	87.0	131.52	91.2	400.61	92.2	822.42
93.0	192.73	94.2	126.67	94.4	112.12	96.2	535.76
97.3	100.61	98.2	117.58	99.1	224.85	101.1	142.42
103.1	100.61	103.9	158.18	106.2	340.00	110.1	279.39
111.2	104.85	114.2	135.76	124.1	149.70	132.1	487.27
166.0	121.21						



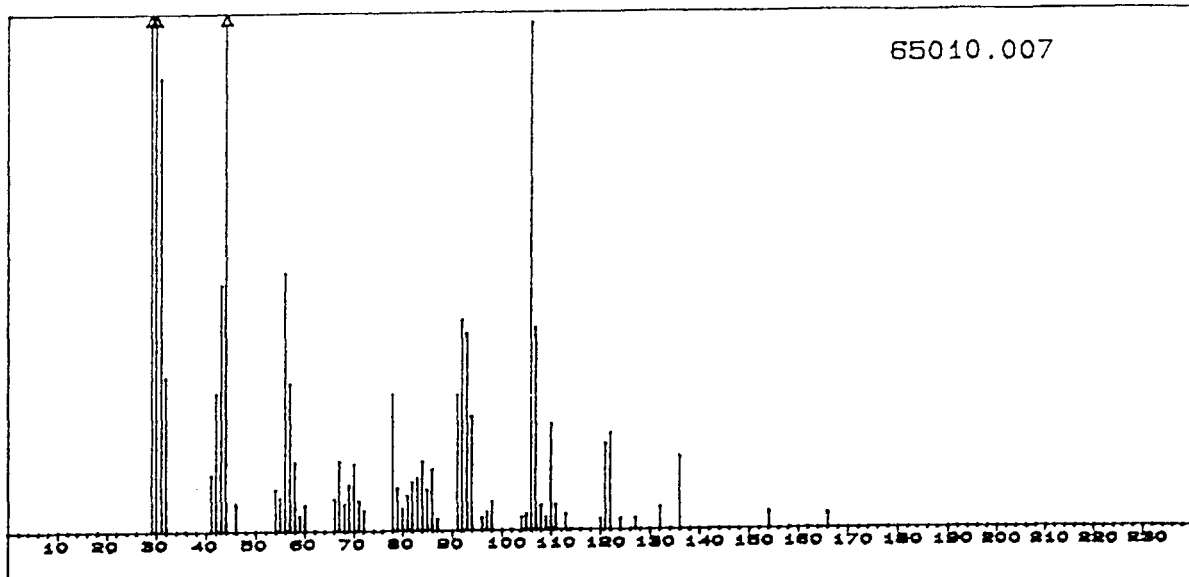
Wire No.: 5 (No. of Peaks: 47)

m/z	intensity	m/z	intensity	m/z	intensity	m/z	intensity
29.1	25152.73	30.3	46827.88	31.3	6176.36	32.3	1841.82
41.3	391.52	42.3	1435.76	43.3	9044.85	44.3	110701.21
47.3	221.82	55.3	773.94	56.3	1874.55	57.3	726.67
58.2	2823.03	59.2	314.55	67.4	212.73	68.2	321.21
69.1	318.79	70.2	601.21	71.4	265.45	72.2	198.18
75.3	104.85	78.1	3007.88	80.4	225.45	81.1	146.06
82.4	295.76	83.1	449.09	84.1	192.12	84.4	150.30
85.2	286.67	86.3	274.55	91.2	1372.73	92.2	1713.94
93.2	466.06	94.2	294.55	96.3	160.00	97.2	246.67
98.3	119.39	104.4	296.97	106.2	4470.30	110.1	101.82
117.0	135.15	121.1	304.85	122.4	105.45	130.0	137.58
132.0	435.76	136.1	271.52	164.0	143.64		



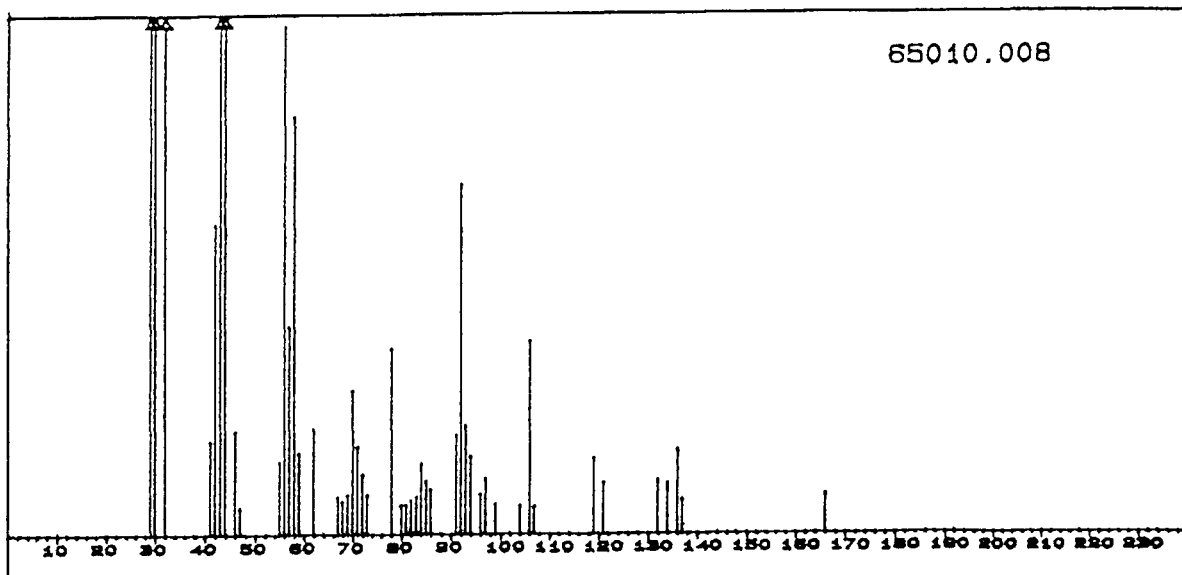
Wire No.: 6 (No. of Peaks: 89)

m/z	intensity	m/z	intensity	m/z	intensity	m/z	intensity
29.1	37543.03	30.3	48751.52	31.4	6701.82	32.3	8704.85
34.3	221.21	35.5	137.58	39.2	287.88	40.3	486.06
41.4	2647.88	42.4	6932.73	43.4	17523.03	44.3	190470.91
45.3	21415.76	46.3	1710.30	47.2	326.67	53.3	256.97
54.3	732.12	55.3	1958.79	56.3	4395.15	57.3	3096.97
58.3	7192.12	59.2	682.42	60.2	835.76	61.3	210.91
62.2	393.94	63.2	150.30	64.1	503.64	65.2	139.39
66.2	692.12	67.2	1780.00	68.2	2060.00	69.2	1217.58
70.2	2581.21	71.2	812.12	72.2	935.76	74.3	137.58
75.1	118.18	76.1	240.00	77.3	834.55	78.3	6553.33
79.3	3206.67	80.3	2716.97	81.1	1651.52	82.3	1804.85
83.3	392.73	84.3	973.33	85.2	628.48	86.2	615.76
87.2	156.36	88.2	193.94	91.2	30991.52	92.2	31276.97
93.2	27983.64	94.2	4773.94	95.0	567.88	96.2	1505.45
97.1	524.24	98.2	370.91	99.1	198.79	99.3	275.76
99.9	170.91	101.1	203.64	103.1	169.09	104.2	2267.27
105.2	2746.67	106.2	99046.06	107.2	13085.45	109.0	241.21
109.2	253.94	110.2	1299.39	111.3	201.82	112.3	442.42
114.1	276.36	117.1	274.55	118.1	192.73	119.1	1654.55
120.2	1383.64	121.2	4867.88	122.2	1744.24	123.1	206.06
124.4	306.06	128.9	111.52	132.1	1810.91	134.3	2201.82
135.1	277.58	136.3	11333.33	164.0	579.39	166.0	408.48
168.0	249.09						



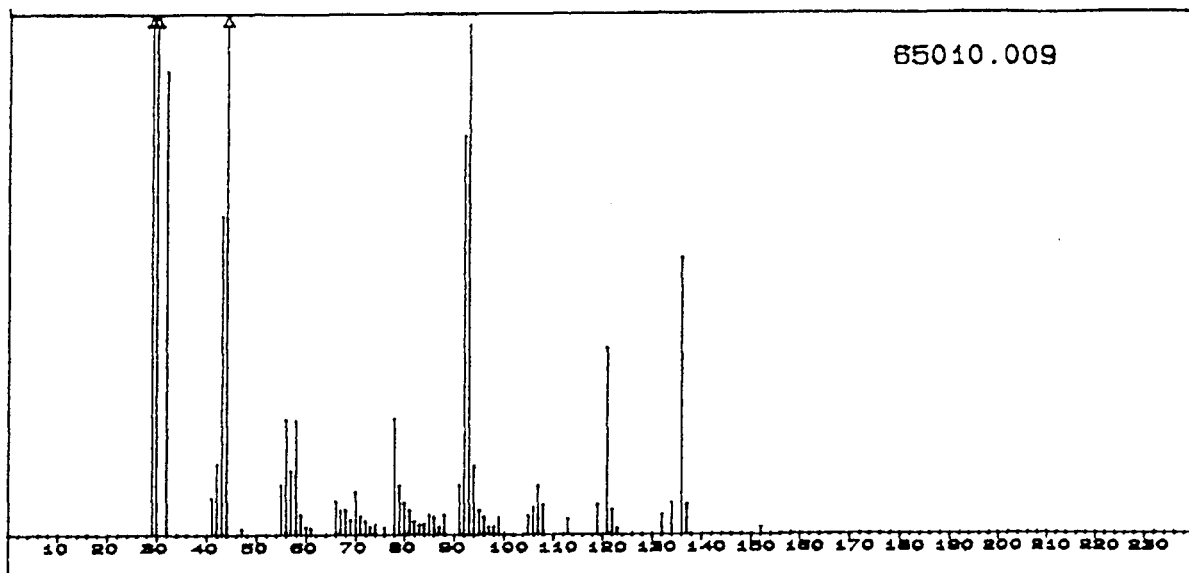
Wire No.: 7 (No. of Peaks: 59)

m/z	intensity	m/z	intensity	m/z	intensity	m/z	intensity
29.1	11716.36	30.3	9629.09	31.3	4315.15	32.3	1477.58
41.3	541.82	42.3	1324.24	43.4	2356.97	44.3	51339.39
46.2	261.21	54.2	395.15	55.2	320.61	56.3	2463.64
57.2	1413.94	58.2	657.58	59.3	143.64	60.0	246.06
66.4	304.85	67.2	660.00	68.2	253.33	69.4	431.52
70.2	632.12	71.2	287.88	72.4	193.33	78.1	1301.82
79.1	405.45	80.1	209.09	81.3	329.09	82.3	462.42
83.1	502.42	84.1	654.55	85.0	166.06	85.3	228.48
86.2	580.00	87.2	107.88	91.2	1295.76	92.2	2010.91
93.2	1874.55	94.2	1083.03	96.2	118.79	96.9	170.30
98.3	266.06	103.9	125.45	105.1	155.76	106.2	4829.09
107.1	1933.94	108.2	236.36	109.3	119.39	110.2	1007.88
111.3	240.00	113.3	152.73	120.1	108.48	121.2	816.97
122.2	915.76	123.5	103.03	127.0	107.27	132.3	213.94
136.3	687.88	154.4	159.39	166.0	123.03		



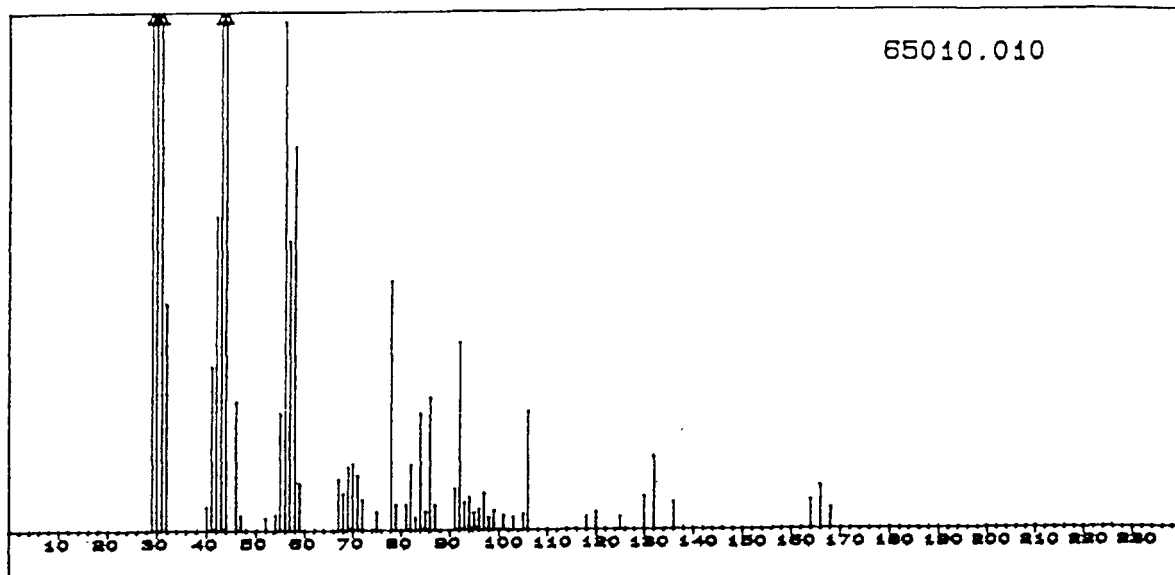
Wire No.: 8 (No. of Peaks: 49)

m/z	intensity	m/z	intensity	m/z	intensity	m/z	intensity
29.1	14955.76	30.3	23996.36	31.5	4276.36	32.3	949.70
41.3	356.36	42.3	1168.48	43.4	4006.67	44.3	75868.48
46.3	393.33	47.3	103.03	55.3	275.15	56.3	1923.03
57.2	785.45	58.3	1580.61	59.2	312.12	62.3	401.82
67.2	141.82	68.1	127.27	69.4	152.73	70.2	545.45
71.2	335.76	72.4	230.91	73.4	152.12	78.3	702.42
80.1	112.12	81.1	112.73	82.1	129.70	83.1	144.24
84.1	267.27	85.2	201.82	86.4	171.52	91.2	376.36
91.5	129.70	92.3	1188.48	93.2	412.12	94.3	295.15
96.3	153.33	97.1	209.09	99.3	114.55	104.1	109.70
106.1	727.27	107.3	106.67	119.4	288.48	121.0	196.36
132.4	204.24	134.1	192.73	136.1	320.00	137.3	132.73
166.0	143.03						



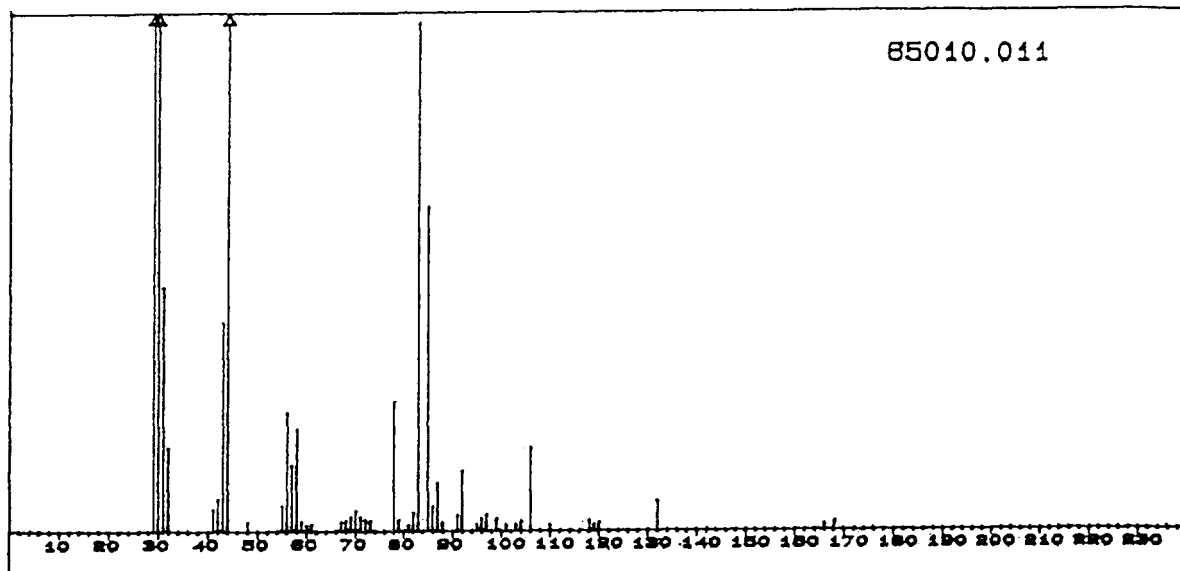
Wire No.: 9 (No. of Peaks: 63)

m/z	intensity	m/z	intensity	m/z	intensity	m/z	intensity
29.1	15992.73	30.3	16265.45	31.5	5194.55	32.3	2500.61
41.3	616.36	42.4	1179.39	43.3	5267.27	44.3	77030.30
47.3	103.64	54.5	146.67	55.3	686.67	56.3	1915.76
57.3	1066.67	58.3	1905.45	59.3	326.06	60.2	134.55
61.3	106.67	66.4	555.15	67.2	403.03	68.2	406.06
69.1	250.91	70.2	723.64	71.2	308.48	72.4	224.85
73.2	127.88	74.0	154.55	76.1	115.76	78.3	1927.88
79.1	817.58	80.1	531.52	81.3	400.61	82.3	218.18
83.0	160.00	84.1	179.39	84.6	107.27	85.2	224.24
86.2	288.48	87.0	120.61	87.7	147.88	88.0	185.45
91.2	830.30	92.3	6616.97	93.2	8450.91	94.2	1141.21
95.0	409.70	96.1	286.06	96.9	117.58	98.3	128.48
98.9	280.00	105.1	318.79	106.1	452.12	107.2	812.12
108.2	504.24	113.2	258.79	119.1	507.88	121.2	3082.42
122.2	417.58	123.1	107.88	132.3	329.70	134.3	523.03
136.3	4565.45	137.1	498.18	152.2	110.30		



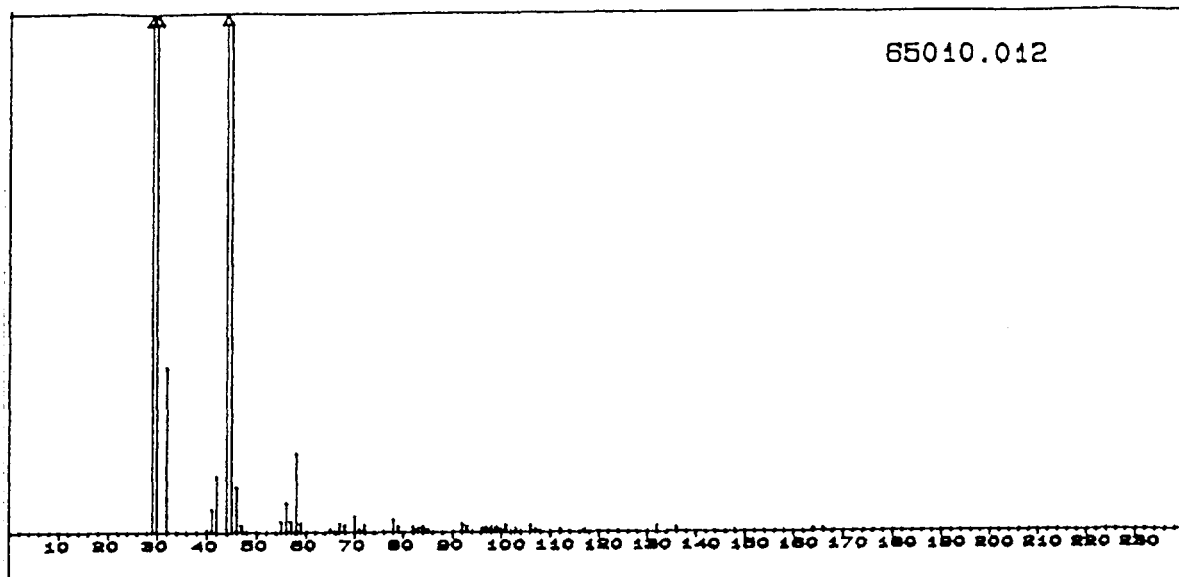
Wire No.: 10 (No. of Peaks: 57)

m/z	intensity	m/z	intensity	m/z	intensity	m/z	intensity
29.1	24597.58	30.3	34033.33	31.4	5175.15	32.3	1940.00
40.4	204.85	41.3	1407.27	42.3	2695.76	43.4	7603.64
44.3	139029.09	46.3	1109.09	47.3	127.27	52.1	104.24
53.5	138.79	54.5	170.91	55.3	840.61	56.3	4371.52
57.3	2481.82	58.3	3293.94	59.2	403.03	67.2	441.21
68.2	318.79	69.2	545.45	70.4	567.88	71.1	472.73
72.4	260.61	75.1	157.58	78.3	2136.36	79.3	220.00
81.3	220.61	82.1	559.39	83.4	109.09	84.3	1006.06
85.2	161.21	86.3	1139.39	87.3	212.73	91.2	350.30
92.2	1608.48	93.2	235.15	94.0	280.61	95.0	149.70
96.2	180.61	97.1	316.36	98.2	107.27	99.1	163.03
100.9	121.82	102.9	108.48	105.3	135.15	106.2	1018.79
118.1	112.73	120.2	150.91	125.2	107.88	130.1	285.45
132.0	630.30	136.4	229.70	164.0	243.64	166.0	369.09
168.0	161.82						



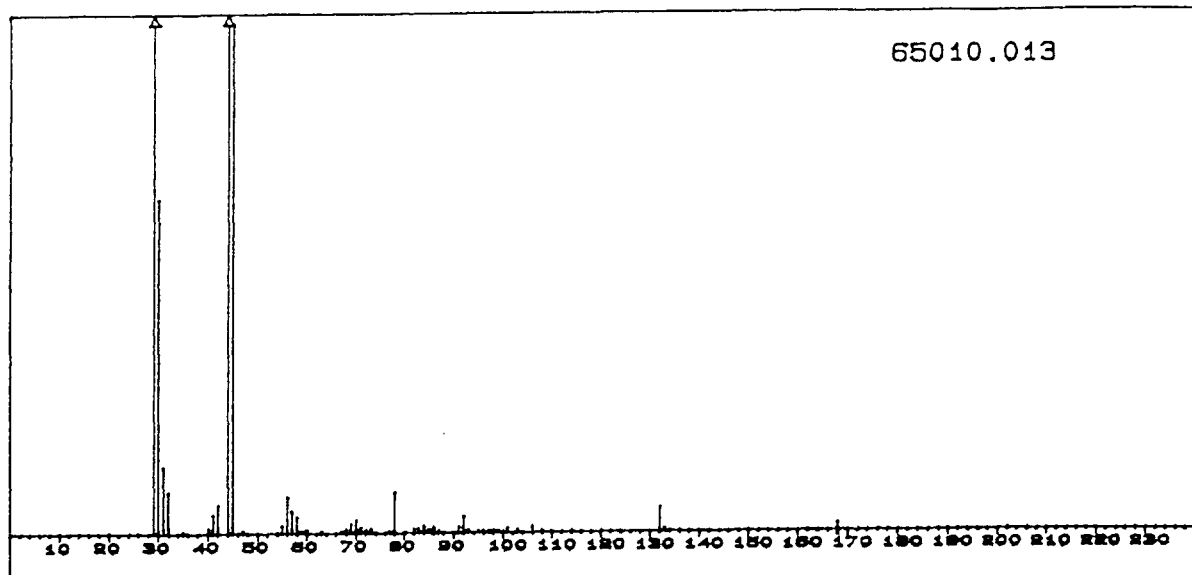
Wire No.: 11 (No. of Peaks: 50)

m/z	intensity	m/z	intensity	m/z	intensity	m/z	intensity
29.1	17889.70	30.3	23024.85	31.4	4703.64	32.3	1598.79
41.4	420.61	42.3	619.39	43.3	4000.61	44.3	127331.52
48.1	164.24	55.3	478.18	56.3	2275.76	57.3	1264.85
58.3	1950.91	59.2	180.61	60.2	106.67	61.3	120.00
67.1	169.70	68.2	189.09	69.1	266.06	70.2	381.82
71.1	256.97	72.2	218.18	73.4	198.79	78.3	2484.85
79.1	207.88	81.0	106.06	82.0	344.85	83.1	9752.73
85.2	6231.52	86.2	462.42	87.2	915.76	88.2	152.73
91.2	296.97	92.2	1146.06	95.4	113.94	96.2	215.15
97.2	168.48	97.4	139.39	98.8	216.36	101.1	113.33
102.9	118.79	104.2	183.03	106.2	1596.36	110.1	104.85
118.2	198.79	119.1	123.03	120.1	147.27	132.1	572.12
165.8	106.67	168.2	109.70				



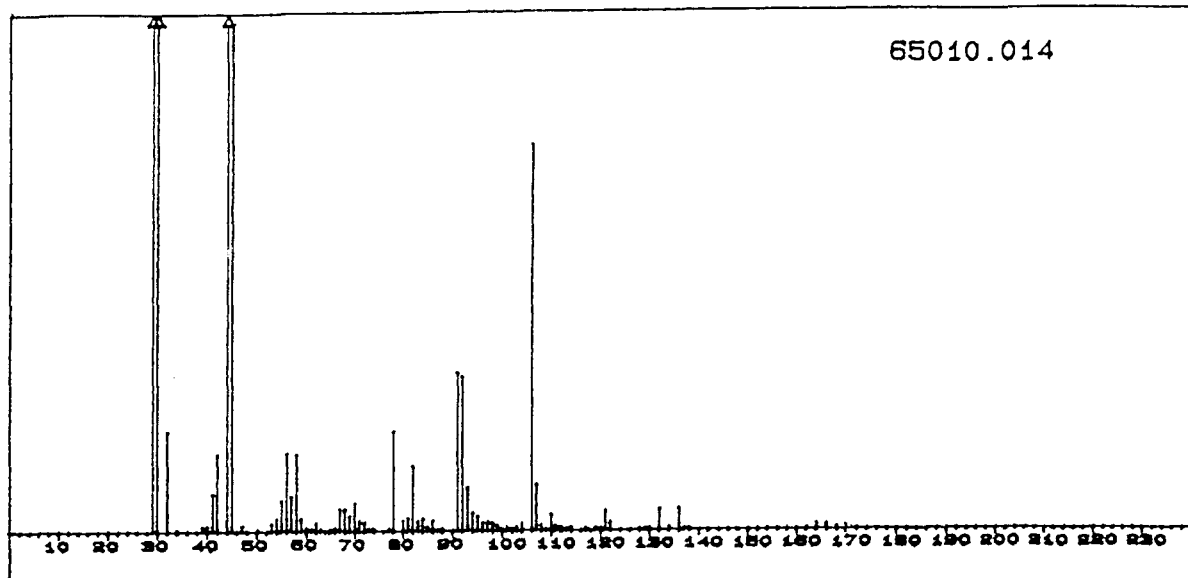
Wire No.: 12 (No. of Peaks: 45)

m/z	intensity	m/z	intensity	m/z	intensity	m/z	intensity
29.1	30021.21	30.4	46350.91	31.5	5168.48	32.4	2509.09
40.2	117.58	41.4	1095.76	42.4	2629.09	44.3	159963.03
45.3	23975.76	46.3	2127.88	47.4	313.33	55.3	503.64
56.3	1392.12	57.3	501.21	58.3	3710.30	59.3	440.61
64.5	106.67	67.4	415.76	68.2	321.21	70.4	726.67
71.4	120.61	72.4	313.94	78.3	584.85	79.1	252.12
82.3	227.88	83.1	166.06	84.1	285.45	85.4	116.97
92.3	370.91	93.3	251.52	95.9	175.15	97.2	206.67
98.2	234.55	99.2	212.73	100.1	126.06	101.1	316.97
103.1	125.45	106.3	299.39	107.3	115.76	112.0	121.21
117.1	105.45	132.3	273.33	136.3	213.94	164.1	101.21
165.7	113.94						



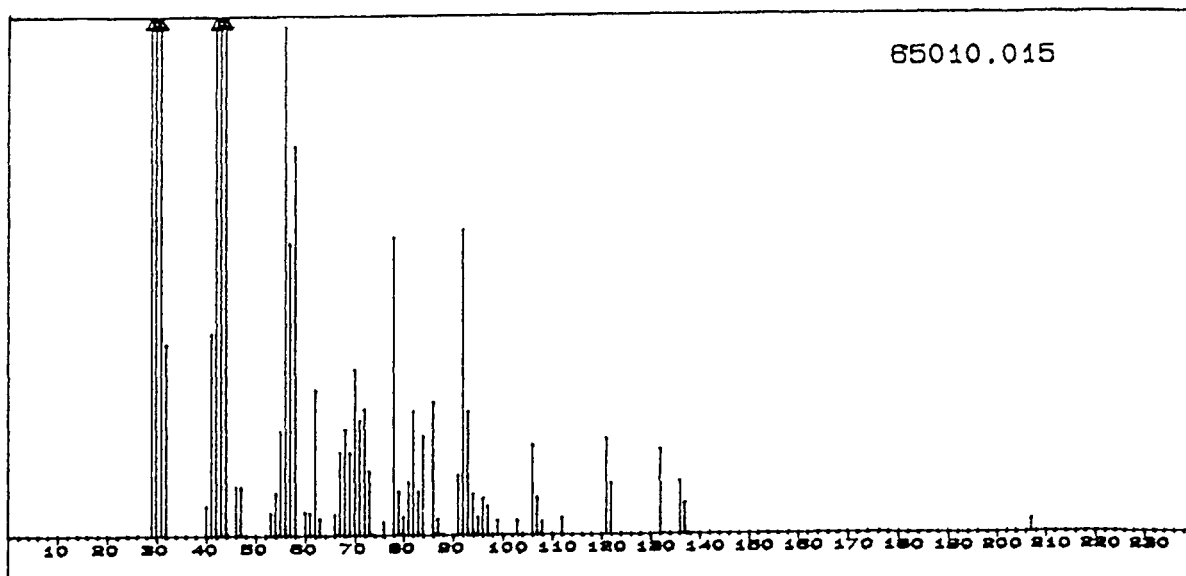
Wire No.: 13 (No. of Peaks: 52)

m/z	intensity	m/z	intensity	m/z	intensity	m/z	intensity
29.1	53150.91	30.3	30416.36	31.3	6024.85	32.3	3716.36
35.4	132.12	40.3	503.03	41.3	1708.48	42.3	2607.27
44.3	212686.06	45.2	46232.73	47.3	226.06	54.2	100.00
55.3	676.97	56.3	3235.76	57.2	2005.45	58.2	1474.55
59.2	157.58	60.1	280.61	63.4	140.00	67.1	178.79
68.2	344.85	69.1	744.24	70.2	1198.79	71.2	471.52
72.2	186.67	73.1	273.33	77.1	161.21	78.1	3648.48
82.3	306.67	83.1	364.24	84.3	616.97	85.3	282.42
85.5	145.45	86.0	322.42	87.3	118.18	91.0	507.27
92.2	1472.73	93.2	201.21	95.2	109.70	96.1	118.18
97.2	125.45	98.2	216.36	98.8	124.24	101.1	420.61
102.9	275.15	106.2	535.15	108.1	103.64	113.8	107.27
120.1	121.82	132.0	2145.45	132.9	298.79	168.2	177.58



Wire No.: 14 (No. of Peaks: 89)

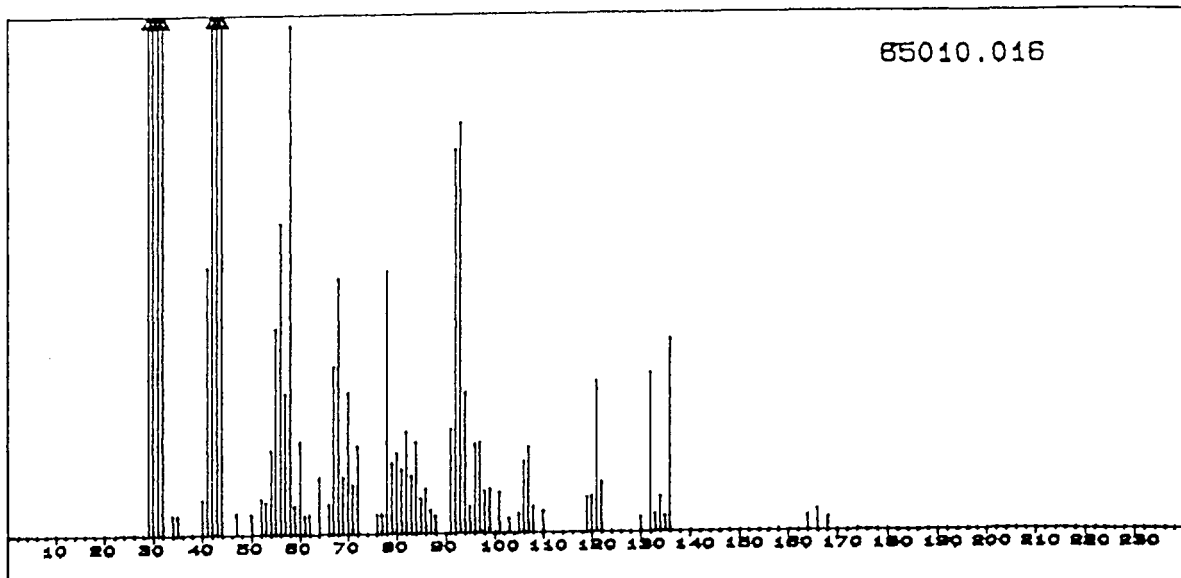
m/z intensity	m/z intensity	m/z intensity	m/z intensity
29.1 96969.70	30.3 105626.06	32.3 9691.52	34.3 101.21
39.3 427.27	40.3 498.18	41.3 3594.55	42.3 7458.79
44.2 217029.70	45.2 49707.88	47.2 501.82	53.3 778.18
54.2 1232.73	55.3 2973.33	56.2 7559.39	57.2 3396.36
58.2 7489.09	59.2 1205.45	60.1 296.97	61.2 199.39
62.2 776.97	63.1 142.42	65.1 100.61	66.2 297.58
67.1 2207.88	68.1 2130.91	69.1 1498.18	70.2 2721.82
71.1 995.15	72.2 828.48	73.1 130.91	74.0 175.76
77.0 253.33	78.1 9680.61	80.1 992.73	81.1 1307.27
82.1 6294.55	83.1 892.12	84.1 1208.48	85.0 403.64
86.2 932.73	87.2 122.42	88.2 184.85	91.2 15370.91
92.2 14953.94	93.2 4210.30	94.0 1706.67	95.0 1392.12
96.2 785.45	97.1 872.12	97.8 475.15	98.1 280.00
98.9 504.24	100.4 143.03	100.7 180.00	100.9 113.94
102.4 179.39	102.8 190.30	103.1 181.21	104.1 728.48
106.1 37835.15	107.1 4505.45	108.1 492.12	109.2 105.45
110.2 1531.52	111.0 187.27	111.2 256.36	112.1 286.06
113.3 138.79	113.6 105.45	114.0 134.55	116.8 194.55
119.0 274.55	120.1 220.61	121.1 1893.33	122.2 725.45
127.7 136.97	129.0 110.30	130.0 203.64	132.0 2063.03
134.1 304.24	136.1 2146.67	137.3 155.15	138.4 109.70
162.1 110.91	163.8 541.21	165.8 536.36	167.8 246.67
170.1 153.33			



Wire No.: 15 (No. of Peaks: 59)

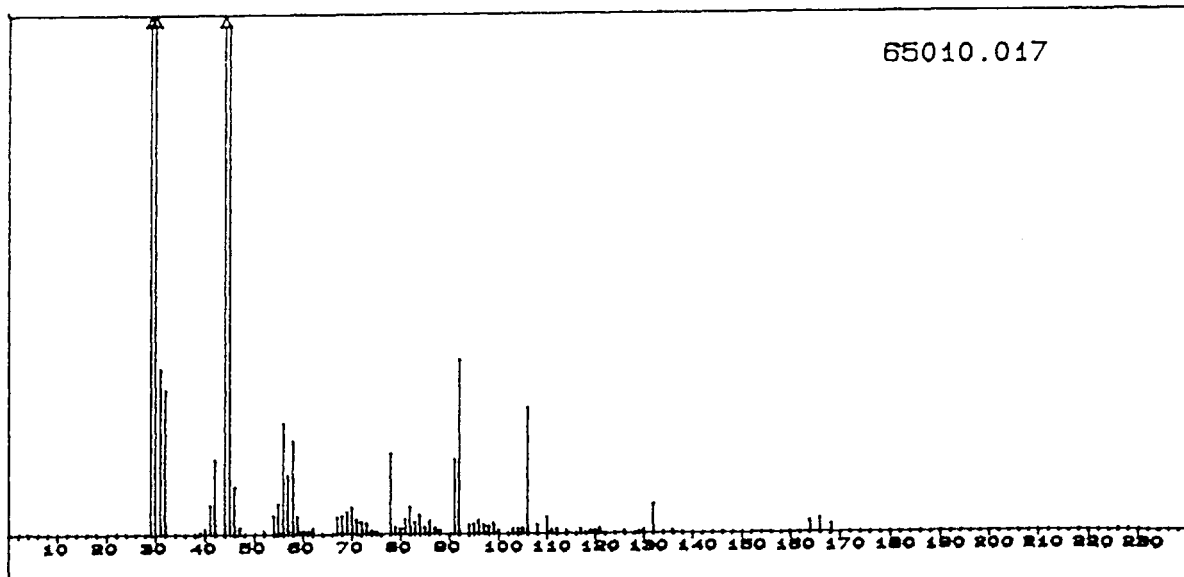
m/z	intensity	m/z	intensity	m/z	intensity	m/z	intensity
29.1	14955.76	30.3	16935.76	31.4	4788.48	32.3	1629.70
40.3	252.12	41.3	1721.82	42.3	7189.09	43.3	9543.64
44.3	47047.88	46.2	417.58	47.3	413.33	53.2	193.94
54.3	365.45	55.3	889.70	56.3	4318.18	57.3	2477.58
58.3	3302.42	59.5	201.21	61.2	195.76	62.2	1243.64
63.2	144.85	66.1	183.03	67.2	707.88	68.4	907.88
69.2	701.82	70.2	1413.33	71.2	980.00	72.2	1078.18
73.1	548.48	76.0	112.12	78.1	2526.67	79.1	375.15
80.1	156.36	81.0	451.52	82.1	1060.61	83.1	372.73
84.3	847.27	86.2	1135.76	87.3	140.00	91.2	510.30
92.2	2587.27	93.2	1053.33	94.3	350.91	95.0	154.55
96.1	313.33	97.1	243.03	99.3	120.00	102.9	121.82
106.2	767.27	107.2	318.18	108.2	113.94	112.3	143.03
121.2	816.97	122.2	438.18	132.0	720.61	136.3	454.55
136.9	141.21	137.1	123.03	207.2	104.24		

85010.016



Wire No.: 16 (No. of Peaks: 74)

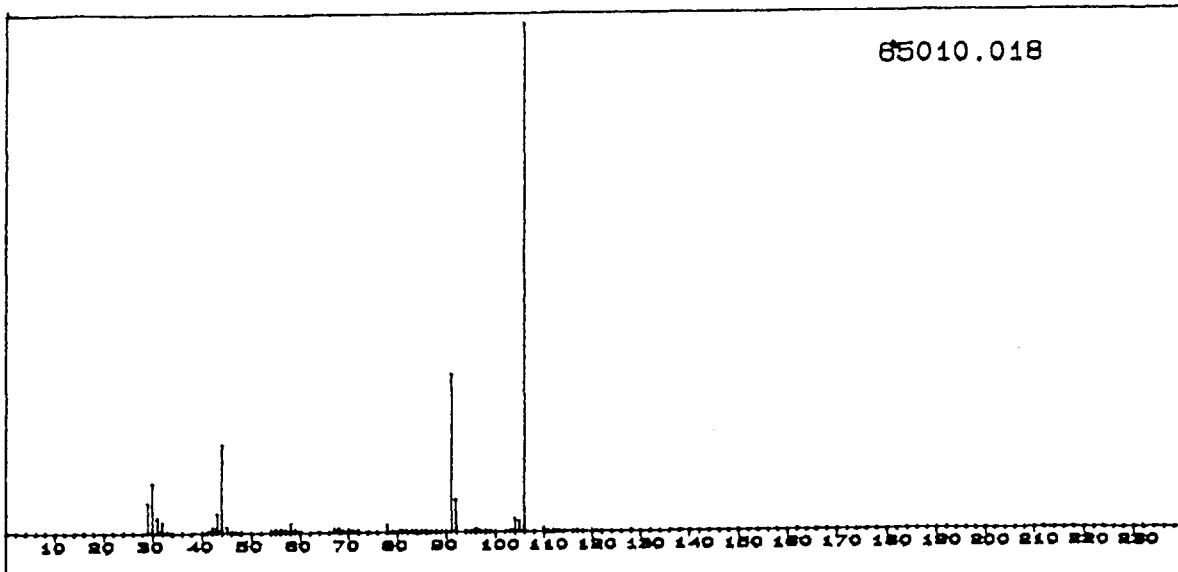
m/z	intensity	m/z	intensity	m/z	intensity	m/z	intensity
29.1	41810.91	30.3	30347.88	31.4	7583.03	32.3	6855.76
34.4	141.21	35.4	136.36	40.3	250.91	41.4	1934.55
42.3	4987.27	43.4	11376.97	44.3	166703.03	47.2	154.55
50.3	147.27	52.3	250.91	53.3	228.48	54.3	604.85
55.2	1484.24	56.2	2249.09	57.3	1009.09	58.2	3683.64
59.2	206.67	60.2	663.64	61.3	132.12	62.2	141.82
64.2	404.24	66.2	213.94	67.2	1204.24	68.2	1843.64
69.2	406.67	70.2	1015.15	71.1	347.88	72.2	629.09
76.1	138.18	77.1	141.82	78.3	1900.61	79.1	506.67
80.3	573.94	81.1	456.36	82.1	729.09	83.0	414.55
84.3	652.12	85.2	250.91	86.3	317.58	87.0	168.48
88.4	127.88	91.2	751.52	92.2	2780.00	93.2	2976.97
94.2	1007.27	95.0	188.48	96.1	638.79	97.2	649.70
98.2	303.64	99.1	315.15	100.9	291.52	103.1	106.06
105.1	139.39	106.2	509.70	107.2	613.94	108.1	183.64
110.2	155.15	119.1	252.12	120.2	257.58	121.1	1084.85
122.2	359.39	129.9	107.27	132.1	1141.21	133.3	126.67
134.3	248.48	135.3	110.91	136.3	1385.45	164.1	109.09
165.8	152.12	168.1	101.21				



Wire No.: 17 (No. of Peaks: 74)

m/z intensity	m/z intensity	m/z intensity	m/z intensity
29.1 44892.73	30.3 75913.94	31.3 9099.39	32.3 7927.88
39.2 126.06	40.4 273.94	41.3 1604.85	42.3 4095.15
44.3 190549.09	45.3 27926.67	46.3 2612.73	47.2 332.12
52.3 134.55	54.3 1002.42	55.3 1696.97	56.3 6090.30
57.3 3233.33	58.3 5093.33	59.2 947.27	60.2 151.52
61.2 136.36	62.3 311.52	67.2 952.12	68.2 1007.27
69.2 1213.33	70.2 1460.61	71.1 794.55	72.2 649.09
73.4 564.24	74.1 176.97	75.0 101.21	78.1 4405.45
79.1 369.09	80.3 293.94	81.1 807.88	82.3 1507.27
83.1 647.27	84.1 1021.21	85.2 372.12	86.3 684.85
87.3 332.12	88.0 184.24	91.2 4089.09	92.2 9569.09
94.2 493.94	95.2 532.12	96.2 737.58	97.1 500.61
98.2 398.79	99.2 549.09	100.2 129.70	102.8 255.76
104.1 296.97	105.1 281.82	106.2 6883.03	108.2 480.61
110.2 914.55	111.1 200.00	112.2 247.88	114.2 126.06
116.8 104.24	117.1 113.94	119.0 137.58	120.2 175.76
120.5 120.00	120.7 164.85	126.0 106.67	128.6 116.97
130.0 207.88	132.1 1618.79	136.1 122.42	164.1 613.33
166.0 774.55	168.0 286.06		

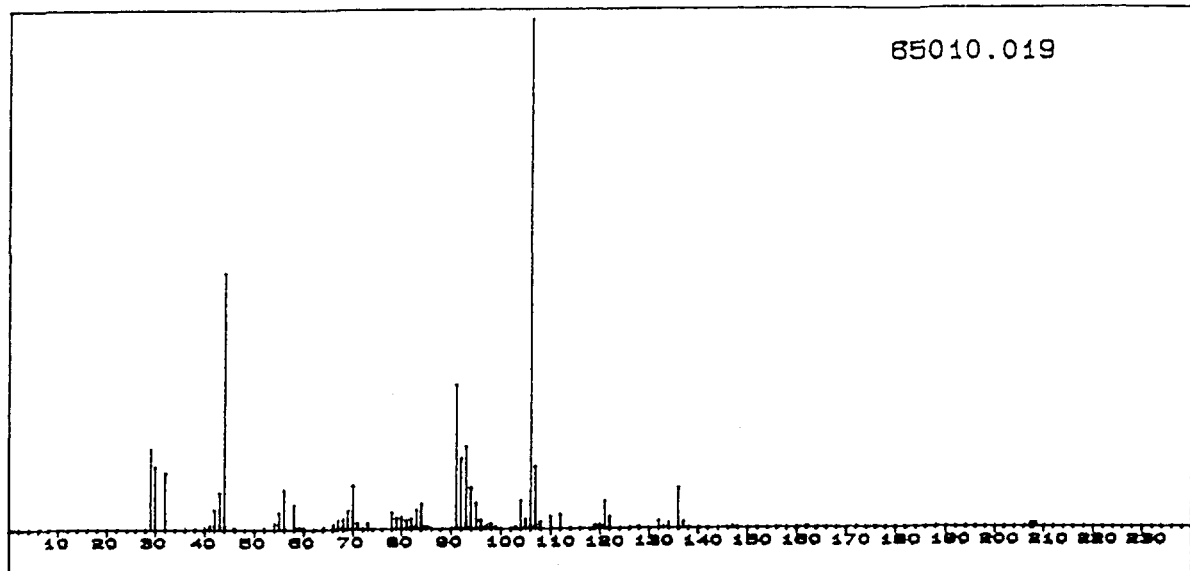
65010.018



Wire No.: 18 (No. of Peaks: 68)

m/z	intensity	m/z	intensity	m/z	intensity	m/z	intensity
29.1	12713.94	30.3	21142.42	31.3	6408.48	32.3	4537.58
33.3	455.15	39.7	123.64	40.4	146.06	41.3	525.45
42.4	2063.64	43.3	8196.36	44.3	37533.94	45.3	2396.36
46.2	218.79	47.2	182.42	54.3	992.73	55.3	1316.36
56.3	1413.94	57.3	970.30	58.3	3712.12	59.2	1027.27
60.2	527.27	64.4	111.52	66.1	180.61	67.2	1304.85
68.2	1616.97	69.1	678.79	70.2	1255.76	71.2	489.09
72.2	816.36	74.3	152.73	78.1	3181.21	79.1	602.42
80.1	196.97	81.1	1075.15	82.1	873.94	83.1	329.09
84.1	852.12	85.3	457.58	86.2	812.73	87.2	232.73
89.4	163.64	91.2	67447.27	92.2	13733.94	94.2	516.36
95.0	415.15	96.2	1275.15	97.1	269.09	98.2	466.06
99.2	223.64	100.4	129.70	103.2	291.52	104.2	5530.91
105.2	4718.18	106.2	217398.78	110.2	1706.67	111.1	333.33
112.1	234.55	113.2	105.45	114.3	131.52	117.1	136.36
120.1	485.45	121.1	163.03	122.4	158.79	124.1	201.21
126.4	100.61	132.1	306.06	134.3	147.27	136.1	111.52

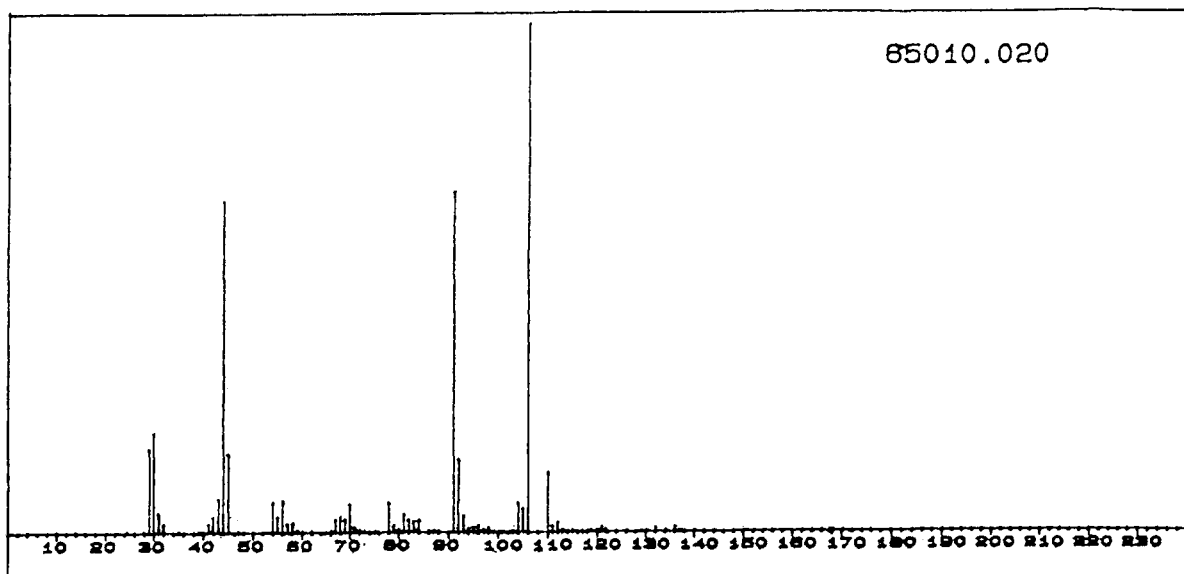
65010.019



Wire No.: 19 (No. of Peaks: 66)

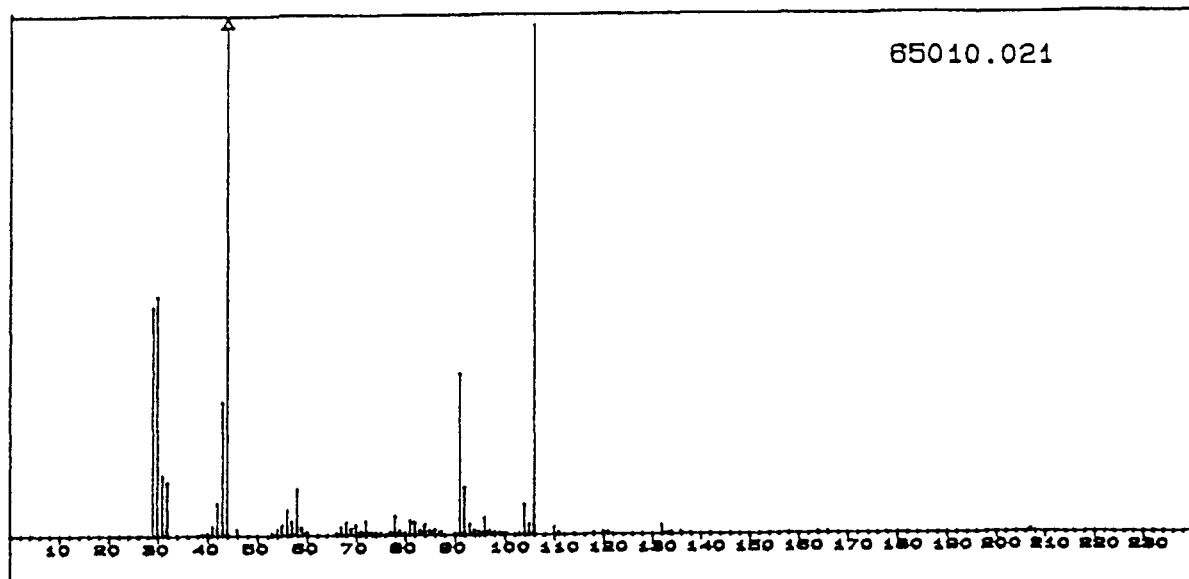
m/z	intensity	m/z	intensity	m/z	intensity	m/z	intensity
29.1	7463.03	30.4	5881.82	31.5	3806.06	32.3	1456.36
40.4	169.09	41.3	374.55	42.3	1817.58	43.4	3394.55
44.3	23996.36	46.2	140.00	52.4	107.27	54.3	536.97
55.3	1587.27	56.3	3653.33	57.5	1192.73	58.3	1087.27
59.3	138.18	60.3	138.18	64.2	153.94	66.4	429.70
67.2	797.58	68.4	933.94	69.2	1727.27	70.2	4081.82
71.2	573.94	72.5	323.03	73.2	184.24	78.3	1523.64
79.3	1007.27	80.3	1118.79	81.3	783.03	82.1	960.00
83.3	1820.00	84.3	2350.30	85.3	233.33	91.2	13478.18
92.2	6583.03	93.2	7658.79	94.2	3855.76	95.2	2365.45
96.2	768.48	97.2	206.06	97.7	192.73	98.1	291.52
99.2	127.27	103.3	149.09	104.2	2570.30	105.2	875.15
106.2	47800.00	107.2	5777.58	108.3	601.21	110.2	1141.82
112.2	1315.15	119.2	332.12	120.1	332.12	121.2	2549.09
122.1	1078.79	127.5	101.21	132.1	639.39	133.3	139.39
134.1	455.76	136.3	3749.09	137.1	504.24	147.3	105.45
162.2	135.76	208.2	105.45				

85010.020



Wire No.: 20 (No. of Peaks: 81)

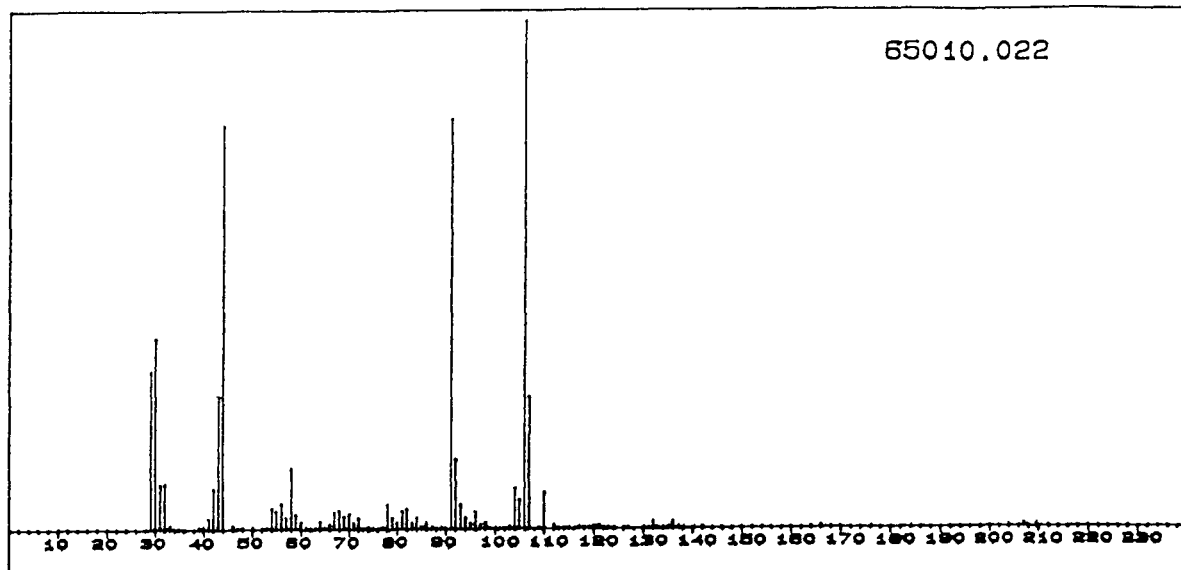
m/z	intensity	m/z	intensity	m/z	intensity	m/z	intensity
29.1	35333.33	30.3	42089.70	31.4	8111.52	32.3	3390.91
35.3	212.12	39.3	370.30	40.3	485.45	41.4	3473.94
42.4	6487.27	43.4	14067.27	44.3	140551.52	45.3	33206.06
47.2	226.06	52.3	120.61	53.3	167.27	54.3	12731.52
55.3	6695.15	56.3	13330.30	57.3	3677.58	58.3	4150.91
59.2	609.70	60.2	133.33	62.3	284.85	65.2	114.55
66.2	640.61	67.2	5396.36	68.2	6793.33	69.2	5630.91
70.2	11875.15	71.2	2103.64	72.2	748.48	73.1	452.12
74.3	160.61	75.3	204.85	78.3	12241.82	79.1	2508.48
80.3	777.58	81.3	7296.36	82.3	5245.45	83.3	4575.76
84.3	4846.06	86.2	578.79	87.2	364.85	87.5	190.30
88.0	123.64	91.2	144553.33	92.2	30721.82	93.2	6850.30
94.2	1550.91	95.2	2137.58	96.3	2716.97	97.1	1001.21
98.3	1689.09	99.3	227.88	101.2	155.15	103.2	537.58
104.2	12161.21	105.2	9896.36	106.2	214980.61	110.2	25181.21
111.2	2540.61	112.2	3913.94	113.2	566.06	114.0	180.00
115.2	159.39	117.1	106.06	118.1	124.24	119.1	426.67
120.2	541.21	121.2	1943.64	122.1	464.24	124.1	113.33
129.3	103.03	129.9	114.55	132.1	1615.76	134.3	342.42
136.3	1995.76	137.3	429.09	163.8	233.33	166.1	214.55
168.0	104.85						



Wire No.: 21 (No. of Peaks: 68)

m/z	intensity	m/z	intensity	m/z	intensity	m/z	intensity
29.1	22496.97	30.3	23583.64	31.4	5983.64	32.3	5315.15
39.4	137.58	40.3	244.24	41.3	880.00	42.3	3186.67
43.3	13169.09	44.3	82171.52	46.3	530.91	53.3	227.88
54.3	633.33	55.3	1001.82	56.3	2512.12	57.3	1352.12
58.3	4595.76	59.2	720.00	60.2	275.76	66.1	171.52
67.2	821.82	68.2	1212.73	69.2	589.70	70.1	972.12
71.2	338.79	72.2	1372.12	73.2	261.82	74.3	179.39
75.1	153.94	77.1	291.52	78.1	1916.36	79.1	395.76
80.1	201.21	81.1	1446.67	82.3	1271.52	83.1	481.82
84.3	963.03	85.0	459.39	86.2	483.03	87.3	253.94
90.2	152.73	91.2	15893.33	92.2	4709.09	93.0	1004.85
94.0	454.55	95.2	280.61	96.2	1682.42	97.3	326.67
98.2	247.88	98.6	181.21	99.8	183.64	103.2	140.00
104.2	2996.36	105.2	972.73	106.2	50303.03	110.2	748.48
111.1	147.27	113.5	112.12	118.0	133.94	120.2	292.73
121.2	215.15	132.1	860.00	133.3	110.91	134.1	163.64
136.1	219.39	164.1	156.36	166.1	145.45	207.2	227.27

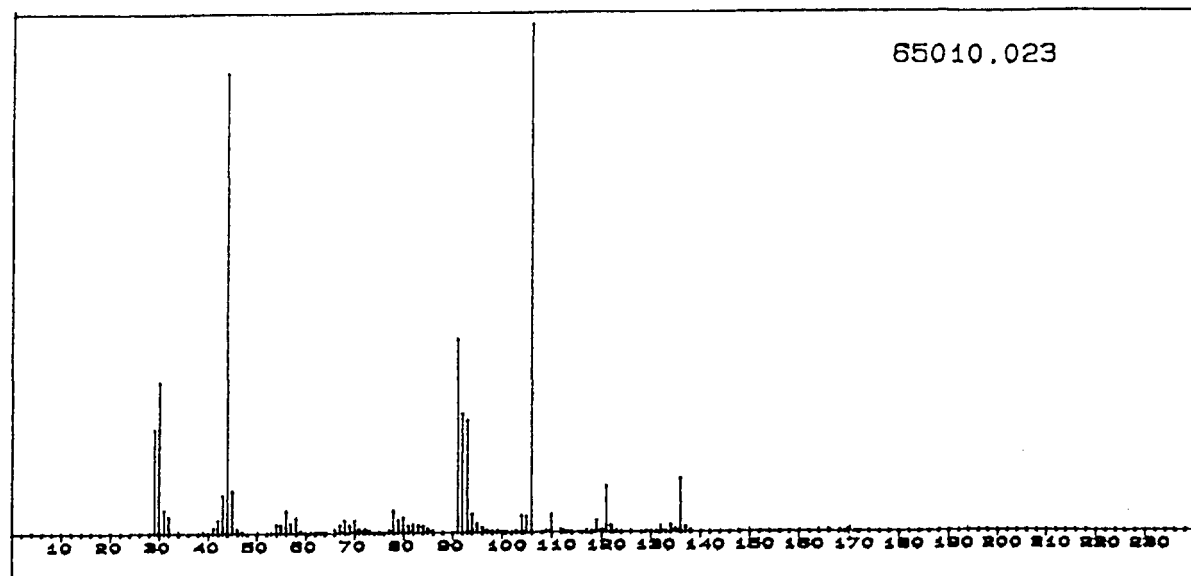
65010.022



Wire No.: 22 (No. of Peaks:107)

m/z	intensity	m/z	intensity	m/z	intensity	m/z	intensity
29.1	71176.97	30.3	86134.55	31.3	19987.88	32.3	20379.39
33.3	1406.06	34.2	232.73	35.3	118.79	39.3	812.73
40.3	1045.45	41.3	4785.45	42.3	18404.85	43.3	60307.27
44.3	180958.78	46.3	1482.42	47.2	368.48	48.3	231.52
50.2	286.67	52.3	192.12	53.3	642.42	54.3	9249.70
55.3	7936.97	56.3	11476.97	57.3	5077.58	58.2	27344.85
59.3	6589.09	60.2	2811.52	61.2	384.24	62.3	393.94
63.2	163.03	64.2	3213.94	65.2	501.82	66.2	1912.12
67.2	7633.33	68.2	8448.48	69.2	5646.67	70.2	6834.55
71.2	2501.21	72.2	5047.27	73.1	681.82	74.1	762.42
75.1	526.67	76.1	391.52	77.1	936.36	78.1	11048.48
79.1	5054.55	80.3	2785.45	81.1	7947.88	82.1	8904.24
83.1	2426.67	84.1	4784.85	85.2	938.79	86.2	2473.33
87.0	312.12	88.2	215.15	89.0	298.18	91.2	183876.36
92.2	31425.46	93.2	10850.91	94.2	5161.82	95.2	2518.79
96.2	7671.52	97.1	1887.88	98.1	2786.67	99.2	416.97
100.2	291.52	101.2	209.09	102.2	246.67	103.1	1137.58
104.2	18259.39	105.2	13200.00	106.2	227623.03	107.1	59373.33
109.2	416.36	110.2	16328.48	112.2	1517.58	113.3	329.09
114.2	252.73	114.8	146.67	117.2	740.00	118.2	415.76
119.1	615.15	120.2	1142.42	121.2	1403.03	122.1	535.76
123.0	320.00	124.1	517.58	126.2	142.42	127.1	107.88
129.9	356.97	130.9	150.91	132.0	2573.33	133.0	283.64
134.1	483.64	135.1	240.61	136.3	2790.30	137.3	358.79
142.0	523.64	146.3	134.55	147.9	155.76	150.3	126.06
164.0	723.03	165.8	778.18	168.0	315.15	176.0	136.97
207.1	1558.18	208.1	449.09	209.1	190.91		

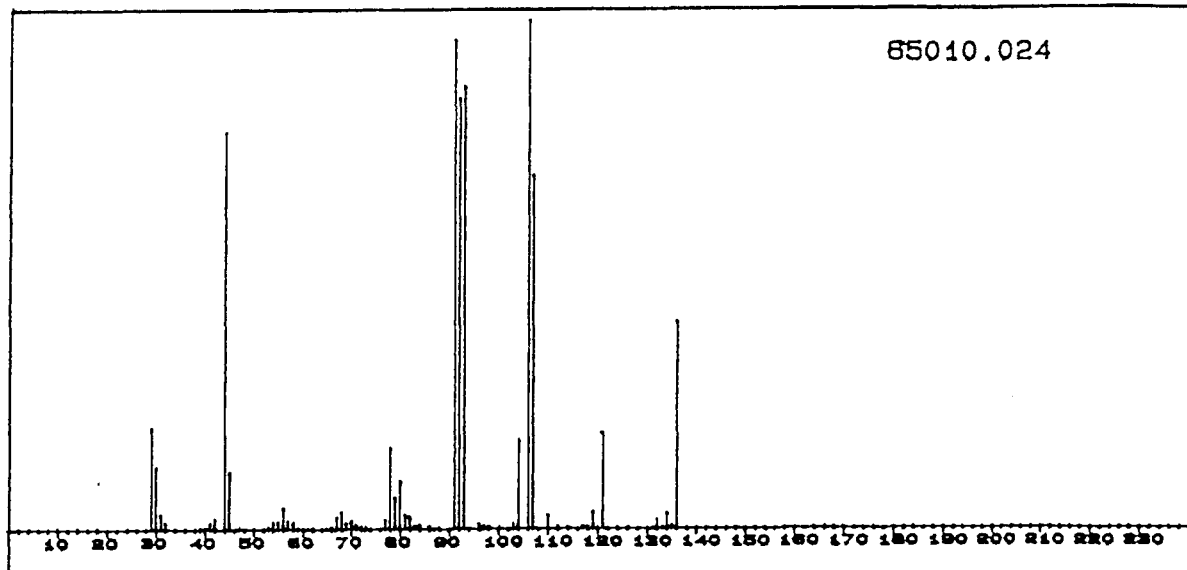
65010.023



Wire No.: 23 (No. of Peaks: 85)

m/z	intensity	m/z	intensity	m/z	intensity	m/z	intensity
29.1	36846.06	30.3	53553.33	31.4	8298.79	32.3	5916.97
39.3	163.03	40.4	139.39	41.3	2091.52	42.3	4660.00
43.4	13569.09	44.3	163296.36	45.3	15115.15	46.2	1384.85
47.4	225.45	53.2	190.30	54.3	3091.52	55.3	2935.15
56.3	7890.91	57.3	3297.58	58.3	5378.18	59.2	627.27
60.1	256.36	61.3	127.27	62.1	216.97	63.2	104.85
66.2	958.18	67.1	2726.06	68.2	4215.15	69.2	2675.15
70.2	4305.45	71.2	1156.97	72.2	1123.64	73.2	353.33
75.3	189.09	76.0	126.67	77.3	759.39	78.1	7843.03
79.1	4521.82	80.3	5407.27	81.1	2452.73	82.3	2996.97
83.1	2526.06	84.3	2149.70	85.2	1235.15	86.4	633.33
91.2	68668.48	92.2	42197.57	93.2	39963.64	94.2	6549.09
95.3	2959.39	96.2	1580.00	97.1	800.61	98.2	404.24
99.1	580.61	100.2	100.00	101.1	189.70	103.1	289.09
104.2	5979.39	105.2	5823.64	106.2	180362.42	109.2	538.18
110.2	6258.79	112.2	877.58	113.1	253.94	117.1	336.36
118.1	153.94	119.2	3921.82	120.2	846.67	121.2	16220.61
122.1	2279.39	123.1	196.97	124.2	131.52	126.1	132.12
129.0	282.42	131.0	104.85	132.1	2025.45	133.1	114.55
134.3	2470.91	135.1	893.33	136.3	18983.64	137.1	1873.94
138.3	349.70	164.1	573.94	166.0	713.33	168.0	233.94
170.0	129.09						

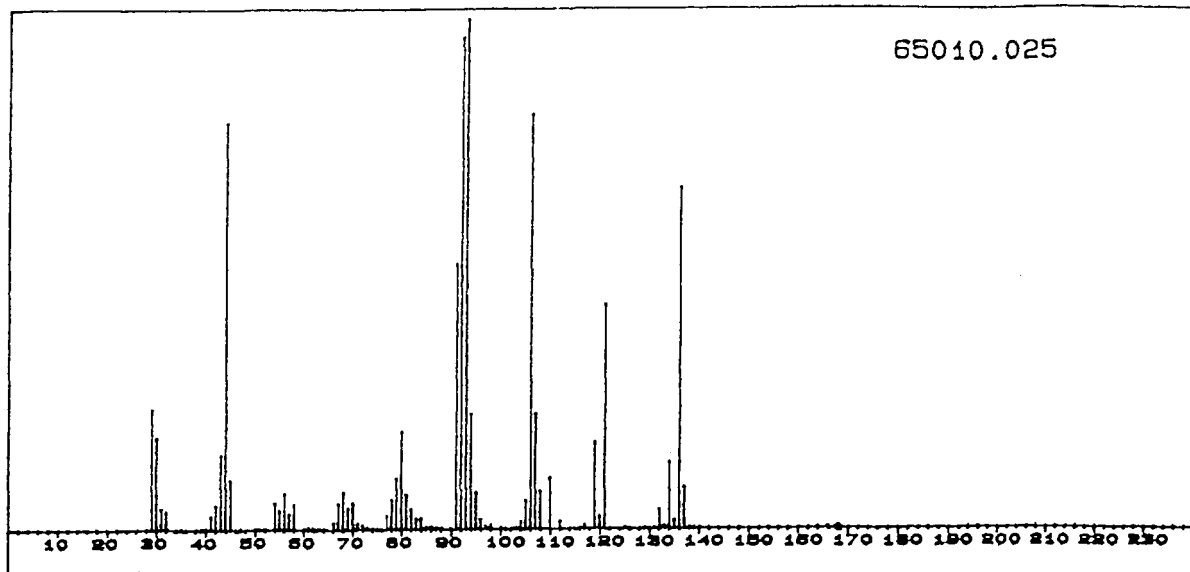
85010.024



Wire No.: 24 (No. of Peaks: 73)

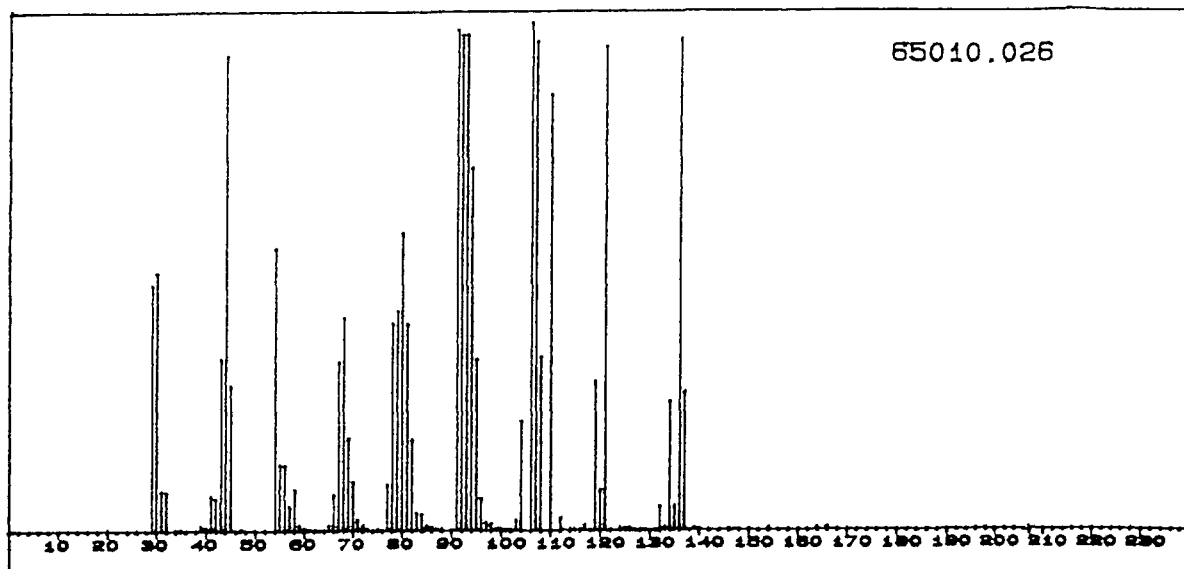
m/z	intensity	m/z	intensity	m/z	intensity	m/z	intensity
29.1	44929.09	30.3	27553.33	31.2	6506.67	32.3	2674.55
39.3	444.85	40.3	621.21	41.3	2865.45	42.3	4746.06
44.2	175384.84	45.2	25353.94	47.3	187.88	52.1	178.18
53.3	562.42	54.2	3172.12	55.2	3240.00	56.2	9531.52
57.2	3633.94	58.2	2962.42	59.2	381.21	60.2	170.91
60.5	144.85	62.1	126.67	65.1	451.52	66.2	936.97
67.1	5405.45	68.2	7666.06	69.1	2389.09	70.1	3448.48
71.2	1373.33	72.2	855.15	73.2	128.48	77.1	4186.67
78.1	36009.70	79.1	13921.82	80.1	21226.06	81.1	6363.03
82.1	5267.27	83.1	1361.82	84.1	1801.82	86.2	915.15
87.0	175.76	88.2	236.97	91.2	215606.06	92.2	189807.87
93.2	194911.52	96.2	2047.27	97.1	1338.79	98.1	941.21
100.2	336.36	101.9	128.48	103.2	2220.61	104.1	39161.21
106.2	224267.27	107.1	156081.22	110.2	5835.76	112.1	888.48
114.1	125.45	117.1	805.45	118.2	616.36	119.1	7258.79
121.1	42843.03	124.1	140.00	126.1	160.61	130.0	183.64
131.1	205.45	132.1	3683.03	133.3	378.79	134.1	6857.58
135.1	1150.91	136.1	91458.18	163.8	221.21	165.8	474.55
167.8	302.42						

65010.025



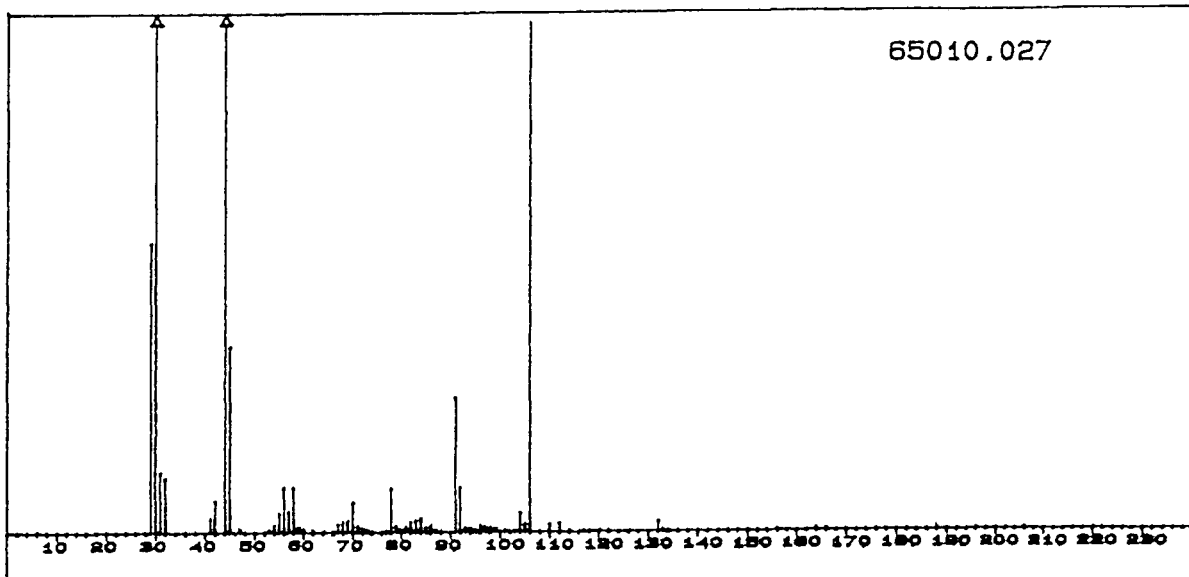
Wire No.: 25 (No. of Peaks: 92)

m/z	intensity	m/z	intensity	m/z	intensity	m/z	intensity
29.1	51263.64	30.3	39016.36	31.3	9026.06	32.3	7855.15
35.2	135.15	39.4	355.15	40.4	584.85	41.3	5798.79
42.3	10322.42	43.3	31864.24	44.2	173821.81	45.2	21183.64
47.1	224.85	51.3	101.21	54.2	11148.48	55.2	7972.12
56.2	15255.76	57.2	6515.76	58.2	10669.70	60.1	540.00
61.0	216.36	62.2	401.21	63.1	139.39	64.0	120.00
66.2	2906.67	67.2	11021.21	68.2	15938.18	69.2	9121.82
70.2	11123.03	71.1	2239.39	72.1	1640.61	73.1	526.06
74.1	159.39	75.4	190.30	77.1	5964.24	78.1	12620.00
79.1	21373.94	80.1	41174.55	81.1	14550.30	82.1	8483.03
83.1	4655.15	84.1	4723.03	85.0	1001.21	86.0	1069.09
87.2	484.24	88.0	289.09	91.2	112863.63	92.2	210150.30
93.2	217696.36	94.0	49004.85	95.2	15480.61	96.2	3884.24
97.2	1185.45	98.1	1248.48	99.9	217.58	100.2	260.00
101.2	109.70	102.1	104.85	102.9	530.30	104.1	3169.70
105.1	12144.24	106.1	177349.70	107.1	48972.73	108.1	16115.76
110.2	21520.00	112.1	3006.06	114.1	333.94	115.0	106.67
116.1	207.88	117.0	1514.55	119.1	36884.85	120.1	5287.88
121.1	95293.94	124.0	228.48	124.9	166.67	125.1	111.52
126.2	199.39	128.8	137.58	130.0	169.70	131.0	160.61
132.1	7998.18	133.0	1184.85	134.1	28238.79	135.0	3548.48
136.1	145703.64	137.1	17375.15	139.2	117.58	146.3	118.18
154.3	230.30	164.0	480.61	165.8	528.48	168.1	215.76



Wire No.: 26 (No. of Peaks:100)

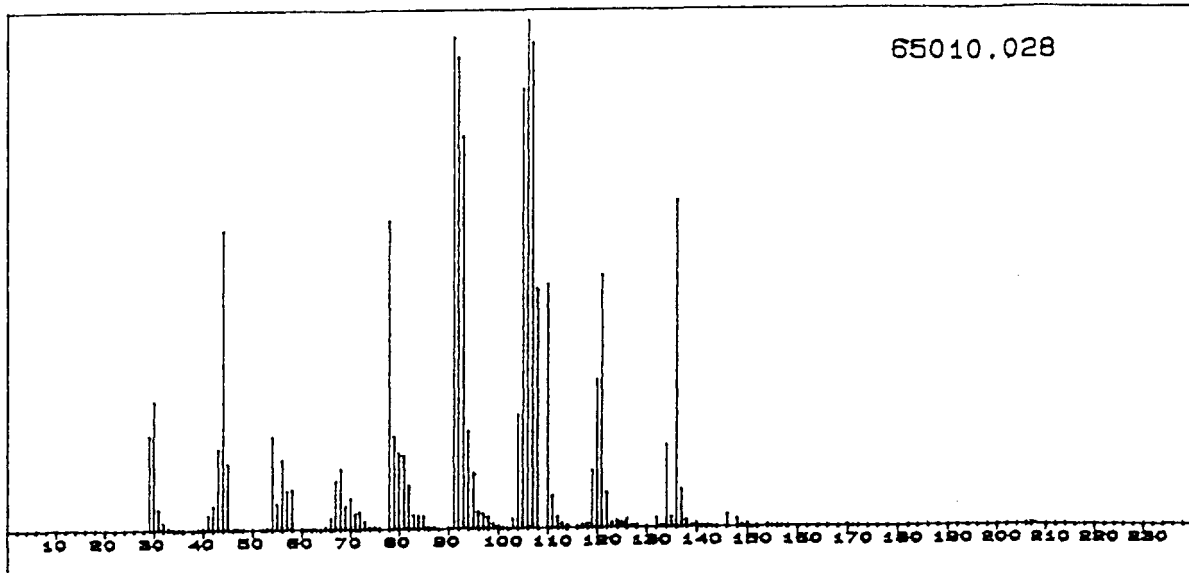
m/z	intensity	m/z	intensity	m/z	intensity	m/z	intensity
29.1	111600.61	30.3	117112.73	31.2	18153.94	32.3	17748.48
34.3	227.27	35.3	204.85	39.3	1783.64	40.4	1496.36
41.3	15679.39	42.3	14540.61	43.3	78334.55	44.2	215500.00
45.3	66021.82	47.3	698.18	54.2	128358.18	55.2	29905.46
56.2	29782.42	57.2	11513.94	58.2	19026.67	59.2	2553.94
60.1	1007.88	61.1	152.12	62.3	396.36	63.1	157.58
64.1	216.97	65.2	2445.45	66.2	16409.70	67.2	76765.45
68.2	96763.03	69.2	42040.61	70.2	22157.58	71.1	5055.76
72.1	2309.70	73.1	724.85	74.0	195.76	75.1	329.09
77.1	20886.06	78.1	94270.91	79.1	99731.52	80.1	134772.73
81.1	93762.42	82.1	41589.09	83.1	7929.70	84.1	7419.39
85.2	2240.00	86.2	1613.94	87.2	495.15	88.2	415.15
91.2	226892.12	92.2	224692.12	93.2	224859.39	94.2	164195.75
95.2	77696.37	96.1	14670.30	97.1	3670.30	98.2	2915.15
99.1	635.15	100.1	555.15	101.2	261.21	102.1	177.58
103.1	4556.97	104.1	49796.97	106.2	230430.91	107.1	221644.25
108.1	78709.70	110.2	197229.70	112.1	5510.30	114.1	581.21
115.1	307.27	116.1	499.39	117.1	2401.82	119.1	67656.37
120.1	18260.61	121.1	219241.81	124.2	947.27	125.2	782.42
126.1	751.52	127.1	158.79	127.9	151.52	128.9	104.85
130.0	135.15	131.0	317.58	132.1	10684.24	133.0	1407.27
134.1	58516.97	135.1	10955.76	136.1	222231.52	137.1	63039.39
139.2	915.76	140.0	240.00	146.0	413.33	146.9	192.73
148.0	242.42	150.2	455.15	154.2	1090.30	163.8	990.91
166.0	1164.85	167.8	297.58	170.0	166.67	206.9	106.06



Wire No.: 27 (No. of Peaks: 65)

m/z	intensity	m/z	intensity	m/z	intensity	m/z	intensity
29.1	46555.15	30.3	96958.18	31.3	9646.06	32.3	8827.88
40.5	158.18	41.4	2055.15	42.3	5069.09	44.3	204480.61
45.3	29981.21	47.3	405.45	53.2	395.76	54.3	1138.79
55.3	3076.36	56.3	7221.82	57.3	3353.94	58.3	7235.76
59.3	753.94	60.2	382.42	62.3	164.24	66.4	132.12
67.4	1162.42	68.2	1680.61	69.2	1854.55	70.2	4835.76
71.2	969.09	72.2	647.88	73.1	324.24	77.0	183.03
78.1	6917.58	79.1	912.73	80.1	354.55	81.4	704.24
82.3	1600.00	83.1	1809.70	84.3	2212.73	85.2	681.82
86.2	960.00	87.0	273.94	91.2	21777.58	92.2	7170.91
93.2	592.73	94.0	604.85	95.3	339.39	95.6	213.94
96.2	846.67	97.1	746.06	98.1	588.48	98.9	501.82
100.9	195.15	103.1	175.76	104.2	3043.64	105.2	1157.58
106.2	81661.21	110.2	1117.58	112.2	1341.21	114.0	195.76
117.0	106.06	119.2	120.00	120.4	112.12	122.1	136.36
132.1	1540.00	133.3	161.82	134.3	128.48	164.0	297.58
166.0	247.27						

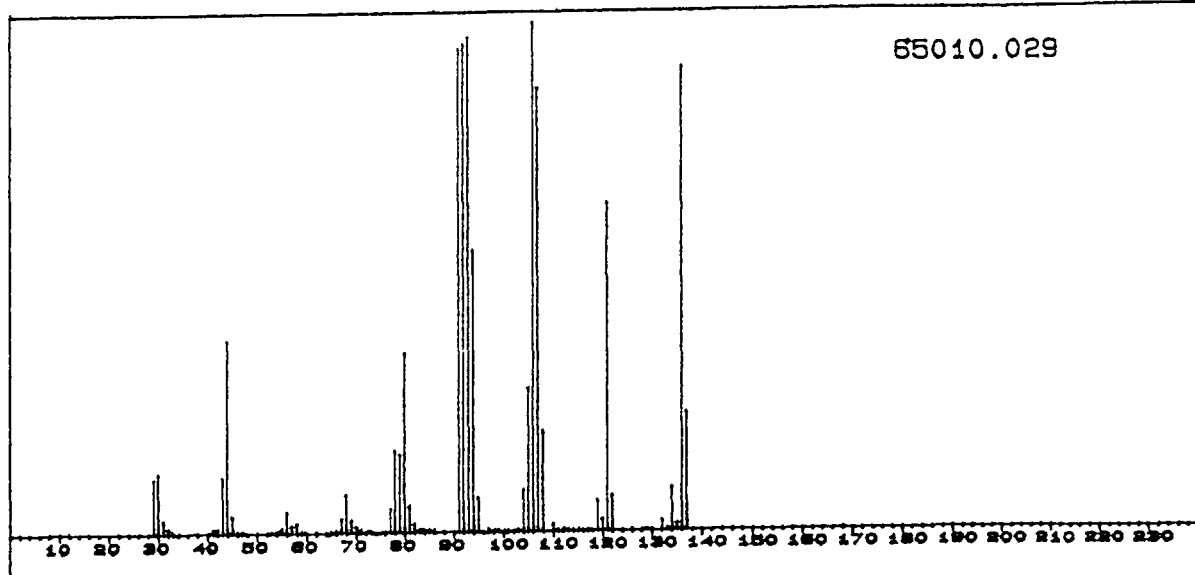
65010.028



Wire No.: 28 (No. of Peaks:112)

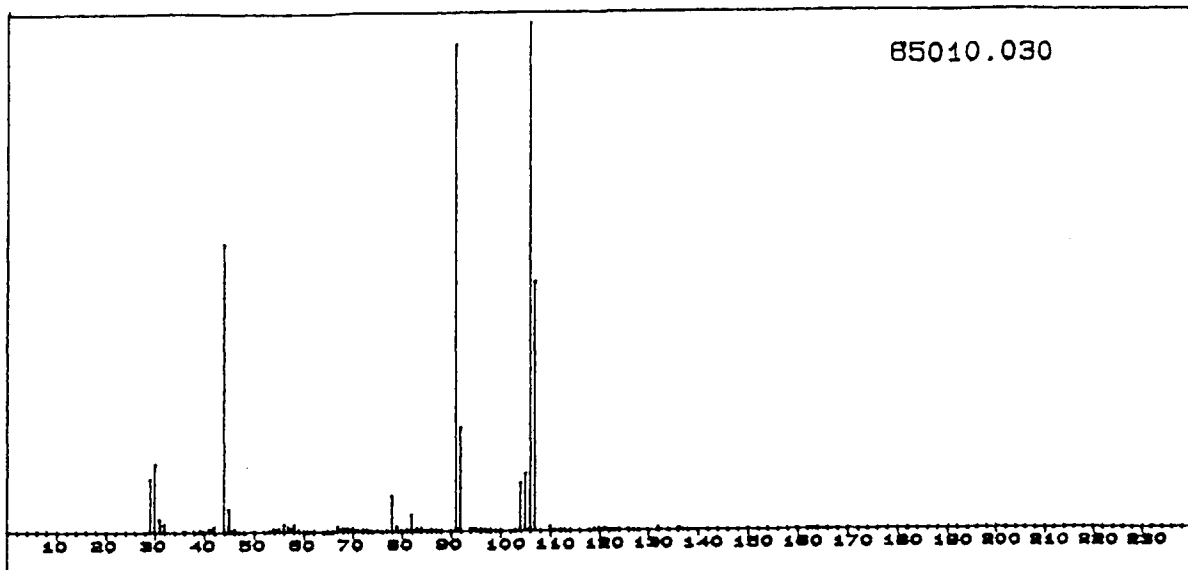
m/z intensity	m/z intensity	m/z intensity	m/z intensity
29.1 45314.55	30.4 61340.61	31.4 9906.06	32.3 3487.88
33.3 1011.52	34.4 123.64	35.4 132.12	39.3 602.42
40.3 936.97	41.4 6789.09	42.3 11431.52	43.4 38484.85
44.3 141955.75	45.3 31407.27	47.4 385.45	52.4 122.42
53.3 646.06	54.3 44347.27	55.3 12345.45	56.3 33173.94
57.3 18372.12	58.3 19124.85	60.3 475.76	61.3 104.85
62.2 188.48	63.2 121.21	65.4 1364.85	66.2 5323.03
67.2 22854.54	68.2 28726.67	69.2 11030.91	70.2 14853.94
71.2 7479.39	72.2 8125.45	73.2 3527.27	74.1 473.33
75.1 760.00	76.0 291.52	78.3 146550.91	79.1 44132.73
80.3 36096.36	81.3 35081.82	82.3 20532.12	83.3 6641.82
84.3 6164.24	85.3 6013.94	86.2 767.27	87.2 593.33
91.2 234094.55	92.2 224450.30	93.2 186752.12	94.2 46566.06
95.2 26163.03	96.2 8110.91	97.2 7049.70	98.2 5586.67
99.2 2325.45	100.3 936.36	101.4 249.09	103.2 4408.48
104.2 54343.03	105.2 209283.64	106.2 242236.36	107.2 231240.61
108.2 113752.73	110.2 115984.24	111.2 15329.70	112.2 5356.97
113.2 2133.94	114.2 873.94	116.2 456.97	117.2 1366.06
118.2 2073.33	119.2 27399.39	120.2 70769.70	121.2 120453.94
122.1 16803.64	123.2 2228.48	124.2 3180.61	125.2 2112.12
126.2 3603.03	127.1 549.09	128.3 846.06	132.3 4485.45
133.1 556.36	134.3 39216.36	135.1 4976.36	136.3 155643.64
137.1 17961.82	138.1 2955.15	139.2 452.12	140.2 1351.52
141.3 424.24	142.3 458.18	143.4 111.52	146.2 5866.06
148.0 3876.36	149.0 503.64	150.2 1513.94	151.2 112.12
152.3 516.97	154.4 371.52	155.4 132.12	156.2 304.85
157.2 116.36	163.8 164.24	166.0 256.97	169.8 115.15
170.5 136.36	182.3 144.24	200.2 131.52	207.2 149.70

65010.029



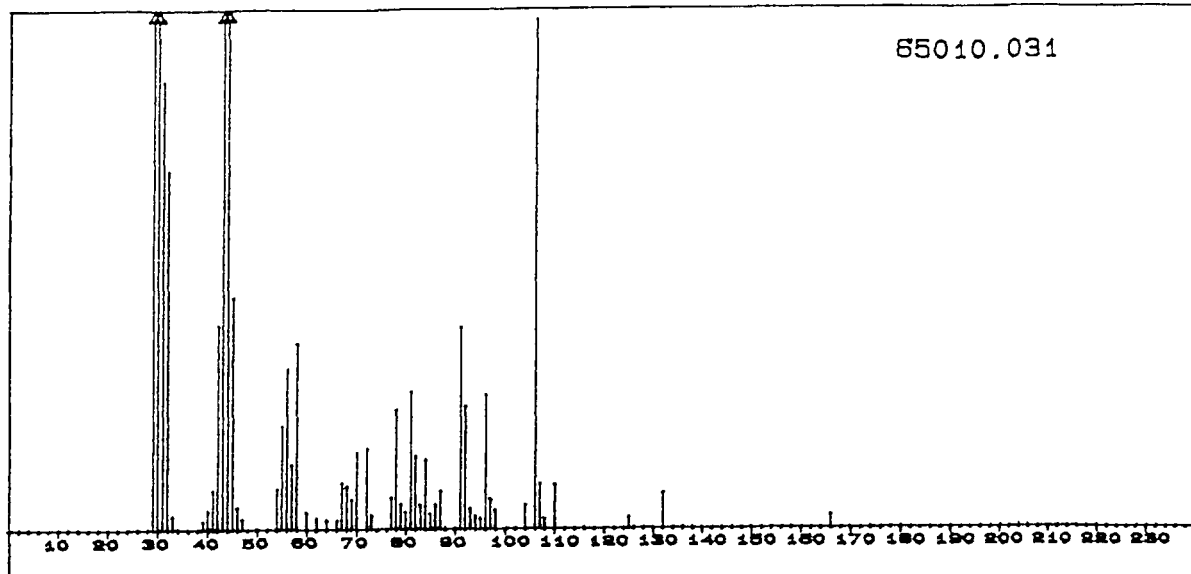
Wire No.: 29 (No. of Peaks: 86)

m/z	intensity	m/z	intensity	m/z	intensity	m/z	intensity
29.1	23942.42	30.3	26480.61	31.3	5726.67	32.3	2250.30
33.4	197.58	40.2	107.88	41.3	1738.18	42.4	2204.24
43.3	24608.48	44.3	85200.61	45.3	7495.76	46.3	733.94
47.2	418.79	48.4	144.85	53.2	207.88	54.3	787.88
55.3	2214.55	56.3	9288.48	57.3	3256.97	58.3	4187.88
59.3	316.97	62.2	426.06	65.2	412.12	66.2	1190.91
67.2	6252.12	68.2	16718.79	69.2	5363.64	70.2	2573.33
71.2	1302.42	72.2	360.61	73.1	293.94	75.4	132.73
77.1	10512.73	78.1	36016.36	79.1	34474.55	80.1	79263.63
81.1	11544.85	82.1	3483.64	83.1	919.39	84.1	984.24
85.3	726.67	86.3	450.91	91.2	212772.12	92.2	214866.06
93.2	217676.97	94.2	124405.45	95.2	15006.67	97.2	842.42
98.2	527.88	99.3	301.82	100.1	123.03	101.1	164.85
102.1	116.97	103.2	857.58	104.2	18535.15	105.2	63689.70
106.2	224086.67	107.2	195082.42	108.1	44126.67	110.2	2962.42
111.3	622.42	112.2	651.52	113.1	173.33	114.0	143.03
115.2	112.73	117.1	461.82	118.2	202.42	119.1	13425.45
120.2	5217.58	121.2	144673.94	122.1	15788.48	124.4	178.18
126.2	753.33	128.4	124.24	129.3	120.61	130.0	136.97
132.1	4153.94	133.1	760.00	134.3	18917.58	135.1	3167.88
136.3	203894.55	137.1	52279.39	146.2	383.64	148.2	204.24
166.0	100.00	167.8	104.24				



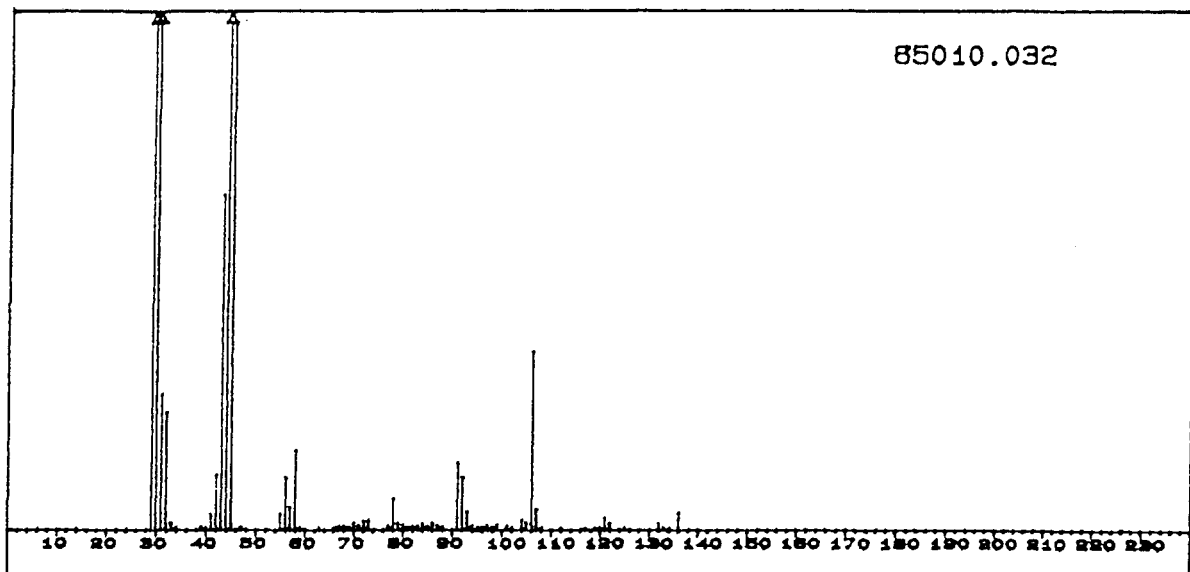
Wire No.: 30 (No. of Peaks: 83)

m/z	intensity	m/z	intensity	m/z	intensity	m/z	intensity
29.1	23244.85	30.3	29465.46	31.4	5525.45	32.3	3118.18
35.5	124.85	39.3	164.24	40.4	166.67	41.3	1231.52
42.3	2263.64	44.3	124340.61	45.3	9950.30	46.3	1088.48
47.3	107.27	53.3	213.94	54.3	1100.61	55.3	1220.00
56.3	3148.48	57.3	1747.88	58.3	2980.61	59.2	559.39
60.2	175.15	61.2	104.85	62.3	285.45	65.1	115.76
66.4	358.18	67.2	2315.15	68.2	1276.97	69.2	978.18
70.2	1338.79	71.4	525.45	71.7	230.30	72.1	504.85
73.2	263.64	75.1	154.55	77.3	222.42	78.3	15167.27
79.1	1966.06	80.1	446.06	81.1	978.18	82.1	7164.24
83.3	928.48	84.1	1254.55	85.2	273.33	86.2	422.42
87.0	130.30	91.2	211004.84	92.2	44676.97	94.0	1227.88
95.3	1061.21	96.2	644.85	97.2	517.58	98.2	453.94
99.2	152.73	100.2	216.97	103.1	887.27	104.2	20938.18
105.2	24687.27	106.2	219986.06	107.2	107078.18	110.2	1962.42
111.1	247.88	112.2	286.06	113.2	118.79	114.2	183.64
119.4	264.24	119.6	156.97	120.4	690.91	121.2	792.12
122.2	358.79	123.2	108.48	124.4	252.73	125.6	113.94
126.2	260.00	127.2	139.39	132.1	1327.88	134.1	183.64
136.3	915.15	137.3	146.06	162.7	120.00	164.0	232.12
166.0	203.64	168.1	197.58	170.0	110.30		



Wire No.: 31 (No. of Peaks: 61)

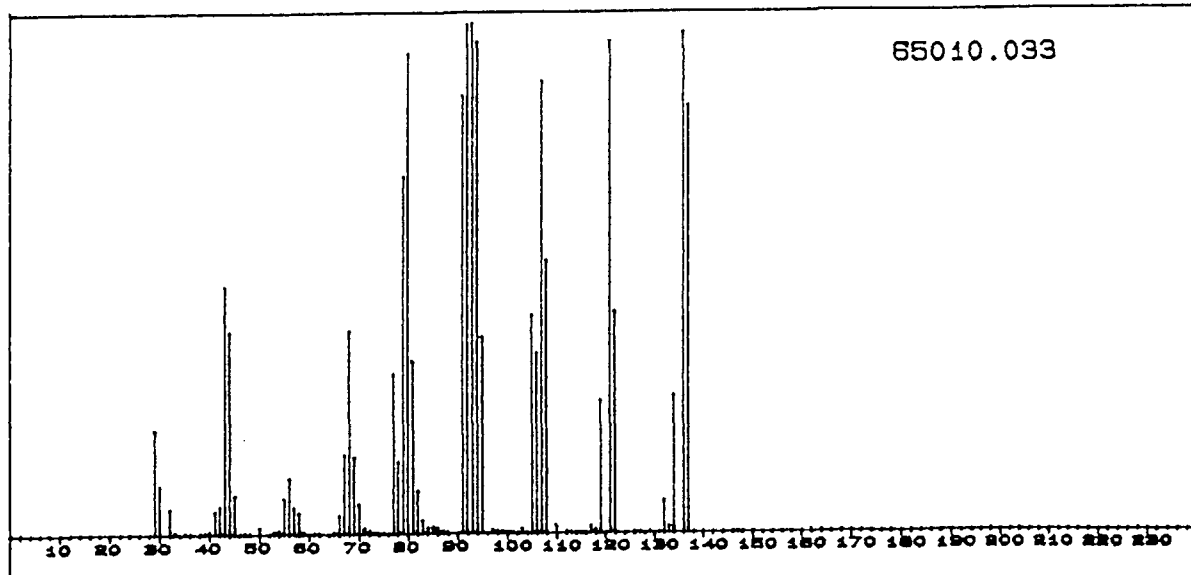
m/z	intensity	m/z	intensity	m/z	intensity	m/z	intensity
29.1	20230.91	30.4	16219.39	31.4	5764.24	32.3	4603.64
33.4	170.30	39.4	107.27	40.3	240.00	41.3	505.45
42.3	2608.48	43.4	6883.64	44.3	51721.21	45.3	2966.06
46.3	285.45	47.2	138.18	53.5	116.36	54.3	399.39
54.7	167.88	55.3	1150.91	56.3	2040.00	57.3	822.42
58.2	2371.52	60.1	105.45	60.3	110.91	62.3	139.39
64.1	117.58	66.4	116.97	67.1	589.09	68.2	550.30
69.1	379.39	70.2	972.73	71.5	373.33	72.2	649.09
73.2	182.42	77.1	403.64	78.1	1513.33	79.1	321.82
80.1	221.21	81.3	1747.27	82.3	929.70	83.3	312.73
84.3	881.21	85.3	195.76	86.2	312.12	86.8	263.64
87.0	221.82	91.3	2571.52	92.3	1563.03	93.3	251.52
94.3	168.48	95.2	130.30	96.2	1703.64	97.2	382.42
98.3	244.85	104.2	309.09	106.2	6537.58	107.2	575.76
108.1	119.39	110.2	560.61	125.4	143.03	132.3	446.06
166.2	190.91						



Wire No.: 32 (No. of Peaks: 68)

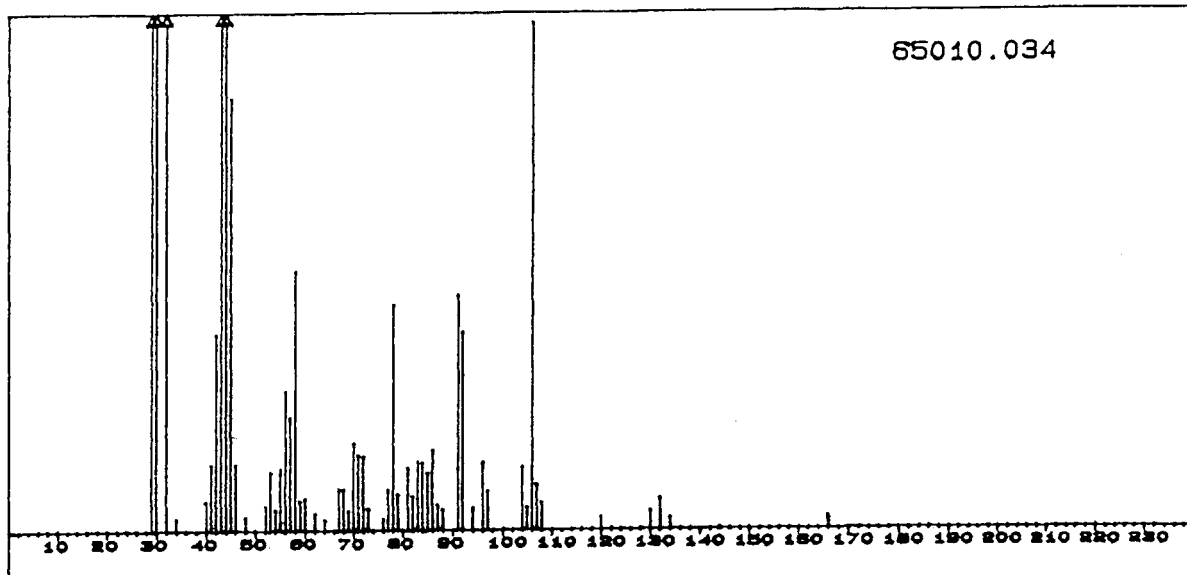
m/z	intensity	m/z	intensity	m/z	intensity	m/z	intensity
29.1	46463.64	30.4	93062.42	31.4	8350.91	32.3	7227.88
33.4	467.27	34.2	173.94	39.4	194.55	40.3	127.88
41.4	958.18	42.4	3377.58	43.4	20692.73	44.3	174680.00
45.3	31264.85	47.3	186.06	55.3	1019.39	56.3	3215.15
57.3	1417.58	58.3	4923.64	59.3	137.58	63.0	120.00
66.4	135.15	67.4	252.12	68.2	227.27	69.2	174.55
70.2	444.24	71.2	276.97	72.2	564.85	73.2	622.42
77.3	237.58	78.3	1926.06	79.1	420.00	80.3	301.21
81.3	161.82	82.3	221.21	83.3	246.06	84.4	390.91
85.2	225.45	86.2	445.45	87.2	272.73	88.2	196.97
91.2	4147.88	92.2	3239.39	93.2	1172.12	94.2	285.45
95.4	156.97	96.2	195.15	97.2	340.00	98.3	209.09
98.6	138.18	99.1	203.64	100.9	243.64	102.2	163.03
104.3	633.94	105.1	486.06	106.2	10996.97	107.1	1323.64
108.1	167.88	112.2	103.64	117.0	104.85	119.4	123.64
120.2	150.30	121.2	715.15	122.2	440.00	125.2	110.91
132.0	431.52	132.9	125.45	134.1	113.33	136.3	1052.12

65010.033



Wire No.: 33 (No. of Peaks: 94)

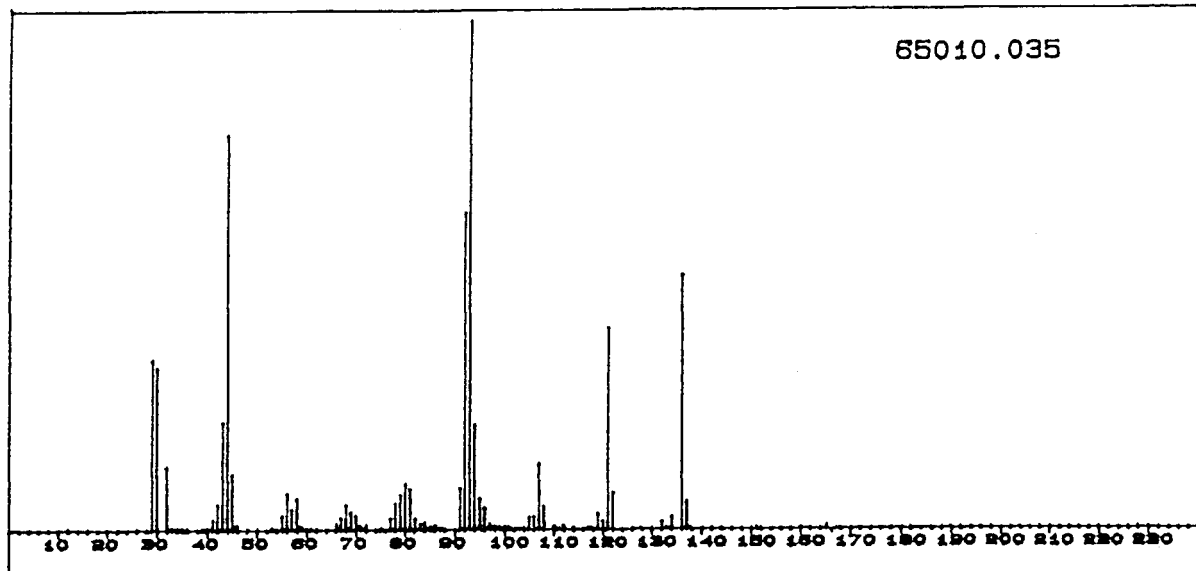
m/z	intensity	m/z	intensity	m/z	intensity	m/z	intensity
29.1	47816.36	30.3	22090.91	31.5	7081.82	32.3	4515.76
33.4	786.67	35.3	244.24	39.3	360.00	40.4	1038.18
41.4	10597.58	42.4	12659.39	43.4	112367.27	44.3	91871.52
45.3	17869.70	47.4	228.48	50.3	2902.42	52.2	184.85
53.3	1052.73	54.3	1613.33	55.3	16207.27	56.3	25420.00
57.3	12196.97	58.3	9655.15	59.3	857.58	60.1	224.24
61.2	368.48	62.2	363.64	65.2	682.42	66.2	8543.03
67.2	36378.18	68.2	92252.73	69.2	35153.94	70.2	13553.94
71.2	2433.33	72.2	1401.21	73.1	387.88	74.4	181.21
75.1	272.12	77.3	72676.97	78.3	33137.57	79.3	162334.55
80.3	218699.39	81.1	78508.48	82.1	19540.00	83.1	6072.73
84.1	2740.61	85.2	3072.73	86.3	2384.24	87.3	1003.03
88.3	464.85	91.2	199439.39	92.3	231968.48	93.2	232379.39
94.2	223915.16	95.2	89458.79	97.1	1633.94	98.2	970.91
99.1	686.67	100.2	775.76	101.1	281.21	103.2	2017.58
105.2	98961.82	106.2	81895.15	107.2	205688.48	108.2	123547.27
110.2	3463.03	112.1	806.06	113.3	384.24	114.3	184.85
115.2	109.09	116.1	159.39	117.1	3210.30	118.1	1541.21
119.2	60610.30	121.2	224087.27	122.2	100606.06	126.1	477.58
127.1	198.79	129.3	444.24	131.1	323.03	132.3	14758.79
133.3	2654.55	134.3	62867.27	136.3	227949.70	137.3	194385.45
140.4	272.73	145.5	100.61	146.3	169.09	147.2	416.97
150.3	182.42	154.3	109.70	162.2	675.76	164.1	341.82
166.0	195.15	168.0	128.48				



Wire No.: 34 (No. of Peaks: 60)

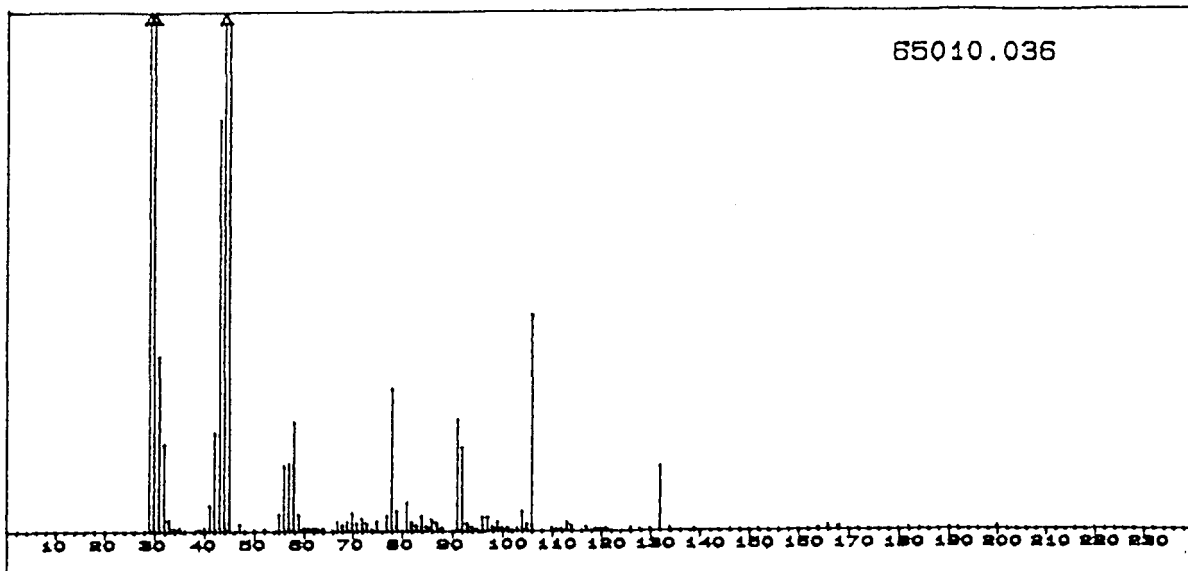
m/z	intensity	m/z	intensity	m/z	intensity	m/z	intensity
29.1	17281.82	30.4	14786.06	31.5	4776.36	32.3	2970.30
34.4	123.64	39.5	120.61	40.3	189.09	41.3	695.76
42.4	2062.42	43.3	6758.18	44.3	41772.12	45.3	4492.73
46.3	689.09	48.2	144.85	52.3	252.73	53.3	612.73
54.3	221.82	55.3	646.67	56.3	1464.85	57.3	1185.45
58.3	2707.88	59.2	310.91	60.3	336.97	61.5	177.58
64.1	113.33	67.1	436.36	68.2	436.36	69.2	211.52
70.2	919.39	71.4	791.52	72.2	776.36	73.4	228.48
76.3	121.21	77.1	423.03	78.3	2355.15	79.4	378.79
81.1	652.73	82.3	358.79	83.3	716.36	84.3	708.48
85.2	601.82	86.2	836.97	87.3	264.24	88.3	211.52
91.2	2446.67	92.2	2071.52	94.2	232.73	96.2	707.27
96.9	407.88	104.2	653.33	105.2	236.97	106.2	5276.36
107.3	470.30	108.1	149.70	108.3	138.79	120.4	124.85
129.9	196.36	132.1	321.21	134.1	119.39	166.1	127.27

65010.035



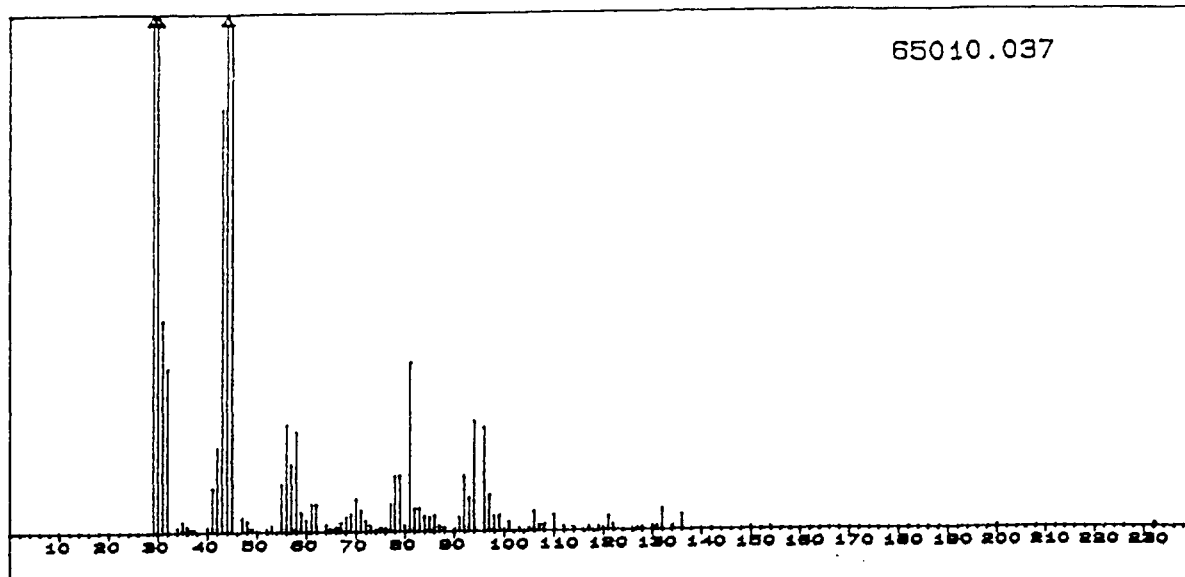
Wire No.: 35 (No. of Peaks: 78)

m/z	intensity	m/z	intensity	m/z	intensity	m/z	intensity
29.1	32463.03	30.3	30926.06	31.5	7238.18	32.3	4805.45
33.4	323.64	34.3	249.09	35.4	143.64	39.3	170.91
40.3	321.21	41.4	1918.79	42.3	4869.70	43.3	20593.33
44.3	74963.63	45.3	10616.36	46.3	878.79	53.3	238.18
54.5	432.12	55.3	2325.45	56.3	7037.58	57.3	3973.94
58.3	5897.58	59.2	550.91	60.3	175.76	61.2	144.85
66.2	1062.42	67.2	2280.61	68.4	4770.30	69.2	3421.21
70.2	2688.48	71.2	719.39	72.2	861.21	75.0	120.00
77.1	2122.42	78.3	5026.67	79.1	6660.00	80.3	8748.48
81.1	7815.76	82.1	2107.27	83.1	1057.58	84.3	1301.21
85.2	515.76	86.3	750.30	87.2	273.94	88.3	103.64
91.2	7984.24	92.2	60209.09	93.2	96741.21	94.2	19973.94
95.2	5976.36	96.2	4089.09	97.2	913.94	98.3	564.24
99.1	412.12	100.2	470.91	101.2	293.94	103.4	121.21
103.9	103.64	105.2	2300.61	106.2	2465.45	107.2	12590.30
108.2	4378.79	110.2	555.15	111.2	135.15	112.3	660.00
114.1	224.24	117.1	319.39	118.1	109.09	119.2	2987.27
120.2	1577.58	121.2	38450.91	122.1	6925.45	132.1	1396.97
133.1	217.58	134.1	2346.06	136.3	48393.33	137.1	5253.94
150.6	108.48	165.8	129.70				



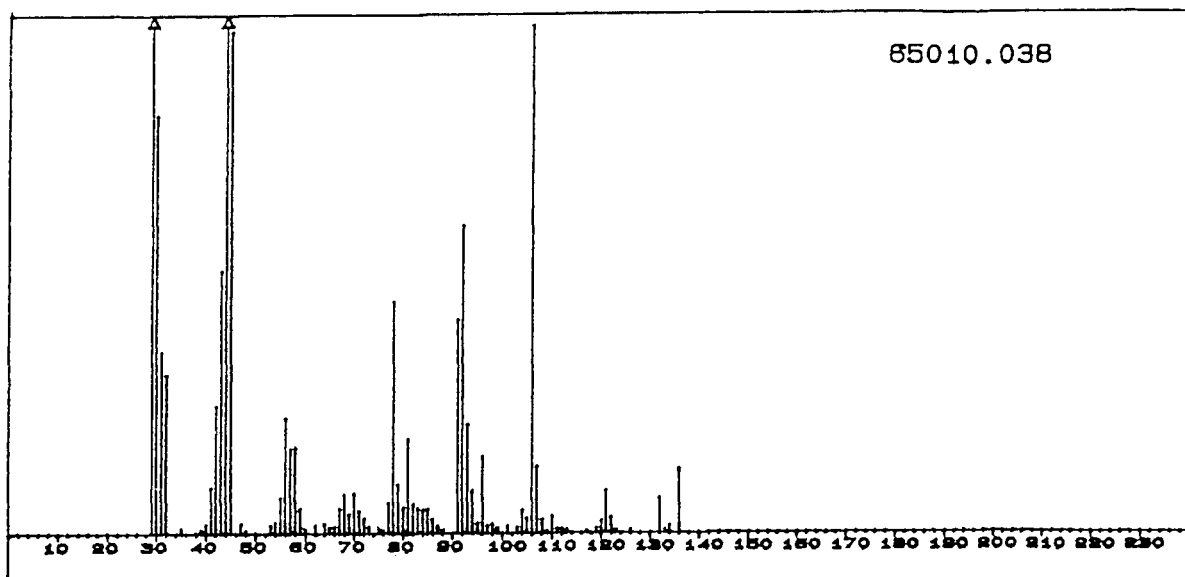
Wire No.: 36 (No. of Peaks: 86)

m/z intensity	m/z intensity	m/z intensity	m/z intensity
29.1 66930.91	30.3 76823.63	31.4 14397.58	32.3 7165.45
33.3 984.85	34.3 250.91	35.4 326.06	39.3 110.91
40.3 295.76	41.3 2165.45	42.4 8083.03	43.3 33858.18
44.3 166573.33	45.3 41920.00	47.3 576.97	50.3 106.06
52.3 182.42	54.5 166.67	55.3 1322.42	56.3 5367.27
57.3 5608.48	58.3 9007.88	59.2 1398.18	60.2 314.55
61.3 267.27	62.3 313.33	63.4 219.39	64.2 208.48
66.2 115.15	67.2 794.55	68.1 502.42	69.4 801.82
70.2 1516.97	71.2 646.67	72.2 1060.00	73.2 650.30
74.3 154.55	75.3 820.00	77.1 1263.64	78.1 11737.58
79.1 1687.27	81.1 2341.21	82.1 762.42	83.0 490.30
84.3 1260.00	85.2 411.52	86.2 963.03	87.2 675.15
88.2 252.12	91.2 9207.88	92.2 6873.33	93.3 683.03
94.0 363.64	95.2 118.18	96.2 1198.79	97.2 1152.73
98.2 321.82	98.9 761.21	100.3 242.42	101.1 257.58
103.1 207.88	104.2 1630.30	105.1 621.21	106.2 17697.58
110.2 284.85	111.2 103.03	112.2 145.45	112.5 310.30
112.7 116.97	113.2 285.45	114.2 418.18	117.1 312.73
118.9 176.97	120.1 186.67	121.2 190.30	126.1 223.64
128.0 111.52	130.0 169.70	132.1 5278.79	134.0 170.30
139.4 121.82	164.0 158.79	166.0 392.73	168.0 272.73
182.1 132.12	200.2 221.21		



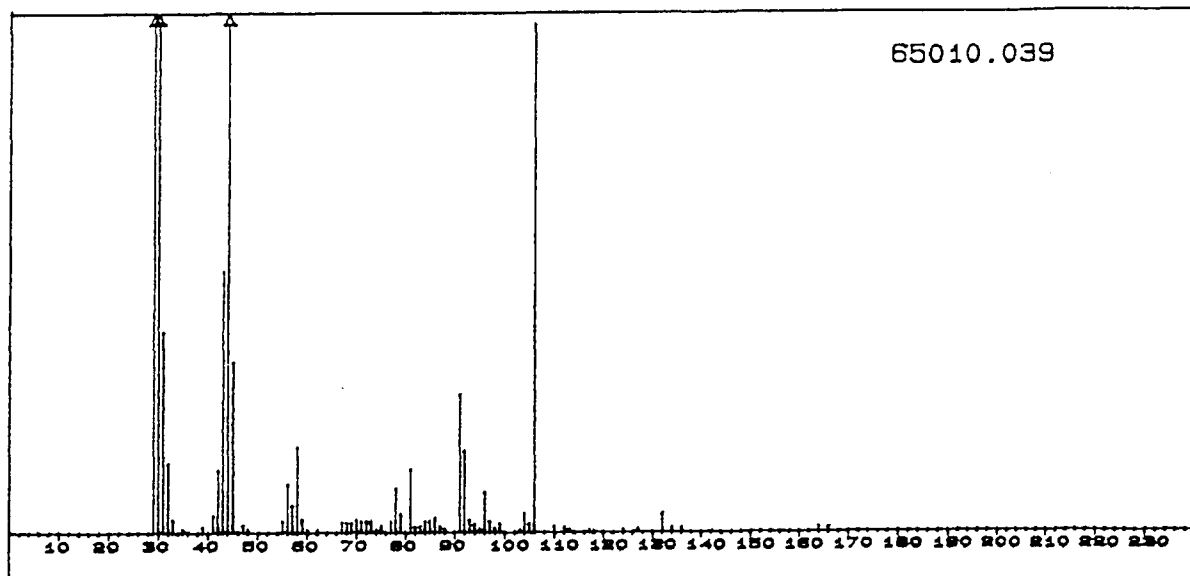
Wire No.: 37 (No. of Peaks: 88)

m/z	intensity	m/z	intensity	m/z	intensity	m/z	intensity
29.1	48426.67	30.3	47948.48	31.4	11226.06	32.3	8680.61
34.2	247.88	35.3	505.45	36.3	271.52	37.0	117.58
40.3	240.61	41.4	2324.24	42.4	4462.42	43.3	22283.64
44.3	127627.88	45.3	26772.73	47.3	743.03	48.3	556.36
49.2	149.09	52.2	121.21	53.3	332.73	54.5	1260.00
55.3	1283.03	56.3	5658.18	57.3	3578.18	58.3	5290.91
59.2	1026.06	60.2	614.55	61.3	1492.73	62.3	1467.88
63.5	350.30	65.0	152.12	66.4	266.67	67.2	502.42
68.4	771.52	69.2	949.70	70.2	1729.09	71.4	1140.61
72.2	592.73	73.2	323.64	74.4	128.48	75.1	213.94
76.0	169.09	77.1	1432.12	78.3	2909.70	79.1	2949.70
80.3	290.91	81.1	8955.15	82.1	1203.64	83.1	1232.12
84.3	746.06	85.2	736.36	86.3	839.39	87.2	290.30
88.2	192.73	90.2	126.06	91.3	726.06	92.2	2913.33
93.2	1759.39	94.2	5833.33	96.2	5508.48	96.9	1883.64
98.2	812.12	99.2	828.48	100.2	100.00	101.1	468.48
102.9	150.91	105.2	163.64	106.2	1004.24	107.1	292.12
108.2	335.76	110.2	818.18	112.2	212.73	113.5	155.76
117.2	210.91	119.2	211.52	120.2	121.82	121.2	752.73
122.4	300.61	127.2	109.70	127.9	129.09	130.0	215.76
130.6	209.09	132.1	1124.85	134.0	210.30	136.1	778.79
149.9	115.15	154.2	109.70	199.9	115.76	232.4	155.76



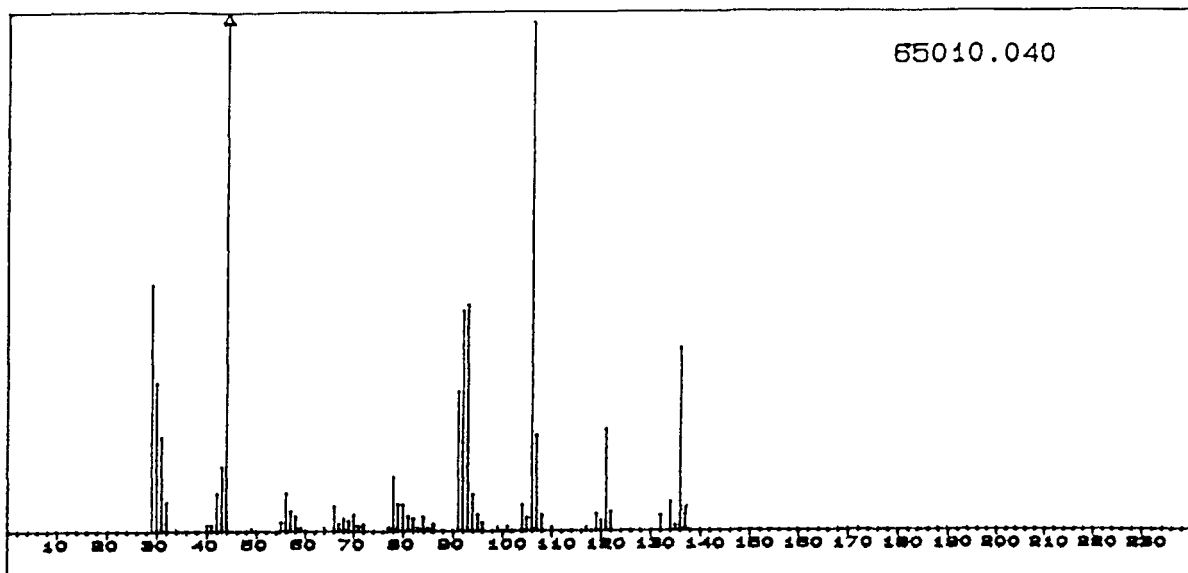
Wire No.: 38 (No. of Peaks: 79)

m/z	intensity	m/z	intensity	m/z	intensity	m/z	intensity
29.1	28041.21	30.3	18509.09	31.4	7997.58	32.3	7000.00
35.4	229.70	39.4	146.67	40.3	412.12	41.4	2033.33
42.4	5636.97	43.3	11603.03	44.3	113843.03	45.3	22244.24
47.3	425.45	48.1	107.88	53.3	378.18	54.3	497.58
55.3	1601.21	56.3	5114.55	57.3	3744.85	58.3	3787.88
59.3	1101.82	60.2	183.03	62.3	369.09	64.1	446.06
64.9	258.18	66.4	282.42	67.2	1103.03	68.2	1720.00
69.2	861.21	70.2	1774.55	71.2	998.18	72.2	692.73
73.1	310.30	75.3	232.12	76.1	147.27	77.1	1367.88
78.3	10242.42	79.3	2157.58	80.3	1162.42	81.1	4165.45
82.3	1284.24	83.0	1127.27	84.3	1040.00	85.2	1093.33
86.3	613.94	87.3	323.03	88.3	151.52	91.2	9435.76
92.2	13563.03	93.2	4793.94	94.2	1865.45	95.2	457.58
96.2	3375.15	97.2	344.24	98.2	401.21	98.9	236.36
101.1	324.85	103.1	259.39	104.2	1027.27	105.2	675.76
106.2	22493.94	107.2	2950.91	108.2	590.30	109.2	103.64
110.3	744.24	111.3	203.03	112.1	207.27	113.3	150.30
116.7	100.00	119.1	224.85	120.4	547.27	121.2	1861.82
122.1	697.58	123.2	133.94	126.2	145.45	132.1	1563.64
133.3	159.39	134.1	324.24	136.3	2720.00		



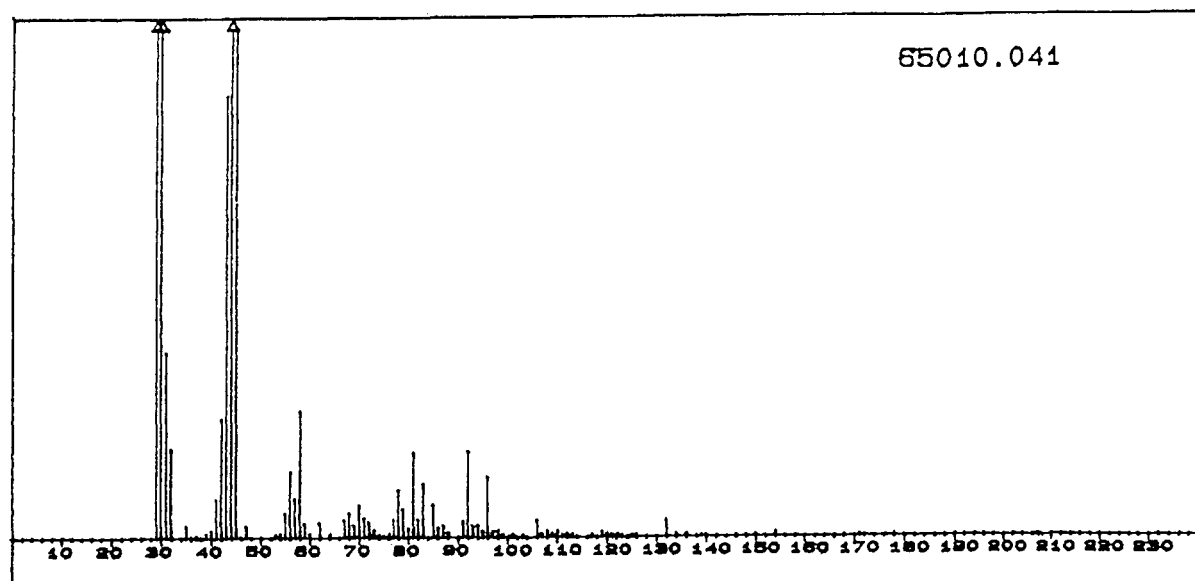
Wire No.: 39 (No. of Peaks: 65)

m/z	intensity	m/z	intensity	m/z	intensity	m/z	intensity
29.1	22791.52	30.3	24207.27	31.3	8741.82	32.3	3020.00
33.3	558.18	35.3	138.18	39.3	223.03	41.3	740.00
42.4	2720.61	43.3	11379.39	44.3	44723.03	45.3	7440.00
47.2	309.09	48.3	104.85	55.3	485.45	56.3	2135.15
57.3	1184.85	58.2	3729.70	59.2	560.61	60.3	110.30
62.1	114.55	67.4	438.18	68.4	452.73	69.2	435.15
70.2	583.64	71.1	486.06	72.4	492.73	73.2	476.97
74.0	110.91	75.3	269.09	77.1	450.30	78.1	1925.45
79.1	812.12	81.1	2776.97	82.1	240.00	83.1	278.18
84.3	481.82	85.2	491.52	86.2	625.45	87.2	245.45
88.3	138.18	91.2	6035.76	92.2	3551.52	93.3	538.18
94.2	349.09	95.2	132.12	96.1	1753.94	97.1	467.88
98.1	161.21	99.2	367.27	103.2	107.88	104.1	827.27
105.2	371.52	106.2	22084.24	110.1	240.61	112.2	213.94
113.3	109.09	117.1	103.03	124.1	106.67	127.4	123.64
132.1	796.97	134.4	163.64	136.3	190.30	164.2	206.67
165.8	175.76						



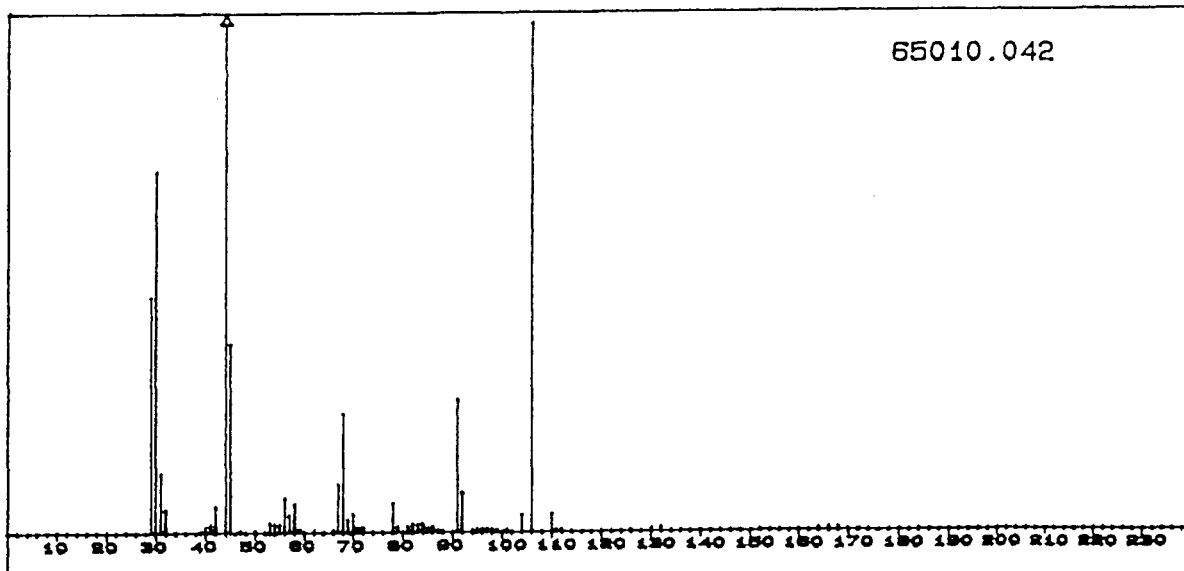
Wire No.: 40 (No. of Peaks: 57)

m/z	intensity	m/z	intensity	m/z	intensity	m/z	intensity
29.1	10628.48	30.3	6368.48	31.3	4050.91	32.4	1250.30
40.0	263.03	41.4	264.24	42.4	1616.97	43.3	2750.91
44.3	23546.67	49.2	111.52	55.3	393.94	56.3	1623.64
57.3	854.55	58.3	644.85	59.3	115.76	64.2	133.94
66.2	1068.48	67.1	320.61	68.1	523.64	69.1	421.82
70.2	722.42	71.2	222.42	72.4	283.03	77.1	169.70
78.3	2322.42	79.1	1155.76	80.3	1130.30	81.1	646.06
82.1	548.48	83.1	119.39	84.1	587.88	85.3	120.00
86.3	303.03	91.2	6004.85	92.2	9480.00	93.2	9733.94
94.2	1576.36	95.2	701.21	96.2	365.45	99.1	159.39
100.9	181.21	104.2	1108.48	105.2	578.18	106.2	21920.61
107.2	4092.12	108.2	678.18	110.1	149.09	117.1	150.91
119.1	744.85	120.1	440.00	121.1	4368.48	122.2	823.64
132.1	666.06	134.3	1215.15	135.1	240.61	136.3	7863.03
137.3	961.82						



Wire No.: 41 (No. of Peaks: 85)

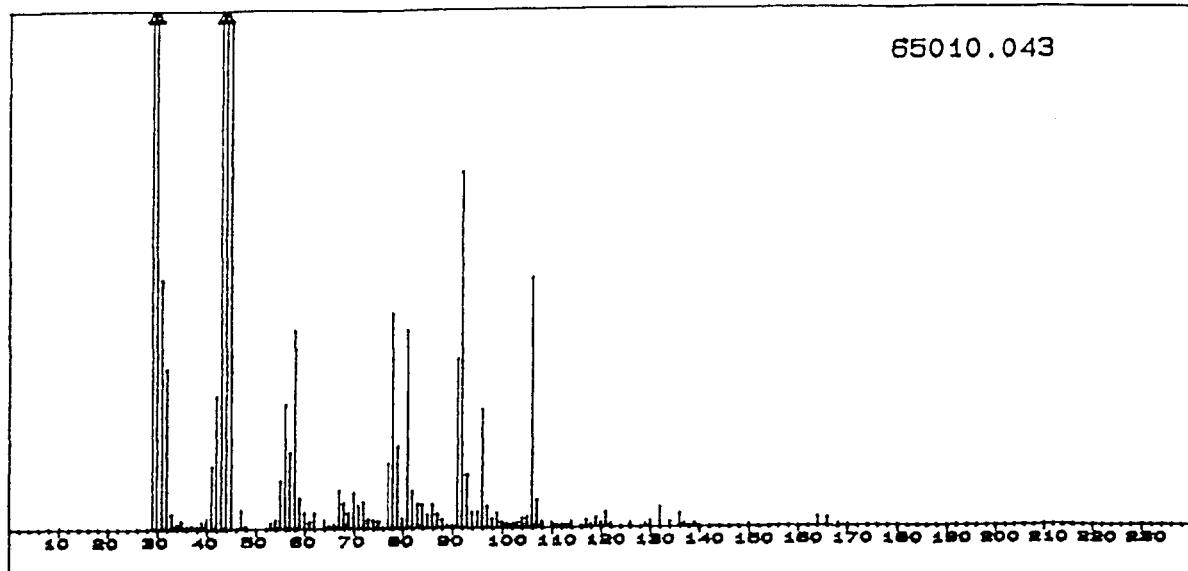
m/z	intensity	m/z	intensity	m/z	intensity	m/z	intensity
29.1	58641.21	30.3	66121.82	31.3	16498.79	32.3	7896.36
35.4	1034.55	37.4	172.12	39.3	362.42	40.3	644.24
41.3	3404.85	42.3	10563.03	43.3	39432.12	44.3	142944.84
45.3	45369.70	47.3	1030.91	53.2	256.97	54.2	343.64
55.2	2136.36	56.3	5830.30	57.3	3474.55	58.3	11278.18
59.2	1275.76	60.3	349.09	61.5	454.55	62.3	838.18
64.2	269.09	67.2	1566.06	68.2	2168.48	69.4	1029.70
70.2	2835.15	71.2	1744.85	72.2	1342.42	73.2	641.82
74.4	189.70	75.1	123.64	76.0	313.33	77.3	1601.82
78.1	4207.27	79.3	2505.45	80.1	746.67	81.1	7486.67
82.1	1601.82	83.1	4690.30	85.2	2856.36	86.2	796.36
87.2	1012.12	88.2	390.30	91.2	1421.21	92.2	7597.58
93.2	1047.27	94.2	1066.67	95.2	593.33	96.2	5299.39
97.2	531.52	98.2	604.85	99.2	241.82	101.2	258.79
102.9	144.24	106.2	1488.48	107.2	263.03	108.2	559.39
109.0	161.82	109.2	121.82	110.2	491.52	111.2	157.58
112.1	285.45	113.2	164.85	117.2	164.85	119.4	478.18
120.1	263.03	121.4	197.58	122.2	193.94	123.1	127.88
125.4	113.33	126.4	153.94	132.1	1438.79	134.1	227.27
136.3	201.21	139.0	131.52	140.3	106.06	145.8	126.06
150.3	117.58	154.3	330.30	170.5	112.73	177.9	122.42
207.2	132.12						



Wire No.: 42 (No. of Peaks: 57)

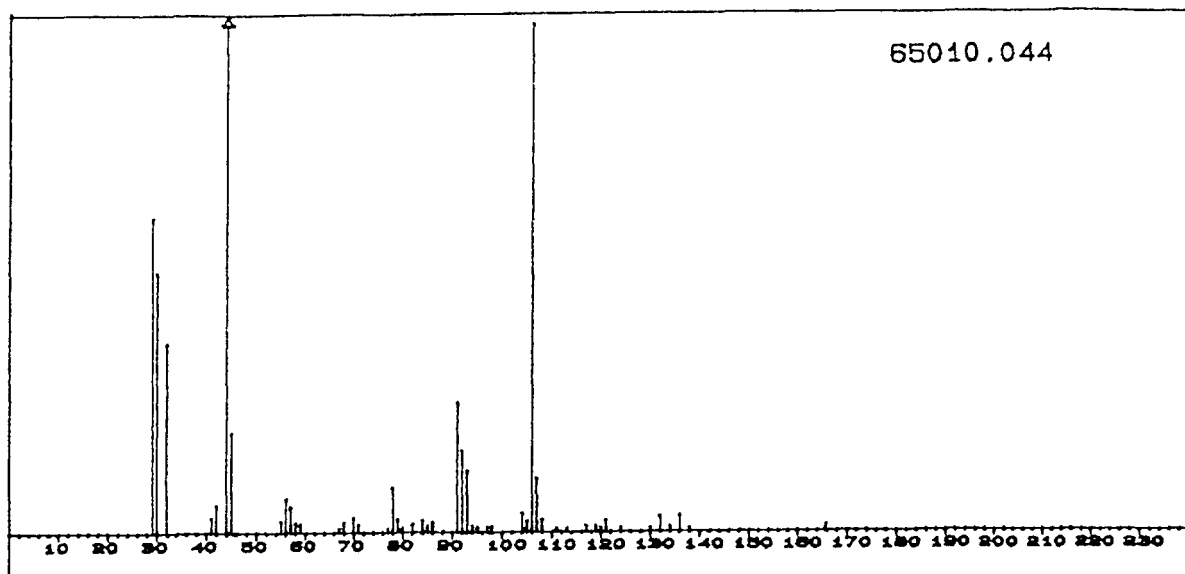
m/z	intensity	m/z	intensity	m/z	intensity	m/z	intensity
29.1	25374.54	30.3	39078.18	31.2	6341.82	32.3	2481.21
39.4	154.55	40.3	558.18	41.3	856.97	42.3	2781.21
44.3	135567.87	45.3	20326.06	47.3	143.64	50.4	225.45
53.3	1043.03	54.2	836.36	55.2	877.58	56.3	3660.61
57.2	1831.52	58.2	3023.64	59.3	239.39	62.2	106.67
66.2	285.45	67.2	5185.45	68.2	12850.30	69.2	1352.12
70.1	1962.42	71.2	475.15	72.1	521.82	78.3	3101.82
79.3	523.03	81.3	578.79	82.3	925.45	83.1	837.58
84.1	904.24	85.3	464.24	86.2	572.73	87.2	211.52
88.0	101.21	91.2	14291.52	92.2	4200.00	94.2	163.03
95.2	290.91	96.1	311.52	96.9	355.76	98.3	295.76
99.2	213.33	101.2	241.82	104.2	1784.24	106.2	54890.30
110.3	1896.97	111.2	152.73	112.1	211.52	126.2	123.03
130.1	253.94	132.1	453.94	164.1	223.64	166.0	375.15
168.1	216.97						

65010.043



Wire No.: 43 (No. of Peaks: 97)

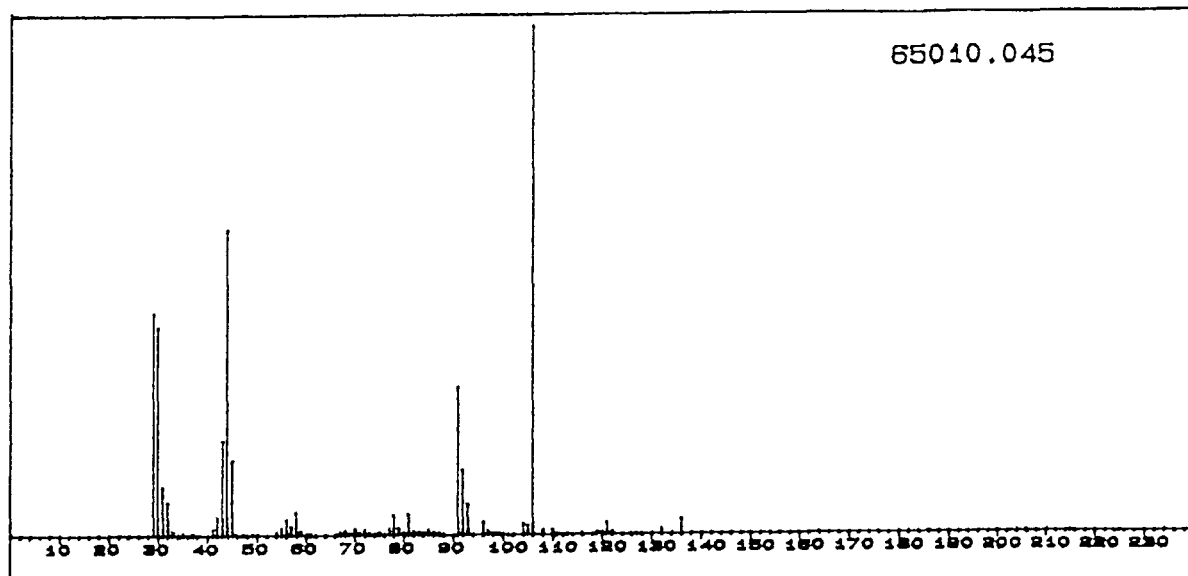
m/z	intensity	m/z	intensity	m/z	intensity	m/z	intensity
29.1	77017.58	30.3	82610.91	31.4	17826.67	32.3	11458.18
33.3	1042.42	34.3	287.27	35.4	579.39	36.3	147.27
37.4	182.42	38.2	149.09	39.3	481.82	40.4	728.48
41.3	4492.73	42.3	9588.48	43.3	43875.15	44.3	182523.64
45.3	36260.00	47.3	1299.39	48.3	149.09	53.3	425.45
54.3	646.67	55.3	3419.39	56.3	8929.70	57.3	5449.70
58.3	14180.00	59.2	2167.27	60.2	1144.85	61.2	485.45
62.2	1127.88	64.1	520.00	65.2	134.55	66.2	243.03
67.2	2700.61	68.2	1817.58	69.2	1112.12	70.2	2554.55
71.2	1574.55	72.2	1885.45	73.1	656.97	74.3	583.64
75.1	503.64	77.1	4643.03	78.3	15356.36	79.1	5901.82
80.0	714.55	81.1	14156.36	82.3	2641.82	83.1	1729.09
84.3	1710.91	85.3	961.21	86.2	1696.36	87.2	1035.15
88.0	595.15	89.2	152.73	90.0	193.33	91.2	12126.06
92.2	25391.52	93.2	3861.21	94.0	1150.91	95.2	1163.64
96.2	8536.36	97.1	1566.06	98.2	687.27	99.1	1048.48
100.2	399.39	101.1	258.18	102.2	198.79	103.1	315.15
104.2	674.55	105.2	796.97	106.2	17809.70	107.1	1990.91
108.1	389.70	110.1	318.18	111.3	175.15	112.1	199.39
113.1	156.97	114.1	403.03	116.3	116.97	117.1	555.15
118.2	144.24	119.0	685.45	120.1	318.18	121.2	1056.97
122.4	242.42	126.2	216.97	128.8	236.36	130.0	448.48
132.1	1450.91	134.0	373.94	136.3	930.30	137.1	179.39
139.3	214.55	150.4	143.03	164.0	652.12	166.0	599.39
168.1	136.97						



Wire No.: 44 (No. of Peaks: 51)

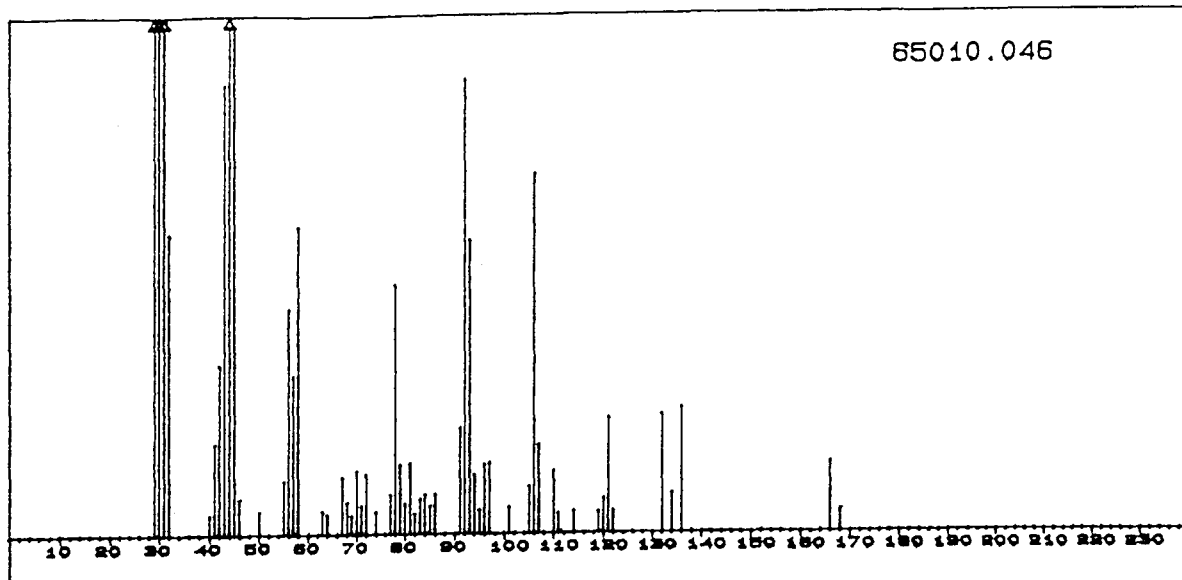
m/z	intensity	m/z	intensity	m/z	intensity	m/z	intensity
29.1	9564.85	30.3	7892.12	31.5	4421.21	32.3	1318.79
41.3	454.55	42.4	841.82	44.3	47993.33	45.3	3036.97
54.5	121.82	55.3	247.88	56.3	1032.12	57.3	784.85
58.2	296.97	59.2	251.52	67.1	121.82	68.2	294.55
70.2	463.64	71.2	227.88	77.1	117.58	78.1	1373.94
79.1	403.64	80.0	112.12	82.3	255.15	84.0	358.79
85.4	183.03	86.3	305.45	91.2	3935.76	92.2	2473.94
93.2	1872.73	94.4	183.64	94.7	127.27	97.1	155.76
98.2	170.30	104.2	583.03	105.2	338.18	106.2	15389.70
107.2	1630.30	108.2	382.42	111.2	106.06	112.5	109.70
117.0	188.48	119.1	198.18	120.1	115.15	121.0	350.30
124.4	113.94	129.8	121.21	132.1	486.67	134.3	152.12
136.3	487.88	138.1	103.03	166.0	164.24		

65010.045



Wire No.: 45 (No. of Peaks: 75)

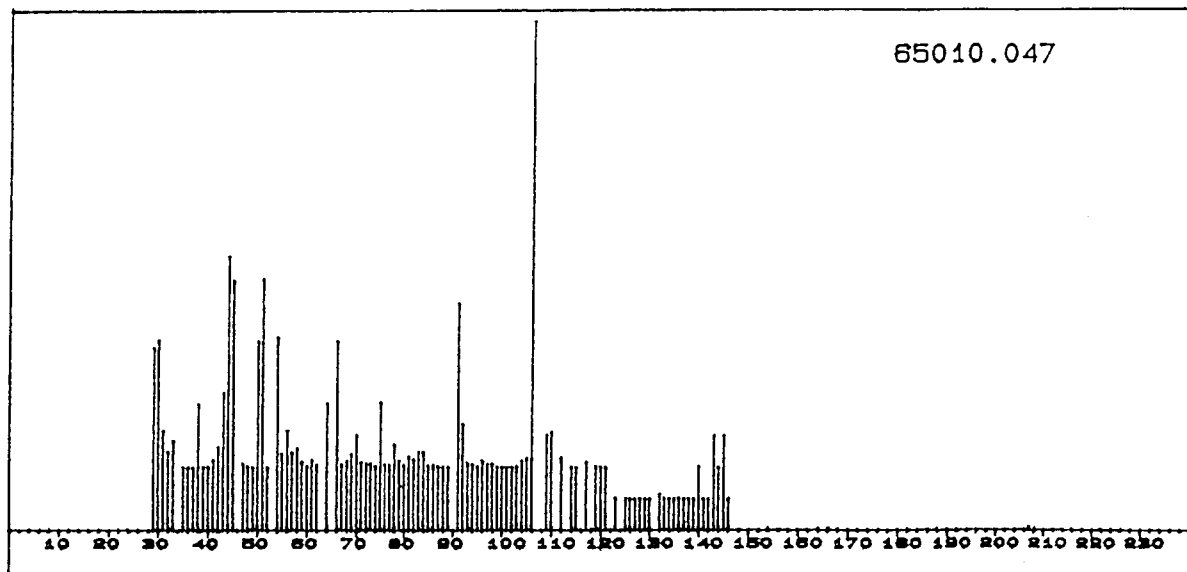
m/z	intensity	m/z	intensity	m/z	intensity	m/z	intensity
29.1	54514.55	30.3	50995.15	31.3	11843.03	32.3	8149.70
33.3	852.12	35.3	275.15	37.3	300.61	41.3	1598.79
42.4	4560.61	43.3	23401.21	44.3	74690.91	45.3	18275.76
47.3	187.88	49.2	295.15	54.3	840.00	55.2	1644.24
56.3	3864.24	57.2	1992.73	58.3	5544.85	59.3	904.24
60.2	245.45	61.2	296.36	66.1	132.12	67.4	721.21
68.1	973.94	69.2	341.82	70.2	1398.79	71.1	383.64
72.4	1098.79	73.1	319.39	74.1	165.45	75.1	234.55
75.4	261.21	76.3	107.27	77.3	1535.76	78.3	4832.12
79.1	1571.52	80.1	583.64	81.1	5047.27	82.1	898.18
83.0	706.06	84.1	611.52	85.2	1219.39	86.3	616.36
87.2	367.27	88.3	190.30	89.9	106.06	91.2	36281.21
92.2	15913.94	93.2	7540.00	96.1	3063.64	96.9	740.00
98.1	363.03	99.2	438.18	101.4	101.21	104.1	2704.24
105.2	2201.21	106.2	124199.39	108.2	1038.18	110.2	1089.09
111.2	159.39	112.5	118.18	119.2	440.00	120.2	521.82
121.2	2843.03	122.2	504.24	127.0	129.09	132.1	1226.06
134.1	149.09	136.3	3686.67	138.3	186.06	164.0	173.33
200.0	101.21	215.1	143.03	225.2	118.79		



Wire No.: 46 (No. of Peaks: 61)

m/z	intensity	m/z	intensity	m/z	intensity	m/z	intensity
29.1	13366.67	30.3	11205.45	31.3	4073.33	32.3	1608.48
40.4	107.88	41.4	485.45	42.3	909.70	43.3	2398.18
44.3	36235.76	45.3	2712.12	46.3	192.12	50.4	123.03
54.5	136.97	55.2	150.91	56.3	1205.45	57.2	850.91
58.3	1644.85	63.2	124.24	64.2	104.85	67.1	302.42
68.1	169.70	69.2	101.21	70.2	336.36	71.2	155.76
72.1	316.97	74.0	118.79	77.1	207.27	78.1	1332.12
79.1	370.91	80.1	159.39	81.1	377.58	82.0	109.70
83.1	186.67	84.4	210.30	84.6	152.12	86.0	211.52
91.2	567.88	92.3	2421.21	93.2	1570.91	94.0	314.55
95.3	129.09	96.2	371.52	97.1	381.82	100.9	139.39
105.2	250.30	106.2	1918.18	107.1	472.73	110.0	132.12
110.2	200.61	111.1	106.67	114.1	118.79	119.2	115.15
120.1	184.24	121.1	615.15	122.1	118.18	132.1	630.30
134.0	209.09	136.1	669.70	165.8	125.45	166.1	247.27
167.8	133.33						

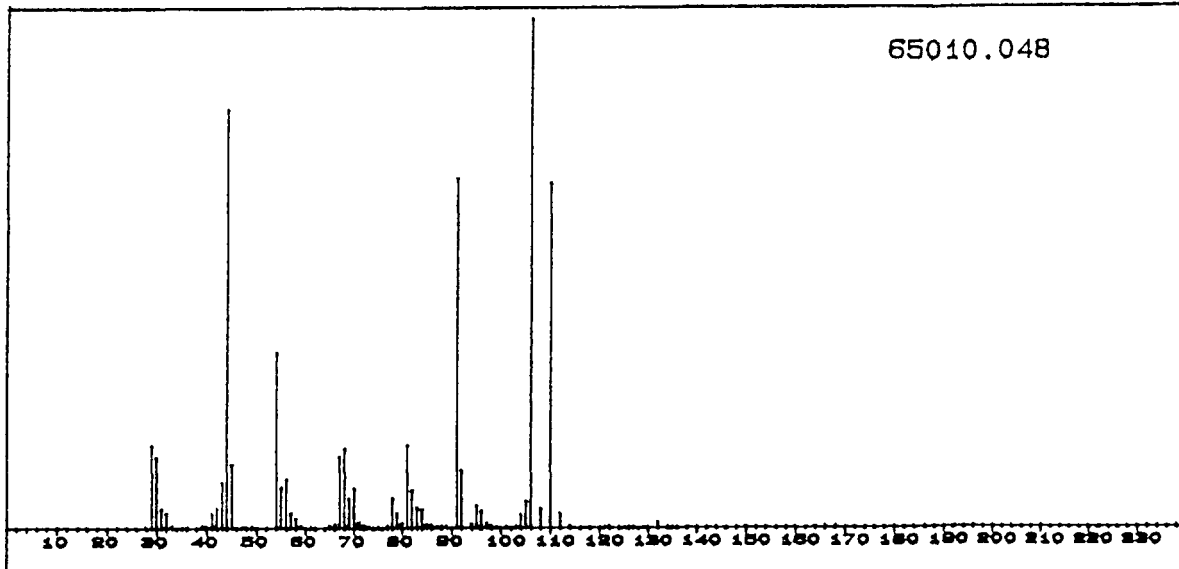
65010.047



Wire No.: 47 (No. of Peaks:128)

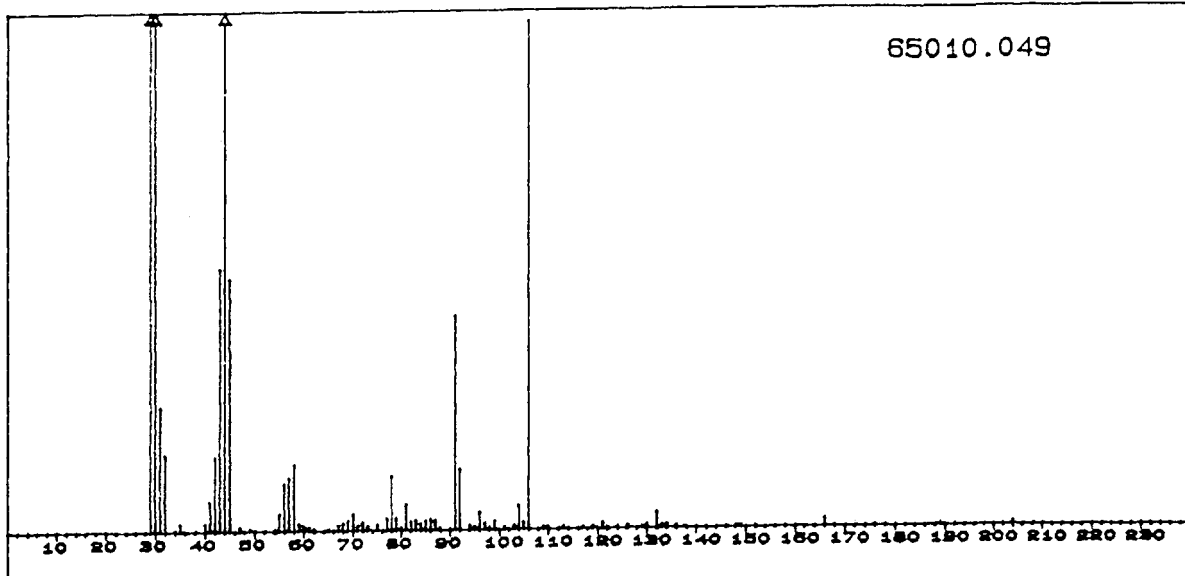
m/z	intensity	m/z	intensity	m/z	intensity	m/z	intensity
29.1	43224.85	30.3	44946.06	31.4	23612.12	32.3	18696.97
33.4	21115.15	35.3	14969.09	36.3	14924.85	36.5	14910.91
37.7	14960.61	38.4	14903.03	39.3	14989.09	40.4	15012.12
41.3	16544.85	42.4	19690.30	43.3	32676.97	44.3	65076.97
45.3	59176.36	47.2	15770.91	48.3	15204.85	49.3	14906.06
49.9	14921.21	50.2	14907.88	50.4	14901.82	50.7	14901.82
50.9	14901.21	51.2	14902.42	51.4	14901.82	52.3	14963.03
53.5	15212.73	53.7	15062.42	54.3	15401.21	55.3	18180.61
56.3	23628.48	57.3	18405.46	58.3	19444.24	59.3	16165.45
60.2	15216.97	61.3	16729.09	62.2	15423.64	63.5	14898.18
64.2	15195.76	65.6	14932.73	65.9	14924.85	66.1	14969.09
67.2	15594.55	68.2	16430.91	69.4	17945.46	70.2	22615.15
71.2	16149.70	72.2	15894.55	73.4	15924.85	74.4	15145.45
74.6	15031.52	75.1	15307.88	76.1	15646.06	77.1	15491.52
78.1	20248.48	79.1	16513.94	80.0	15390.30	81.1	17461.21
82.1	16792.12	83.1	18620.00	84.3	18512.12	85.2	15332.73
86.3	15492.73	87.0	15207.27	88.3	15064.85	89.2	15023.03
91.2	53834.55	92.2	25109.09	93.3	15912.12	94.2	15550.30
95.2	15110.30	96.2	16500.00	97.2	15690.91	98.2	15670.91
99.1	15038.79	100.2	15061.82	101.3	14974.55	102.2	14957.58
103.1	15209.70	104.2	16503.64	105.2	16996.36	106.2	120933.34
109.1	22556.97	110.2	23234.54	112.2	17124.24	114.2	14944.85
115.3	14954.55	117.2	16138.18	119.1	15010.91	120.2	14995.76
120.9	14909.09	123.1	7588.48	125.4	7517.58	126.2	7547.27
127.4	7473.33	128.3	7483.03	129.3	7490.30	130.1	7498.79
132.0	8563.03	133.4	7512.12	134.4	7541.21	135.3	7472.73
136.1	7656.97	137.1	7493.94	138.0	7551.52	139.2	7477.58
139.7	7456.97	140.3	7483.03	141.0	7458.79	141.9	7461.82
142.7	7452.73	142.9	7456.36	143.2	7455.76	144.0	7450.91
144.3	7453.94	144.5	7453.94	144.8	7450.91	145.2	7452.73
146.2	7467.27	154.2	289.09	164.1	367.88	166.1	313.33
167.8	233.94	190.3	115.76	207.3	770.91	208.2	108.48

65010.048



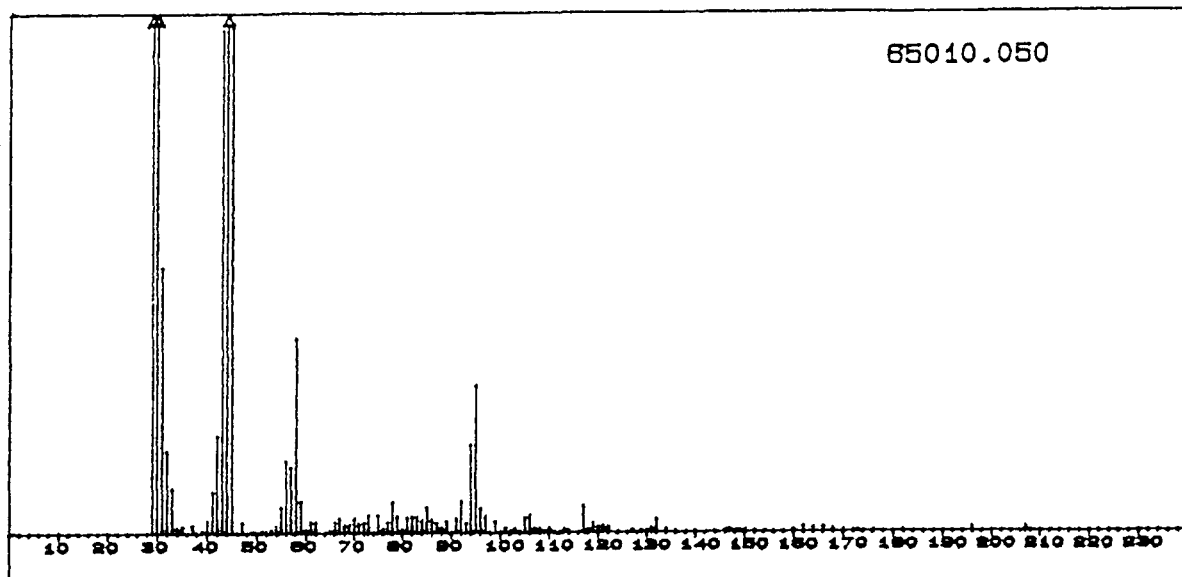
Wire No.: 48 (No. of Peaks: 86)

m/z	intensity	m/z	intensity	m/z	intensity	m/z	intensity
29.1	34762.43	30.3	29829.70	31.4	8106.67	32.3	6230.30
33.4	595.76	35.3	183.03	39.4	1034.55	40.3	541.82
41.3	5784.24	42.3	8339.39	43.4	19204.85	44.3	175411.52
45.3	26767.88	47.3	235.15	49.2	159.39	54.3	73584.85
55.3	17241.82	56.3	20561.82	57.3	6316.97	58.2	3829.09
59.2	702.42	60.1	138.18	61.2	209.09	62.3	195.76
65.2	909.09	66.2	1543.64	67.2	30240.61	68.2	33486.06
69.2	12472.73	70.2	16656.36	71.2	2390.30	72.2	993.33
73.2	876.97	74.1	199.39	75.1	406.06	76.0	164.85
77.3	941.21	78.3	12634.55	79.1	6003.64	80.3	1927.88
81.3	34793.94	82.3	16008.48	83.1	8521.21	84.3	7639.39
85.2	1290.91	86.2	703.03	87.2	523.03	88.2	537.58
89.3	168.48	91.2	146105.45	92.2	24195.15	94.2	1479.39
95.2	9156.97	96.2	7035.15	97.2	1777.58	98.1	829.70
99.1	328.48	101.1	343.64	102.1	134.55	103.1	585.45
104.2	5689.70	105.2	11015.76	106.2	212883.03	108.2	7911.52
110.2	144087.87	112.2	5698.18	114.2	635.76	118.0	100.00
120.2	180.61	121.1	253.33	122.2	621.82	124.1	199.39
125.2	123.03	126.2	147.27	127.2	118.18	129.0	112.12
130.0	121.82	132.1	2210.30	134.1	123.64	135.4	153.33
154.3	145.45	164.1	460.00	166.0	393.94	168.0	272.73
174.2	104.24	200.0	101.21				



Wire No.: 49 (No. of Peaks: 81)

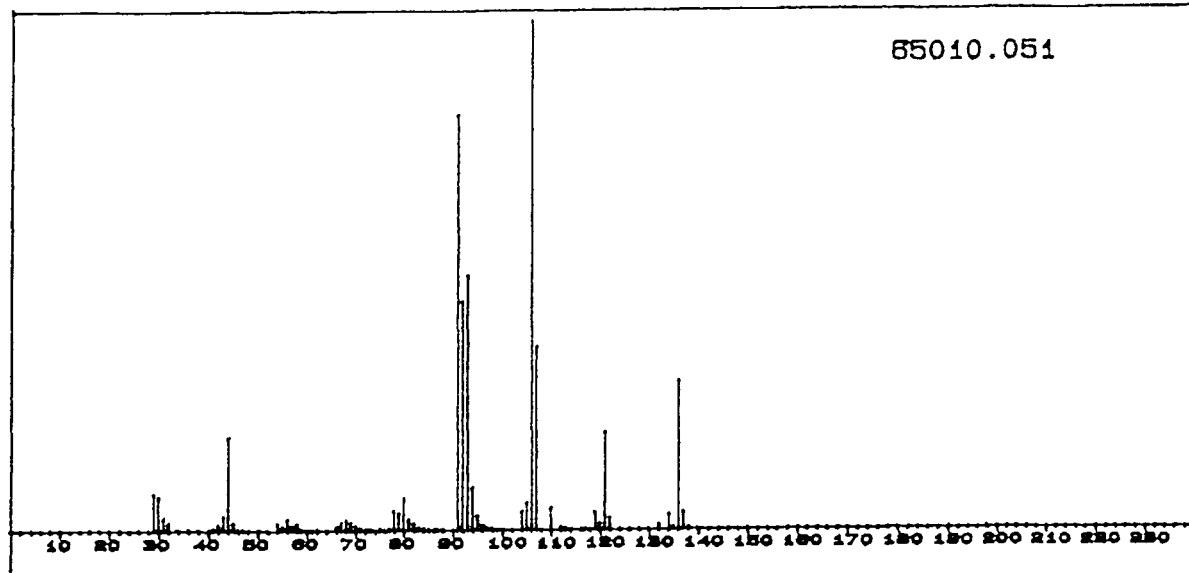
m/z	intensity	m/z	intensity	m/z	intensity	m/z	intensity
29.1	47180.00	30.3	46295.76	31.4	10038.18	32.3	6168.48
34.3	110.91	35.4	600.00	39.5	304.85	40.4	312.12
41.4	2362.42	42.4	5986.67	43.4	21144.24	44.3	101792.13
45.3	20335.15	47.3	313.94	49.4	150.91	53.5	129.09
54.5	299.39	55.3	1084.24	56.3	3806.06	57.3	4263.64
58.3	5284.24	59.2	557.58	60.3	371.52	61.3	250.30
62.2	123.03	65.4	126.06	67.2	456.36	68.2	650.91
69.2	809.09	70.2	1313.33	71.2	398.79	72.2	632.73
73.2	315.15	75.1	461.21	77.1	1001.82	78.3	4358.79
79.1	1001.82	80.3	203.64	81.1	2036.36	82.1	687.27
83.1	802.42	84.3	510.91	85.3	747.88	86.2	870.30
87.0	800.61	88.3	173.94	90.0	106.06	91.2	17201.21
92.2	4872.73	94.3	331.52	95.0	261.21	96.2	1420.61
97.1	500.61	98.2	179.39	99.1	689.09	100.8	241.82
102.9	321.82	104.2	1909.09	105.2	560.61	106.2	40847.27
109.1	209.09	110.2	146.06	113.3	138.79	117.0	106.06
119.1	180.00	120.5	249.09	121.2	205.45	124.1	102.42
126.0	146.67	129.0	137.58	130.0	289.70	132.1	1273.33
133.3	269.09	134.1	237.58	136.3	163.03	147.5	103.03
149.2	135.15	152.3	102.42	166.1	612.12	189.1	111.52
204.4	173.33						



Wire No.: 50 (No. of Peaks:107)

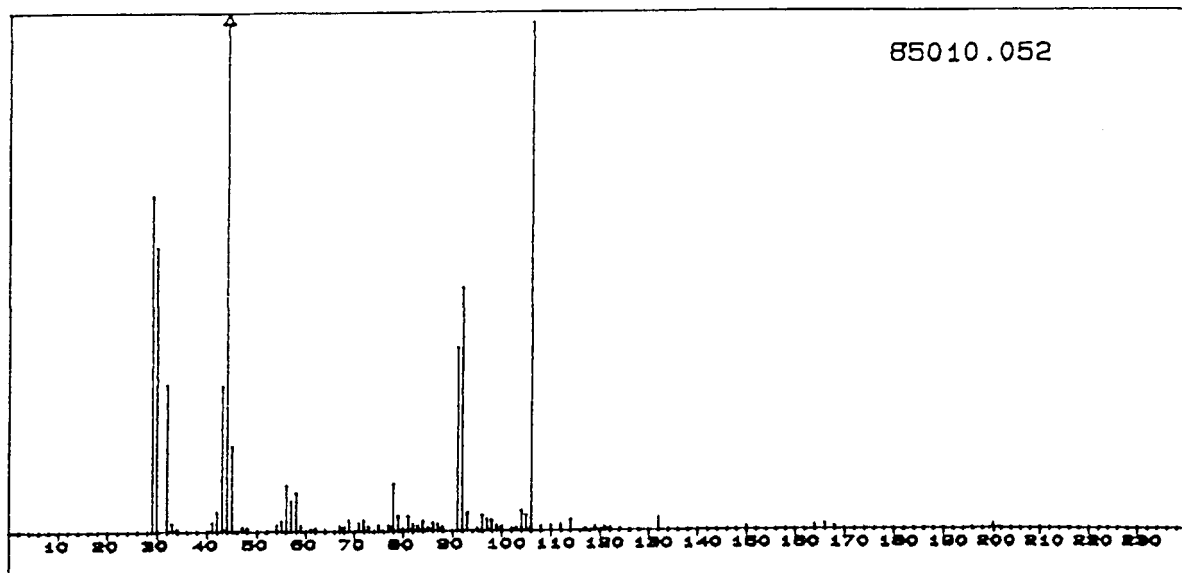
m/z	intensity	m/z	intensity	m/z	intensity	m/z	intensity
29.1	136853.94	30.3	138780.61	31.3	46626.67	32.3	14424.24
33.3	7812.73	34.3	857.58	35.3	1112.73	37.3	1361.21
39.3	308.48	40.3	2100.61	41.3	7290.30	42.3	17030.30
43.3	88501.82	44.3	200367.87	45.3	89524.85	47.3	1810.30
49.1	164.24	51.3	240.00	52.3	104.85	53.2	513.94
54.2	1269.70	55.2	4512.73	56.3	12635.15	57.2	11517.58
58.2	34024.24	59.2	5583.03	60.3	598.79	61.2	1960.61
62.2	1933.33	65.2	366.06	66.4	1889.09	67.1	2581.82
68.2	1171.52	69.1	1401.82	70.1	2545.45	71.2	1565.45
72.2	1801.21	73.2	3096.36	75.1	3050.30	76.3	701.21
77.1	1840.00	78.3	5426.06	79.1	2868.48	80.1	621.21
81.1	2695.15	82.1	2912.73	83.0	2844.24	84.4	2230.91
84.6	1210.91	85.2	3159.39	86.0	2301.82	87.2	1535.76
88.0	809.70	88.9	2003.03	91.2	2565.45	92.2	5480.00
93.2	1658.18	94.2	15403.03	95.2	25756.36	96.2	4218.18
97.1	2827.88	99.1	1889.70	100.9	760.00	102.1	134.55
103.1	640.00	104.1	185.45	105.1	2625.45	106.1	3138.79
107.2	740.61	108.2	726.67	109.3	272.73	109.6	164.24
110.1	472.12	111.1	153.33	112.5	192.73	113.0	363.03
114.2	270.91	117.1	4650.30	118.1	579.39	119.0	1616.97
120.1	926.67	121.1	1101.21	122.1	841.82	127.0	387.88
129.0	319.39	130.0	379.39	130.9	720.61	132.0	2347.88
133.9	507.27	136.1	189.70	140.2	154.55	146.2	298.18
147.0	441.82	148.3	152.12	149.3	239.39	150.2	240.00
152.1	109.70	160.3	397.58	162.2	917.58	163.8	740.61
165.8	812.12	167.8	288.48	170.0	244.24	172.7	189.09
182.1	119.39	195.7	706.06	207.1	553.94		

65010.051



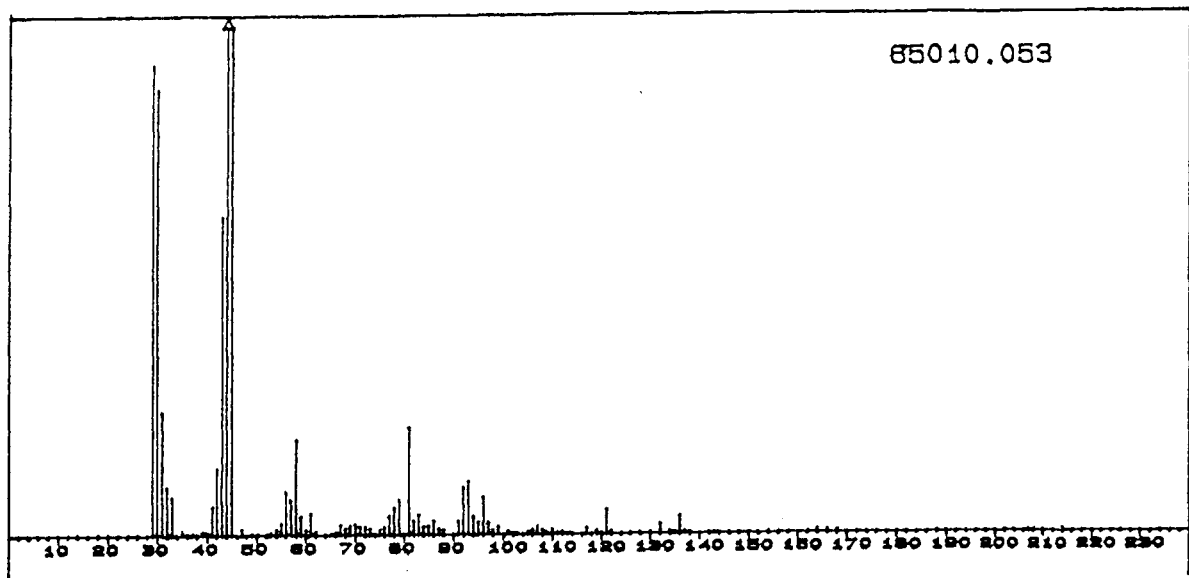
Wire No.: 51 (No. of Peaks: 71)

m/z	intensity	m/z	intensity	m/z	intensity	m/z	intensity
29.1	15627.88	30.3	14344.85	31.3	5319.39	32.3	3243.03
41.3	764.24	42.3	2310.30	43.3	6009.09	44.3	40020.00
45.3	3286.67	46.2	335.76	47.4	103.03	54.2	2826.67
55.2	1549.09	56.3	4666.67	57.3	2080.61	58.3	2614.55
59.2	269.70	60.7	109.09	66.2	1652.73	67.2	3183.64
68.2	4524.85	69.2	3313.94	70.2	1818.18	71.2	907.27
72.1	384.85	73.2	256.36	75.3	283.64	77.1	633.33
78.1	8186.67	79.1	7336.36	80.1	13538.18	81.1	4429.09
82.1	2686.06	83.1	1027.88	84.3	849.09	85.3	173.33
86.2	247.88	87.3	135.15	91.2	177173.33	92.2	97818.79
93.2	108855.76	94.2	18168.48	95.2	6053.94	96.2	1802.42
97.2	612.12	98.1	540.61	99.3	129.09	100.3	160.61
104.2	7860.61	105.2	11600.61	106.2	216829.09	107.1	78095.76
110.2	9273.94	112.3	1007.88	113.3	407.88	114.3	155.76
117.1	234.55	119.1	7101.82	120.2	2580.61	121.2	41560.61
122.1	4912.12	124.2	169.70	126.2	150.91	132.1	2016.97
134.1	6507.27	135.1	1094.55	136.3	63466.06	137.1	7248.48
138.3	569.70	164.1	154.55	166.0	126.06		



Wire No.: 52 (No. of Peaks: 71)

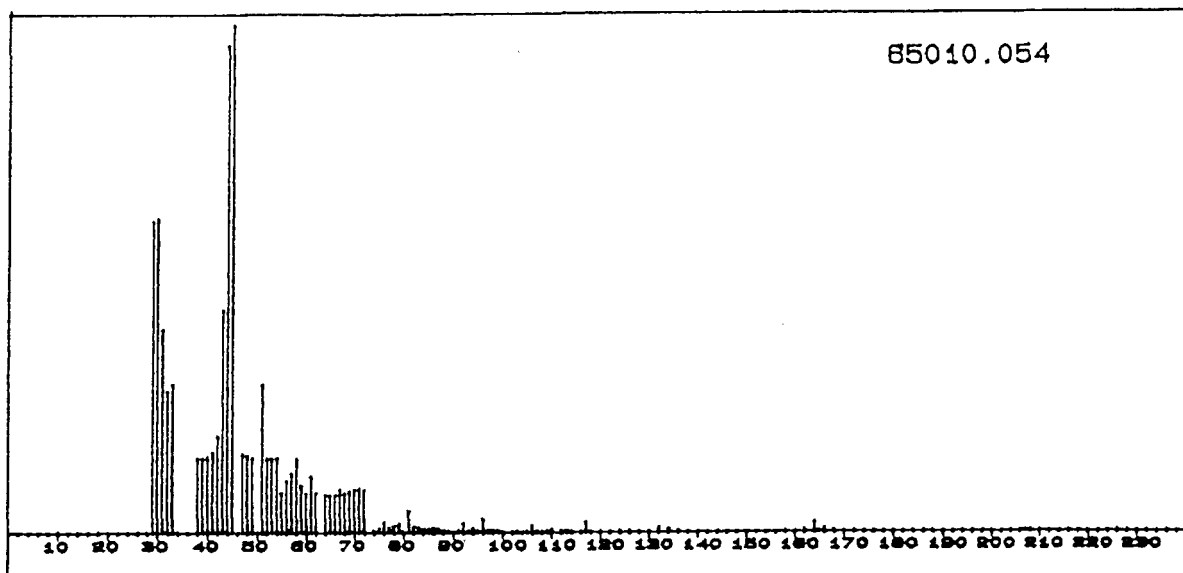
m/z	intensity	m/z	intensity	m/z	intensity	m/z	intensity
29.1	22595.15	30.3	19101.82	31.5	5609.09	32.3	4218.79
33.3	503.64	34.2	117.58	41.3	601.21	42.3	1338.79
43.3	9747.27	44.3	58830.30	45.3	5707.27	47.3	259.39
47.6	224.24	54.3	412.73	55.3	706.06	56.3	3049.70
57.3	2003.03	58.3	2560.61	59.2	383.03	60.5	102.42
62.2	156.97	67.2	354.55	68.4	307.88	69.2	743.64
70.5	313.94	71.2	219.39	72.2	716.36	73.2	313.94
74.5	249.70	75.1	132.12	77.3	388.48	78.1	3146.06
79.3	1055.76	80.1	145.45	81.1	1001.21	82.1	473.33
83.3	347.88	84.3	710.91	85.0	196.97	86.3	563.03
87.3	421.21	88.2	244.85	91.2	12292.73	92.2	16304.24
93.2	1215.76	95.0	153.94	96.3	1044.24	97.1	791.52
98.4	715.15	98.9	329.09	100.3	254.55	102.3	119.39
103.1	182.42	104.2	1306.06	105.2	1073.33	106.2	34123.64
108.1	270.91	110.3	329.70	112.0	336.36	114.2	713.94
117.0	100.00	119.1	277.58	121.2	204.85	122.4	141.21
124.2	103.03	132.0	792.12	150.2	146.67	164.0	259.39
166.0	351.52	168.1	185.45	200.3	216.97		



Wire No.: 53 (No. of Peaks:103)

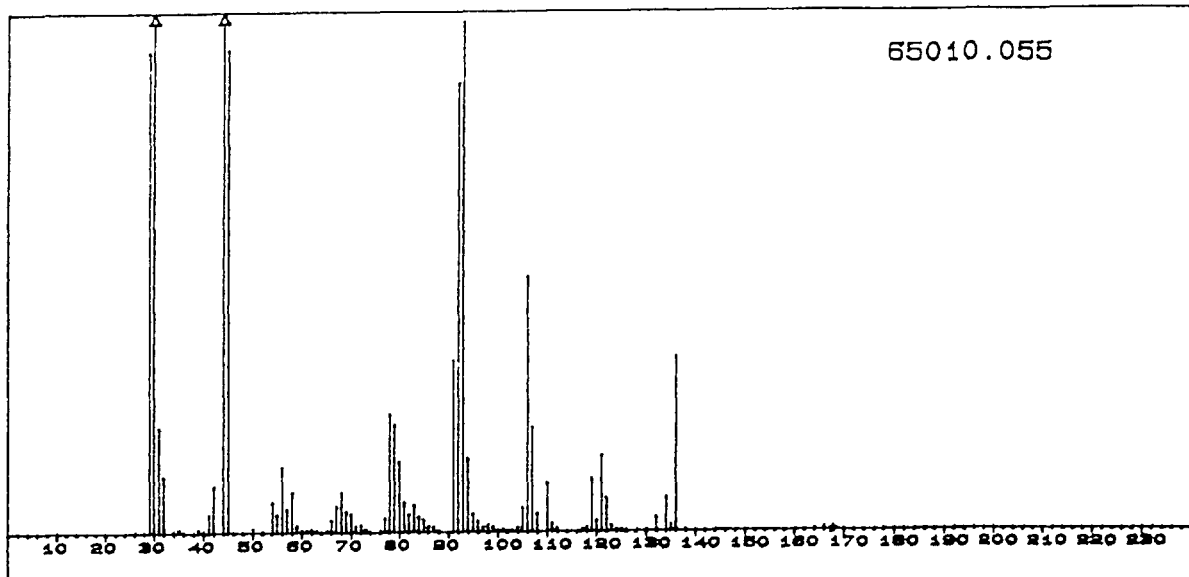
m/z	intensity	m/z	intensity	m/z	intensity	m/z	intensity
29.1	105215.15	30.3	99660.00	31.3	27504.85	32.3	10650.30
33.3	8409.09	35.3	681.21	36.3	116.97	37.0	227.88
39.2	687.88	40.2	632.73	41.3	6409.09	42.3	14951.52
43.3	71307.88	44.3	155024.25	45.3	113675.15	47.2	1311.52
48.6	117.58	49.3	150.91	49.9	120.00	52.4	151.52
53.3	511.52	54.3	1314.55	55.3	2544.24	56.2	9560.00
57.2	7846.67	58.2	21269.09	59.2	4096.36	60.3	976.97
61.2	4800.61	62.2	715.76	64.1	133.94	65.4	223.64
65.6	104.24	66.1	440.00	67.1	2113.33	68.2	1441.21
69.1	1950.91	70.2	2386.67	71.1	1740.61	72.2	1746.06
73.2	1306.06	74.3	154.55	75.1	1167.27	76.1	1692.73
77.1	4166.06	78.1	6065.45	79.1	7755.15	81.1	23879.39
82.0	2976.36	83.1	4414.55	84.3	1767.27	85.0	1931.52
85.5	766.06	86.0	2347.88	87.2	1358.79	88.3	978.18
91.2	3031.52	92.2	10580.00	93.2	11849.70	94.2	4035.15
95.0	2712.73	96.1	8321.21	97.1	2632.73	98.1	887.88
99.1	1710.30	100.8	667.88	101.9	290.30	103.3	152.12
105.1	523.64	106.1	1167.27	107.1	1594.55	108.0	949.09
109.1	260.61	110.1	990.30	111.1	180.61	112.1	501.82
113.0	115.76	114.0	116.36	117.1	1216.97	119.1	738.18
120.2	224.85	121.1	5367.88	122.2	520.61	126.4	117.58
128.0	101.21	129.9	238.18	132.0	2107.27	134.1	492.73
135.1	302.42	136.1	3844.85	137.1	383.64	143.2	149.09
148.4	149.09	150.4	116.97	154.3	190.30	162.2	119.39
163.8	694.55	166.0	560.61	168.0	526.67	182.0	112.12
206.9	200.61	208.1	130.30	214.2	235.76		

85010.054



Wire No.: 54 (No. of Peaks: 87)

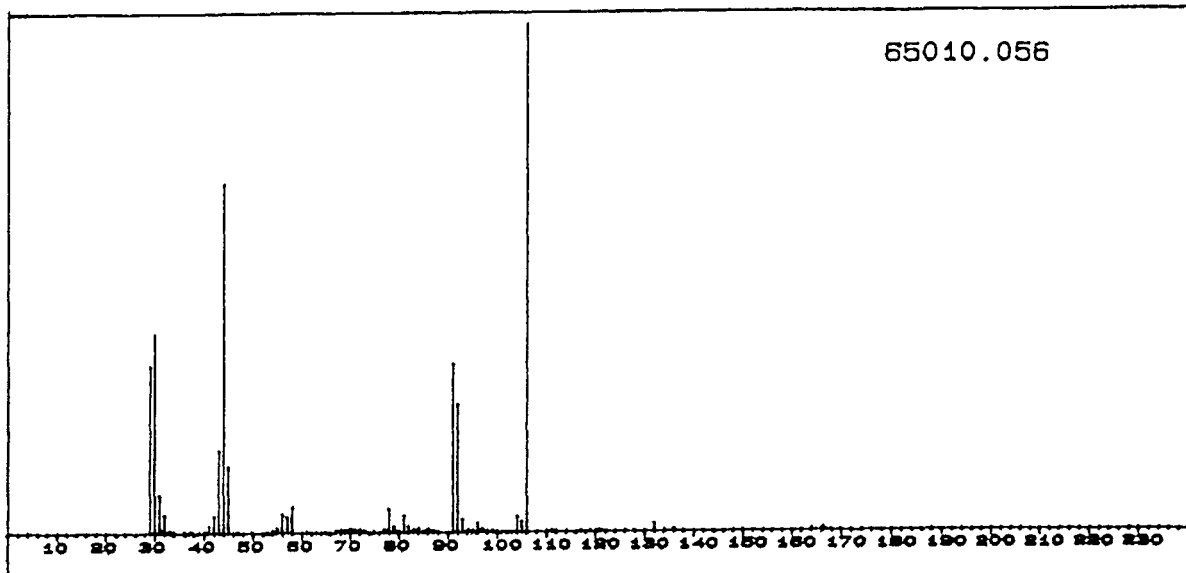
m/z	intensity	m/z	intensity	m/z	intensity	m/z	intensity
29.1	62651.52	30.4	63272.73	31.3	40767.27	32.3	28432.12
33.4	29756.97	37.8	14928.48	39.2	14963.64	40.4	15279.39
41.4	16135.15	42.3	19240.00	43.4	44775.15	44.3	98062.42
45.3	102127.88	47.2	15838.18	48.4	15490.91	49.3	14972.12
50.7	14923.03	51.4	14915.15	52.2	14916.97	53.1	14941.82
54.0	14964.24	55.2	8001.21	56.3	10385.45	57.3	11772.73
58.3	14821.21	59.2	9376.36	60.3	7866.67	61.3	11246.06
62.2	8047.27	64.1	7604.24	65.4	7507.88	66.4	7626.67
67.2	8718.18	68.1	7864.85	69.2	8393.94	70.2	8636.97
71.1	8900.61	72.1	8484.24	74.3	321.21	75.3	792.12
76.3	1984.24	77.0	975.15	78.1	1287.88	79.1	1705.45
81.3	4331.52	82.3	1143.03	83.1	984.85	84.1	687.88
85.2	595.76	86.4	860.00	87.0	698.18	88.2	326.06
89.2	226.67	91.2	427.27	92.3	1750.91	93.4	253.33
94.2	839.39	95.2	256.97	96.2	2715.76	97.1	441.82
98.1	246.67	98.4	205.45	98.9	381.21	100.2	125.45
102.3	147.88	103.1	135.15	105.2	203.03	106.1	1307.88
107.3	156.36	108.3	101.21	109.2	207.88	110.3	499.39
112.3	275.15	113.1	157.58	117.2	1932.12	124.1	223.64
126.4	135.15	129.9	217.58	132.1	849.70	134.1	573.33
136.3	176.36	161.8	344.24	163.8	1909.09	165.0	112.73
166.0	656.97	168.1	233.94	206.9	147.27		.



Wire No.: 55 (No. of Peaks: 85)

m/z	intensity	m/z	intensity	m/z	intensity	m/z	intensity
29.1	62515.76	30.3	73638.79	31.4	13581.21	32.3	7258.18
34.4	123.64	35.3	405.45	39.4	416.36	40.4	237.58
41.3	2364.24	42.4	5927.27	44.3	205740.00	45.3	62752.12
50.3	479.39	52.4	103.03	54.3	3874.55	55.3	2343.64
56.3	8429.09	57.3	2987.27	58.2	5160.61	59.2	824.85
60.2	113.33	61.2	194.55	62.2	340.61	63.2	132.73
65.4	150.91	66.2	1564.85	67.2	3411.52	68.2	5106.06
69.2	2724.85	70.2	2378.79	71.2	755.15	72.2	912.73
73.2	362.42	76.0	117.58	77.3	1770.30	78.1	15246.06
79.1	13871.52	80.1	9065.45	81.1	3755.76	82.1	2285.45
83.1	3457.58	84.1	1896.97	85.2	1593.94	86.2	744.24
87.2	640.00	88.0	144.24	91.2	22224.85	92.2	58396.36
93.2	66251.52	94.2	9379.39	95.2	2277.58	96.2	1329.09
97.1	559.39	98.2	849.70	99.1	635.76	100.3	109.09
101.1	235.15	102.3	118.18	103.1	156.36	104.1	553.33
105.2	3122.42	106.2	33029.70	107.2	13492.12	108.2	2390.91
110.2	6211.52	111.1	1073.94	112.2	330.30	117.1	292.73
118.1	553.33	119.2	6774.55	120.1	1381.21	121.2	9744.85
122.2	4255.76	123.4	715.76	124.0	182.42	125.2	167.88
129.9	112.12	132.1	1781.21	134.1	4333.33	135.3	770.30
136.3	22495.76	138.4	106.06	164.0	156.97	165.8	381.21
167.8	126.67						

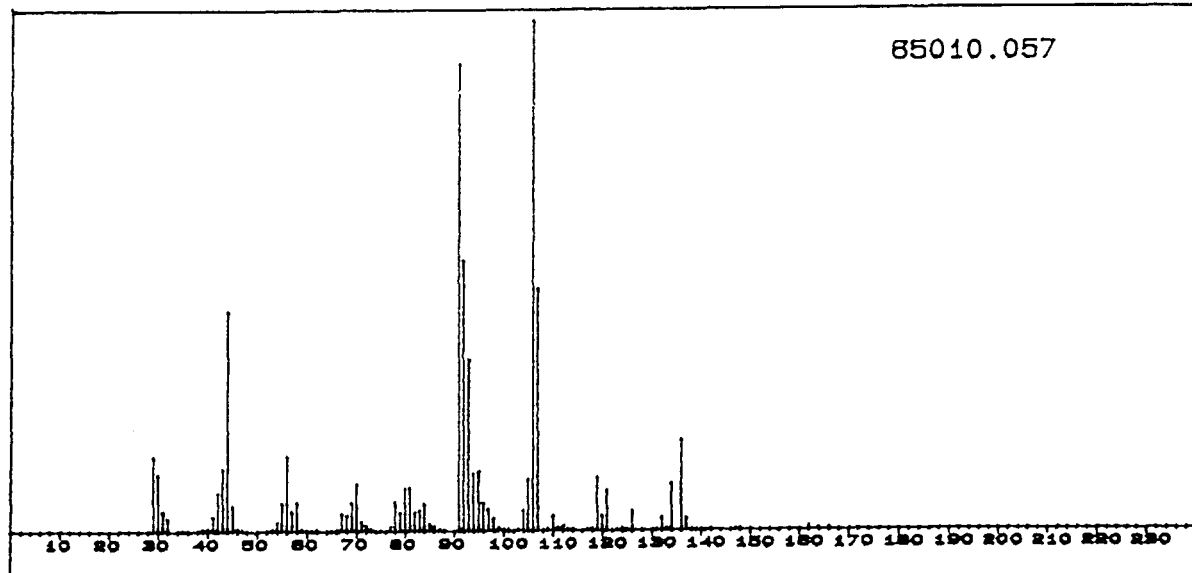
65010.056



Wire No.: 56 (No. of Peaks: 81)

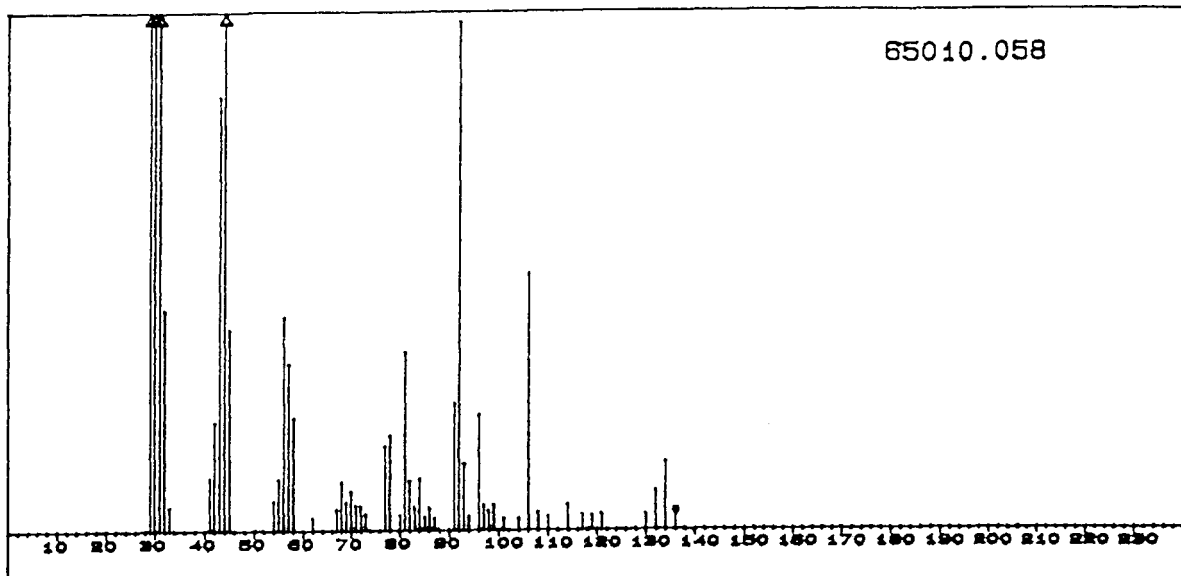
m/z	intensity	m/z	intensity	m/z	intensity	m/z	intensity
29.1	58510.91	30.3	69483.63	31.3	13384.24	32.3	6340.61
33.4	726.06	34.3	204.24	35.5	210.30	37.3	332.12
39.4	206.06	40.3	504.85	41.4	2378.79	42.4	5994.55
43.3	28941.82	44.3	121963.63	45.3	23075.15	47.4	236.36
50.4	110.91	53.3	187.27	54.2	669.70	55.3	1611.52
56.3	6495.15	57.3	5561.82	58.3	9066.06	61.2	232.12
62.3	279.39	62.6	115.15	63.1	120.00	65.4	253.33
66.2	153.33	67.2	917.58	68.2	1100.00	69.4	938.79
70.2	1240.00	71.2	933.33	72.2	1152.12	73.2	541.82
75.1	248.48	76.3	136.36	77.3	1211.52	78.1	8248.48
79.1	2026.67	80.1	526.06	81.1	5780.00	82.3	1660.00
83.0	836.36	84.3	1318.18	85.2	559.39	86.3	1061.21
87.2	614.55	88.3	107.88	91.2	58890.91	92.2	44706.06
93.2	4487.88	94.2	758.79	95.2	332.12	96.2	3084.24
97.1	1055.15	98.2	329.70	99.1	448.48	100.2	320.61
101.1	187.88	102.3	114.55	103.2	203.64	104.2	5304.24
105.2	3703.03	106.2	177664.84	110.1	344.85	111.2	226.06
112.1	169.70	114.0	186.67	117.1	270.91	119.0	334.55
120.2	254.55	121.1	404.85	126.2	283.64	130.0	210.91
132.1	2673.94	134.1	229.70	136.3	686.67	164.0	560.00
166.0	183.64						

85010.057



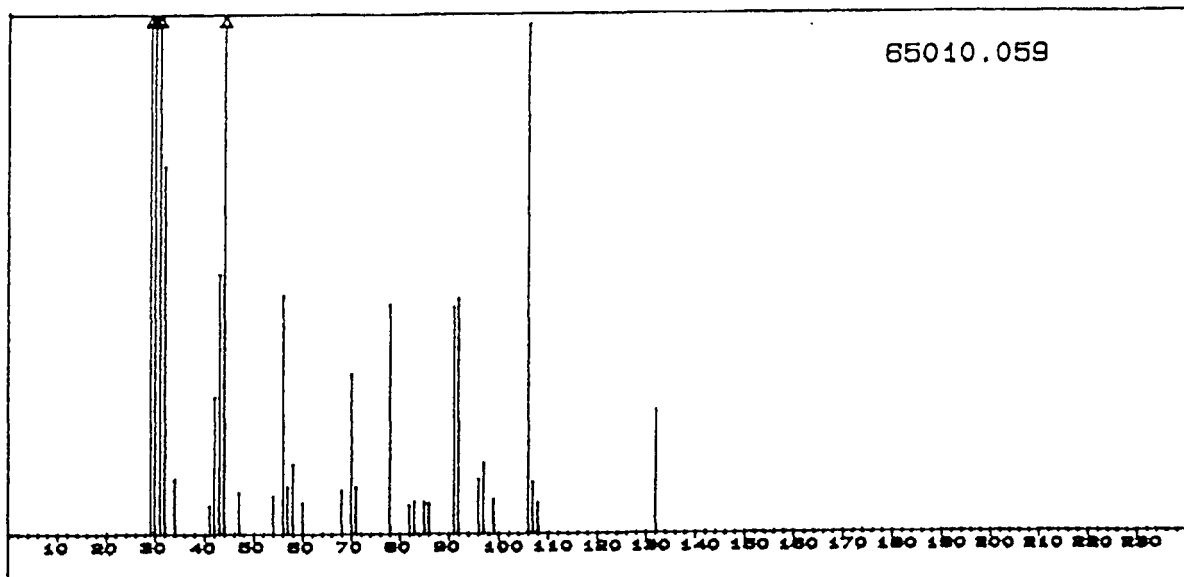
Wire No.: 57 (No. of Peaks:105)

m/z	intensity	m/z	intensity	m/z	intensity	m/z	intensity
29.1	33260.00	30.3	25321.82	31.3	8678.18	32.3	5603.03
34.4	256.97	35.3	115.15	39.4	683.03	40.4	957.58
41.3	6380.00	42.3	17173.33	43.3	28010.91	44.3	97339.39
45.3	11066.67	46.3	1149.09	47.3	281.82	48.2	134.55
50.2	174.55	52.3	258.79	52.7	100.61	53.3	518.18
54.3	3912.12	55.3	12450.30	56.3	33281.21	57.3	8762.42
58.3	12749.09	59.2	721.82	60.2	507.88	61.0	153.94
62.2	793.33	64.2	203.64	65.0	127.88	65.2	122.42
66.2	939.39	67.2	7850.30	68.2	6925.45	69.2	12574.55
70.2	20993.94	71.2	4158.18	72.2	2240.61	73.1	577.58
75.4	156.36	77.3	2013.33	78.1	13082.42	79.1	8253.94
80.3	19289.70	81.1	19423.03	82.1	8269.70	83.3	9247.27
84.3	11904.85	85.3	3121.21	86.2	1873.33	87.2	605.45
88.2	166.06	91.2	207118.78	92.2	119760.61	93.2	75990.91
94.2	25677.58	95.2	26699.39	96.2	12441.82	97.2	9749.09
98.2	5480.61	99.2	1148.48	100.3	411.52	101.2	139.39
103.1	565.45	104.2	9171.52	105.2	22816.36	106.2	226327.27
107.2	107070.91	109.2	1231.52	110.2	6747.88	111.2	1381.21
112.2	1889.70	113.1	220.61	114.1	410.91	117.2	502.42
118.2	908.48	119.2	23529.70	120.2	6701.82	121.2	18003.03
123.2	306.67	124.4	1022.42	125.2	232.73	126.2	8706.67
130.0	206.67	131.3	320.00	132.1	5613.94	133.3	785.45
134.3	20797.58	136.3	39973.94	137.3	5589.70	138.3	449.09
139.2	193.94	140.3	213.33	141.3	163.03	146.0	178.18
147.2	515.76	148.2	267.88	150.2	263.03	152.3	110.91
162.2	1584.24	164.0	598.18	166.0	687.88	167.8	185.45
170.0	143.03						



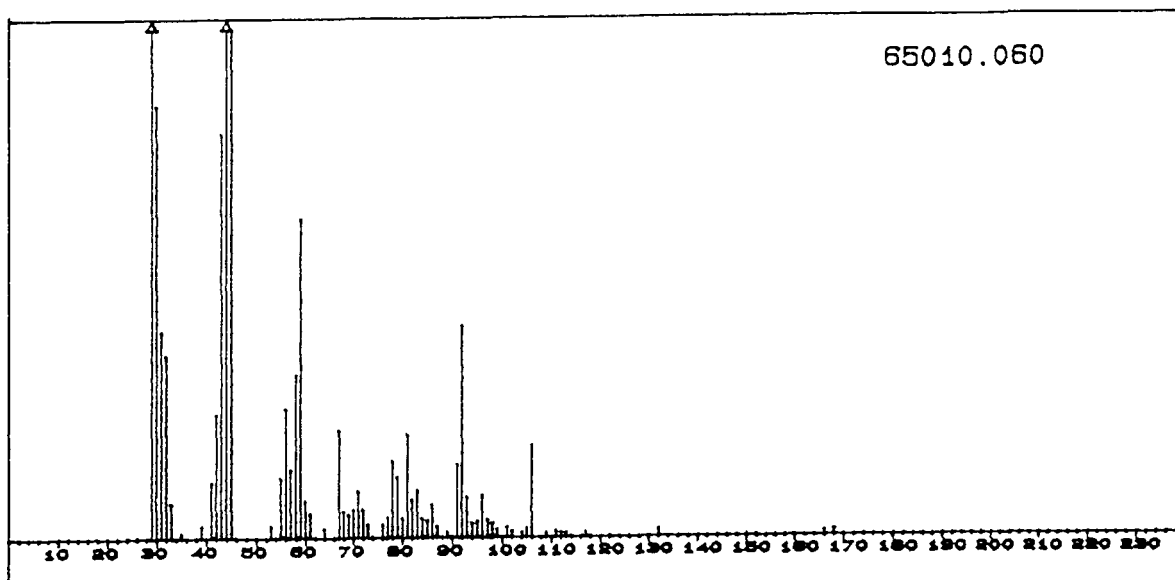
Wire No.: 58 (No. of Peaks: 55)

m/z	intensity	m/z	intensity	m/z	intensity	m/z	intensity
29.1	13885.45	30.3	10458.79	31.3	4920.00	32.3	2004.24
33.4	210.91	41.3	475.76	42.3	982.42	43.3	3950.30
44.3	24261.82	45.3	1822.42	54.2	269.70	55.3	464.24
56.3	1934.55	57.3	1509.09	58.3	1020.00	62.2	107.27
67.1	193.94	68.1	436.36	69.1	258.79	70.2	352.73
71.2	227.88	72.2	221.21	73.2	141.82	77.1	763.64
78.1	855.15	80.1	135.15	81.1	1613.94	82.1	453.94
83.0	204.85	84.1	464.24	85.2	118.79	86.2	199.39
87.2	107.88	91.2	1143.03	92.2	4620.61	93.0	603.64
94.2	123.64	96.2	1041.82	97.1	225.45	98.1	178.79
99.2	232.73	101.2	104.85	104.2	107.88	106.2	2322.42
108.2	160.00	110.1	120.00	114.2	228.48	117.1	136.97
119.4	129.70	121.1	143.64	130.1	137.58	132.3	350.30
133.9	322.42	134.1	290.91	136.3	181.21		



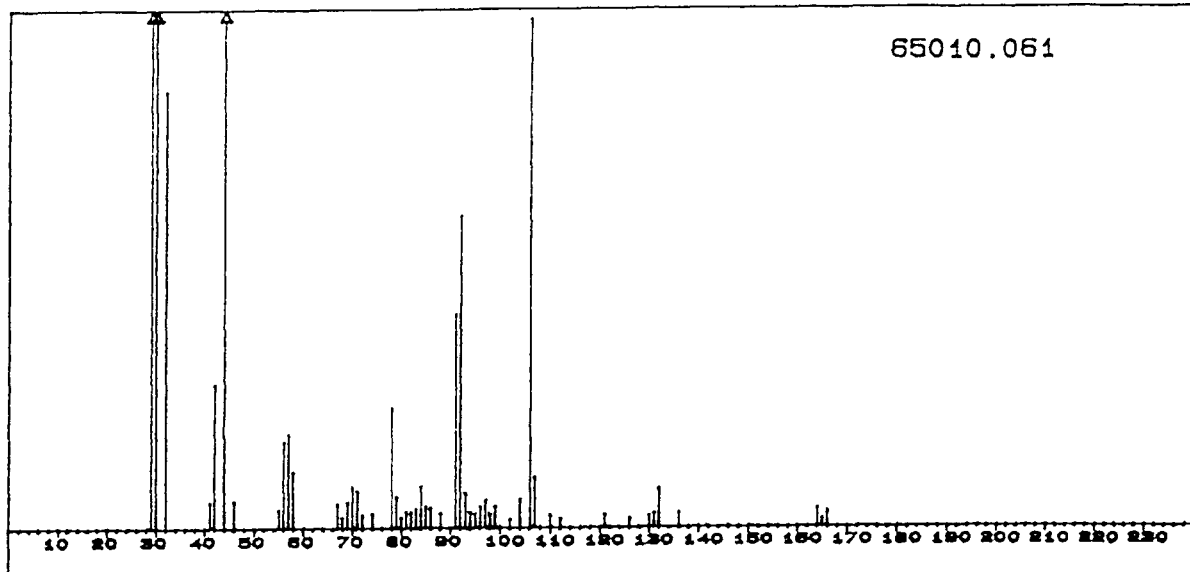
Wire No.: 59 (No. of Peaks: 34)

m/z	intensity	m/z	intensity	m/z	intensity	m/z	intensity
29.1	9941.82	30.3	1949.09	31.2	5541.82	32.3	1351.52
34.3	201.82	41.3	104.24	42.4	504.85	43.3	956.36
44.3	29290.30	47.2	150.91	54.1	138.79	55.5	283.03
56.3	593.33	57.2	171.52	58.2	255.76	60.2	113.94
68.2	158.18	69.5	382.42	70.1	204.24	71.1	171.52
78.1	843.03	82.3	103.03	83.1	116.36	85.4	114.55
86.3	110.30	91.2	832.73	92.2	863.64	96.1	200.00
97.2	259.39	99.2	125.45	106.2	1865.45	107.2	187.88
108.1	111.52	132.3	444.24				



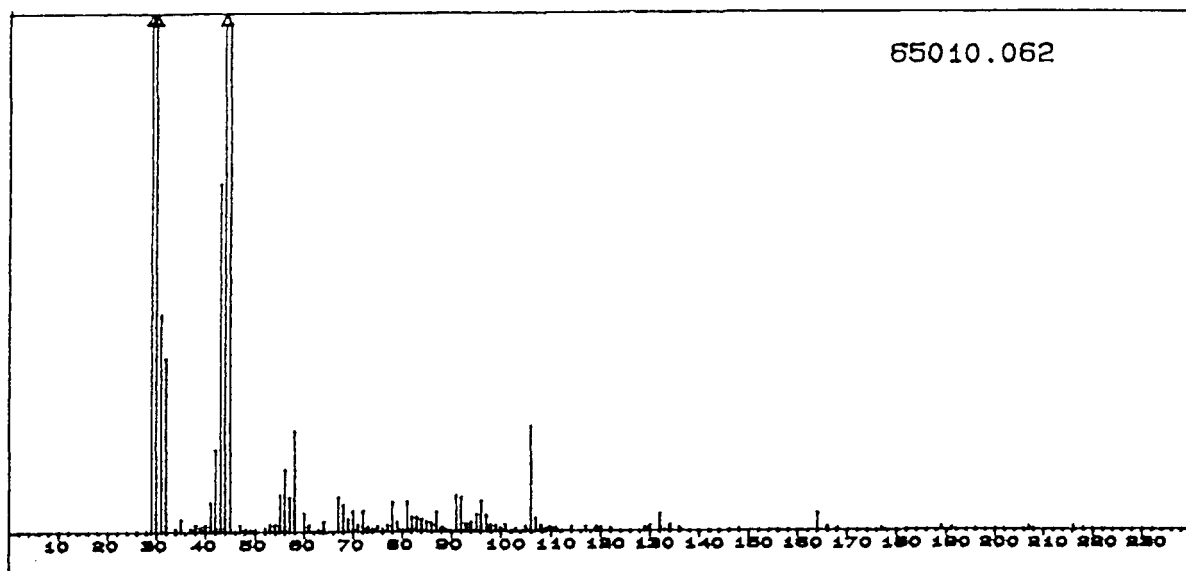
Wire No.: 60 (No. of Peaks: 66)

m/z	intensity	m/z	intensity	m/z	intensity	m/z	intensity
29.1	17921.21	30.3	11072.73	31.4	5256.36	32.3	4659.39
33.3	884.24	35.3	118.18	38.5	308.48	41.4	1427.88
42.3	3160.00	43.3	10356.97	44.3	23401.21	45.3	12996.97
53.3	306.67	54.5	289.70	55.3	1226.06	56.3	3290.30
57.3	1733.94	58.3	4156.97	59.3	8152.12	60.3	936.36
61.1	619.39	64.1	238.18	67.2	2740.00	68.2	675.76
69.4	582.42	70.2	721.21	71.2	1190.30	72.2	721.82
73.2	343.64	76.1	194.55	76.4	149.70	76.9	260.00
77.1	267.88	78.1	1953.33	79.1	1546.67	80.3	494.55
81.1	2621.21	82.3	969.09	83.1	1203.64	84.3	490.91
85.2	432.12	86.4	835.76	87.0	284.24	89.0	126.06
91.2	1858.79	92.2	5396.97	93.0	1031.52	94.3	378.79
95.3	435.76	96.2	1070.30	97.3	438.79	98.2	363.64
98.9	199.39	100.9	255.76	102.1	144.24	104.2	117.58
105.2	218.79	106.3	2328.48	109.1	102.42	111.2	163.64
112.1	122.42	113.2	111.52	117.2	113.94	132.1	181.82
166.0	127.88	168.1	143.03				



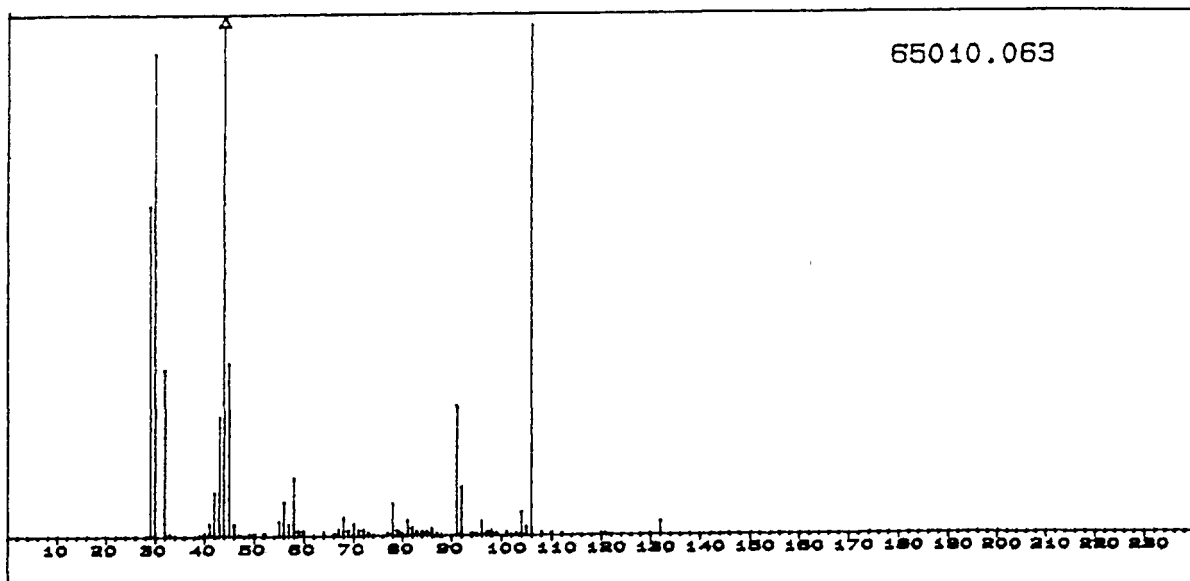
Wire No.: 61 (No. of Peaks: 54)

m/z	intensity	m/z	intensity	m/z	intensity	m/z	intensity
29.1	12788.48	30.3	10684.85	31.5	4047.88	32.3	1381.21
41.3	313.94	41.5	147.88	42.3	1636.97	44.3	66430.30
46.4	333.94	55.2	227.27	56.3	1067.27	57.3	1161.21
58.2	698.18	67.2	298.18	68.2	129.70	69.1	318.18
70.2	504.85	71.4	458.18	72.1	162.42	73.5	173.33
78.1	1483.03	79.1	383.64	80.4	130.30	81.1	195.15
82.0	195.15	83.3	238.18	84.3	507.88	85.3	264.24
86.2	239.39	88.4	178.18	91.2	2656.36	92.2	3883.03
93.0	430.91	94.3	198.79	95.2	176.36	96.2	255.76
97.1	337.58	98.2	164.85	99.2	256.36	102.3	106.67
104.3	352.73	106.2	6304.24	107.2	623.03	110.2	155.15
112.2	109.70	121.2	161.82	126.2	109.09	130.0	139.39
131.1	172.73	132.3	473.33	136.1	178.79	164.1	223.03
164.8	100.00	166.0	197.58				



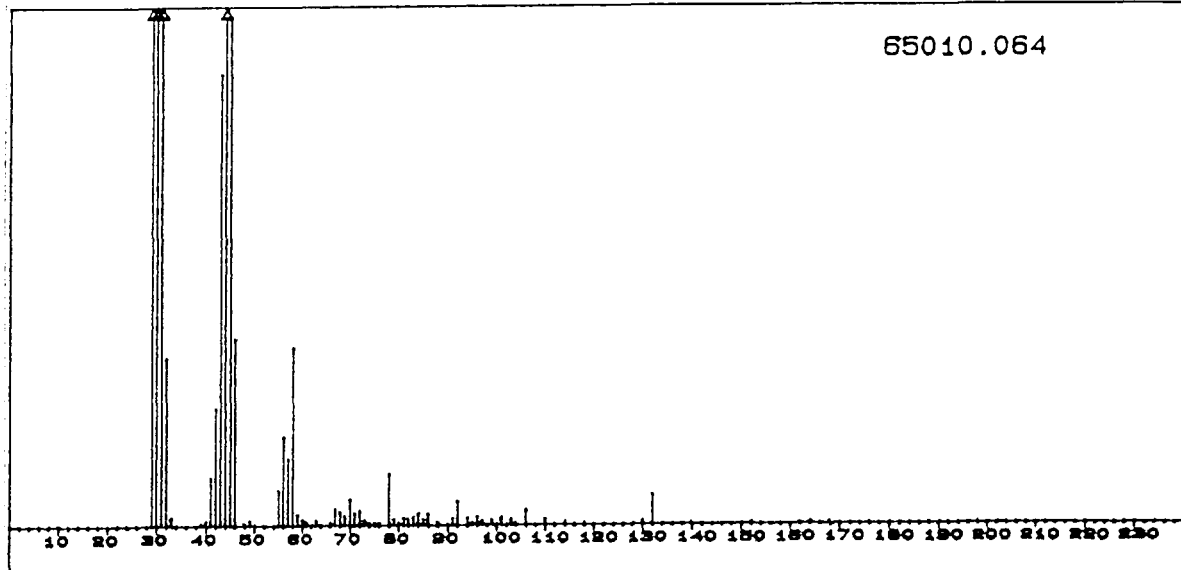
Wire No.: 62 (No. of Peaks: 93)

m/z	intensity	m/z	intensity	m/z	intensity	m/z	intensity
29.1	64527.27	30.3	149803.03	31.3	18880.00	32.3	15099.39
34.2	265.45	35.3	1069.70	37.4	260.00	38.4	598.79
39.3	349.09	40.3	564.24	41.4	2533.94	42.3	7141.82
43.3	30220.61	44.3	160922.42	45.3	44034.55	47.4	533.94
48.3	170.91	49.4	141.21	50.2	167.88	52.2	278.18
53.3	634.55	54.2	655.76	55.2	3206.67	56.3	5413.33
57.2	2998.79	58.2	8706.06	60.2	1558.18	61.3	553.94
63.4	104.85	64.1	911.52	67.2	2990.91	68.1	2293.33
69.1	1080.61	70.2	1778.79	71.1	597.58	72.2	1796.97
73.2	390.91	74.3	176.36	75.0	423.03	76.1	206.06
77.1	565.45	78.1	2524.24	79.1	801.21	80.0	138.18
81.1	2602.42	82.1	1271.52	83.0	1235.15	84.3	1055.76
85.0	810.91	86.2	755.15	87.0	1690.30	88.3	309.09
89.2	126.67	91.2	3166.67	92.2	2955.15	93.0	636.36
94.2	801.21	95.2	1469.09	96.2	2640.00	97.1	1365.45
98.2	488.48	98.9	509.09	100.1	263.03	101.1	567.27
103.1	212.73	105.1	440.61	106.2	9035.76	107.2	1108.48
108.0	494.55	109.0	159.39	110.1	275.76	111.1	238.79
114.3	352.12	117.0	330.30	119.0	341.82	120.2	293.33
122.2	189.70	128.5	136.97	128.9	149.09	129.9	463.64
132.1	1466.06	133.1	107.27	134.0	480.61	136.1	212.73
148.3	114.55	164.0	1480.61	165.8	280.00	168.0	184.24
177.2	160.61	189.3	286.06	191.4	186.06	207.2	236.36
215.8	195.76						



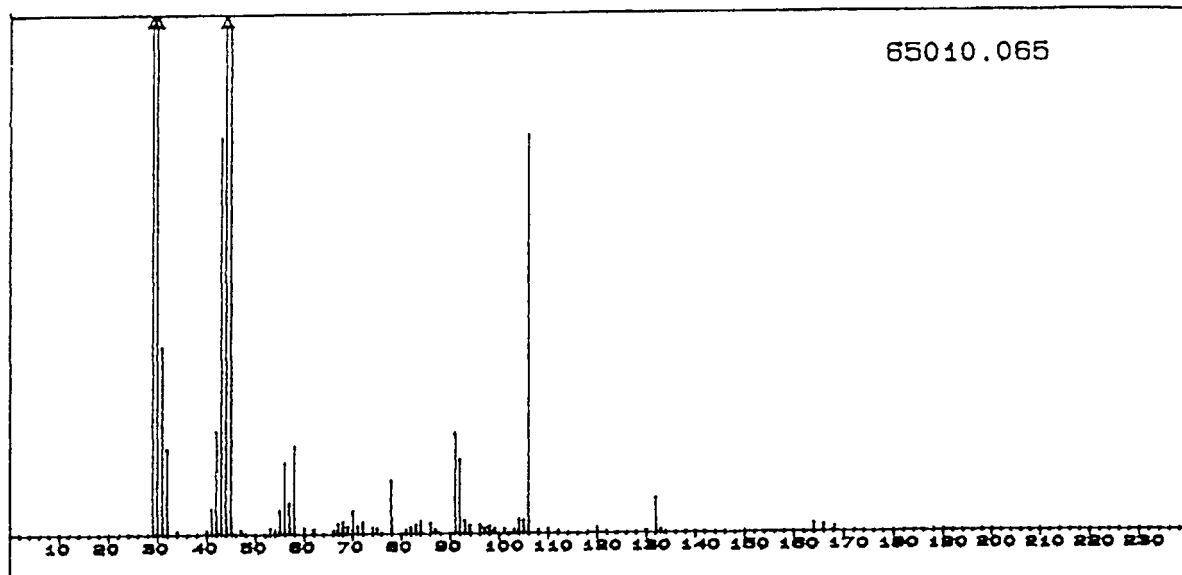
Wire No.: 63 (No. of Peaks: 64)

m/z	intensity	m/z	intensity	m/z	intensity	m/z	intensity
29.1	25997.58	30.3	38045.45	31.5	6806.06	32.3	6308.48
33.4	207.88	39.4	135.15	40.3	266.67	41.4	995.15
42.4	3449.70	43.4	9383.03	44.3	112603.03	45.3	13541.21
46.3	933.33	47.3	109.70	49.3	144.24	50.3	209.70
52.2	231.52	54.5	203.64	55.3	936.97	56.3	2696.36
57.3	938.18	58.3	4600.61	59.2	404.85	60.2	404.85
64.2	332.12	66.1	134.55	67.4	533.33	68.4	1435.15
69.2	472.12	70.2	935.76	71.2	416.97	72.2	484.24
73.4	227.27	77.1	241.82	78.3	2533.94	79.1	429.09
80.3	146.67	81.3	1192.73	82.3	652.12	83.1	238.18
84.3	326.67	85.3	330.30	86.2	586.06	87.2	138.18
91.2	10210.30	92.2	3791.52	94.2	190.91	95.2	106.06
96.2	1112.12	97.1	281.82	98.2	385.45	98.9	163.64
101.2	260.61	103.1	156.97	104.2	1805.45	105.1	657.58
106.2	40176.36	108.2	216.36	110.1	124.24	112.2	126.67
120.1	149.09	121.1	107.88	130.0	110.30	132.1	1078.18



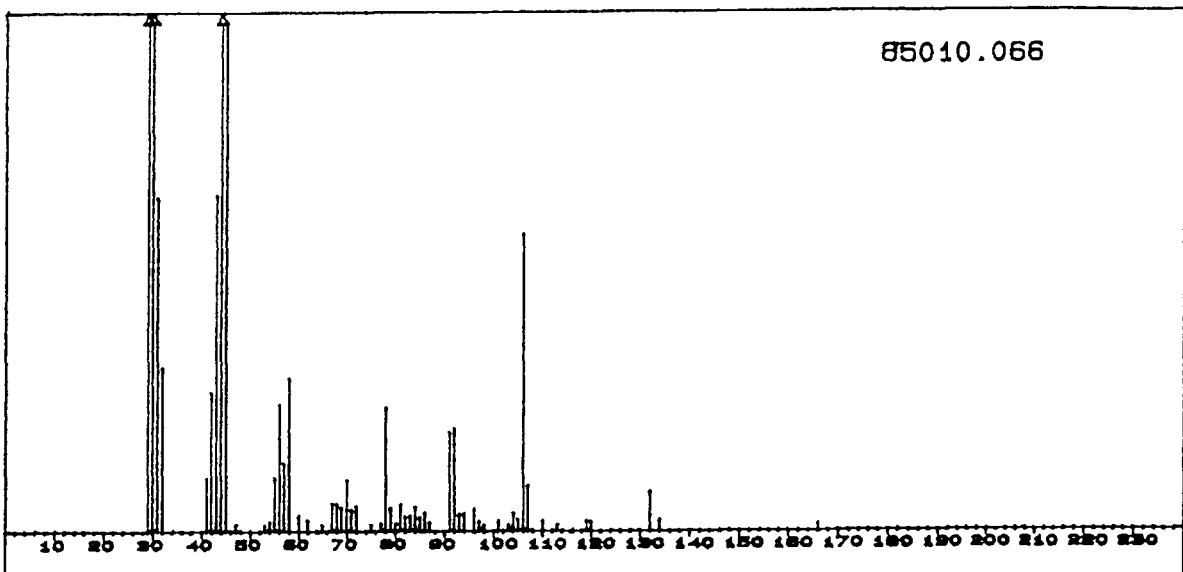
Wire No.: 64 (No. of Peaks: 65)

m/z	intensity	m/z	intensity	m/z	intensity	m/z	intensity
29.1	74725.45	30.3	95036.37	31.3	35422.43	32.3	10598.79
33.3	510.91	39.3	130.30	40.3	312.73	41.3	3034.55
42.3	7422.42	43.3	28432.12	44.3	169393.94	45.3	32006.67
46.3	11799.39	48.3	129.70	49.3	305.45	54.5	301.21
55.3	1923.64	56.3	5621.21	57.3	4216.97	58.3	11263.03
59.2	723.64	60.3	376.97	61.2	193.33	62.5	117.58
63.2	187.27	66.2	158.79	67.2	1005.45	68.2	826.67
69.2	593.94	70.2	1631.52	71.2	773.33	72.2	918.79
73.1	303.03	74.3	116.97	74.5	108.48	76.1	124.85
78.1	3215.76	79.1	361.82	80.0	121.21	81.1	472.12
82.1	371.52	83.1	524.24	84.1	746.67	85.2	352.73
86.3	715.15	87.9	167.27	91.2	413.33	92.2	1521.82
94.2	435.76	94.9	119.39	96.2	482.42	97.1	230.30
98.6	278.18	101.1	453.33	103.1	355.76	103.9	109.09
106.2	924.85	110.2	344.85	114.2	155.76	118.4	109.70
130.1	223.64	132.1	1859.39	152.3	120.00	164.1	105.45
168.0	101.82						



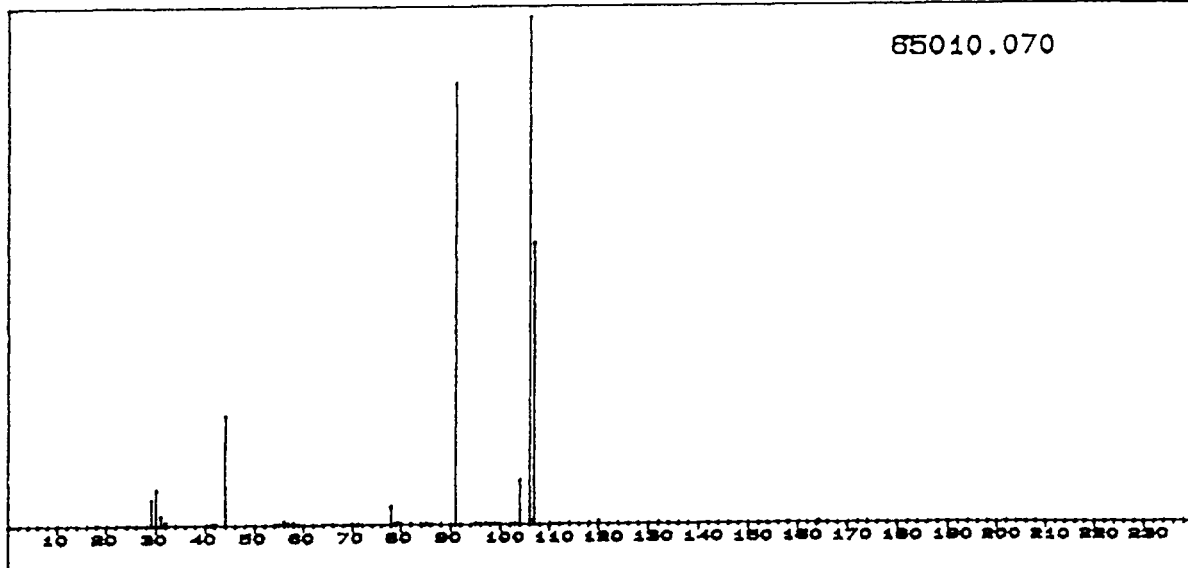
Wire No.: 65 (No. of Peaks: 59)

m/z	intensity	m/z	intensity	m/z	intensity	m/z	intensity
29.1	39940.61	30.4	70949.09	31.4	8435.76	32.4	3855.76
34.3	116.97	40.3	129.09	41.3	1161.82	42.4	4646.67
43.4	17901.21	44.3	151121.81	45.3	22989.70	47.3	181.82
53.2	256.97	54.3	140.61	55.3	1057.58	56.3	3213.33
57.3	1394.55	58.3	3944.24	60.2	240.00	62.2	198.18
66.4	161.82	67.2	462.42	68.4	553.33	69.4	326.67
70.4	1049.70	71.1	325.45	72.2	503.03	73.5	273.33
75.3	223.64	78.1	2391.52	81.4	179.39	82.1	268.48
83.1	409.70	84.3	567.88	86.2	447.88	87.2	150.91
91.2	4526.67	92.2	3356.97	93.2	604.24	94.3	367.88
96.2	383.03	97.2	255.15	98.3	330.91	99.1	175.15
101.1	191.52	103.1	149.09	104.3	649.70	105.1	578.79
106.2	17956.97	108.2	147.27	110.2	203.03	112.2	101.21
120.0	233.33	130.1	102.42	132.1	1575.15	133.1	150.30
164.1	393.33	166.1	322.42	167.8	222.42		



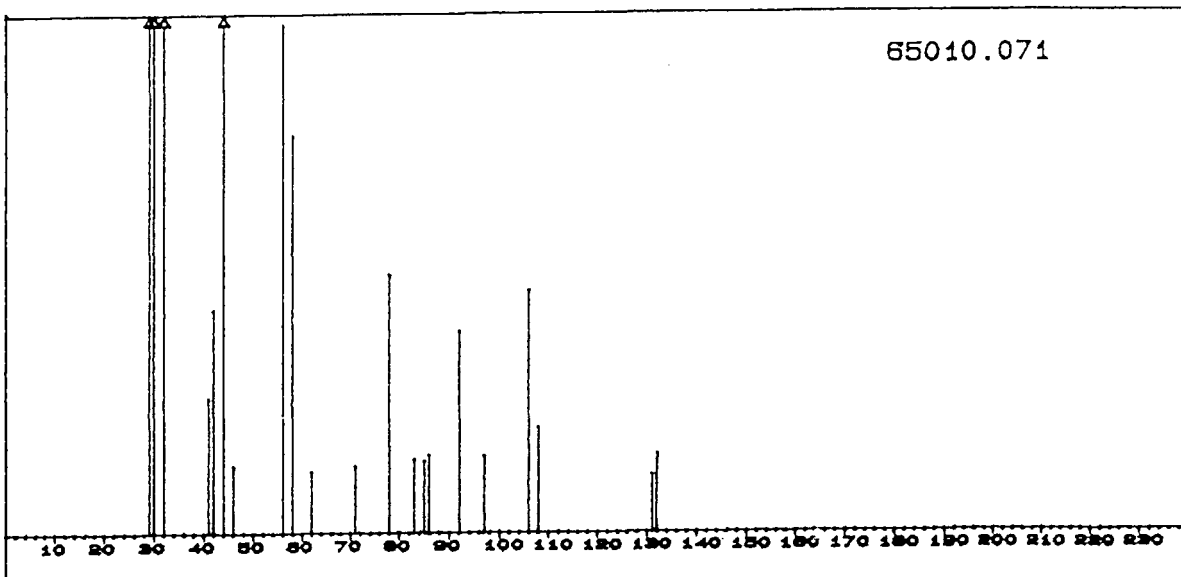
Wire No.: 66 (No. of Peaks: 57)

m/z	intensity	m/z	intensity	m/z	intensity	m/z	intensity
29.1	25183.03	30.3	28315.76	31.2	6070.91	32.3	2983.03
41.4	966.06	42.3	2541.82	43.4	6126.06	44.3	103519.39
45.3	9287.88	47.4	121.82	53.3	100.00	54.2	166.67
55.2	957.58	56.2	2318.79	57.3	1243.64	58.3	2786.67
59.5	276.97	62.3	187.27	64.5	104.24	67.2	500.61
68.2	504.24	69.4	423.03	70.2	929.09	71.2	389.09
72.2	457.58	75.1	108.48	77.3	129.09	78.1	2261.82
79.3	409.70	80.3	130.91	81.0	486.67	82.0	261.82
83.0	285.45	84.1	430.30	85.0	241.21	86.3	324.85
87.0	146.06	91.2	1809.09	92.3	1878.18	93.3	303.03
94.2	321.21	96.2	401.21	97.2	176.36	98.3	102.42
101.1	181.21	102.9	106.67	104.1	321.21	105.2	206.67
106.2	5394.55	107.1	828.48	110.2	178.79	113.2	106.67
119.0	177.58	120.1	167.88	132.1	720.61	134.0	190.30
165.7	120.61						



Wire No.: 70 (No. of Peaks: 46)

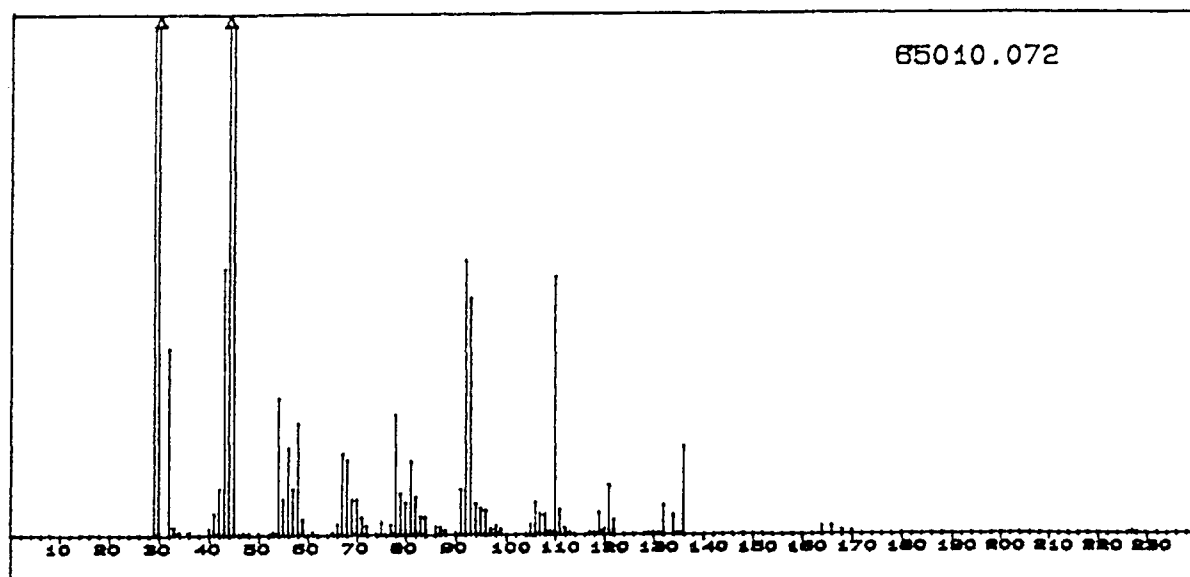
m/z	intensity	m/z	intensity	m/z	intensity	m/z	intensity
29.1	11298.79	30.3	15727.27	31.3	4267.27	32.3	1470.91
40.3	130.30	41.3	252.73	42.3	517.58	44.3	47734.55
46.3	168.48	54.3	187.27	55.2	283.03	56.3	1583.64
57.3	822.42	58.3	1108.48	59.2	129.70	66.4	119.39
69.2	135.15	70.2	446.67	71.2	215.15	78.1	8060.00
79.1	798.18	80.3	187.88	82.3	392.12	84.1	326.06
85.3	266.67	86.3	171.52	91.2	189722.42	95.2	303.03
96.1	308.48	97.1	342.42	98.1	133.94	99.2	162.42
103.1	370.30	104.2	18957.58	106.2	218307.27	107.1	121589.09
110.1	269.70	112.2	120.61	113.5	171.52	114.0	121.82
118.1	149.70	120.1	1356.97	132.0	539.39	134.3	135.15
145.9	126.67	164.0	103.64				



Wire No.: 71 (No. of Peaks: 23)

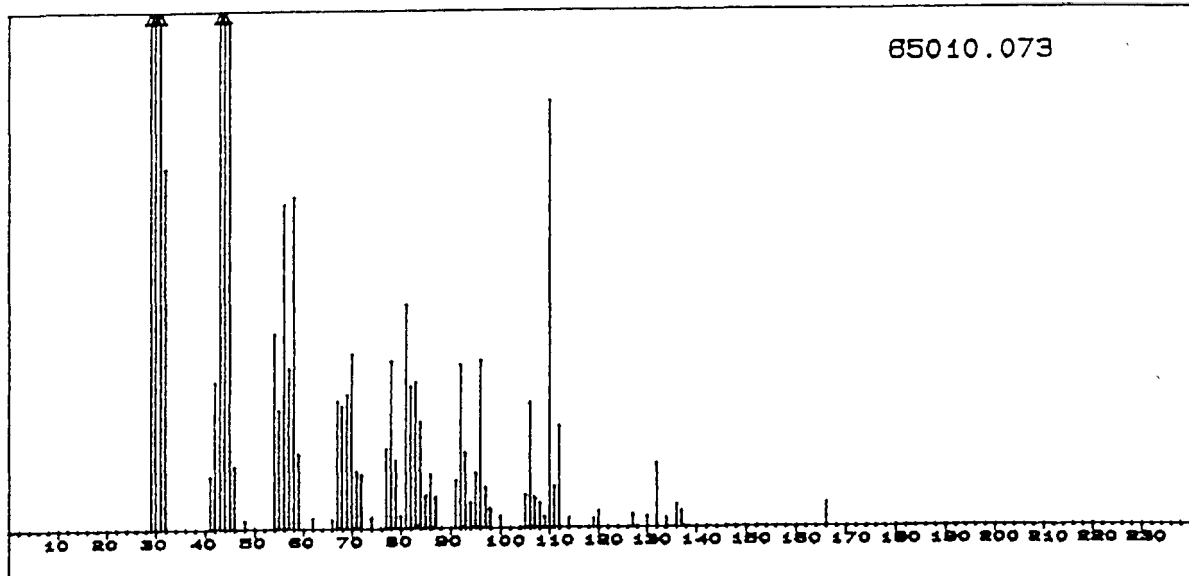
m/z	intensity	m/z	intensity	m/z	intensity	m/z	intensity
29.1	6360.00	30.3	5459.39	31.5	3535.76	32.3	1093.94
41.4	240.61	42.3	395.76	44.3	34923.64	46.2	120.61
56.3	898.18	57.5	210.91	58.3	491.52	62.2	109.70
71.1	118.18	78.3	456.97	83.3	130.30	85.3	127.88
86.2	138.79	92.2	356.97	97.1	136.36	106.2	426.06
108.2	186.67	130.9	101.21	132.4	136.36		

65010.072



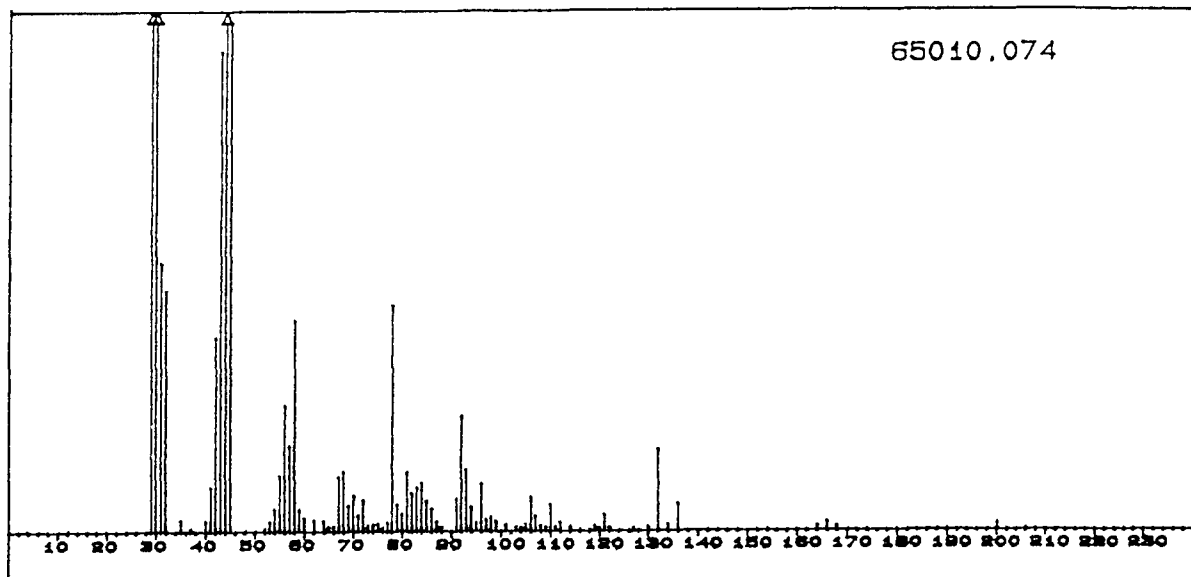
Wire No.: 72 (No. of Peaks: 82)

m/z	intensity	m/z	intensity	m/z	intensity	m/z	intensity
29.1	32243.03	30.3	46395.76	31.5	7475.15	32.3	4301.21
33.4	475.15	34.4	172.12	35.5	159.39	39.5	196.36
40.3	214.55	41.4	1358.18	42.4	2920.61	43.4	16903.64
44.3	152515.75	45.3	32467.88	47.4	136.97	48.4	114.55
50.4	112.73	53.3	192.73	54.3	8681.21	55.3	2274.55
56.3	5521.82	57.3	2948.48	58.3	7071.52	59.2	1022.42
61.3	172.12	65.4	171.52	66.2	696.97	67.2	5125.45
68.2	4755.15	69.2	2246.06	70.2	2207.27	71.2	1109.09
72.2	573.94	75.1	786.06	77.3	636.36	78.3	7615.76
79.3	2632.12	80.3	2050.91	81.3	4670.30	82.3	2413.33
83.1	1163.03	84.3	1118.79	86.2	518.18	87.2	483.03
88.3	231.52	90.3	100.00	91.2	2896.36	92.2	17400.00
93.2	14963.64	94.2	2003.03	95.2	1683.03	96.3	1547.88
97.2	369.09	98.3	549.09	99.1	324.85	105.2	654.55
106.2	2026.06	107.2	1298.79	108.2	1281.21	109.2	200.61
110.2	16361.21	111.2	1561.21	112.3	396.36	113.2	115.76
117.1	156.36	118.1	146.06	119.2	1395.15	120.2	309.70
121.2	3136.97	122.2	947.88	129.0	114.55	130.0	132.12
131.0	125.45	132.1	1835.15	134.3	1251.52	135.1	116.97
136.3	5552.12	164.1	494.55	166.0	507.88	168.0	250.91
169.8	201.21	227.4	103.64				



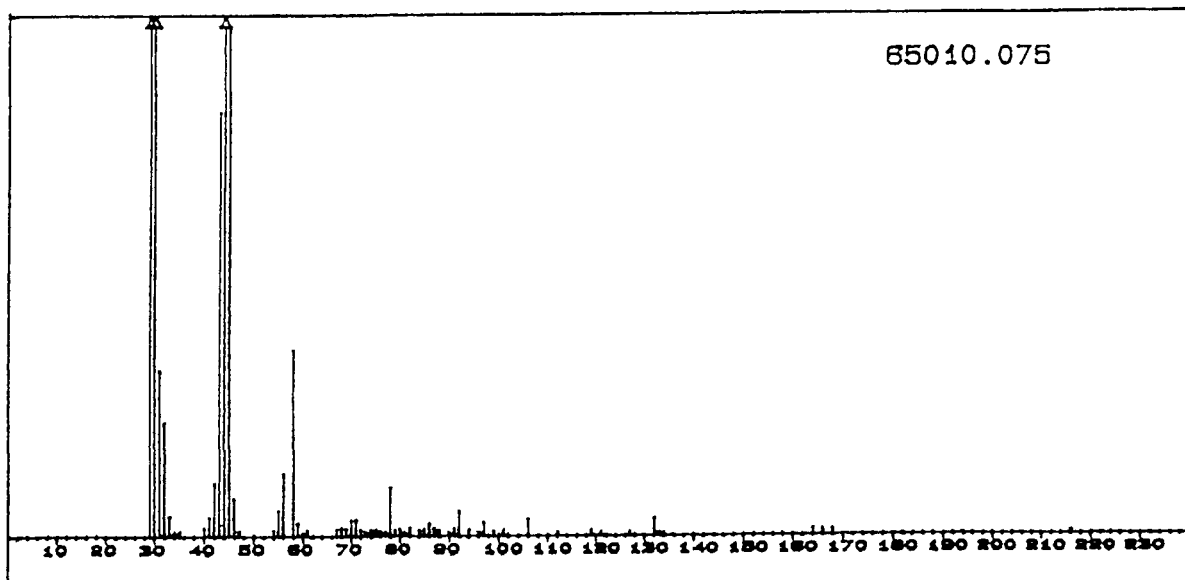
Wire No.: 73 (No. of Peaks: 64)

$m/z$	intensity	$m/z$	intensity	$m/z$	intensity	$m/z$	intensity
29.1	16966.67	30.3	10895.76	31.3	7746.67	32.3	4569.70
41.3	667.88	42.4	1863.64	43.3	7835.76	44.3	45118.79
45.3	6426.67	46.4	792.12	48.2	103.64	54.3	2469.09
55.2	1503.64	56.3	4101.82	57.3	2027.27	58.3	4195.15
59.3	946.06	62.2	127.27	66.1	113.94	67.2	1618.18
68.2	1555.76	69.2	1695.76	70.2	2208.48	71.2	725.45
72.4	679.39	73.9	143.03	77.3	1009.09	78.1	2110.30
79.1	857.58	80.1	152.12	81.1	2822.42	82.3	1789.09
83.1	1839.39	84.3	1344.24	85.2	406.67	86.0	678.18
87.0	390.91	91.0	603.64	92.3	2063.03	93.2	956.97
94.2	322.42	95.2	696.36	96.2	2112.73	97.1	512.73
98.3	243.03	100.1	142.42	105.2	419.39	106.2	1581.21
107.1	386.67	108.3	316.36	109.2	144.24	110.2	5404.24
111.3	535.15	112.1	1288.48	113.5	118.18	119.2	107.27
120.1	199.39	127.2	157.58	130.3	133.33	132.1	806.06
134.1	109.70	136.0	283.03	136.8	201.21	166.0	301.82



Wire No.: 74 (No. of Peaks: 84)

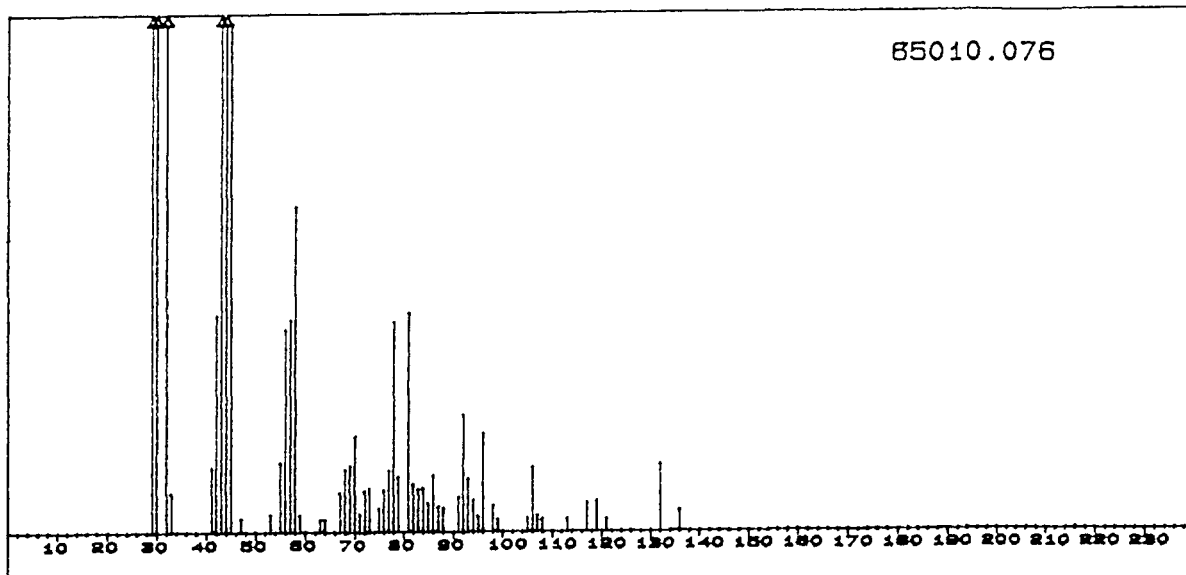
m/z	intensity	m/z	intensity	m/z	intensity	m/z	intensity
29.1	30560.00	30.3	31019.39	31.4	10436.36	32.3	9346.06
35.4	461.82	37.3	101.82	39.5	126.67	40.4	281.82
41.3	1744.24	42.4	7542.42	43.3	18673.33	44.3	120249.09
45.3	19813.33	52.4	120.61	53.3	362.42	54.3	873.94
55.3	2178.79	56.3	4898.79	57.3	3348.48	58.3	8198.18
59.2	859.39	60.2	530.91	61.5	215.76	62.3	215.76
64.2	421.82	65.1	185.45	66.4	214.55	67.2	2147.88
68.2	2347.88	69.2	1017.58	70.4	1394.55	71.2	631.52
72.2	1213.33	73.4	226.06	74.0	265.45	75.1	308.48
76.1	149.70	77.3	341.21	78.3	8786.67	79.1	1040.61
80.1	680.00	81.1	2312.73	82.1	1504.85	83.1	1731.52
84.3	1896.97	85.0	1187.88	86.2	890.30	87.3	383.03
88.2	150.30	91.3	1284.24	92.2	4474.55	93.2	2421.21
94.0	432.73	94.3	512.73	95.2	304.24	96.2	1863.03
97.2	452.73	98.2	563.03	99.1	374.55	100.9	238.79
103.2	144.85	104.1	141.82	105.2	270.91	106.2	1312.12
107.3	584.24	108.3	203.03	109.1	160.61	110.1	1001.82
111.2	169.70	112.1	339.39	114.1	161.21	119.2	208.48
120.4	123.64	121.2	641.82	122.2	127.88	127.0	100.61
130.3	138.79	132.1	3190.91	134.3	248.48	136.3	1054.55
164.0	173.33	166.1	332.12	167.7	155.76	200.3	232.73



Wire No.: 75 (No. of Peaks: 65)

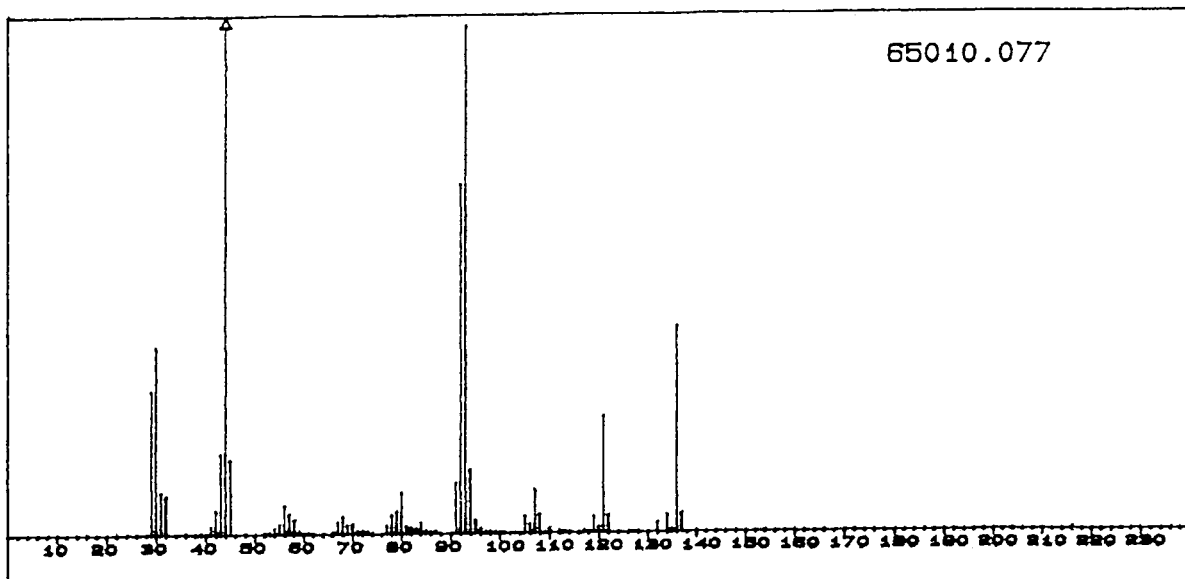
m/z	intensity	m/z	intensity	m/z	intensity	m/z	intensity
29.1	29892.12	30.4	41958.79	31.4	6379.39	32.3	4386.06
33.3	788.48	34.3	169.09	35.3	152.73	40.3	312.12
41.4	736.97	42.4	2056.36	43.3	16474.54	44.3	122543.03
45.3	19796.36	46.3	1453.33	47.3	216.97	54.3	230.30
55.3	987.27	56.3	2411.52	57.5	1370.30	58.3	5811.52
59.3	500.61	60.3	132.12	61.0	216.97	67.2	275.15
68.2	325.45	69.2	272.12	70.2	617.58	71.4	633.33
72.1	224.24	73.2	153.94	74.3	227.88	75.3	238.18
76.4	150.91	77.3	149.09	78.1	1875.15	79.1	203.03
80.1	253.33	81.4	122.42	82.1	284.85	84.4	205.45
85.3	242.42	86.3	472.73	86.9	151.52	87.2	132.73
88.3	187.27	90.3	115.76	91.2	285.45	92.2	961.21
94.2	231.52	96.1	131.52	97.1	495.15	98.9	167.88
101.1	216.97	106.1	632.73	112.3	120.61	119.1	196.36
121.0	118.18	127.1	162.42	132.1	656.36	133.4	115.15
133.9	108.48	164.0	240.61	166.0	209.09	168.0	215.76
216.1	104.24						

85010.076



Wire No.: 76 (No. of Peaks: 58)

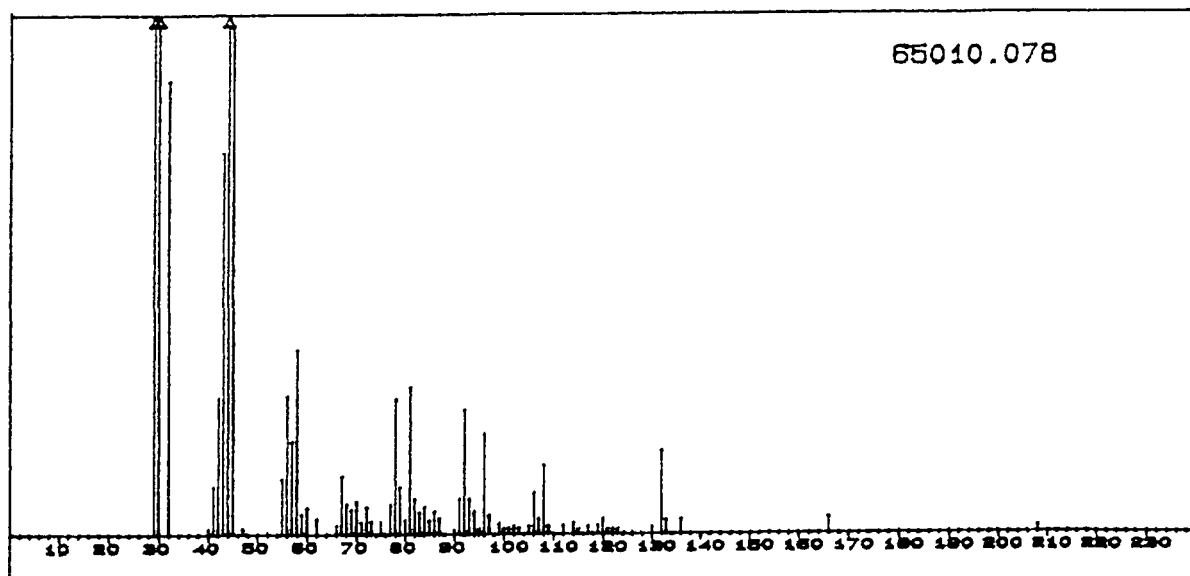
m/z	intensity	m/z	intensity	m/z	intensity	m/z	intensity
29.1	13950.30	30.3	12657.58	31.5	4440.61	32.3	2825.45
33.3	328.48	41.3	541.82	42.4	1811.52	43.4	6107.27
44.3	35987.27	45.3	4219.39	47.3	115.76	53.3	149.70
54.5	103.03	55.2	476.97	56.3	1688.48	57.3	1768.48
58.2	2703.03	59.3	143.03	63.4	106.67	64.2	108.48
67.4	330.30	68.2	524.85	69.4	555.15	70.2	803.03
71.2	152.12	72.2	343.64	73.2	365.45	75.3	195.15
76.0	345.45	77.4	510.91	78.3	1749.09	79.1	457.58
81.3	1821.82	82.3	395.76	83.3	354.55	84.1	363.03
85.3	234.55	86.2	473.94	87.2	212.12	88.2	196.97
91.2	293.33	92.2	978.79	93.4	444.85	94.2	264.24
95.2	129.09	96.2	817.58	97.9	216.36	99.2	101.21
105.2	109.70	106.2	538.18	107.0	138.79	108.1	104.85
113.2	107.27	117.0	241.82	119.0	258.18	120.5	101.82
132.1	561.21	136.4	172.12				



Wire No.: 77 (No. of Peaks: 80)

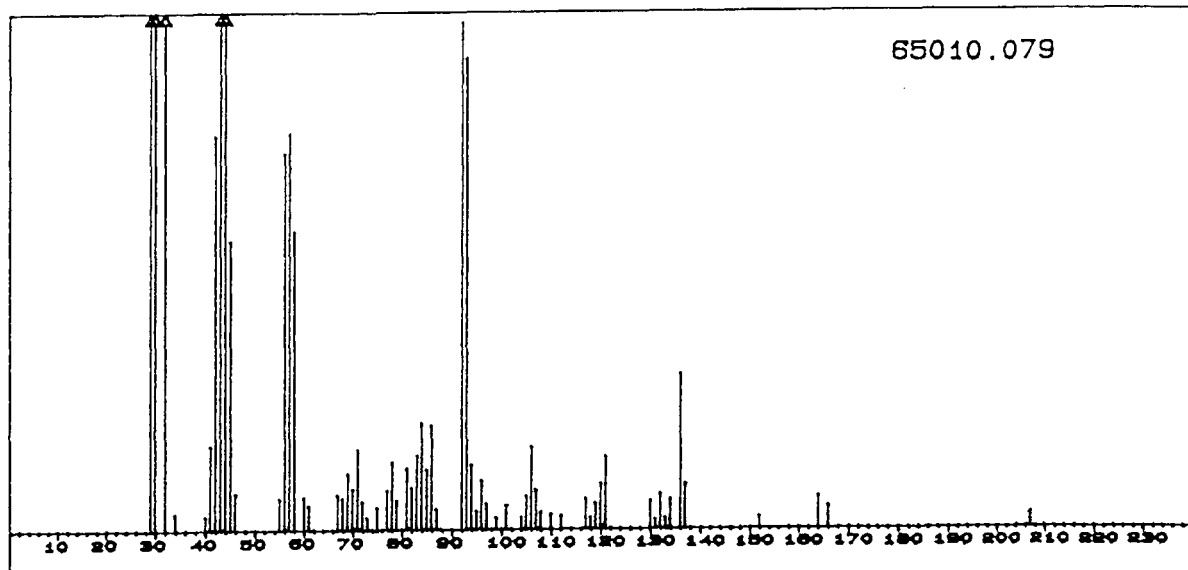
m/z	intensity	m/z	intensity	m/z	intensity	m/z	intensity
29.1	35173.33	30.3	46032.12	31.4	10265.45	32.3	9376.97
39.3	179.39	40.4	126.06	41.3	1875.76	42.3	5920.61
43.3	19901.82	44.3	146213.94	45.3	18348.48	48.4	120.00
52.3	203.64	53.3	194.55	54.3	1343.64	55.2	2250.91
56.3	7017.58	57.3	4891.52	58.2	3439.39	59.3	370.30
60.1	227.88	61.3	113.33	66.2	453.94	67.2	2934.55
68.2	4244.85	69.2	2134.55	70.2	2404.24	71.2	734.55
72.2	715.76	73.2	560.00	77.1	2004.24	78.3	4582.42
79.1	5564.85	80.1	10133.94	81.1	1770.91	82.3	1446.06
83.1	1150.91	84.1	2573.33	85.2	614.55	86.2	399.39
86.7	177.58	87.2	453.33	91.2	12341.21	92.2	86098.79
93.2	124834.55	94.2	15486.06	95.2	3116.36	96.2	1032.73
97.2	369.09	98.1	392.73	99.2	286.06	100.4	236.97
100.9	109.70	103.2	161.21	104.2	181.82	105.2	4164.85
106.1	2147.27	107.2	10651.52	108.2	4536.97	109.2	183.64
110.3	1076.36	112.2	373.33	113.3	173.33	117.1	518.18
118.0	194.55	119.2	3820.00	120.2	1263.03	121.2	28616.36
122.1	4133.33	124.4	101.21	127.4	102.42	132.3	2345.45
134.3	4204.85	135.3	736.36	136.3	50815.76	137.1	4620.00
154.2	155.15	166.0	180.61	204.4	142.42	216.2	273.33

65010.078



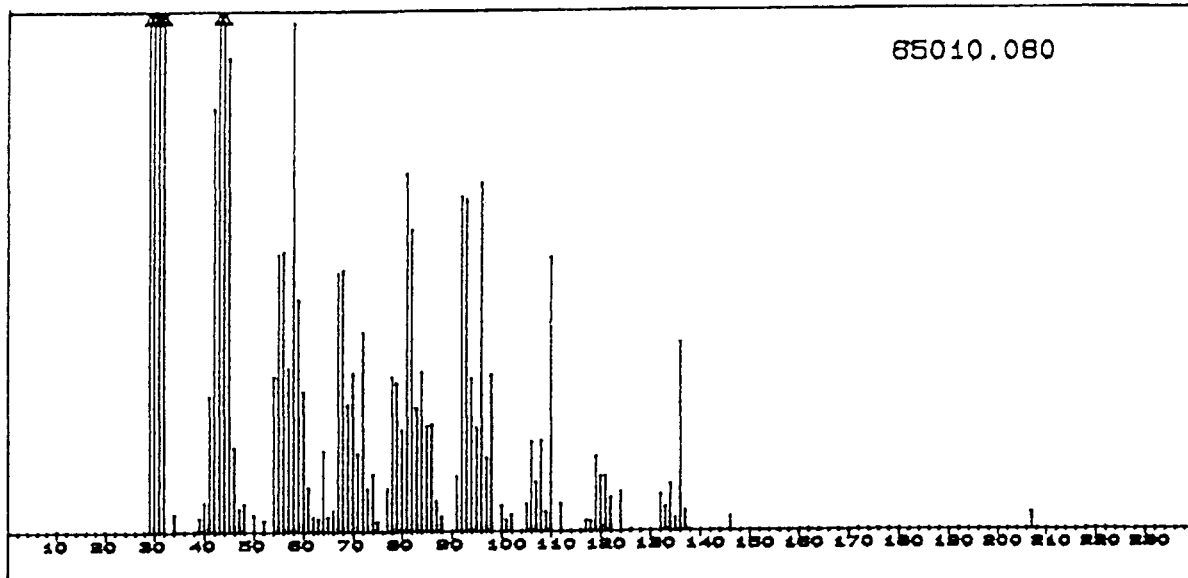
Wire No.: 78 (No. of Peaks: 73)

m/z	intensity	m/z	intensity	m/z	intensity	m/z	intensity
29.1	19900.61	30.4	18720.61	31.5	6400.61	32.3	4698.18
40.3	130.91	41.4	1174.55	42.4	3350.91	43.3	9363.64
44.3	78642.42	45.3	12444.24	47.3	129.70	54.5	138.18
55.3	1203.64	56.3	3390.30	57.3	2266.06	58.3	4524.85
59.3	484.24	60.2	645.45	62.2	361.82	66.1	215.15
67.2	1409.70	68.2	730.30	69.2	606.06	70.2	795.76
71.2	301.82	72.2	656.36	73.2	312.73	75.3	298.79
77.3	716.97	78.3	3313.94	79.3	1154.55	80.1	339.39
81.1	3607.88	82.1	860.61	83.1	529.70	84.3	661.21
85.2	340.61	86.2	543.03	87.2	395.15	89.9	106.06
91.2	864.85	92.2	3050.91	93.2	850.30	94.2	552.12
95.0	123.64	96.2	2449.09	97.3	462.42	99.3	238.18
100.1	130.30	101.3	152.12	102.1	189.70	103.2	140.00
105.1	202.42	106.2	994.55	107.3	368.48	108.2	1673.33
109.3	203.64	112.2	196.36	114.2	270.30	115.1	106.67
117.1	176.36	119.4	212.12	119.6	114.55	120.4	255.76
121.2	121.21	122.4	124.24	123.1	115.15	130.1	176.36
132.1	2032.12	133.1	332.73	136.1	343.64	166.0	387.88
208.3	144.24						



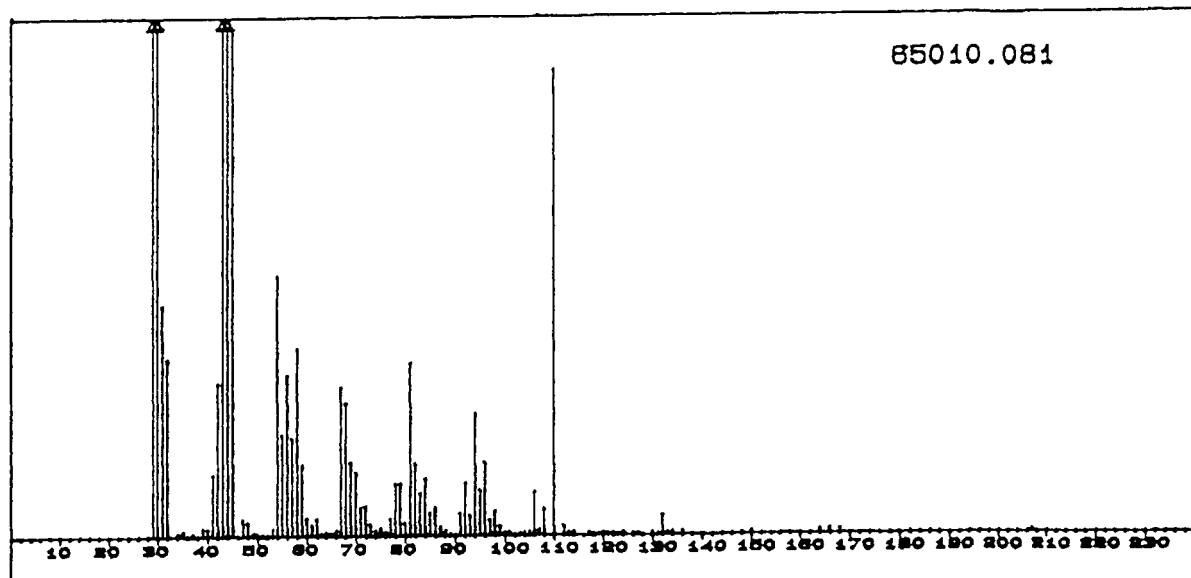
Wire No.: 79 (No. of Peaks: 67)

m/z	intensity	m/z	intensity	m/z	intensity	m/z	intensity
29.1	17756.97	30.3	24226.06	31.5	4100.00	32.3	2056.36
33.5	185.45	40.3	156.97	41.4	947.88	42.3	4373.94
43.3	9536.97	44.3	48647.88	45.3	3227.88	46.4	416.97
55.3	350.91	56.3	4181.21	57.3	4399.39	58.3	3325.45
59.5	362.42	61.3	276.97	67.2	390.91	68.2	353.94
69.2	631.52	70.2	455.15	71.2	892.12	72.2	312.12
73.4	138.18	75.3	249.70	77.3	437.58	78.3	746.06
79.1	324.24	81.1	683.03	82.3	466.06	83.0	827.88
84.3	1196.36	85.2	671.52	86.3	1169.70	87.2	229.09
92.2	5638.79	93.2	5233.33	94.2	718.18	95.2	207.88
96.1	542.42	97.2	288.48	99.2	130.30	101.1	269.09
104.2	136.97	105.1	375.15	106.2	923.03	107.2	446.67
108.1	193.33	110.1	170.91	112.1	150.91	117.1	338.79
118.2	131.52	119.1	287.27	120.2	508.48	121.2	806.06
130.0	313.33	130.9	101.82	132.1	390.30	133.0	126.06
134.1	326.06	136.3	1730.91	137.3	502.42	152.3	132.12
164.1	362.42	166.0	253.94	207.1	139.39		



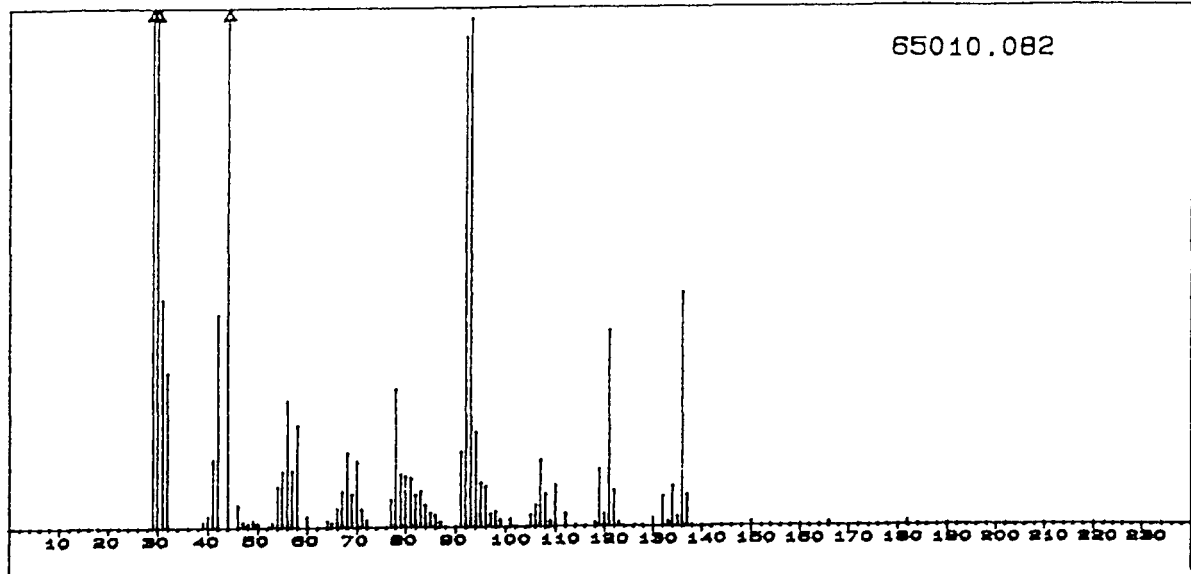
Wire No.: 80 (No. of Peaks: 84)

m/z	intensity	m/z	intensity	m/z	intensity	m/z	intensity
29.1	20834.54	30.3	23421.21	31.4	11910.30	32.3	12703.03
34.3	196.97	39.3	152.73	40.3	330.91	41.4	1549.70
42.3	4873.33	43.3	22641.82	44.3	61061.82	45.3	5458.18
46.3	961.82	47.2	263.64	48.3	317.58	50.3	191.52
52.3	121.82	54.2	1770.91	55.3	3173.33	56.3	3206.67
57.3	1861.82	58.3	5869.09	59.3	2645.45	60.2	1603.03
61.2	504.24	62.2	169.70	63.2	151.52	64.2	919.39
65.4	171.52	66.2	235.76	67.2	2955.76	68.2	2986.67
69.2	1445.45	70.2	1803.64	71.2	889.09	72.2	2272.12
73.1	484.85	74.3	648.48	75.1	105.45	77.3	482.42
78.3	1763.03	79.1	1689.09	80.1	1149.70	81.1	4113.33
82.3	3455.76	83.1	1403.03	84.1	1820.00	85.2	1200.00
86.2	1220.00	87.2	341.21	88.0	163.64	91.2	627.88
92.2	3836.97	93.2	3801.21	94.2	1746.67	95.2	1176.36
96.2	4001.21	97.2	838.18	98.2	1786.06	100.3	290.91
101.2	126.06	102.1	184.85	105.1	312.12	106.2	1024.24
107.2	560.00	108.1	1036.36	109.1	213.94	110.2	3132.73
112.2	315.15	117.2	118.18	118.0	111.52	119.2	852.12
120.1	627.27	121.1	624.85	122.2	385.45	124.1	447.27
132.3	411.52	133.0	264.24	134.3	533.94	135.3	144.24
136.3	2145.45	137.3	224.85	146.4	154.55	207.1	174.55



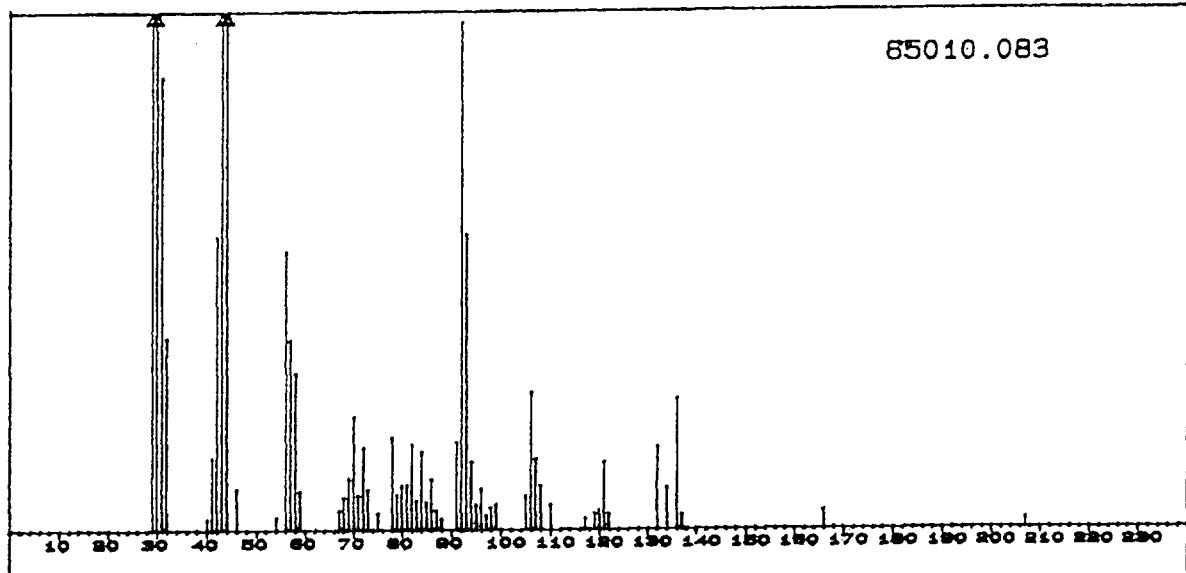
Wire No.: 81 (No. of Peaks:102)

m/z	intensity	m/z	intensity	m/z	intensity	m/z	intensity
29.1	89424.85	30.3	133496.36	31.3	27019.39	32.3	20660.61
34.3	376.97	35.3	590.30	37.2	231.52	39.3	885.45
40.3	824.24	41.4	7265.45	42.4	17944.24	43.3	64308.48
44.3	195261.22	45.3	59587.27	47.3	1904.24	48.3	1544.85
49.2	248.48	50.2	198.79	51.3	144.24	52.3	143.64
53.3	910.30	54.3	30366.67	55.3	11866.67	56.3	18787.27
57.3	11405.45	58.3	21868.48	59.3	8265.45	60.2	2123.64
61.3	1265.45	62.2	1986.67	63.4	263.03	64.1	411.52
65.4	267.27	66.2	736.97	67.2	17396.97	68.2	15573.33
69.2	8645.45	70.2	7434.55	71.2	3320.61	72.2	3461.82
73.2	1315.15	74.3	617.58	75.3	914.55	76.3	448.48
77.3	2046.67	78.3	6135.76	79.1	6152.12	80.3	1483.03
81.3	20223.03	82.1	8455.76	83.1	4996.36	84.3	6626.06
85.2	2676.36	86.3	3247.88	87.3	995.15	88.2	521.21
89.4	127.88	91.2	2601.82	92.2	6195.15	93.2	2412.73
94.2	14213.94	95.2	5328.48	96.2	8613.33	97.2	1835.76
98.2	2810.30	99.1	1060.00	100.1	386.67	101.1	326.67
102.2	102.42	103.1	172.12	104.2	326.67	104.7	140.00
105.2	338.18	106.2	5102.42	107.1	638.79	108.2	3092.73
110.2	54544.24	112.2	1067.88	113.3	411.52	114.3	383.03
117.2	317.58	118.0	195.15	119.2	130.91	120.2	309.09
121.1	203.03	122.2	237.58	123.4	102.42	124.2	372.73
126.2	171.52	127.4	185.45	130.0	303.64	131.0	116.97
132.1	2304.85	133.3	280.00	134.3	385.45	136.3	398.79
147.9	156.97	150.2	395.15	164.0	484.24	166.0	564.24
168.0	484.24	207.2	322.42				



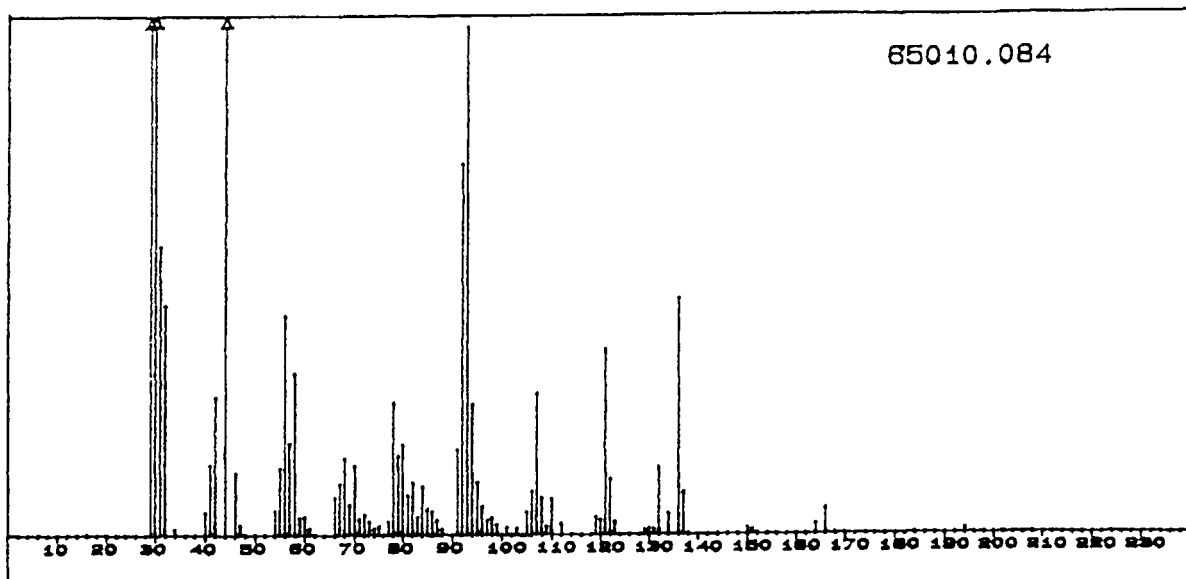
Wire No.: 82 (No. of Peaks: 74)

m/z	intensity	m/z	intensity	m/z	intensity	m/z	intensity
29.1	39156.36	30.3	16986.06	31.2	6862.42	32.3	4665.45
39.4	173.33	40.3	353.33	41.3	2043.64	42.3	6407.88
44.3	122079.39	46.3	666.67	47.2	147.27	48.1	104.85
49.3	170.30	50.4	109.70	53.2	119.39	54.2	1224.85
55.2	1690.91	56.3	3806.06	57.3	1720.61	58.2	3075.76
60.2	336.97	64.1	189.70	65.2	126.06	66.2	553.94
67.2	1069.70	68.1	2238.79	69.1	995.76	70.2	1966.06
71.2	535.76	72.1	207.88	77.1	824.24	78.1	4124.85
79.1	1587.88	80.1	1524.24	81.1	1468.48	82.1	966.06
83.1	1085.45	84.1	668.48	85.0	426.67	86.0	354.55
87.0	160.00	91.0	2263.03	92.2	14777.58	93.2	15329.09
94.0	2825.45	95.2	1326.67	96.1	1209.09	97.1	387.88
98.2	457.58	99.1	188.48	100.9	218.18	105.1	352.73
106.2	661.82	107.1	2000.00	108.2	974.55	109.3	149.70
110.2	1236.97	112.1	376.97	118.0	125.45	119.2	1714.55
120.2	364.24	121.2	5874.55	122.1	1089.70	123.2	101.82
130.0	226.67	132.1	895.15	133.3	142.42	134.1	1209.09
135.1	299.39	136.1	6995.76	137.1	933.94	149.9	130.30
166.0	107.27	182.3	127.27				



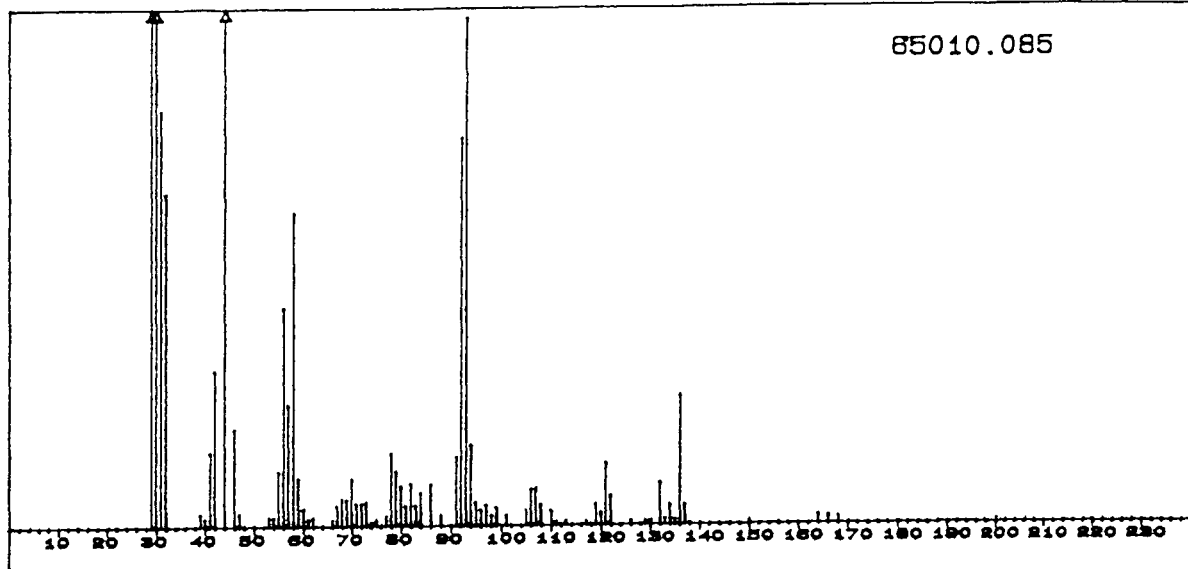
Wire No.: 83 (No. of Peaks: 62)

m/z	intensity	m/z	intensity	m/z	intensity	m/z	intensity
29.1	14826.67	30.3	14936.36	31.2	4189.70	32.3	1778.18
40.3	101.21	41.3	667.88	42.3	2717.58	43.3	4709.09
44.3	47286.67	46.3	375.76	54.2	117.58	55.5	502.42
56.3	2079.39	57.2	1760.00	58.3	1454.55	59.3	357.58
67.1	181.21	68.2	304.85	68.7	151.52	69.2	329.70
70.2	1047.27	71.2	319.39	72.2	760.00	73.2	370.30
75.3	152.12	78.1	852.73	79.3	325.45	80.3	410.91
81.0	415.15	82.1	788.48	83.1	270.91	84.1	720.00
85.2	250.30	86.2	465.45	87.3	175.76	88.3	100.00
91.2	810.91	92.2	4692.73	93.2	2741.21	94.2	626.67
95.0	229.70	96.2	381.82	97.1	136.97	98.2	209.09
98.8	106.06	99.1	127.88	105.2	315.15	106.2	1272.73
107.1	655.76	108.2	406.06	110.3	231.52	117.4	103.64
119.1	151.52	120.4	178.79	121.1	624.24	122.1	144.24
132.1	763.03	134.3	386.06	136.1	1211.52	137.3	132.12
165.8	170.30	207.1	100.00				



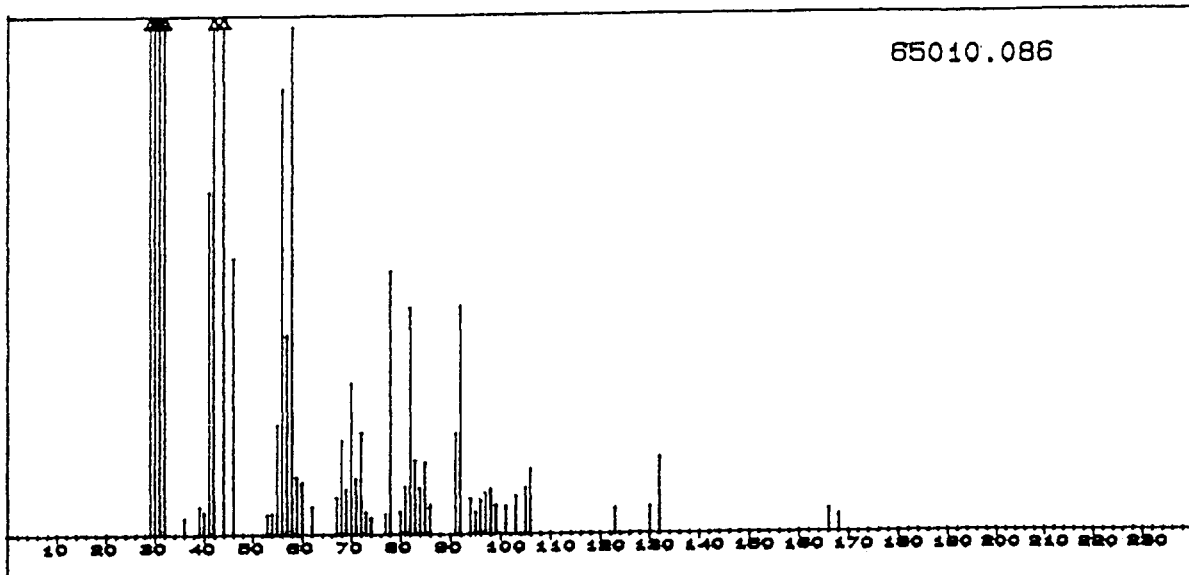
Wire No.: 84 (No. of Peaks: 77)

m/z	intensity	m/z	intensity	m/z	intensity	m/z	intensity
29.1	35260.00	30.3	37114.55	31.4	7048.48	32.3	5629.70
34.0	134.55	39.5	115.76	40.3	450.91	41.3	1727.27
42.3	3392.73	44.3	181393.94	46.3	1532.73	47.3	247.88
54.3	609.70	55.3	1629.70	56.3	5358.79	57.3	2244.24
58.3	3968.48	59.3	433.94	60.3	449.09	61.2	159.39
66.2	915.15	67.2	1263.64	68.2	1890.91	69.1	729.70
70.2	1701.82	71.2	389.09	72.1	501.21	73.1	319.39
74.3	157.58	75.1	216.36	77.1	320.00	78.1	3244.24
79.1	1945.45	80.1	2213.94	81.1	970.91	82.3	1287.27
83.1	448.48	84.1	1187.88	85.2	629.70	86.2	571.52
87.3	363.64	88.4	143.03	91.2	2097.58	92.2	9027.88
93.2	12389.09	94.0	3196.97	95.2	1278.18	96.2	680.61
97.2	352.73	98.1	423.03	99.2	247.27	101.2	166.06
103.1	153.94	105.2	570.30	106.1	1063.64	107.2	3465.45
108.2	879.39	109.2	200.61	110.2	869.09	112.2	263.03
119.1	435.76	120.2	358.79	121.2	4521.82	122.1	1358.79
123.2	309.70	129.0	112.73	129.9	148.48	130.9	131.52
132.1	1649.09	134.3	510.30	136.3	5775.15	137.1	1027.27
150.2	146.67	151.1	102.42	164.0	235.76	166.0	618.79
194.0	106.06						



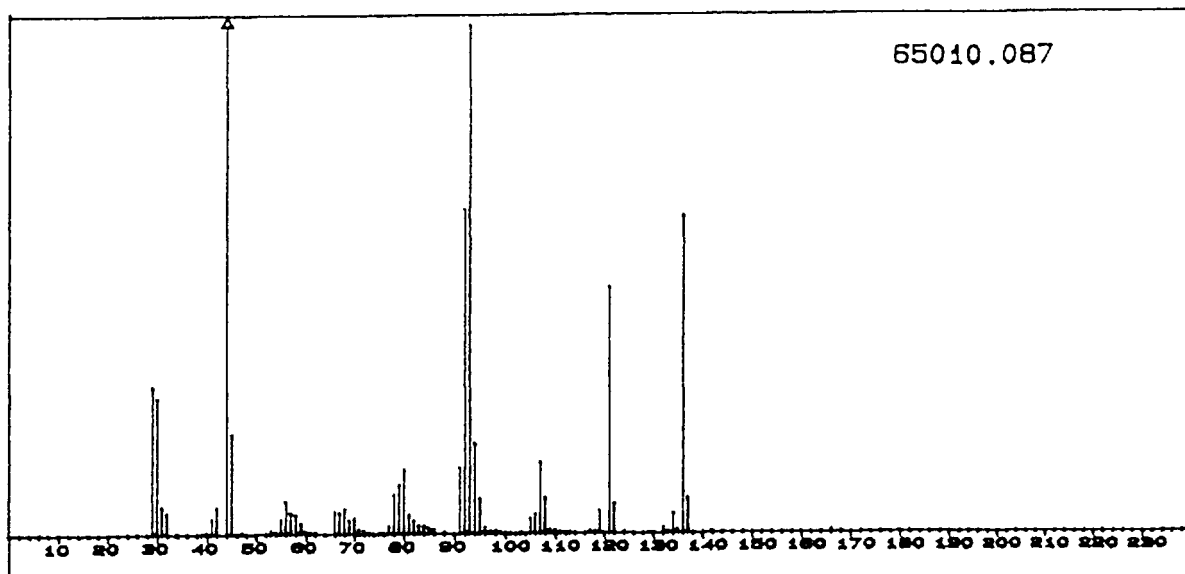
Wire No.: 85 (No. of Peaks: 77)

m/z	intensity	m/z	intensity	m/z	intensity	m/z	intensity
29.1	66203.03	30.3	101844.24	31.3	13109.09	32.3	10509.09
39.3	390.30	40.4	244.85	41.4	2350.30	42.3	4938.79
44.3	219447.27	46.3	3090.91	47.3	406.06	53.2	274.55
54.3	287.88	55.2	1731.52	56.3	6908.48	57.3	3848.48
58.3	9909.70	59.2	1523.03	60.3	550.91	61.2	237.58
62.2	269.09	66.4	187.27	67.2	638.18	68.2	861.21
69.2	843.64	70.2	1492.73	71.2	712.12	72.2	721.21
73.1	763.64	74.3	100.00	75.1	163.64	77.1	289.70
78.1	2300.00	79.1	1716.97	80.1	1243.03	81.1	644.85
82.3	1328.48	83.1	653.33	84.3	1047.27	86.3	1303.64
88.2	316.97	91.2	2180.00	92.2	12251.52	93.2	16031.52
94.0	2563.03	95.2	741.21	96.2	506.06	97.2	644.85
98.3	327.88	99.1	572.12	100.9	309.70	105.2	486.67
106.2	1142.42	107.2	1183.64	108.2	648.48	110.1	460.61
111.1	107.88	113.2	100.61	117.1	108.48	119.1	649.09
120.2	405.45	121.2	1947.88	122.1	913.33	125.7	114.55
128.8	105.45	130.0	124.85	132.1	1316.36	133.1	173.33
134.1	616.36	135.0	150.30	136.1	4106.06	137.3	624.85
150.1	110.30	164.0	261.82	166.0	232.73	167.8	198.79
199.9	103.03						



Wire No.: 86 (No. of Peaks: 54)

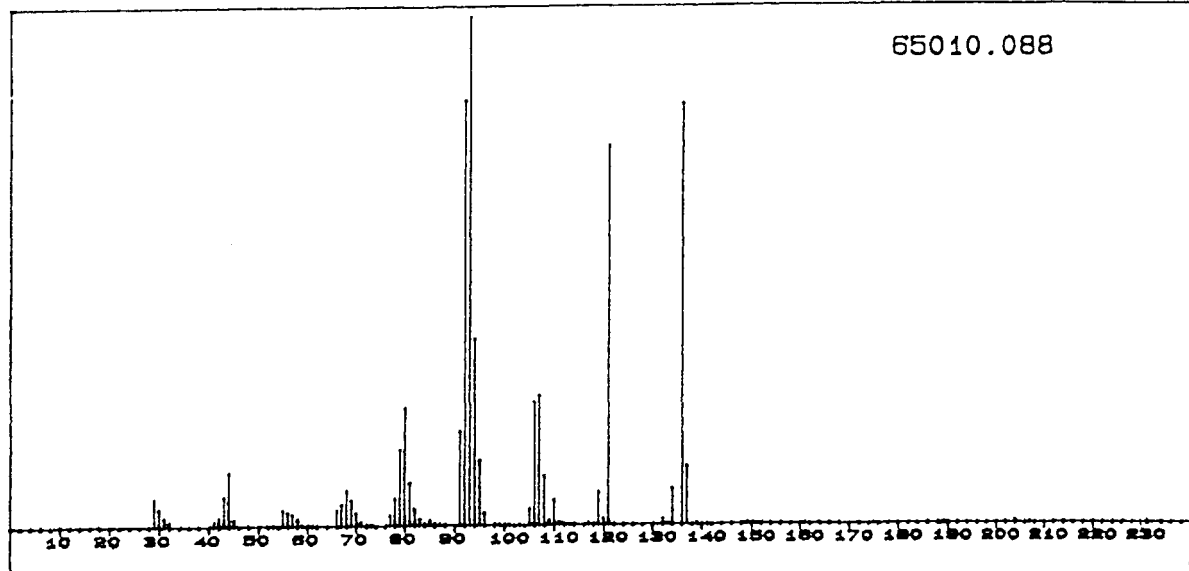
m/z	intensity	m/z	intensity	m/z	intensity	m/z	intensity
29.1	56403.03	30.3	53454.55	31.2	6569.70	32.3	3618.79
36.3	100.61	39.3	172.73	40.2	138.18	41.3	2116.97
42.3	3688.48	44.3	184929.09	46.2	1710.91	53.3	124.85
54.3	133.33	55.2	674.55	56.2	2739.39	57.3	1231.52
58.2	3126.06	59.2	353.33	60.1	315.76	62.2	168.48
67.2	227.88	68.2	576.36	69.2	275.76	70.1	929.09
71.2	343.64	72.1	627.27	73.1	136.97	74.1	101.21
77.3	124.24	78.1	1625.45	80.1	139.39	81.0	290.30
82.1	1400.61	83.0	452.73	84.1	281.21	84.9	438.79
86.3	177.58	91.0	619.39	92.2	1409.70	93.9	216.97
95.0	133.94	96.2	206.06	97.2	251.52	98.1	275.15
99.2	176.97	101.1	170.91	103.1	232.12	104.9	284.85
106.1	398.79	122.5	157.58	129.9	162.42	132.0	465.45
165.8	141.21	168.0	118.18				



Wire No.: 87 (No. of Peaks: 85)

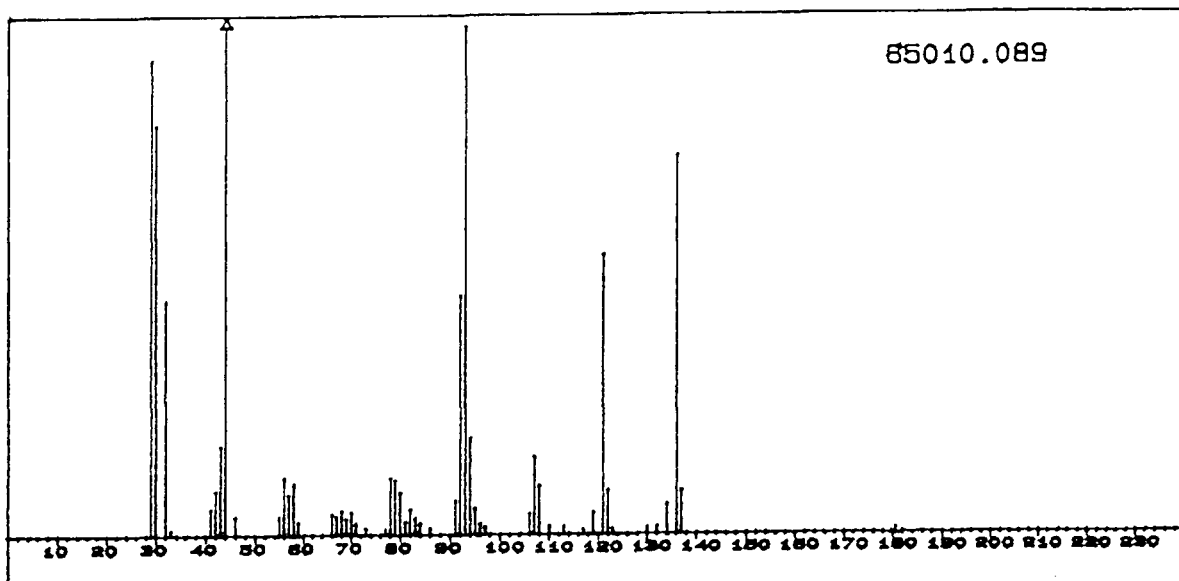
m/z	intensity	m/z	intensity	m/z	intensity	m/z	intensity
29.1	44827.88	30.3	41387.88	31.4	8417.58	32.3	6527.27
34.3	176.36	36.2	108.48	39.2	256.97	40.3	507.27
41.3	4687.88	42.4	8049.09	44.3	203329.70	45.3	30426.06
47.2	427.88	52.3	193.33	53.3	1044.24	54.3	595.15
55.3	4450.30	56.3	9946.06	57.3	6476.36	58.3	5850.91
59.3	3057.58	60.1	710.91	61.3	180.00	62.2	305.45
66.2	6862.42	67.2	6543.64	68.2	7766.06	69.2	4386.06
70.2	4715.15	71.1	1175.15	72.2	818.79	73.1	261.82
75.3	195.15	76.1	255.15	77.1	2381.82	78.1	12082.42
79.1	14975.15	80.1	19678.79	81.1	5615.76	82.1	3951.52
83.1	2498.79	84.1	2261.82	84.9	1470.91	86.2	1306.06
88.2	296.97	91.2	20009.09	92.2	98744.85	93.2	155026.06
94.0	27324.24	95.2	10614.55	96.1	1819.39	97.2	746.06
98.2	731.52	99.1	376.36	100.1	104.85	100.6	115.15
102.9	243.03	105.2	4625.45	106.2	5947.27	107.2	21735.76
108.1	10860.61	109.2	1130.30	110.2	952.73	111.1	189.70
112.2	319.39	113.2	241.21	117.2	798.79	118.1	553.94
119.1	6870.30	121.2	74633.34	122.1	8986.06	124.0	330.91
128.9	140.61	130.0	149.70	132.1	1734.55	133.3	466.67
134.1	6070.30	135.3	1013.94	136.3	96583.63	137.1	10656.97
141.8	114.55	142.4	120.00	163.8	236.36	166.0	966.67
167.8	364.85						

65010.088



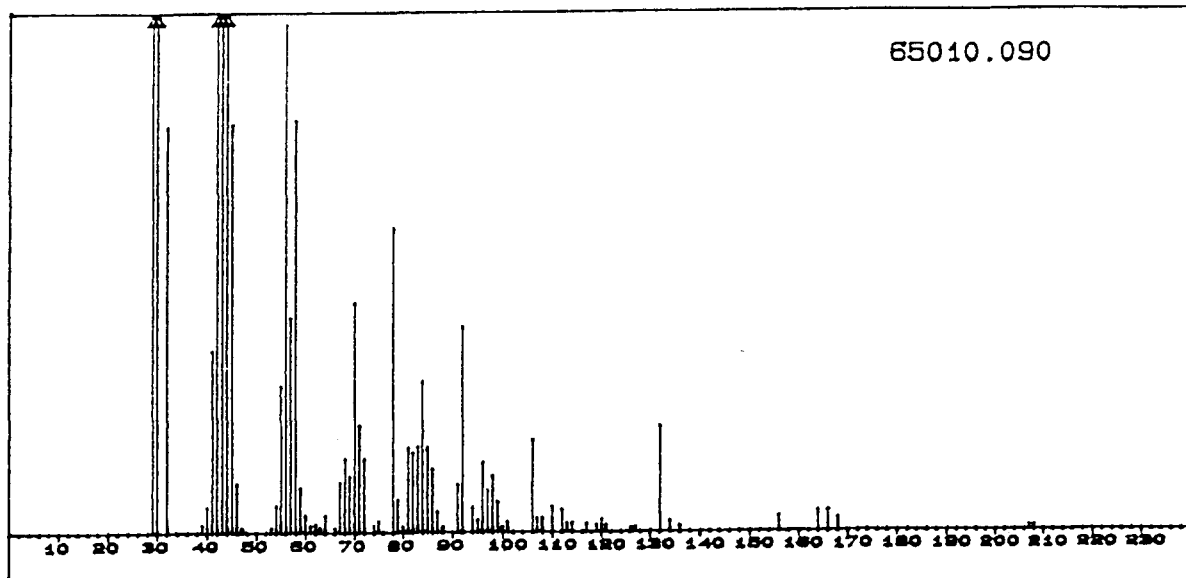
Wire No.: 88 (No. of Peaks: 91)

m/z	intensity	m/z	intensity	m/z	intensity	m/z	intensity
29.1	11730.91	30.3	7610.30	31.4	3820.00	32.3	1824.24
41.4	2047.88	42.4	3800.61	43.3	12658.18	44.3	22663.03
45.3	2621.82	53.2	197.58	54.5	4466.06	55.3	2481.21
56.3	5996.36	57.3	4890.91	58.3	2830.30	59.2	386.06
60.3	186.67	61.3	146.06	66.2	6846.67	67.2	9247.88
68.2	15272.12	69.2	10770.30	70.2	5391.52	71.4	1684.24
72.2	398.79	73.1	408.48	77.1	4573.94	78.3	11295.76
79.3	32164.24	80.3	50313.33	81.1	18204.24	82.3	7123.64
83.1	2633.33	84.4	715.76	85.2	2033.94	86.2	633.33
87.0	175.76	87.9	144.24	91.2	40238.79	92.2	182374.55
93.2	217755.16	94.2	79932.13	95.2	27712.12	96.2	5283.03
98.2	407.27	99.2	344.85	100.1	201.82	101.1	370.30
103.1	224.24	105.2	6993.33	106.2	52717.57	107.2	55343.03
108.2	20818.18	109.1	2170.30	110.2	10592.12	111.2	1233.33
112.3	334.55	113.1	108.48	114.2	301.21	116.1	109.70
117.1	771.52	118.1	304.24	119.2	13885.45	120.2	2405.45
121.2	162909.70	124.2	203.03	126.2	246.06	130.0	129.09
130.9	129.70	132.3	2416.36	133.3	471.52	134.3	15310.91
136.3	180739.39	137.1	24725.46	139.3	188.48	141.0	102.42
146.0	108.48	149.2	414.55	150.4	556.36	151.2	147.27
152.2	210.91	161.3	106.67	163.8	190.91	165.8	321.82
168.1	152.73	175.2	229.70	189.3	244.24	202.2	130.91
204.3	630.30	207.1	137.58	231.0	129.70		



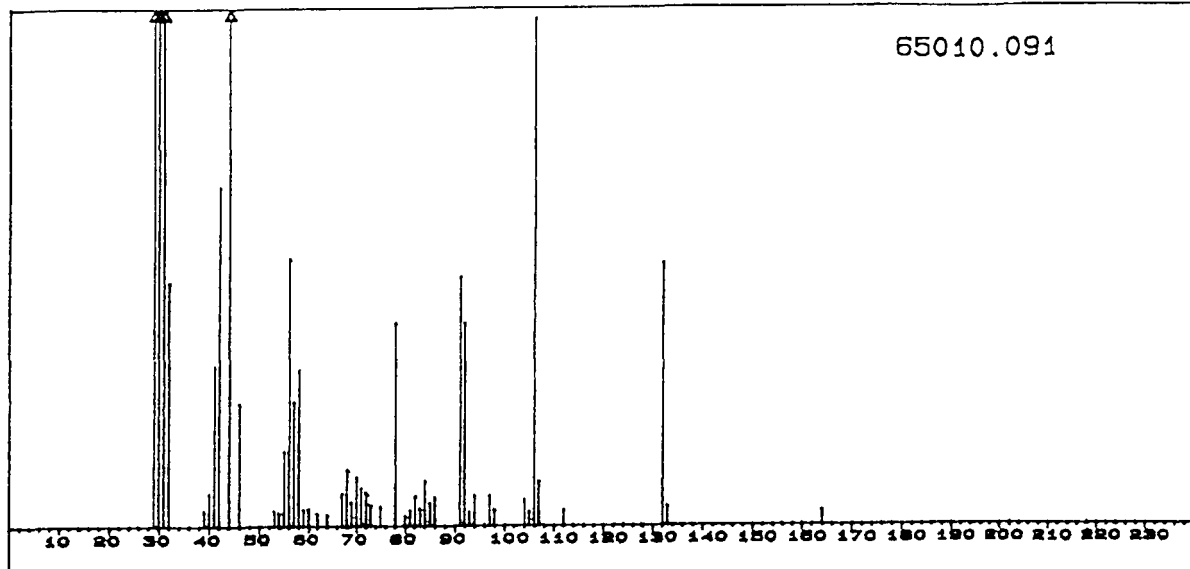
Wire No.: 89 (No. of Peaks: 55)

m/z	intensity	m/z	intensity	m/z	intensity	m/z	intensity
29.1	11338.79	30.3	9776.36	31.5	4167.88	32.3	1426.67
33.4	124.85	41.4	626.06	42.3	1044.85	43.4	2110.30
44.3	60301.82	46.2	431.52	55.3	442.42	56.3	1354.55
57.3	956.97	58.3	1208.48	59.2	293.33	66.2	496.36
67.2	423.64	68.4	571.52	69.4	378.79	70.2	533.94
71.2	266.06	73.4	150.30	77.1	122.42	78.3	1349.70
79.3	1283.64	80.3	1002.42	81.1	304.85	82.1	609.70
83.1	393.94	84.4	263.03	86.4	141.82	91.2	808.48
92.2	5707.88	93.2	12113.33	94.0	2290.30	95.2	615.76
96.1	248.48	97.1	173.33	105.6	184.85	106.1	305.45
107.2	1842.42	108.2	1153.94	110.1	187.27	113.2	172.73
117.4	107.27	119.1	525.45	121.2	6673.33	122.2	1040.00
123.2	119.39	129.8	143.64	132.1	181.82	134.1	707.88
136.3	9024.24	137.3	1027.88	181.2	109.70		



Wire No.: 90 (No. of Peaks: 78)

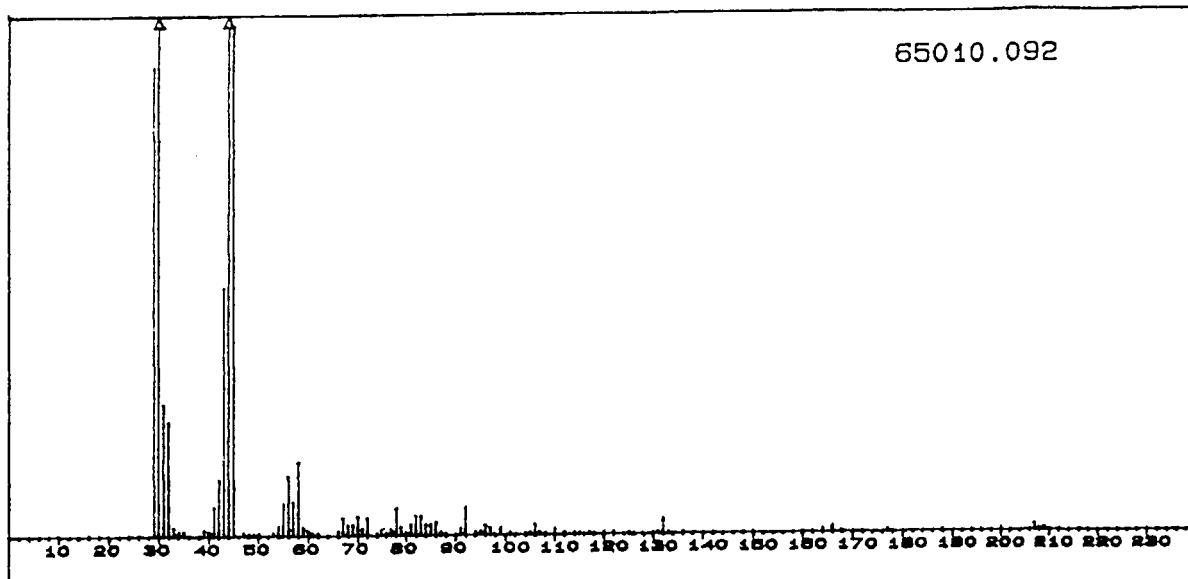
m/z	intensity	m/z	intensity	m/z	intensity	m/z	intensity
29.1	32750.30	30.3	25029.70	31.5	5332.12	32.3	4763.03
39.3	182.42	40.3	626.06	41.4	4497.58	42.4	14018.18
43.3	16509.70	44.3	125611.52	45.3	10149.70	46.3	1212.12
47.3	106.06	53.3	129.09	54.3	678.79	55.3	3624.85
56.3	12630.91	57.3	5323.03	58.3	10247.88	59.3	1104.24
60.3	429.09	61.2	155.76	62.2	212.12	63.2	117.58
64.1	420.00	66.2	107.88	67.2	1236.97	68.2	1838.18
69.2	1390.91	70.2	5686.67	71.2	2646.06	72.2	1820.00
74.1	165.45	75.3	275.76	78.3	7555.15	79.1	812.12
80.1	127.27	81.3	2080.00	82.3	1964.85	83.1	2121.21
84.3	3738.18	85.2	2074.55	86.3	1564.85	87.0	512.12
88.2	132.12	91.2	1197.58	92.2	5084.24	94.2	605.45
95.2	298.18	96.2	1723.64	97.2	1024.24	98.2	1392.73
99.2	743.64	100.3	128.48	101.1	244.24	106.2	2286.06
107.2	336.36	108.2	345.45	109.6	134.55	110.3	495.76
112.1	562.42	113.2	216.97	114.2	230.30	116.8	198.18
119.2	178.79	120.1	321.21	121.2	174.55	126.4	107.88
127.2	113.33	132.1	2603.03	134.1	269.70	136.1	135.15
156.4	374.55	164.1	506.67	166.0	521.82	167.8	324.24
207.1	110.91	208.2	100.00				



Wire No.: 91 (No. of Peaks: 51)

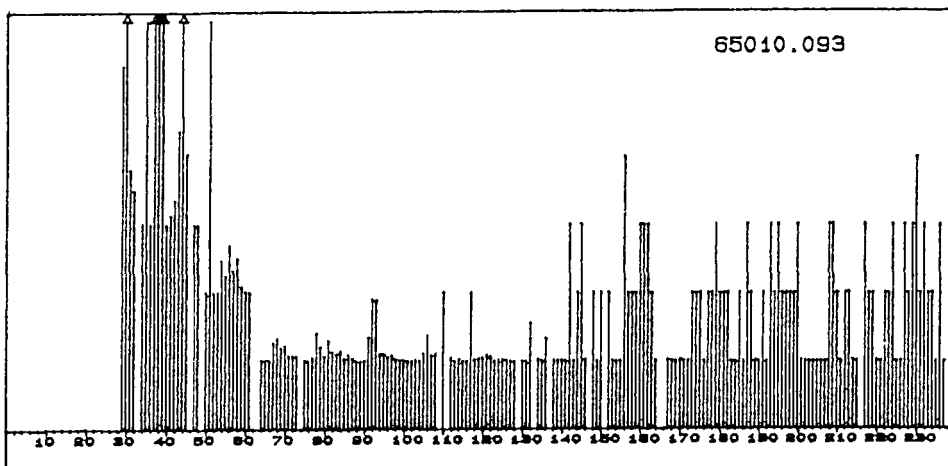
m/z	intensity	m/z	intensity	m/z	intensity	m/z	intensity
29.1	33753.33	30.3	13093.94	31.2	5692.12	32.3	2351.52
39.3	152.73	40.4	316.97	41.3	1546.06	42.3	3261.21
44.3	135025.45	46.2	1185.45	53.2	147.88	54.2	126.06
55.3	723.03	56.3	2581.82	57.2	1206.06	58.3	1515.76
59.3	164.24	60.2	170.30	62.2	123.03	64.1	112.73
67.2	316.97	68.1	543.03	69.1	233.33	70.1	471.52
71.2	364.85	72.2	320.61	73.1	200.61	74.9	184.24
78.1	1959.39	80.3	104.24	81.1	155.15	82.0	287.88
83.3	171.52	84.3	433.94	85.2	223.03	86.0	278.79
91.0	2398.18	92.2	1963.64	93.2	132.12	93.7	106.06
94.0	184.24	96.8	289.09	98.1	156.36	104.1	252.12
105.2	134.55	106.2	4872.12	107.2	429.70	111.5	146.06
132.0	2531.52	133.1	183.64	164.1	133.33		

65010.092



Wire No.: 92 (No. of Peaks: 87)

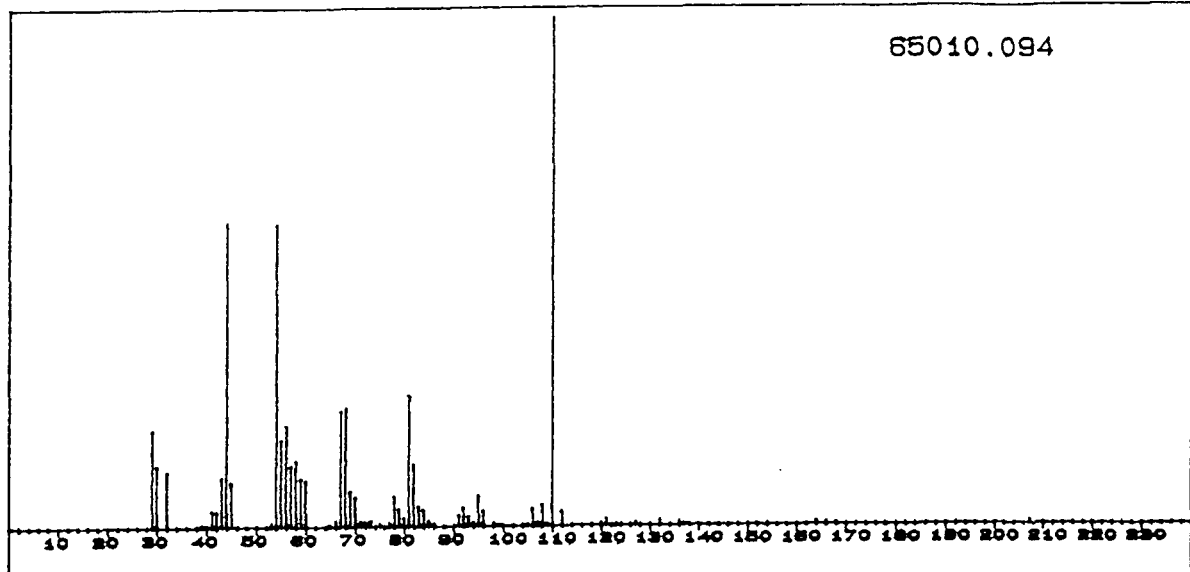
m/z	intensity	m/z	intensity	m/z	intensity	m/z	intensity
29.1	52268.48	30.3	57895.76	31.4	14667.88	32.3	12719.39
33.4	932.12	34.3	410.91	35.4	469.09	39.4	707.27
40.3	520.61	41.3	3278.18	42.3	6343.03	43.3	27593.33
44.3	193181.81	45.3	56838.18	47.2	303.03	48.4	147.88
48.9	100.61	50.2	216.97	53.2	274.55	54.3	1069.70
55.3	3578.79	56.3	6630.30	57.3	3792.12	58.3	8286.67
59.2	872.12	60.2	518.18	61.1	108.48	62.1	230.91
66.4	497.58	67.2	1912.12	68.1	1101.82	69.2	1181.82
70.2	2126.06	71.2	742.42	71.6	457.58	72.2	1426.06
74.1	178.79	75.1	607.88	76.0	150.30	77.1	607.27
78.3	2977.58	79.1	893.33	80.3	267.27	81.1	1203.03
82.3	2168.48	83.1	2231.52	84.3	1107.88	85.2	1246.67
86.2	1498.79	87.2	360.61	88.2	119.39	91.2	735.76
92.2	3063.03	94.2	298.79	95.3	435.76	96.2	1092.73
97.4	784.24	99.1	733.94	101.1	238.18	104.2	164.85
105.1	284.24	106.2	1100.61	107.3	226.67	108.3	131.52
110.2	636.36	112.3	252.73	114.3	169.09	115.2	112.12
117.2	120.61	120.2	190.91	122.1	146.67	125.1	112.12
130.0	105.45	131.1	204.24	132.1	1743.03	133.1	145.45
136.1	107.27	150.1	132.73	164.0	392.12	165.8	666.67
167.6	121.82	177.1	215.15	188.1	160.00	200.0	256.97
207.1	767.27	207.9	217.58	209.2	150.30		



Wire No.: 93 (No. of Peaks: 279)

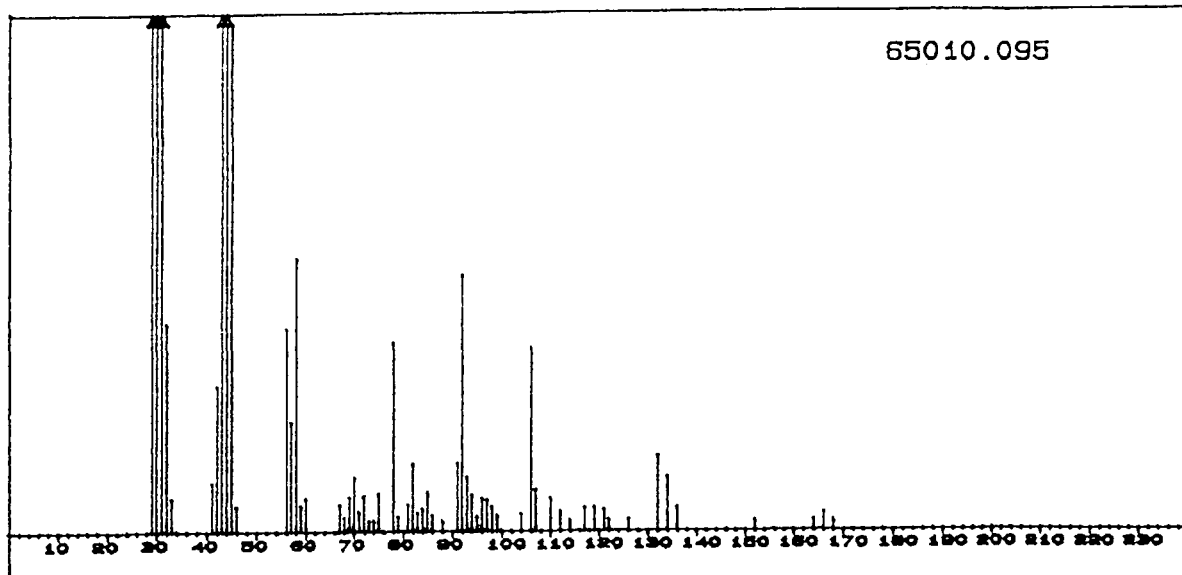
m/z	intensity	m/z	intensity	m/z	intensity	m/z	intensity
29.1	39740.00	30.4	48087.27	31.4	28343.64	32.3	26040.00
34.3	22411.52	35.2	22307.27	35.4	22309.70	36.3	22365.46
36.9	22304.24	37.2	22306.06	37.4	22304.85	37.7	22307.27
38.0	22303.03	38.3	22305.46	38.5	22304.24	39.4	22470.91
40.4	22354.54	41.3	23350.91	42.3	24989.70	43.3	32601.21
44.3	107030.91	45.3	30112.73	47.3	22345.46	47.8	22327.27
50.1	14920.61	50.8	14882.42	51.2	14884.24	51.4	14881.21
52.2	14896.97	53.3	14933.33	54.3	18347.27	55.3	16734.54
56.3	20030.91	57.3	17273.94	58.3	18598.18	59.2	15567.27
60.3	14976.36	61.3	14963.64	64.1	7546.06	65.4	7513.33
66.1	7496.97	67.2	9452.12	68.2	9856.36	69.2	8883.64
70.4	9122.42	71.2	8017.58	72.2	8023.03	73.4	7927.88
75.1	7564.24	76.3	7436.36	77.1	7834.55	78.1	10526.67
79.1	8986.06	80.1	7975.15	81.3	9673.94	82.1	8451.52
83.3	8207.27	84.3	8598.79	85.2	7764.85	86.0	8150.91
87.2	7753.94	88.2	7478.79	88.9	7415.76	89.8	7429.09
91.3	10012.73	92.3	14206.06	93.2	14080.81	94.2	8218.18
95.2	8230.30	96.1	7844.85	97.2	8047.27	98.3	7601.82
99.2	7516.36	100.3	7573.94	101.1	7456.36	102.2	7452.12
103.2	7540.61	103.9	7495.76	105.1	8183.64	106.2	10163.64
107.1	8007.88	108.2	8169.09	110.2	14954.55	112.2	7764.24
113.2	7440.00	114.2	7647.88	115.2	7423.64	116.3	7430.30
116.6	7420.00	117.1	7493.33	118.0	7533.94	119.2	7734.55
120.1	7774.55	121.2	8078.18	122.2	7923.64	123.2	7458.18
124.2	7572.12	125.2	7596.36	126.1	7532.12	127.0	7449.70
128.4	7424.85	130.0	7458.79	130.8	7413.94	132.1	11572.12
134.0	7673.33	135.1	7476.97	136.1	9932.12	138.4	7487.27
139.0	7454.55	140.2	7506.06	140.9	7432.12	141.8	7409.70
142.0	7409.09	142.4	7412.12	143.3	7433.94	144.0	7412.12
144.3	7415.76	144.7	7412.73	144.9	7413.33	145.2	7410.91
146.2	7552.73	147.7	7416.36	148.2	7449.70	149.3	7423.64
149.6	7430.30	150.2	7464.24	151.8	7413.33	152.4	7406.67
153.2	7454.55	154.3	7409.09	154.9	7457.58	155.7	7409.70
155.9	7409.09	156.2	7412.73	156.4	7408.48	156.9	7412.73
157.2	7412.73	157.9	7414.55	158.2	7412.73	158.8	7410.91
159.3	7413.33	159.7	7412.73	159.9	7413.33	160.2	7414.55
160.5	7411.52	160.7	7413.33	161.0	7413.94	161.5	7414.55
161.7	7413.33	162.2	7431.52	162.5	7420.00	163.0	7418.18
164.2	7446.67	166.5	7555.76	168.0	7501.82	168.8	7410.91
169.6	7543.03	170.6	7410.91	171.5	7473.94	172.6	7411.52
173.4	7410.91	173.6	7410.30	174.0	7410.91	174.5	7413.94
174.7	7414.55	176.2	7415.15	176.7	7412.12	177.1	7415.15
177.6	7415.76	177.9	7415.76	178.7	7415.15	179.0	7414.55
179.4	7416.36	179.9	7412.73	180.4	7418.18	180.7	7413.94
181.0	7413.94	181.5	7411.52	182.1	7467.88	183.0	7434.55
184.4	7410.91	185.1	7412.73	185.4	7412.73	185.8	7410.91
186.9	7406.06	187.1	7409.70	187.4	7409.09	188.1	7426.06
188.4	7417.58	188.9	7410.91	189.8	7410.91	190.6	7411.52
190.9	7410.91	191.6	7413.33	192.8	7416.36	193.0	7413.33
193.3	7413.33	193.8	7410.91	194.2	7410.91	194.7	7415.15
194.9	7413.94	195.3	7415.15	195.5	7412.73	196.0	7418.79
196.9	7416.36	197.2	7416.36	198.0	7413.33	198.3	7411.52
198.8	7410.91	199.3	7410.91	199.7	7418.18	200.0	7411.52
200.3	7421.21	201.0	7473.33	202.2	7467.88	203.0	7410.91
204.3	7412.12	204.8	7407.88	205.6	7412.73	206.9	7455.15
207.8	7420.61	208.1	7416.36	208.3	7413.33	208.8	7416.97
209.2	7412.73	209.4	7414.55	209.7	7413.33	210.3	7415.15
210.8	7411.52	211.6	7415.76	212.3	7420.00	212.6	7418.18
213.1	7415.76	214.1	7502.42	215.2	7413.33	216.5	7413.94
217.0	7409.70	217.2	7410.91	217.6	7410.30	218.3	7406.67
219.0	7409.70	219.2	7407.88	219.8	7497.58	221.0	7408.48
221.5	7420.61	221.7	7412.73	222.6	7410.30	222.8	7409.09
223.7	7410.91	224.0	7412.73	224.2	7410.91	224.9	7415.76
225.5	7530.30	226.5	7415.76	226.7	7412.73	227.1	7418.18
227.6	7409.09	228.2	7415.15	228.5	7416.36	228.7	7415.15
229.2	7411.52	229.6	7412.73	229.9	7413.33	230.1	7412.12
230.4	7413.94	231.0	7414.55	231.2	7414.55	231.7	7410.91
232.1	7408.48	232.4	7408.48	233.0	7412.12	233.2	7412.12
233.5	7412.73	234.0	7408.48	234.9	7414.55	235.8	7409.70
236.0	7409.70	236.3	7408.48	236.6	7409.09		

65010.094



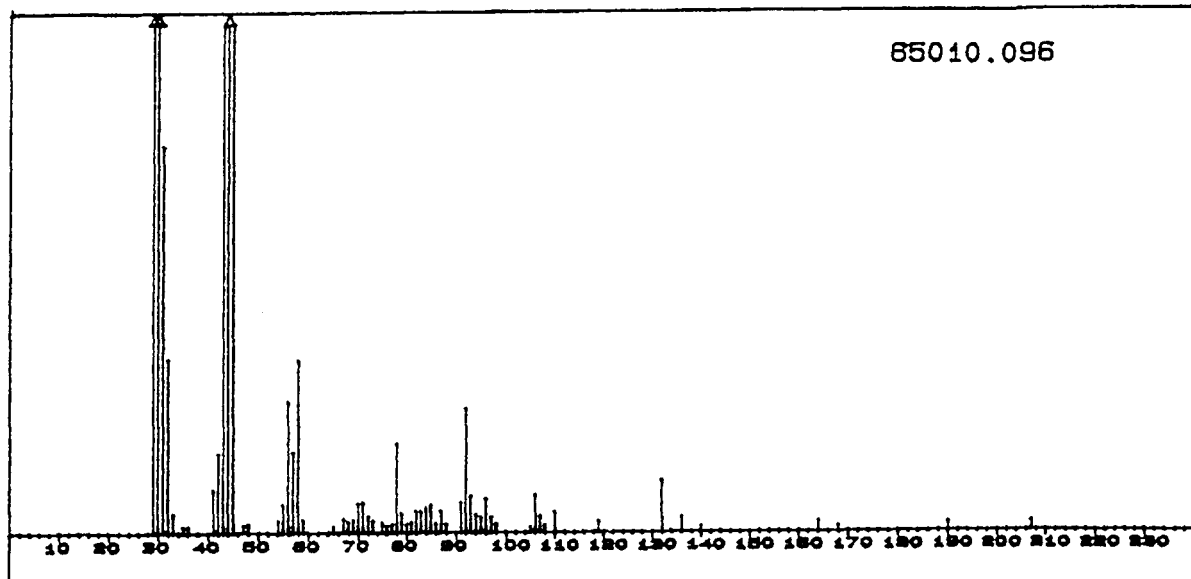
Wire No.: 94 (No. of Peaks: 71)

m/z	intensity	m/z	intensity	m/z	intensity	m/z	intensity
29.1	15967.88	30.3	10098.79	31.5	5284.24	32.3	3850.30
39.4	370.30	40.3	241.82	41.4	2699.39	42.4	2600.61
43.4	8052.73	44.3	49750.91	45.2	7223.03	53.3	556.97
54.3	49517.57	55.3	14264.24	56.3	16592.73	57.3	10024.24
58.2	10855.76	59.3	7904.24	60.0	7498.79	65.2	134.55
66.2	890.30	67.2	18977.58	68.2	19431.52	69.2	5718.79
70.2	4733.94	71.2	804.24	72.2	696.97	73.2	805.45
75.3	310.91	77.3	484.24	78.3	4847.88	79.1	2892.12
80.3	1286.06	81.3	21474.54	82.3	10101.82	83.1	3214.55
84.3	2681.21	85.2	821.82	86.2	327.88	91.3	1680.61
92.2	2950.30	93.3	1559.39	94.2	492.12	95.2	4948.48
96.2	2489.09	98.2	373.94	99.2	114.55	104.2	158.18
105.1	182.42	106.2	2828.48	107.2	596.36	108.2	3436.97
109.1	323.64	110.2	83112.13	112.2	2318.79	118.0	120.00
120.4	264.24	121.1	995.76	123.2	116.36	126.2	100.61
127.1	233.33	127.4	159.39	132.1	800.61	136.4	614.55
137.3	156.36	149.9	173.94	154.4	137.58	164.0	486.67
166.1	307.27	168.1	194.55	207.3	115.15		



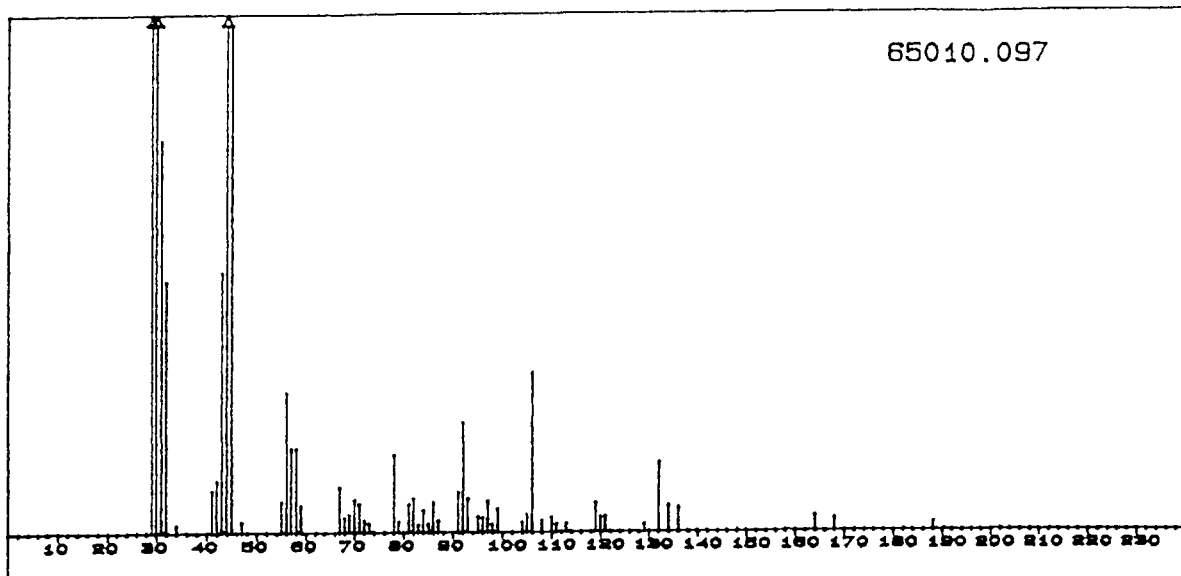
Wire No.: 95 (No. of Peaks: 62)

m/z	intensity	m/z	intensity	m/z	intensity	m/z	intensity
29.1	16692.73	30.3	16276.97	31.3	5784.85	32.3	2212.12
33.3	356.36	41.3	522.42	42.3	1551.52	43.3	7407.88
44.3	45693.94	45.3	5417.58	46.3	273.94	55.5	333.94
56.2	1824.24	57.2	1163.03	58.2	2900.61	59.2	283.03
60.2	358.18	67.2	290.91	68.1	154.55	69.2	369.70
70.2	573.94	71.2	211.52	72.2	381.82	73.1	113.33
74.1	110.30	75.3	405.45	78.3	1998.18	79.3	156.36
81.1	281.82	82.1	716.97	83.1	195.76	84.3	241.82
85.2	413.33	86.0	167.27	88.0	106.06	91.2	724.85
92.2	2716.36	93.2	576.36	94.2	390.91	95.2	161.82
96.1	353.94	97.1	333.94	98.2	263.03	99.2	170.30
104.2	188.48	106.2	1939.39	107.0	446.67	110.1	352.73
112.2	206.06	114.1	110.30	117.1	250.91	119.1	250.30
121.1	229.70	122.1	121.21	126.4	124.24	132.3	793.94
134.0	572.12	136.1	251.52	152.1	103.64	164.1	114.55
165.8	190.91	168.1	116.36				



Wire No.: 96 (No. of Peaks: 65)

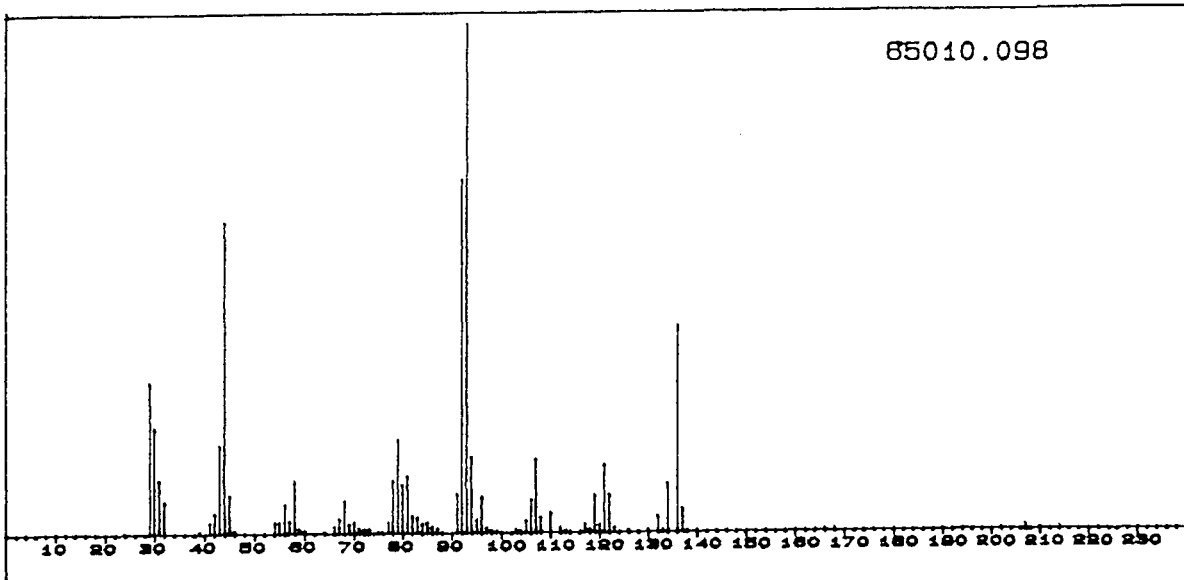
m/z	intensity	m/z	intensity	m/z	intensity	m/z	intensity
29.1	22254.54	30.3	22868.48	31.3	7701.21	32.3	3445.45
33.4	368.48	35.4	121.21	36.0	123.03	41.4	850.91
42.3	1561.82	43.3	10066.06	44.3	72936.37	45.3	10119.39
47.4	150.30	47.9	170.91	54.2	247.27	55.3	549.09
56.3	2603.64	57.3	1596.36	58.2	3419.39	59.2	257.58
65.1	106.67	67.1	272.73	68.1	207.88	69.4	252.12
70.2	575.15	71.2	594.55	72.1	312.73	73.2	232.73
75.1	186.67	76.3	132.73	77.1	167.88	78.1	1749.09
79.0	383.64	80.4	159.39	81.1	208.48	82.3	420.00
83.0	416.36	84.1	487.27	85.2	538.79	86.2	181.82
87.2	415.76	88.0	161.21	91.2	585.45	92.2	2455.15
93.2	713.94	94.2	358.79	95.2	297.58	95.6	143.03
96.1	520.61	97.2	310.30	98.2	158.79	105.2	106.67
106.1	734.55	107.1	318.79	108.0	135.15	110.0	214.55
110.2	189.09	119.2	210.30	132.1	1019.39	136.3	285.45
140.3	112.73	164.1	203.03	168.0	109.70	190.1	161.21
206.9	180.61						



Wire No.: 97 (No. of Peaks: 58)

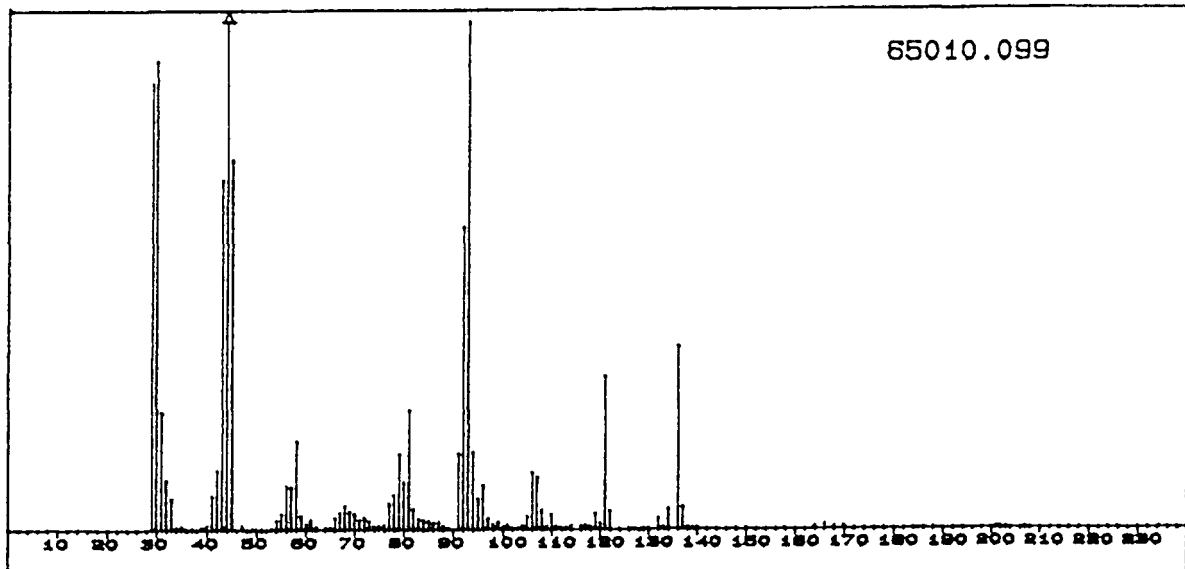
m/z	intensity	m/z	intensity	m/z	intensity	m/z	intensity
29.1	15456.97	30.3	8733.33	31.3	5475.76	32.3	3510.30
34.2	103.64	41.3	574.55	42.4	715.76	43.3	3633.94
44.3	53820.61	45.3	7076.36	47.2	142.42	54.5	107.27
55.2	322.42	56.3	1946.06	57.3	1163.03	58.2	1163.03
59.3	369.09	67.2	622.42	68.4	206.67	69.2	240.61
70.1	441.21	71.2	395.15	72.4	164.85	73.2	118.79
78.3	1068.48	79.1	146.06	81.0	391.52	82.4	466.67
83.1	101.21	84.4	308.48	85.2	120.61	86.2	413.33
87.2	161.21	91.0	549.70	92.3	1526.67	93.0	467.27
95.2	220.00	96.1	203.03	96.9	433.94	98.1	110.30
98.9	321.21	104.1	140.61	105.2	240.61	106.2	2211.52
108.3	164.24	110.2	213.94	111.3	110.30	113.2	112.12
119.1	406.67	120.1	203.64	121.2	212.12	128.9	103.64
132.1	957.58	134.1	363.64	136.3	336.97	164.1	220.61
168.0	172.73	188.4	109.70				

65010.098



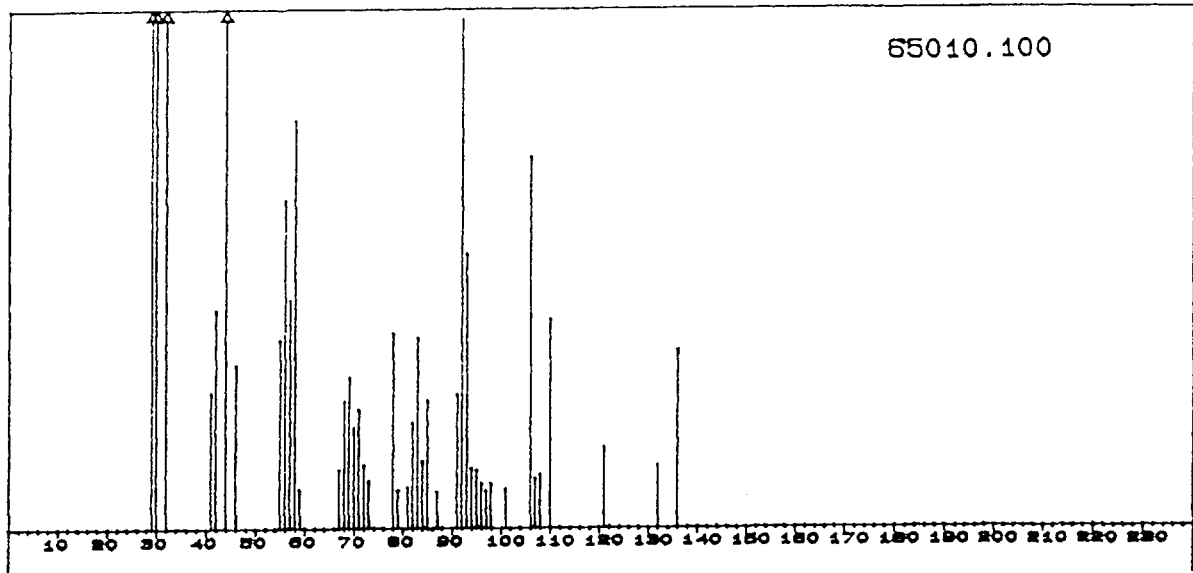
Wire No.: 98 (No. of Peaks: 78)

m/z	intensity	m/z	intensity	m/z	intensity	m/z	intensity
29.1	16610.30	30.3	11635.15	31.3	5929.70	32.3	3561.21
39.4	181.21	41.3	1180.00	42.4	2218.79	43.3	9670.30
44.3	34270.30	45.3	4152.12	46.3	255.15	54.3	1224.85
55.2	1265.45	56.3	3219.39	57.3	1295.15	58.3	5671.52
59.2	516.36	60.2	224.24	63.9	120.61	66.2	740.61
67.2	1590.30	68.2	3541.82	69.2	1010.30	70.2	1229.70
71.1	497.58	72.2	452.73	73.2	409.09	75.1	120.00
77.1	1167.88	78.3	5732.12	79.1	10203.64	80.1	5327.88
81.1	6227.27	82.1	1839.39	83.1	1683.03	84.1	1041.82
85.2	1152.73	86.3	667.27	87.2	430.91	91.2	4204.24
92.2	38853.33	93.2	56073.94	94.2	8301.21	95.2	1401.21
96.2	3946.06	97.2	526.67	98.1	246.06	98.9	136.36
103.2	339.39	104.1	151.52	105.2	1342.42	106.1	3672.12
107.2	8141.21	108.2	1646.67	110.2	2151.52	112.1	530.91
113.3	172.12	115.5	101.82	117.1	919.39	118.2	360.61
119.1	4126.06	120.2	855.76	121.1	7393.94	122.2	4110.30
123.1	481.21	126.2	161.21	130.0	177.58	132.3	1760.00
133.3	263.64	134.3	5341.21	136.3	22617.58	137.1	2563.64
138.3	152.12	139.9	120.61	164.2	112.73	166.1	238.79
167.8	244.85	207.1	466.67				



Wire No.: 99 (No. of Peaks:108)

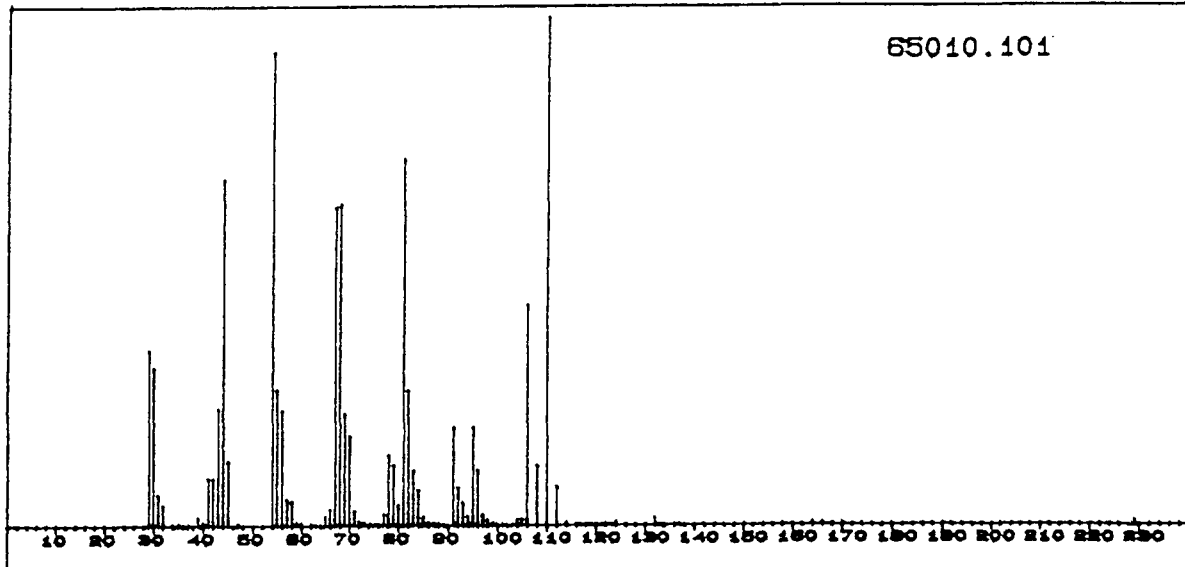
m/z	intensity	m/z	intensity	m/z	intensity	m/z	intensity
29.1	109974.55	30.3	115526.66	31.3	29063.64	32.3	12229.09
33.3	7692.12	34.3	507.27	35.3	731.52	37.3	195.76
39.3	591.52	40.3	1034.55	41.4	8348.48	42.4	14697.58
43.3	86383.63	44.3	171946.67	45.3	91138.18	47.3	923.64
49.3	176.36	51.3	146.67	53.3	404.24	54.3	2284.85
55.3	3864.24	56.3	10790.30	57.3	10456.36	58.3	21832.12
59.2	3421.82	60.2	1379.39	61.2	2412.12	62.2	541.82
64.2	327.88	65.1	415.76	66.2	2922.42	67.2	4092.12
68.2	5783.64	69.2	4373.94	70.2	3622.42	71.2	2316.36
72.2	2927.88	73.2	1890.91	74.3	579.39	75.1	613.33
76.1	1057.58	77.1	6349.70	78.1	8527.27	79.1	18542.42
80.1	11636.36	81.1	29375.15	82.1	4980.00	83.1	2528.48
84.3	2155.15	85.2	1937.58	86.2	1664.85	87.2	1638.18
88.0	767.88	89.2	267.88	91.2	18759.39	92.2	74787.88
93.2	125178.18	94.2	19061.21	95.2	7611.52	96.2	10784.24
97.2	2575.76	98.2	1127.88	99.1	1633.33	100.3	541.82
101.2	873.33	102.2	180.00	102.9	282.42	104.2	797.58
105.2	3121.82	106.2	13851.52	107.2	12764.85	108.2	4611.52
109.1	701.21	110.2	3397.58	111.2	615.76	112.1	346.67
113.3	392.12	113.6	143.64	113.8	415.15	114.1	250.30
116.1	755.15	117.1	1002.42	118.2	670.91	119.2	3841.82
120.2	1423.03	121.2	37770.91	122.1	4517.58	126.1	200.61
127.1	176.36	129.0	167.27	130.0	242.42	132.1	2594.55
133.3	516.36	134.3	5100.61	136.3	45086.06	137.1	5447.27
138.1	493.33	139.3	220.61	140.2	306.67	150.2	209.70
164.0	584.24	166.0	1061.21	168.1	447.88	170.0	605.45
185.3	141.82	201.2	117.58	202.8	105.45	207.1	135.76



Wire No.:100 (No. of Peaks: 46)

m/z	intensity	m/z	intensity	m/z	intensity	m/z	intensity
29.1	12949.09	30.3	18919.39	31.5	4409.09	32.3	1898.18
41.4	370.30	42.3	597.58	44.3	82785.45	46.2	447.27
54.5	135.76	55.2	381.82	56.3	896.97	57.3	624.85
58.3	1109.70	59.2	106.06	67.2	160.61	68.1	347.27
69.4	413.94	70.2	276.36	70.9	188.48	71.1	138.18
72.2	173.94	73.2	127.88	78.1	533.94	79.3	104.85
81.1	113.33	82.1	289.09	83.1	521.21	84.1	184.24
85.3	350.30	87.2	100.00	91.2	366.67	92.2	1386.06
93.2	750.30	94.0	164.85	95.2	158.18	96.3	121.21
97.2	101.21	98.4	121.82	101.1	107.88	106.2	1010.30
107.1	135.76	108.3	145.45	110.2	571.52	121.2	218.18
132.1	170.30	136.3	483.64				

65010.101



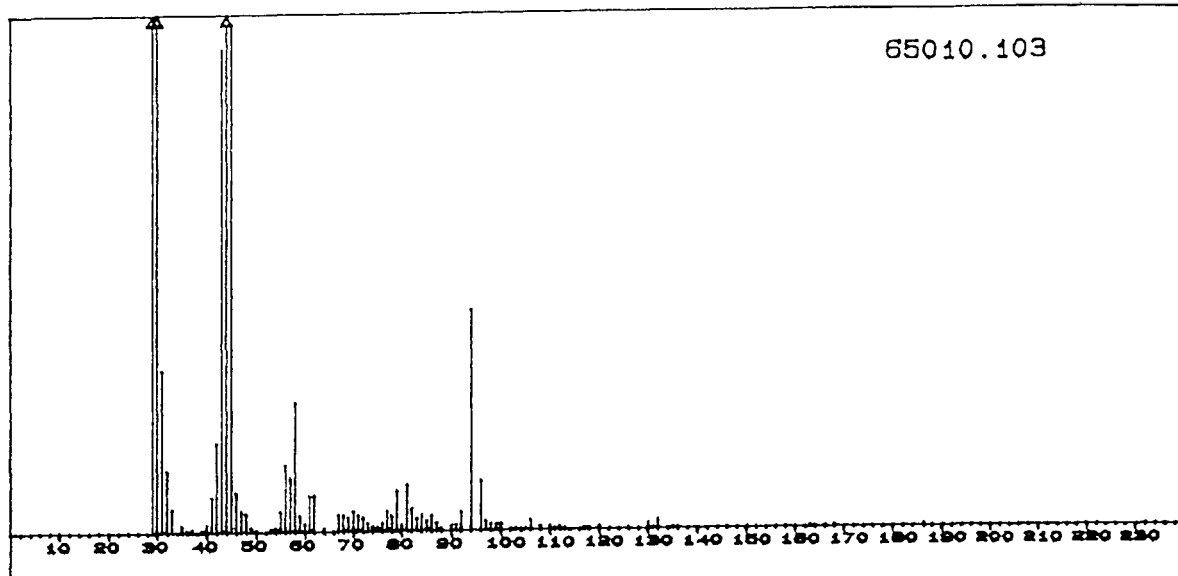
Wire No.:101 (No. of Peaks: 90)

m/z	intensity	m/z	intensity	m/z	intensity	m/z	intensity
29.1	73170.30	30.3	65936.37	31.4	12951.52	32.3	8470.30
34.4	227.27	35.3	327.88	36.4	118.18	37.4	128.48
39.3	3292.12	40.4	1269.09	41.3	19893.94	42.3	19810.30
43.3	48988.48	44.3	144521.81	45.3	26970.30	47.4	578.18
54.3	197816.97	55.3	56842.43	56.3	48018.18	57.3	11164.24
58.3	10172.73	59.2	1129.09	60.2	620.00	62.2	559.39
63.2	160.00	64.2	100.00	65.2	3760.00	66.4	6787.27
67.2	132806.67	68.2	133884.84	69.2	46472.12	70.2	37113.94
71.2	5812.12	72.1	1371.52	73.1	950.91	74.1	185.45
75.3	420.00	76.1	398.79	77.1	4655.76	78.1	29380.00
79.1	25223.03	80.3	8562.42	81.3	153018.19	82.1	56403.03
83.1	22881.21	84.3	14804.85	85.2	3534.55	86.2	1156.97
87.2	809.09	88.2	715.15	89.2	134.55	91.2	41009.70
92.2	15799.39	93.2	9689.09	94.2	3713.33	95.2	40921.21
96.2	23004.85	97.2	4507.88	98.2	2067.88	99.1	756.97
100.1	308.48	101.1	197.58	103.1	287.27	104.2	2430.91
105.2	2733.94	106.2	91822.42	108.2	25131.52	110.2	212512.12
112.2	16157.58	114.1	784.24	116.1	129.09	117.0	291.52
118.0	269.70	119.2	222.42	120.1	411.52	121.1	130.30
122.1	349.70	122.9	265.45	124.2	1038.79	126.2	133.33
130.1	121.21	132.1	2852.73	133.1	367.88	136.1	136.97
137.4	276.36	164.0	723.64	166.0	576.36	168.0	324.85
170.1	159.39	229.0	196.36				

85010.102

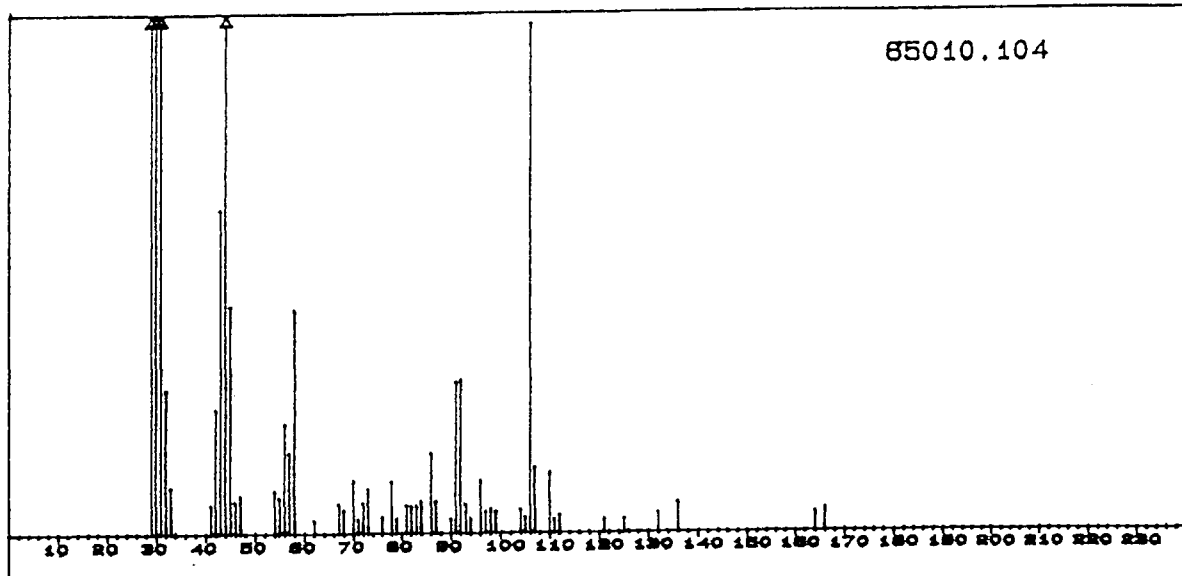
Wire No.:102 (No. of Peaks: 63)

m/z	intensity	m/z	intensity	m/z	intensity	m/z	intensity
29.1	34461.82	30.3	41837.57	31.4	8246.06	32.3	4666.06
33.5	615.76	34.3	112.12	39.4	130.91	40.3	529.09
41.3	1284.85	42.4	3627.27	43.3	18850.91	44.3	105681.82
45.3	13638.79	47.3	306.06	55.3	775.15	56.3	2796.36
57.3	2282.42	58.3	5068.48	59.2	492.73	60.2	388.48
61.2	289.09	62.2	390.91	64.1	114.55	67.2	513.33
68.2	322.42	69.4	550.30	70.2	729.70	71.4	304.85
72.2	444.24	73.2	498.79	75.1	266.06	76.3	232.73
77.3	1048.48	78.3	1062.42	79.1	350.30	80.1	147.27
81.1	2287.88	82.1	480.61	83.1	1199.39	84.1	524.24
85.3	1024.85	86.2	469.09	87.2	498.18	88.0	125.45
91.2	235.76	92.2	1032.73	94.2	533.33	95.2	334.55
96.2	1404.24	97.1	420.00	98.2	227.27	99.1	279.39
101.1	253.94	106.2	553.94	107.2	247.88	108.1	132.12
112.2	139.39	119.0	219.39	125.2	163.64	132.1	433.33
134.3	203.64	166.1	115.76	193.2	104.85		



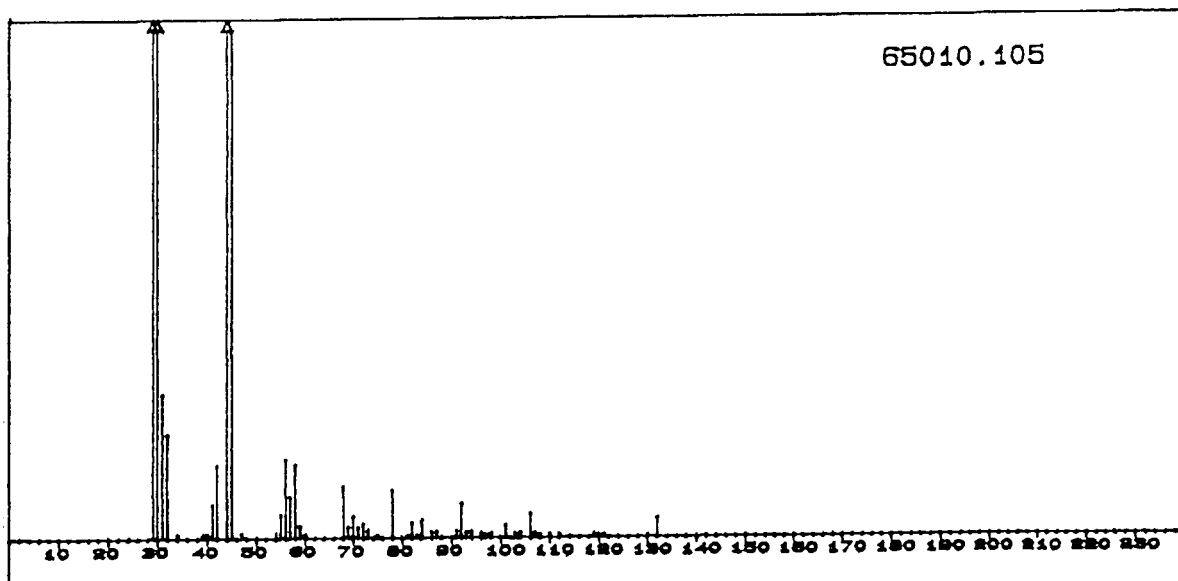
Wire No.:103 (No. of Peaks: 87)

m/z	intensity	m/z	intensity	m/z	intensity	m/z	intensity
29.1	83032.73	30.4	104541.21	31.3	24235.15	32.3	9209.09
33.3	3452.12	35.4	979.39	36.2	180.00	37.3	430.30
39.3	323.03	40.3	1211.52	41.3	5226.67	42.3	13264.85
43.3	71822.42	44.3	146571.52	45.3	75494.55	46.3	5824.85
47.3	3015.76	48.3	2724.24	49.4	612.12	50.2	166.06
53.3	479.39	54.3	653.94	55.3	2995.15	56.3	9840.61
57.3	7903.64	58.3	19192.73	59.2	2383.03	60.2	1160.00
61.2	5366.67	62.3	5361.21	64.2	470.30	67.2	2512.12
68.2	2452.12	69.2	2039.39	70.2	2943.64	71.2	2332.73
72.2	2064.85	73.2	1218.18	74.1	736.97	75.1	689.09
76.1	1220.00	77.3	3018.79	78.1	2295.15	79.1	6067.88
80.0	436.97	80.3	509.09	81.1	6835.76	82.1	3232.73
83.1	1881.82	84.1	2388.48	85.3	1498.18	86.2	2218.79
87.2	1227.88	88.2	295.76	90.2	794.55	91.2	986.67
92.2	2817.58	94.2	( 32828.48 )	96.2	7358.18	97.1	1370.91
98.2	933.94	99.1	852.73	100.3	1005.45	102.2	198.18
103.1	203.03	104.1	106.06	105.2	136.97	106.2	1373.33
108.2	498.79	110.2	512.73	111.1	146.67	112.3	454.55
113.3	115.15	117.1	322.42	118.4	107.88	120.1	344.24
126.1	112.12	130.1	847.27	131.0	132.12	132.1	1234.55
135.4	117.58	136.3	162.42	162.5	227.88	164.0	136.36
166.0	165.45	168.1	142.42	186.0	100.00		



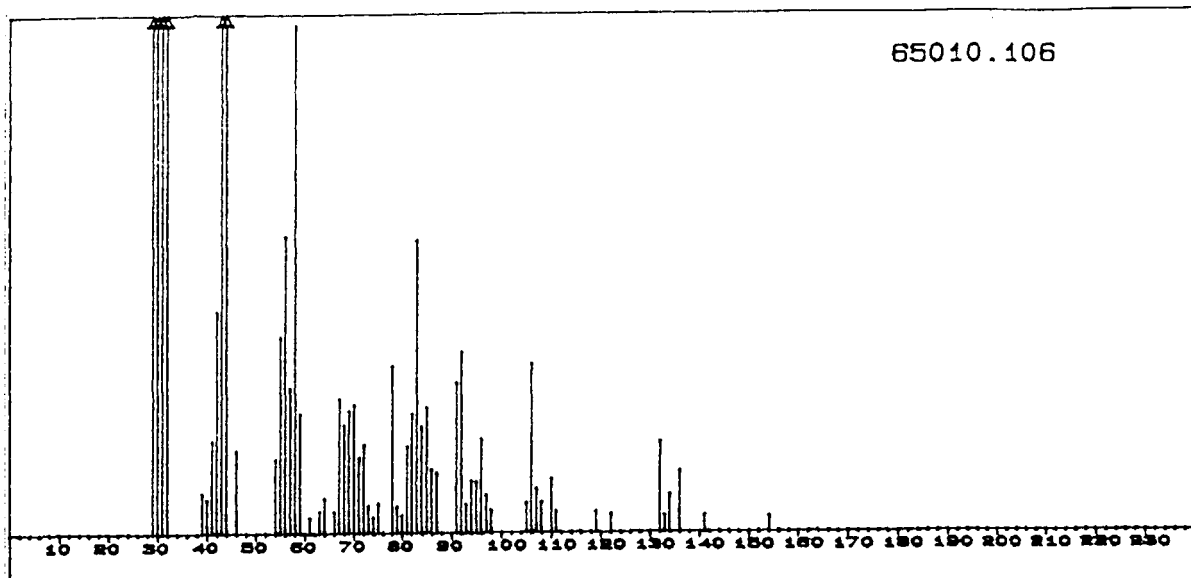
Wire No.:104 (No. of Peaks: 56)

$m/z$	intensity	$m/z$	intensity	$m/z$	intensity	$m/z$	intensity
29.1	13061.21	30.3	13999.39	31.3	4503.64	32.3	1155.76
33.3	369.70	41.4	229.70	42.4	1000.00	43.3	2622.42
44.3	25408.48	45.3	1837.58	46.2	255.15	47.4	298.18
54.3	338.79	55.3	289.70	56.3	883.64	57.2	649.09
58.2	1807.27	62.1	101.21	67.2	236.97	68.1	189.09
70.4	420.00	71.2	111.52	72.2	246.67	73.2	351.52
76.1	129.70	78.1	412.12	79.3	117.58	81.1	225.45
82.3	218.18	83.1	219.39	84.3	254.55	85.5	172.73
86.2	470.30	87.0	253.94	90.3	112.73	91.2	1211.52
92.3	1235.15	93.0	233.33	94.2	116.97	96.1	423.03
97.3	177.58	98.3	187.27	99.1	170.30	104.2	183.64
105.1	124.24	106.2	4123.03	107.2	523.64	110.2	479.39
111.1	109.09	112.1	140.61	121.2	105.45	125.4	107.88
132.0	151.52	136.0	237.58	164.1	156.97	166.0	176.36



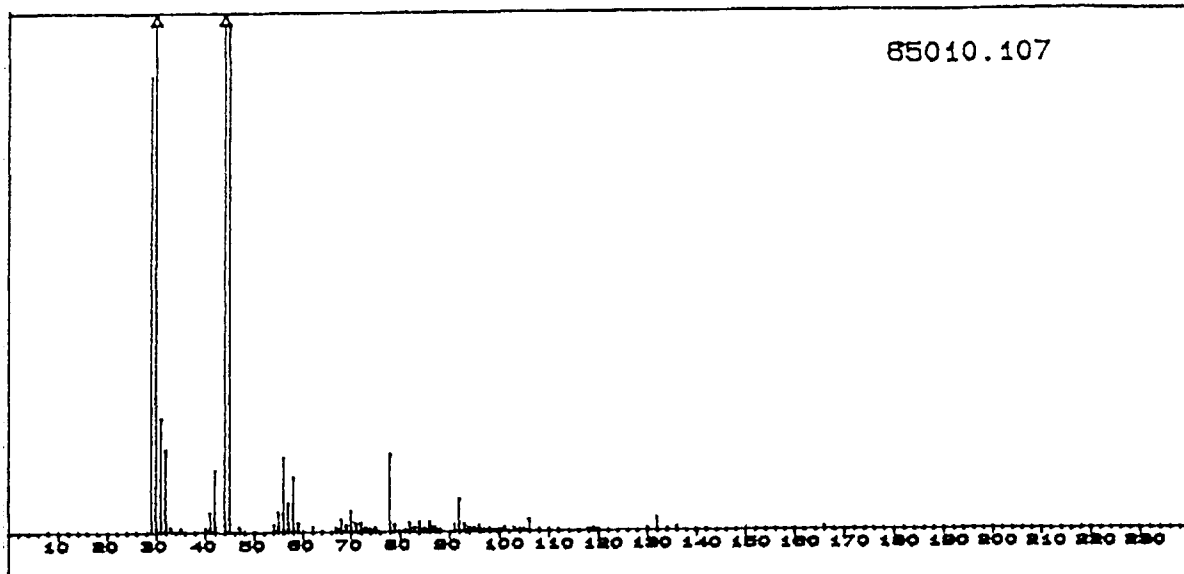
Wire No.:105 (No. of Peaks: 53)

m/z	intensity	m/z	intensity	m/z	intensity	m/z	intensity
29.1	35189.70	30.3	55412.73	31.2	6162.42	32.3	4448.48
34.3	166.67	39.2	169.09	40.3	198.79	41.3	1437.58
42.3	3114.55	44.3	172192.73	45.2	21666.06	47.3	221.82
54.3	240.00	55.3	1002.42	56.3	3360.61	57.3	1770.30
58.3	3124.85	59.2	515.76	60.3	144.24	68.2	2201.82
69.2	490.91	70.2	934.55	71.2	477.58	72.2	620.00
73.2	346.67	75.3	109.70	78.3	2043.64	81.3	116.36
82.3	644.24	83.3	124.24	84.3	746.67	86.4	238.79
87.3	277.58	91.2	312.73	92.2	1471.52	93.0	261.21
94.2	273.94	96.2	205.45	96.9	140.00	98.3	184.85
101.2	534.55	102.9	193.33	104.2	225.45	106.2	997.58
107.2	203.03	108.1	133.94	110.2	159.39	112.3	131.52
119.4	155.15	120.4	110.91	121.2	117.58	130.0	116.36
132.1	791.52						



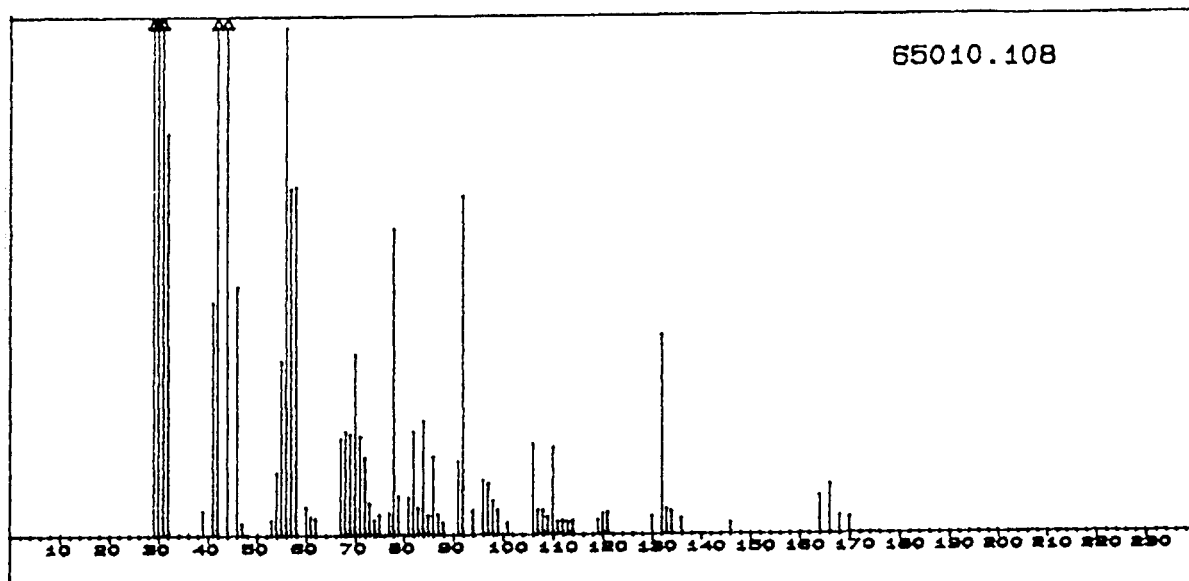
Wire No.:106 (No. of Peaks: 63)

m/z	intensity	m/z	intensity	m/z	intensity	m/z	intensity
29.1	20006.06	30.3	22357.58	31.4	5556.97	32.3	5166.67
39.4	263.03	40.3	224.85	41.4	600.00	42.3	1440.00
43.4	8621.82	44.3	88528.48	46.2	539.39	53.5	169.09
54.3	313.94	55.3	1275.76	56.3	1920.00	57.3	945.45
58.3	3293.33	59.3	780.00	61.3	103.03	63.4	146.06
64.4	231.52	66.2	144.85	67.2	866.06	68.2	698.79
69.2	794.55	70.1	834.55	71.4	487.88	72.4	572.12
73.0	176.36	74.4	105.45	75.3	192.73	78.3	1081.82
79.1	173.94	80.1	118.18	81.1	562.42	82.3	775.76
83.1	1893.33	84.1	694.55	85.0	816.36	86.2	413.94
87.0	389.09	91.2	974.55	92.2	1170.30	93.2	186.06
94.2	338.79	95.0	333.94	96.1	610.30	97.1	243.03
98.3	150.91	105.3	192.73	106.1	1089.09	107.2	284.24
108.1	198.18	110.2	347.88	111.1	139.39	119.1	135.76
121.5	118.79	132.3	587.27	133.0	112.12	134.3	247.88
136.3	395.15	141.2	109.70	154.2	101.82		



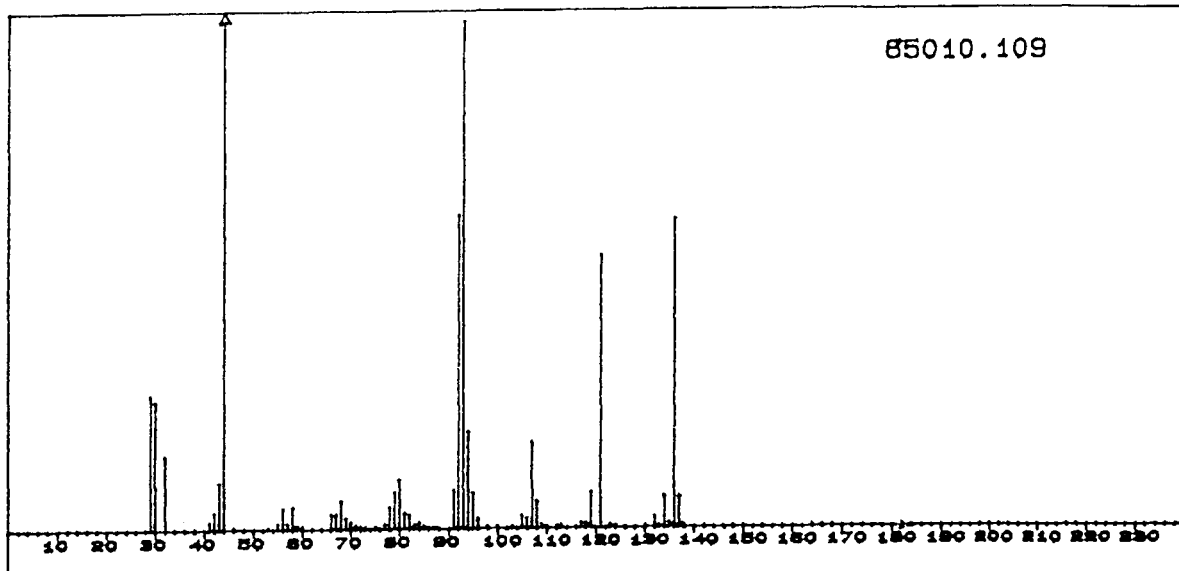
Wire No.:107 (No. of Peaks: 65)

m/z	intensity	m/z	intensity	m/z	intensity	m/z	intensity
29.1	33269.70	30.3	49810.30	31.3	8313.33	32.3	5985.45
33.3	320.00	35.3	230.30	40.2	257.58	41.3	1424.85
42.3	4497.58	44.3	186403.64	45.3	37073.94	47.3	319.39
53.5	190.30	54.2	352.73	55.2	1412.12	56.3	5411.52
57.3	2095.15	58.3	3940.00	59.3	635.76	62.3	336.36
67.2	288.48	68.2	886.06	69.2	496.36	70.4	1522.42
71.2	626.67	72.1	635.15	73.4	246.67	74.0	210.91
75.1	303.64	78.3	5622.42	79.1	471.52	81.0	114.55
82.1	651.52	83.0	310.30	84.3	695.76	85.2	202.42
86.2	667.88	87.0	312.73	88.3	156.36	91.2	533.33
92.2	2380.61	93.2	534.55	94.2	245.45	95.0	226.67
96.2	407.88	97.4	150.91	98.1	179.39	99.1	109.09
100.2	146.06	101.2	247.88	102.9	218.18	104.3	101.82
105.1	100.00	106.2	823.64	108.3	163.03	110.3	132.73
111.6	121.21	118.0	124.24	119.4	210.30	120.4	118.18
129.9	186.06	132.1	892.12	134.0	116.36	136.4	269.09
166.1	123.03						



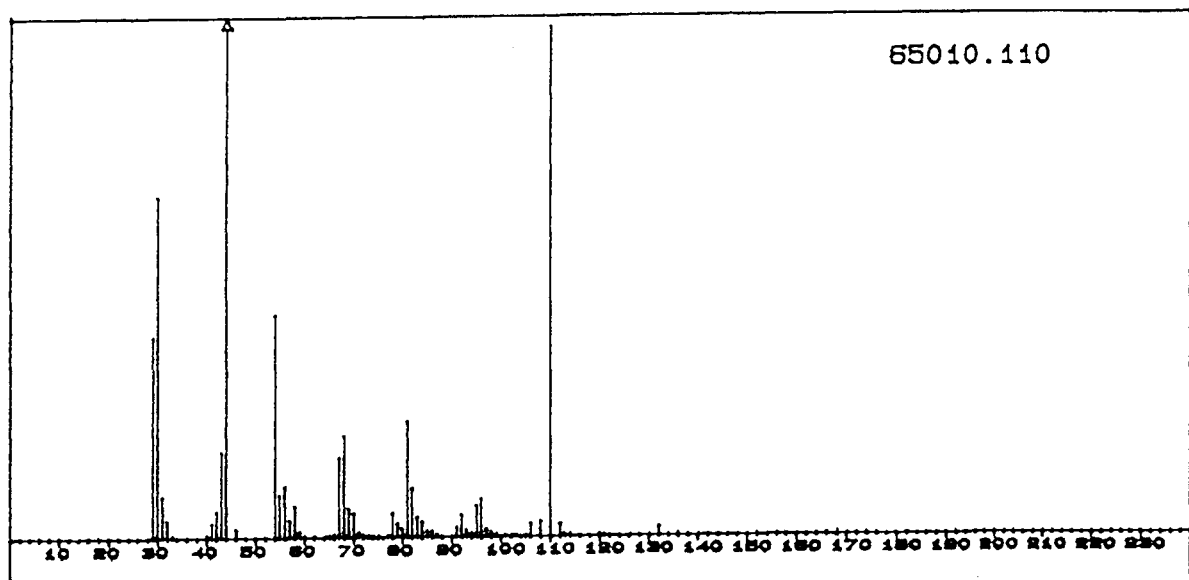
Wire No.:108 (No. of Peaks: 69)

m/z	intensity	m/z	intensity	m/z	intensity	m/z	intensity
29.1	46358.79	30.3	57295.15	31.4	6901.82	32.3	3667.88
39.3	220.00	41.3	2132.73	42.3	5460.00	44.3	201365.45
46.2	2268.48	47.3	107.27	53.3	134.55	54.3	572.73
55.3	1593.94	56.3	4641.21	57.3	3161.21	58.2	3178.18
60.2	252.73	61.3	164.85	62.2	150.91	67.2	881.21
68.2	950.30	69.4	924.85	70.2	1652.12	71.2	902.42
72.2	704.85	73.2	284.85	74.4	133.94	74.9	183.64
77.1	201.21	78.3	2795.76	79.1	352.12	81.1	340.61
82.1	950.30	83.1	242.42	84.3	1040.00	85.2	177.58
86.2	715.15	87.0	185.45	88.2	114.55	91.3	670.30
92.2	3085.45	94.0	224.85	96.2	492.73	97.2	469.09
98.2	310.30	99.2	225.45	101.2	107.27	106.2	832.73
107.1	225.45	108.1	220.61	109.3	162.42	110.3	795.76
111.2	120.00	112.0	129.09	113.2	115.76	114.2	127.88
119.0	138.79	120.1	183.64	121.1	200.00	130.1	165.45
132.0	1814.55	133.1	228.48	134.1	204.85	136.1	140.00
146.3	101.82	164.0	344.24	166.0	449.70	168.1	163.64
169.7	144.24						



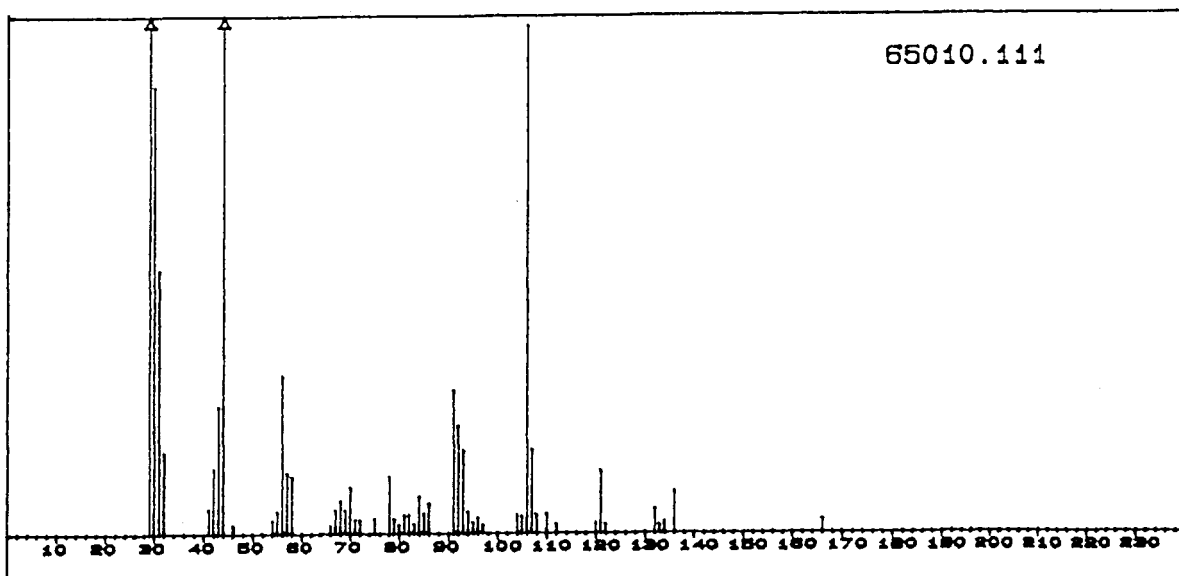
Wire No.:109 (No. of Peaks: 72)

m/z	intensity	m/z	intensity	m/z	intensity	m/z	intensity
29.1	13019.39	30.3	12411.52	31.5	4655.76	32.4	2443.03
41.3	704.85	42.3	1663.03	43.4	4532.73	44.3	55564.85
46.4	180.61	53.3	130.91	55.3	575.15	56.3	2009.70
57.3	569.70	58.3	2147.88	59.3	364.85	60.3	250.91
66.1	1433.33	67.2	1460.61	68.2	2721.21	69.1	1075.15
70.2	643.03	71.2	357.58	72.1	215.76	73.1	135.15
75.3	193.94	77.1	495.76	78.3	2106.67	79.3	3493.94
80.3	4701.21	81.1	1498.18	82.3	1298.79	83.3	437.58
84.3	631.52	85.2	235.15	86.2	104.24	87.4	123.64
91.2	3677.58	92.2	30409.09	93.2	49073.94	94.2	9368.48
95.2	3445.45	96.3	855.15	98.2	180.00	100.3	148.48
103.1	204.85	105.2	1204.24	106.2	1010.91	107.2	8227.27
108.2	2593.94	109.2	348.48	110.3	143.03	112.2	136.36
113.2	235.15	117.1	191.52	117.4	249.70	118.2	443.64
119.2	3404.85	121.2	26393.33	123.2	293.33	124.4	141.82
130.0	117.58	132.1	1005.45	133.3	183.64	134.3	3029.09
135.3	432.73	136.3	29846.67	137.3	2961.21	138.4	195.15
164.0	155.76	166.1	121.21	168.1	110.91	182.3	179.39



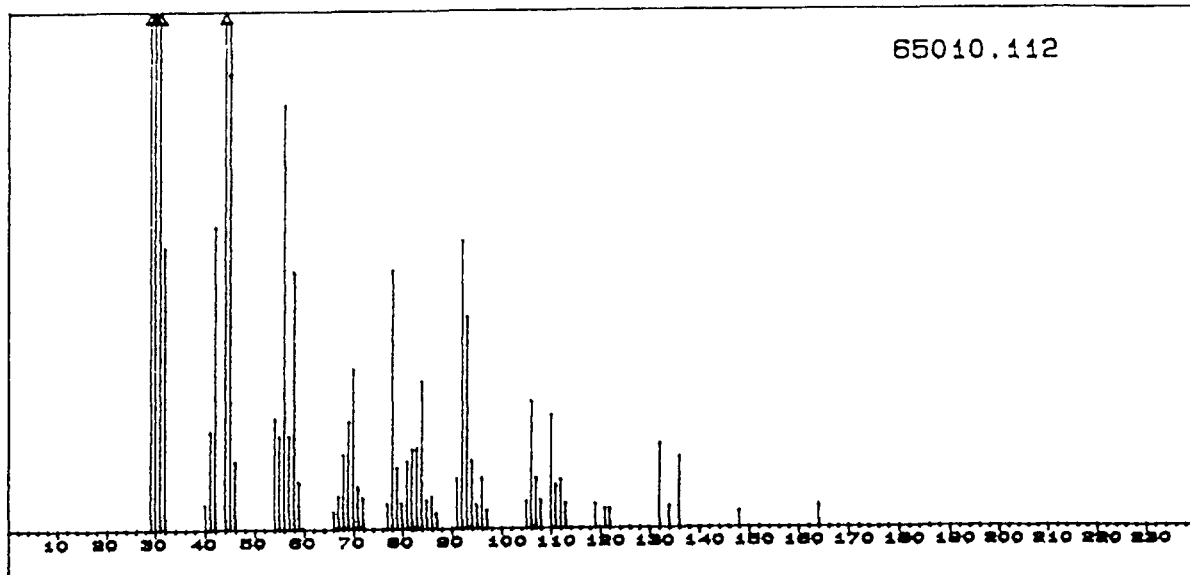
Wire No.:110 (No. of Peaks: 67)

m/z	intensity	m/z	intensity	m/z	intensity	m/z	intensity
29.1	27599.39	30.3	46790.30	31.4	5640.00	32.4	2277.58
33.4	223.64	39.5	152.73	40.2	195.15	41.3	1995.76
42.4	3669.09	43.4	11812.73	44.3	135319.39	46.3	1156.97
54.3	30600.00	55.3	5769.70	56.3	6994.55	57.3	2365.45
58.3	4263.64	59.3	790.30	60.3	176.36	62.2	133.94
65.4	216.97	66.2	432.12	67.2	11001.82	68.2	13948.48
69.2	3903.64	70.2	3359.39	71.2	637.58	72.4	266.67
73.2	201.82	74.3	153.33	75.1	144.24	77.3	266.06
78.1	3356.36	79.1	1890.91	80.1	1150.91	81.3	15997.58
82.3	6735.15	83.1	2749.70	84.1	2066.06	85.2	773.33
86.2	707.27	87.2	221.21	91.2	1241.21	92.2	3012.73
93.0	881.82	94.2	513.33	95.2	4267.27	96.2	5177.58
97.1	1083.03	98.2	619.39	99.2	187.27	101.2	101.82
103.1	129.09	105.1	138.79	106.2	1738.18	108.3	2130.91
110.2	70000.61	112.3	1642.42	113.1	160.00	114.2	180.61
120.2	267.27	121.2	146.67	132.1	1195.15	136.1	207.27
164.0	126.06	166.1	220.61	168.0	129.09		



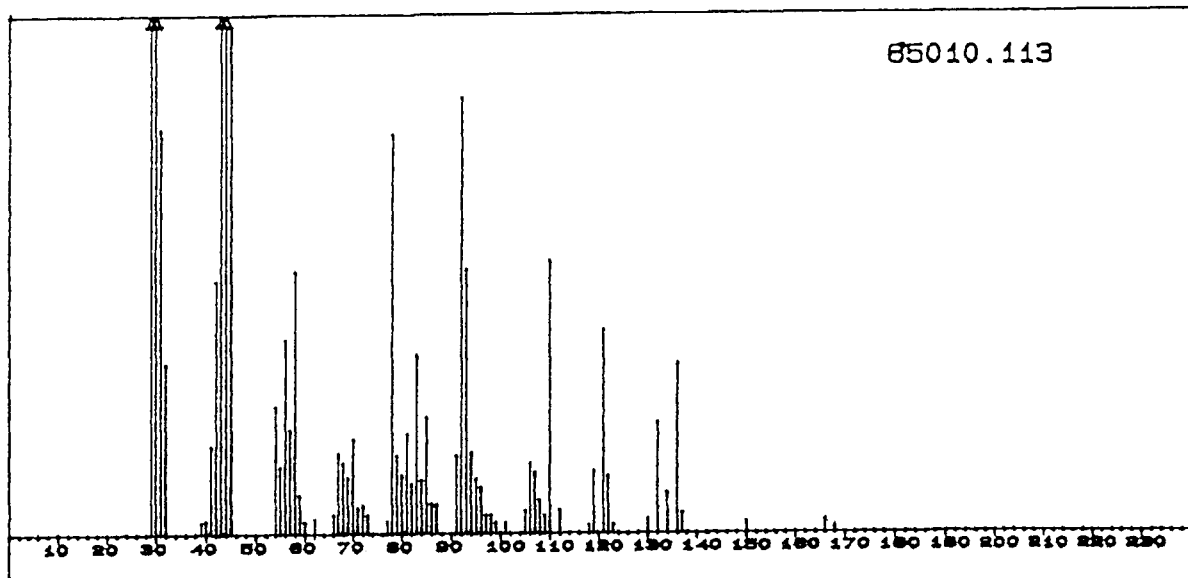
Wire No.:111 (No. of Peaks: 56)

m/z	intensity	m/z	intensity	m/z	intensity	m/z	intensity
29.1	8524.24	30.3	7430.91	31.3	4371.52	32.3	1354.55
41.3	409.70	42.3	1083.64	43.4	2136.36	44.3	31070.30
46.3	135.76	54.2	224.85	55.3	371.52	56.3	2643.03
57.3	1018.79	58.2	953.94	66.4	127.88	67.2	393.33
68.1	548.48	69.2	390.91	69.6	149.70	70.1	628.48
71.4	230.91	72.2	224.24	75.3	247.88	78.3	945.45
79.3	241.21	80.3	147.88	81.4	312.73	82.3	315.76
83.1	150.91	84.3	623.03	85.2	329.09	86.3	499.39
91.2	2398.18	92.2	1806.67	93.2	1395.76	94.0	362.42
95.0	182.42	96.3	253.33	96.9	129.70	104.3	298.79
105.2	278.79	106.2	8433.33	107.2	1399.39	108.2	308.48
110.2	328.48	112.2	141.21	120.2	163.64	120.5	157.58
121.2	881.21	122.2	138.79	132.1	397.58	133.1	137.58
134.3	195.76	136.3	694.55	165.6	122.42	165.8	100.00



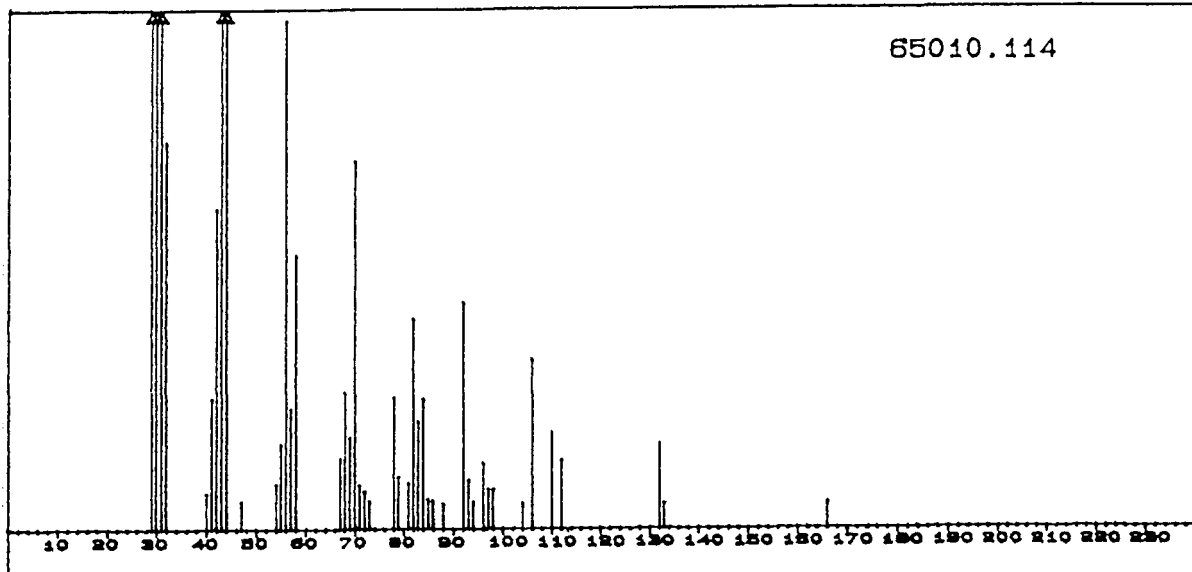
Wire No.:112 (No. of Peaks: 57)

m/z	intensity	m/z	intensity	m/z	intensity	m/z	intensity
29.1	12933.94	30.3	9195.76	31.3	4707.27	32.3	1776.97
40.3	160.61	41.3	621.21	42.3	1904.85	44.3	56146.06
45.3	3190.91	46.3	429.09	54.2	698.18	55.3	584.85
56.3	2663.03	57.2	587.27	58.2	1619.39	59.3	297.58
66.2	107.27	67.4	206.06	68.2	467.88	69.4	678.18
70.2	1008.48	71.2	263.03	72.2	193.33	77.0	158.18
78.3	1627.27	79.1	384.85	80.1	161.21	81.1	428.48
82.3	500.61	83.1	509.09	84.1	929.70	85.2	180.61
86.2	201.21	87.2	101.82	91.3	310.91	92.2	1812.73
93.2	1337.58	94.0	426.67	95.3	150.30	96.3	318.79
97.1	116.97	105.1	172.12	106.1	800.00	107.2	318.79
108.2	178.18	110.2	713.33	111.2	275.76	112.2	306.06
113.1	158.18	119.2	151.52	121.1	121.82	122.2	121.82
132.1	532.73	134.0	136.97	136.3	445.45	148.3	102.42
163.8	139.39						



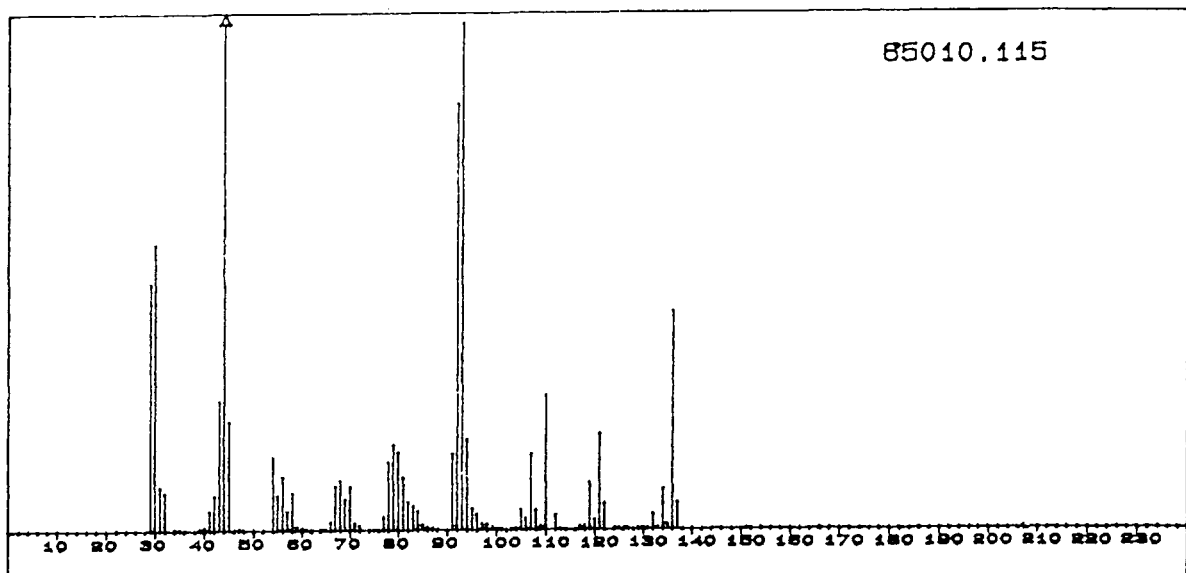
Wire No.:113 (No. of Peaks: 68)

m/z	intensity	m/z	intensity	m/z	intensity	m/z	intensity
29.1	20157.58	30.3	19781.82	31.3	5333.94	32.3	2229.70
39.4	151.52	40.2	177.58	41.3	1153.94	42.3	3326.06
43.3	6989.09	44.3	78112.13	45.3	6681.21	54.3	1661.21
55.3	868.48	56.3	2539.39	57.2	1356.97	58.2	3448.48
59.2	507.27	60.1	150.91	62.2	189.70	66.2	249.09
67.2	1048.48	68.2	918.79	69.2	731.52	70.2	1236.36
71.2	335.15	72.2	365.45	73.2	238.79	77.3	167.88
78.1	5258.79	79.1	1017.58	80.1	761.21	81.1	1298.18
82.1	649.70	83.1	2333.33	84.1	695.76	85.0	1515.15
86.2	389.70	87.2	379.39	91.2	1019.39	92.2	5732.73
93.0	3469.70	94.2	1057.58	95.2	711.52	96.2	598.79
97.2	240.00	98.2	236.97	99.1	132.12	101.2	126.06
105.2	295.15	106.2	909.70	107.2	796.36	108.1	432.73
109.1	229.70	110.2	3577.58	112.2	307.88	118.1	100.00
119.1	813.33	121.2	2669.70	122.2	741.82	123.1	110.91
129.9	175.15	132.1	1445.45	134.1	532.12	136.3	2215.15
137.1	255.76	150.1	133.33	166.1	165.45	168.0	113.33



Wire No.:114 (No. of Peaks: 45)

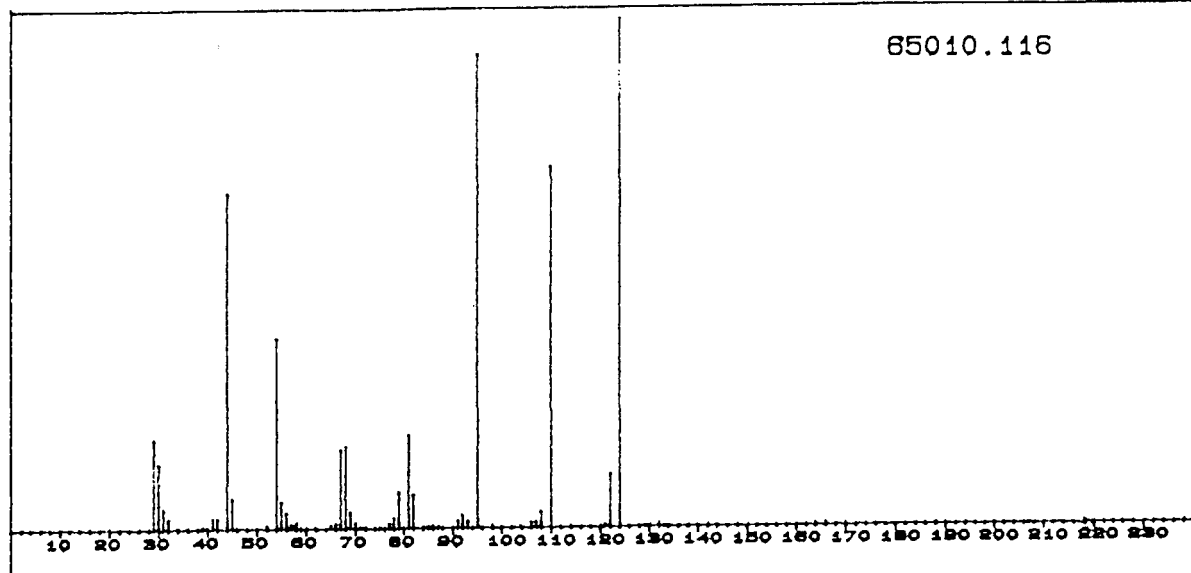
m/z	intensity	m/z	intensity	m/z	intensity	m/z	intensity
29.1	10923.64	30.3	8182.42	31.3	4644.24	32.3	1534.55
40.4	142.42	41.3	520.61	42.3	1267.88	43.3	2334.55
44.3	35072.12	47.4	110.30	54.3	179.39	55.3	340.61
56.3	2012.73	57.2	475.76	58.3	1084.24	67.2	281.82
68.4	544.85	69.2	363.03	70.2	1453.94	71.2	175.15
72.2	149.09	73.2	111.52	78.3	523.03	79.1	207.27
81.1	183.64	82.3	834.55	83.1	427.27	84.1	518.18
85.3	118.18	86.2	112.73	88.3	101.82	92.2	898.18
93.0	196.97	94.2	107.27	95.7	121.82	95.9	140.61
97.1	160.00	98.2	158.18	104.1	101.21	106.2	670.30
110.1	381.82	112.3	272.73	132.0	335.15	133.4	100.00
165.8	103.03						



Wire No.:115 (No. of Peaks: 97)

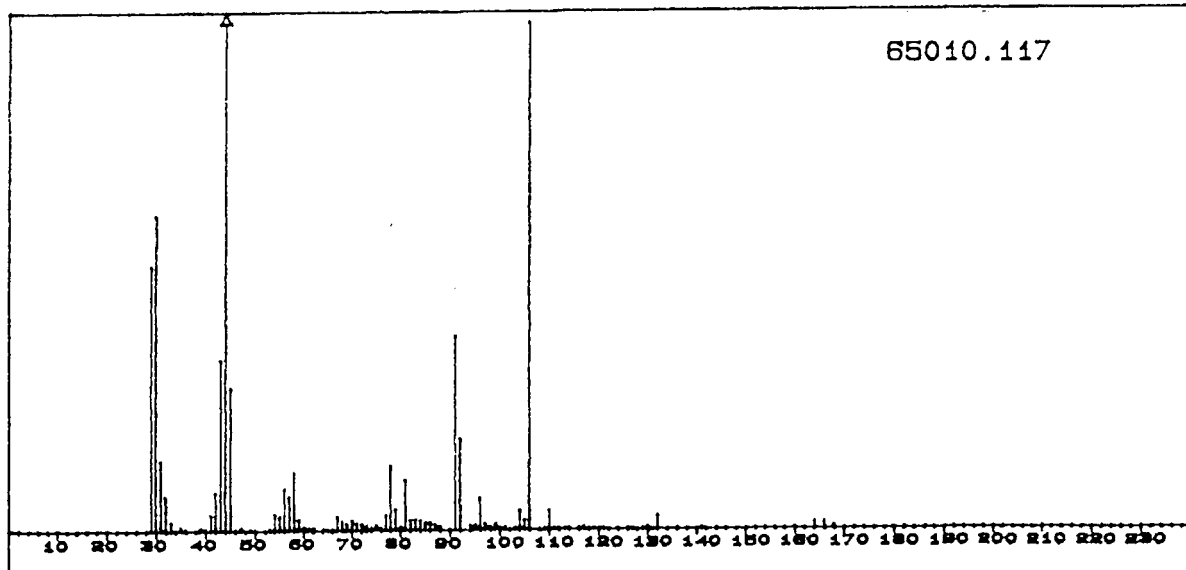
m/z	intensity	m/z	intensity	m/z	intensity	m/z	intensity
29.1	86203.03	30.3	99543.03	31.3	15183.64	32.3	13188.48
33.7	149.09	34.2	178.79	35.2	142.42	39.3	713.33
40.3	1166.67	41.3	6950.30	42.3	12228.48	43.3	45324.24
44.3	205936.36	45.3	38081.82	47.2	295.15	48.2	107.88
52.3	169.70	54.3	25422.42	55.2	12336.36	56.3	18787.27
57.2	6763.03	58.2	13101.21	59.2	1423.64	60.2	853.33
61.2	232.73	62.1	258.79	64.1	164.24	65.2	267.27
66.2	2945.45	67.2	15500.00	68.2	17429.70	69.2	10846.06
70.2	15189.70	71.1	2439.39	72.1	1454.55	74.3	163.03
75.0	209.09	76.0	158.79	77.1	4552.12	78.1	23720.61
79.1	29858.79	80.1	27251.52	81.1	18508.48	82.1	9795.76
83.1	8485.45	84.1	6483.64	85.0	1787.88	86.2	926.67
87.2	508.48	88.0	126.06	91.2	26568.48	92.2	147716.36
93.2	175966.06	94.0	31673.33	95.2	7415.76	96.2	5403.64
97.2	2083.03	98.2	1943.03	99.1	649.70	100.3	402.42
101.2	186.67	103.3	188.48	104.1	392.73	105.1	6827.88
106.1	3826.67	107.2	26490.30	108.1	6889.09	109.1	1283.03
110.2	46926.06	112.2	5056.36	113.2	295.15	114.2	105.45
117.1	1120.00	118.2	1281.82	119.1	16327.88	120.2	3573.33
121.1	33538.18	122.1	9191.52	124.1	503.64	125.1	209.70
126.2	104.85	127.4	113.33	129.1	157.58	130.0	304.24
131.1	218.18	132.1	5303.03	133.1	610.91	134.1	14113.33
135.1	1795.15	136.1	76050.30	137.1	9284.85	151.1	194.55
163.8	153.94	166.0	307.88	167.8	145.45	200.2	129.70
207.1	124.24						

65010.116



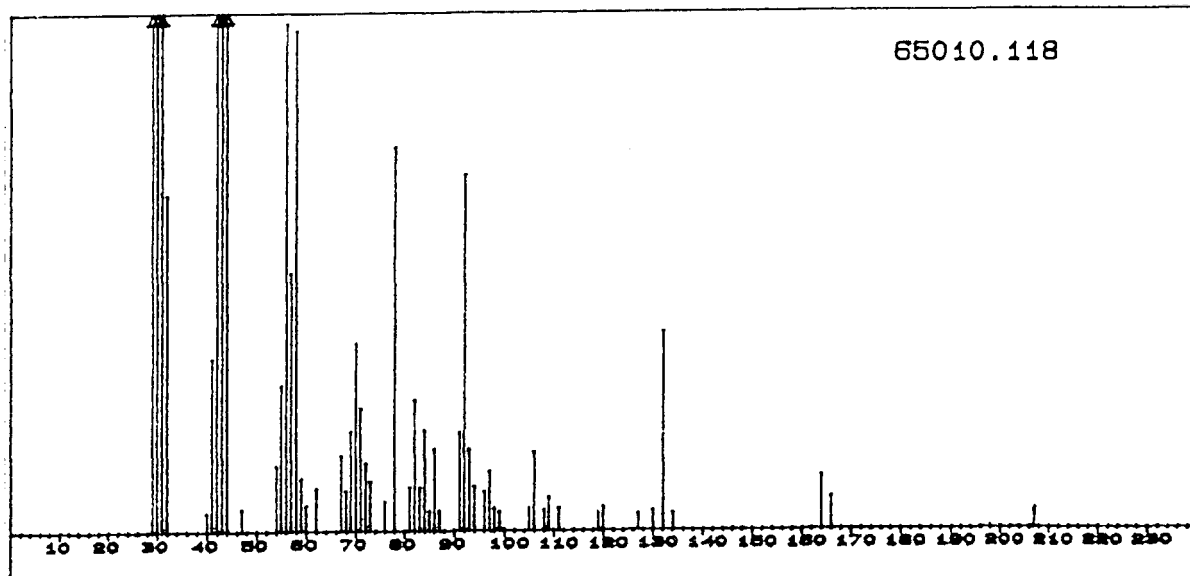
Wire No.:116 (No. of Peaks: 62)

m/z	intensity	m/z	intensity	m/z	intensity	m/z	intensity
29.1	29935.15	30.3	21575.76	31.2	6729.09	32.3	3495.15
34.2	161.21	39.3	633.94	40.3	185.45	41.3	3569.09
42.3	3434.55	44.3	111548.48	45.2	10043.64	52.3	826.06
54.3	63572.73	55.2	9104.85	56.3	5357.58	57.2	1393.94
58.2	1922.42	59.3	118.18	65.2	1123.03	66.2	1715.76
67.1	26271.52	68.2	27478.18	69.1	5480.61	70.2	1829.70
71.1	340.00	72.1	300.00	75.1	139.39	77.3	1671.52
78.3	3410.30	79.1	12169.09	81.1	30870.91	82.1	11233.33
84.0	296.36	85.2	472.73	86.2	528.48	86.9	307.27
91.2	2412.12	92.0	4064.24	93.2	2285.45	95.2	157054.55
98.3	609.70	104.2	136.36	106.1	1872.73	107.1	1925.45
108.2	5250.91	110.2	119695.15	114.0	160.61	118.2	144.24
119.9	197.58	121.1	835.76	122.1	17613.33	124.1	168795.16
129.0	198.79	129.8	161.82	132.1	981.82	133.1	123.03
134.0	123.03	164.0	500.61	166.0	636.97	168.0	184.85
207.1	126.67	218.1	111.52				



Wire No.:117 (No. of Peaks: 89)

m/z	intensity	m/z	intensity	m/z	intensity	m/z	intensity
29.1	43370.91	30.3	51879.39	31.4	11538.79	32.3	5651.52
33.4	1362.42	35.3	446.06	39.3	327.88	40.4	199.39
41.4	2599.39	42.3	6302.42	43.3	27984.24	44.3	110941.21
45.3	23446.06	47.1	417.58	49.3	154.55	53.3	282.42
54.3	2610.91	55.3	2282.42	56.3	6854.55	57.3	5604.24
58.3	9490.91	59.2	1769.09	60.2	555.76	61.3	375.15
62.3	280.00	64.1	178.18	65.2	141.82	66.2	183.64
67.2	2351.52	68.2	1406.06	69.4	1064.85	70.2	1684.85
71.1	1137.58	72.2	1049.70	73.1	701.21	74.1	247.88
75.3	696.36	76.1	276.36	77.3	2519.39	78.3	10609.70
79.1	3455.15	80.1	524.24	81.1	8327.27	82.1	1661.82
83.1	1751.52	84.3	1504.85	85.2	1255.15	86.3	1293.94
87.3	941.21	88.2	601.21	91.2	31805.46	92.2	15021.82
94.3	686.06	95.2	785.45	96.2	5208.48	97.1	866.06
98.2	518.18	99.1	926.06	100.2	193.94	100.4	122.42
101.2	350.30	103.2	267.27	104.2	3149.70	105.2	1584.24
106.2	83720.00	109.2	149.09	110.2	3180.00	111.2	314.55
112.2	253.33	113.3	126.06	114.1	172.12	116.3	188.48
117.2	368.48	118.1	127.88	119.2	132.12	120.4	175.15
121.1	197.58	126.4	110.91	127.1	172.73	129.1	195.76
130.1	400.00	131.0	103.64	132.1	2224.24	136.3	110.91
141.2	114.55	164.0	1046.06	166.0	1030.91	168.0	391.52
182.0	130.91						

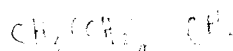


Wire No.:118 (No. of Peaks: 57)

m/z	intensity	m/z	intensity	m/z	intensity	m/z	intensity
29.1	25080.00	30.3	28119.39	31.4	5479.39	32.3	2169.70
40.4	120.00	41.3	1114.55	42.4	3345.45	43.4	5432.73
44.3	124846.66	47.3	142.42	54.3	423.03	55.2	942.42
56.3	3273.94	57.3	1670.30	58.3	3227.88	59.2	338.79
60.1	164.24	62.2	275.15	67.4	489.09	68.1	258.18
69.2	643.03	70.2	1214.55	71.2	793.33	72.4	438.18
73.4	321.82	76.1	187.27	78.1	2473.94	81.3	280.00
82.1	846.06	83.4	279.39	84.3	649.09	85.3	129.70
86.3	530.91	87.3	130.30	91.2	636.36	92.2	2296.97
93.0	311.52	93.3	217.58	94.0	287.27	96.1	250.30
97.2	383.03	98.3	143.64	99.2	121.82	105.1	146.67
106.2	507.88	108.1	133.94	109.1	213.33	111.3	143.03
119.0	113.94	120.1	152.12	127.4	108.48	130.0	128.48
132.1	1282.42	134.4	109.70	163.8	346.06	166.1	209.70
207.1	112.73						

付 錄

# 付録 m/z 早見表



m/z	持前のm/zをもつ化合物	予想できる化合物	m/z	持前のm/zをもつ化合物	予想できる化合物
12	C		70		
13	CH		71		パラフィン類
14	N		72		ステロイド系アルカロイド
15	CH <sub>2</sub>		73		アミン
16	O	炭化水素類	74		イソチオシアネット
17	NH <sub>2</sub>		75		糖類
18	OH		76		脂肪酸
19	NH <sub>3</sub>		77		アルコール
20	H <sub>2</sub> O		78		エステル
21	NH <sub>4</sub>		79		トリメチルシリル誘導体
22	H <sub>2</sub> O		80		脂肪酸メチルエステル
23	F		81		α-メチルカルボキシル酸
24	HF		82		シメチルアセタール
25	Ne		83		ベンゼン誘導体
26	CN		84		ヘンゼン誘導体
27	C <sub>2</sub> H <sub>2</sub>		85		ヘンゼン誘導体
28	HCN		86		ヘンゼン誘導体
29	C <sub>2</sub> H <sub>3</sub>		87		ヘンゼン誘導体
30	CO	ラクトン、窒素ガス、エチレン、 アルキルアミン、炭化水素類	88		ヘンゼン誘導体
31	N <sub>2</sub>		89		ヘンゼン誘導体
32	CH <sub>2</sub> N		90		ヘンゼン誘導体
33	C <sub>2</sub> H <sub>4</sub>		91		ヘンゼン誘導体
34	CHO	アルデハイド類	92		ヘンゼン誘導体
35	C <sub>2</sub> H <sub>5</sub>	炭化水素類	93		ヘンゼン誘導体
36	NO	硝酸族ニトロ化合物、芳香族ニトロ化合物	94		ヘンゼン誘導体
37	CH <sub>2</sub> =NH <sub>2</sub>	ニトロソアミン、アミン類	95		ヘンゼン誘導体
38	CH <sub>2</sub> =OH	アルコール、エーテル	96		ヘンゼン誘導体
39	O <sub>2</sub>		97		ヘンゼン誘導体
40	HS		98		ヘンゼン誘導体
41	H <sub>2</sub> S	S-化合物	99		ヘンゼン誘導体
42	"Cl	塩素化合物	100		ヘンゼン誘導体
43	H <sup>35</sup> Cl	塩素化合物	101		ヘンゼン誘導体
44	H <sup>37</sup> Cl	塩素化合物	102		ヘンゼン誘導体
45	C <sub>2</sub> H <sub>3</sub>	芳香族化合物	103		ヘンゼン誘導体
46	Ar	オレフィン類	104		ヘンゼン誘導体
47	C <sub>2</sub> H <sub>4</sub>	アセチル化合物(強く現われる)	105		ヘンゼン誘導体
48	CH <sub>2</sub> CO	バラフィン類	106		ヘンゼン誘導体
49	C <sub>2</sub> H <sub>5</sub>		107		ヘンゼン誘導体
50	CO <sub>2</sub>		108		ヘンゼン誘導体
51	CH <sub>2</sub> CH=NH <sub>2</sub>	アミン	109		ヘンゼン誘導体
52	CH <sub>2</sub> -CH=OH	アルコール	110		ヘンゼン誘導体
53	CH <sub>2</sub> O=CH <sub>2</sub>	エステル化合物	111		ヘンゼン誘導体
54	COOH	カルボン酸	112		ヘンゼン誘導体
55	NO <sub>2</sub>		113		ヘンゼン誘導体
56	C <sub>2</sub> H <sub>3</sub> S		114		ヘンゼン誂導体
57	CH <sub>2</sub> SH	S-化合物	115		ヘンゼン誂導体
58	CH <sub>2</sub> - <sup>35</sup> Cl	クロロメチル誘導体	116		ヘンゼン誂導体
59	C <sub>2</sub> H <sub>4</sub>	芳香族化合物	117		ヘンゼン誂導体
60	CH <sub>2</sub> - <sup>37</sup> Cl	クロロメチル誘導体	118		ヘンゼン誂導体
61	C <sub>2</sub> H <sub>5</sub>	オレフィン類	119		ヘンゼン誂導体
62	C <sub>2</sub> H <sub>3</sub>	バラフィン類	120		ヘンゼン誂導体
63	CH <sub>2</sub> -C(OH)-CH <sub>3</sub>	ケトン	121		ヘンゼン誂導体
64	(CH <sub>3</sub> ) <sub>2</sub> N-CH <sub>2</sub>	アミン	122		ヘンゼン誂導体
65	C <sub>2</sub> H <sub>5</sub> -CH=OH	アルコール	123		ヘンゼン誂導体
66	C <sub>2</sub> H <sub>5</sub> O=CH <sub>2</sub>	エーテル	124		ヘンゼン誂導体
67	CH <sub>2</sub> -C(OH)-NH <sub>2</sub>	アミド	125		ヘンゼン誂導体
68	COOCH <sub>3</sub>	脂防酸、メチルエステル類	126		ヘンゼン誂導体
69	CH <sub>2</sub> -O-NO	硝酸エ斯特ル	127		ヘンゼン誂導体
70	CH <sub>2</sub> -C(OH) <sub>2</sub>	脂肪酸	128		ヘンゼン誂導体
71	HO-CH=CH-OH	糖類	129		アルキルフラン
72	CH <sub>2</sub> -C(OH)-NH <sub>2</sub>	醣エースタル、多価アルコール	130		アルキルビリジン
73	C <sub>2</sub> H <sub>5</sub>	芳香族	131		トリペプチド
74	C <sub>2</sub> H <sub>3</sub>	オレフィン類	132		アミノ酸
75	CF <sub>3</sub>	ふっ素化合物	133		アミノ酸誘導体

<i>m/z</i>	持続の <i>m/z</i> をもつ化合物	予想できる化合物
97		アルキルチオフェン類 脂肪族ニトリル類
98		C <sub>6</sub> H <sub>13</sub> オレフィン類、ナフタレン類 ビペリシンアルカロイド類
99		C <sub>6</sub> H <sub>13</sub> 環状化合物のエチレンケタール (例ステロイド) バラフィン類
101		CH <sub>2</sub> =CH-C(OC <sub>2</sub> H <sub>5</sub> )=OH CF <sup>18</sup> Cl <sub>2</sub> 脂肪酸エチルエステル類 フレオン類
104		
105		アルキルベンゼン類
107		アルキルフェノール類
109		C <sub>6</sub> H <sub>13</sub> C <sub>6</sub> H <sub>7</sub> N <sub>3</sub> テルペン類 ブリン類 アルカロイド類
110		ステロイド系アルカロイド類
111		C <sub>6</sub> H <sub>13</sub> オレフィン類
112		モノクロロベンゼン
113		C <sub>6</sub> H <sub>13</sub> バラフィン類
114		ステロイド系アルカロイド類
115		アルキルイソチオシアネート類
116		ベンゼン
117		C <sup>18</sup> Ch 塩素化合物
118		デハイドロインデン
119		C <sup>17</sup> Cl <sup>18</sup> Cl <sup>19</sup> アルキルベンゼン類
119		アルカロイド類
120		アルカロイド類
121		C <sub>6</sub> H <sub>13</sub> テルペン類 アルカロイド類
122		アルカロイド類
122		△ <sup>1</sup> -3-ケトステロイド △ <sup>4</sup> -3-ケトステロイド
123		C <sub>6</sub> H <sub>13</sub> テルペン類

<i>m/z</i>	持続の <i>m/z</i> をもつ化合物	予想できる化合物
124		アルカロイド類
125	C <sub>6</sub> H <sub>13</sub>	C <sub>6</sub> H <sub>13</sub> オレフィン類 バラフィン類
127	I	I
128	HI	ナフタレン
129		△ <sup>3</sup> -OHステロールトリメチルシリル誘導体 アシピニ酸エスチル
130		インドリンアルカロイド類
135		アルカロイド類
136	C <sub>6</sub> H <sub>13</sub>	C <sub>6</sub> H <sub>13</sub> テルペン類 テルベン類
138	C <sub>6</sub> H <sub>13</sub>	ステロイド系サボケニン類
139		
141		アルキルナフタレン
141	C <sub>6</sub> H <sub>13</sub>	C <sub>6</sub> H <sub>13</sub> バラフィン類
146		ジクロロベンゼン
147	(CH <sub>3</sub> ) <sub>3</sub> Si-OSi(CH <sub>3</sub> ) <sub>3</sub>	トリメチルシリル誘導体類 フタル酸エスチル
149		
150		ステロイド系アルカロイド類
154		ヒフェニル
156		アルカロイド類
164		アルカロイド類
168		ジベンゾフラン類
169		アルカロイド類
170		アルカロイド類
177		アルカロイド類
178		アントラセン類
184		アルカロイド類
192		アルカロイド類
204	CH=CH-O-Si(CH <sub>3</sub> ) <sub>3</sub> O-Si(CH <sub>3</sub> ) <sub>3</sub>	quinoneのトリメチルシリル誘導体
206		アルカロイド類
207	CH <sub>3</sub> -CH <sub>2</sub> -CH <sub>2</sub> -CH <sub>2</sub> HSi-C-Si-O-Si         CH <sub>3</sub> -CH <sub>2</sub> -CH <sub>2</sub> -CH <sub>2</sub>	メチルシリル化合物
208		アルカロイド類
217	CH=CH-CH <sub>2</sub> -O-Si(CH <sub>3</sub> ) <sub>3</sub> O-Si(CH <sub>3</sub> ) <sub>3</sub>	quinoneのトリメチルシリル誘導体
217		ステロイド類

出典：鈴木真言1987、質量スペクトルの解析。  
(株)島津製作所主催-島津GCMS分析講習会  
講演要旨、19-27.

## 付録 CO<sub>2</sub>相当ガスの発散量

本報告では、二酸化炭素の分子量(44)に相当する質量数(m/z)を持つガス成分(m/z44)を、CO<sub>2</sub>相当ガスとした。

試料番号	CO <sub>2</sub> 相当ガス (ion count)	試料番号	CO <sub>2</sub> 相当ガス (ion count)	試料番号	CO <sub>2</sub> 相当ガス (ion count)
1	123151	40	23547	82	122079
2	21733	41	142945	83	47287
3	56990	42	135568	84	181394
4	113283	43	182524	85	219447
5	110701	44	47993	86	184929
6	190471	45	74691	87	203330
7	51339	46	36236	88	22663
8	75868	47	65077	89	60302
9	77030	48	175412	90	125612
10	139029	49	101792	91	135025
11	127332	50	200368	92	193182
12	159963	51	40020	93	107031
13	212686	52	58830	94	49751
14	217030	53	155024	95	45694
15	47048	54	98062	96	72936
16	166703	55	205740	97	53821
17	190549	56	121964	98	34270
18	37534	57	97339	99	171947
19	23996	58	24262	100	82785
20	140552	59	29290	101	144522
21	82172	60	23401	102	105682
22	180959	61	66430	103	146572
23	163296	62	160922	104	25408
24	175385	63	112603	105	172193
25	173822	64	169394	106	88528
26	215500	65	151122	107	186404
27	204481	66	103519	108	201365
28	141956	70	47735	109	55565
29	85201	71	34924	110	135319
30	124341	72	152516	111	31070
31	51721	73	45119	112	56146
32	174680	74	120249	113	78112
33	91872	75	122543	114	35072
34	41772	76	35987	115	205936
35	74964	77	146214	116	111548
36	166573	78	78642	117	110941
37	127628	79	48648	118	124847
38	113843	80	61062		
39	44723	81	195261		

### 対数変換した発散量の記述統計

(単位: log ion count)

平均値(M)	標準偏差( $\sigma$ )	最小値	最大値
4.9659	0.2833	4.3371	5.3413

**貢サイズが大きいため原本を参照してください。**